



UNIVERSIDAD NACIONAL AUTÓNOMA DE MÉXICO.

FACULTAD DE INGENIERÍA



**“ANÁLISIS Y DISEÑO ESTRUCTURAL DE GALERÍAS Y TORRES DE  
TRANSFERENCIA PARA TRANSPORTADORES DE BANDA DEL SISTEMA DE  
ALMACENAMIENTO Y CARGA DE BARCOS DE MINERAL DE HIERRO DEL  
PUERTO DE GUAYMAS, SONORA”**

**INFORME ESCRITO**

QUE PARA OBTENER EL TÍTULO DE:

**I N G E N I E R O C I V I L**  
**P R E S E N T A:**  
**RICARDO ESPINOSA GARCÍA**

MÉXICO D.F.

2008

*“Quiero agradecer a Dios por darme la tenacidad de terminar esta etapa de mi vida, a mi Universidad por brindarme una excelente formación y muy especialmente a mis Padres, que sin su apoyo no hubiera logrado nada”*

*“Dedico este trabajo a la fuente de todo mi esfuerzo, mi hija Odeth Alejandra y a la amorosa memoria de mis Abuelos, que sin sus consejos mi vida no seria igual”*

*Ricardo Espinosa García.*

# I N D I C E

|   | <i>Página</i> |
|---|---------------|
| <i>Índice</i> .....   | 3             |
| <i>Lista de figuras</i> .....   | 4             |
| <i>Lista de Tablas</i> .....  | 6             |
| <b>I.</b> Introducción.....   | 8             |
| <b>II.</b> Filosofía de operación del sistema.....                      | 10            |
| <b>III.</b> Alcance y limitaciones.....                                 | 16            |
| <b>IV.</b> Análisis y Diseño de Galerías y Torres de Transferencia..... | 17            |
| <b>IV.1</b> Descripción.....  | 17            |
| <b>IV.1.1</b> Galerías.....   | 17            |
| <b>IV.1.2</b> Torres de Transferencia.....                              | 24            |
| <b>IV.2</b> Análisis de Cargas y Predimensionamiento.....               | 34            |
| <b>IV.2.1</b> Galerías.....   | 34            |
| <b>IV.2.2</b> Torres de Transferencia.....                              | 36            |
| <b>IV.3</b> Consideraciones para Análisis Sísmico y de Viento.....      | 46            |
| <b>V.</b> Resultados de Análisis y Diseño.....                          | 55            |
| <b>V.1</b> Galerías de Transportadores de Banda.....                    | 56            |
| <b>V.1.1</b> Transportador TBA-07.....                                  | 56            |
| <b>V.1.2</b> Transportador TBS-01.....                                  | 61            |
| <b>V.1.3</b> Transportador TBS-02.....                                  | 66            |
| <b>V.1.4</b> Transportador TBS-03.....                                  | 71            |
| <b>V.1.5</b> Transportador TBS-04.....                                  | 76            |
| <b>V.1.6</b> Transportador TBS-05.....                                  | 81            |
| <b>V.2</b> Torres de Transferencia.....                                 | 86            |
| <b>V.2.1</b> Torre TT-1.....  | 86            |
| <b>V.2.2</b> Torre TT-2.....  | 92            |
| <b>V.2.3</b> Torre TT-3.....  | 98            |
| <b>V.2.4</b> Torre TT-4.....  | 104           |
| <b>V.2.5</b> Torre TT-5.....  | 110           |
| <b>V.2.6</b> Torre TT-6.....  | 116           |
| <b>VI.</b> Planos Estructurales.....                                    | 122           |
| <b>VII.</b> Anexo de Fotografías.....                                   | 160           |
| <b>VIII.</b> Referencias Bibliográficas.....                            | 167           |

## LISTA DE FIGURAS.

|   | <i>Página</i> |
|---|---------------|
| <i>Figura 1. Sistema de Almacenamiento y Carga de Barcos, arreglo General .....</i>                     | 9             |
| <i>Figura 2. Planta de Arreglo General de Transportadores .....</i>                                     | 11            |
| <i>Figura 3. Diagrama de flujo de Proceso .....</i>   | 12            |
| <i>Figura 4. Planta General Área de Salida .....</i>  | 16            |
| <i>Figura 5. Puntos de trabajo y trayectoria Área de Salida .....</i>                                   | 17            |
| <i>Figura 6. Secciones de Galerías para transportadores de banda .....</i>                              | 18            |
| <i>Figura 7. Dimensiones Generales de secciones de Galerías.....</i>                                    | 19            |
| <i>Figura 8. Componentes Generales de un transportador .....</i>  | 20            |
| <i>Figura 9. Arreglo general de Transportador TB-07 .....</i>   | 21            |
| <i>Figura 10. Arreglo general de Transportador TBS-01 .....</i>   | 21            |
| <i>Figura 11. Arreglo general de Transportador TBS-02 .....</i>   | 22            |
| <i>Figura 12. Arreglo general de Transportador TBS-03 .....</i>   | 22            |
| <i>Figura 13. Arreglo general de Transportador TBS-04 .....</i>   | 23            |
| <i>Figura 14. Arreglo general de Transportador TBS-05 .....</i>   | 23            |
| <i>Figura 15. Plantas de operación de torre TT-1, Arreglo mecánico .....</i>                            | 25            |
| <i>Figura 16. Plantas de operación de torre TT-2, Arreglo mecánico .....</i>                            | 25            |
| <i>Figura 17. Plantas de operación de torre TT-3, Arreglo mecánico .....</i>                            | 26            |
| <i>Figura 18. Plantas de operación de torre TT-4, Arreglo mecánico .....</i>                            | 26            |
| <i>Figura 19. Plantas de operación de torre TT-5, Arreglo mecánico .....</i>                            | 27            |
| <i>Figura 20. Plantas de operación de torre TT-6, Arreglo mecánico .....</i>                            | 27            |
| <i>Figura 21. Elevaciones de marcos estructurales de torre TT-1 .....</i>                               | 28            |
| <i>Figura 22. Elevaciones de marcos estructurales de torre TT-2 .....</i>                               | 29            |
| <i>Figura 23. Elevaciones de marcos estructurales de torre TT-3 .....</i>                               | 30            |
| <i>Figura 24. Elevaciones de marcos estructurales de torre TT-4 .....</i>                               | 31            |
| <i>Figura 25. Elevaciones de marcos estructurales de torre TT-5 .....</i>                               | 32            |
| <i>Figura 26. Elevaciones de marcos estructurales de torre TT-6 .....</i>                               | 33            |
| <i>Figura 27. Planta de operación TT-1 con cargas distribuidas y estructuración.....</i>                | 38            |
| <i>Figura 28. Planta de operación TT-2 con cargas distribuidas y estructuración.....</i>                | 39            |
| <i>Figura 29. Planta de operación TT-3 con cargas distribuidas y estructuración.....</i>                | 40            |
| <i>Figura 30. Planta de operación TT-4 con cargas distribuidas y estructuración.....</i>                | 41            |
| <i>Figura 31. Planta de operación TT-5 con cargas distribuidas y estructuración.....</i>                | 42            |
| <i>Figura 32. Planta de operación TT-6 con cargas distribuidas y estructuración.....</i>                | 42            |
| <i>Figura 33. Dirección de fuerzas y momentos ejercidos sobre torres de transferencia.....</i>          | 44            |
| <i>Figura 34. Regionalización sísmica de la republica mexicana.....</i>                                 | 46            |
| <i>Figura 35. Espectro de diseño según CFE para Guaymas Sonora .....</i>                                | 48            |
| <i>Figura 36. Vista general en 3D de modelo y asignación de marcas a perfiles para TB-07.....</i>       | 56            |
| <i>Figura 37. Asignación de cargas y deformada de la estructura por cargas verticales p/TB-07.....</i>  | 57            |
| <i>Figura 38. Relaciones de interacción máximas en elementos estructurales p/TB-07.....</i>             | 58            |
| <i>Figura 39. Vista general en 3D de modelo y asignación de marcas a perfiles para TBS-01.....</i>      | 61            |
| <i>Figura 40. Asignación de cargas y deformada de la estructura por cargas verticales p/TBS-01.....</i> | 62            |

|  |     |
|--|-----|
| <i>Figura 41. Relaciones de interacción máximas en elementos estructurales p/TBS-01.....</i>   | 63  |
| <i>Figura 42. Vista general en 3D de modelo y asignación de marcas a perfiles para TBS-02.....</i>   | 66  |
| <i>Figura 43. Asignación de cargas y deformada de la estructura por cargas verticales p/TBS-02.....</i>  | 67  |
| <i>Figura 44. Relaciones de interacción máximas en elementos estructurales p/TBS-02.....</i>   | 68  |
| <i>Figura 45. Vista general en 3D de modelo y asignación de marcas a perfiles para TBS-03.....</i>   | 71  |
| <i>Figura 46. Asignación de cargas y deformada de la estructura por cargas verticales p/TBS-03.....</i>  | 72  |
| <i>Figura 47. Relaciones de interacción máximas en elementos estructurales p/TBS-03.....</i>   | 73  |
| <i>Figura 48. Vista general en 3D de modelo y asignación de marcas a perfiles para TBS-04.....</i>   | 76  |
| <i>Figura 49. Asignación de cargas y deformada de la estructura por cargas verticales p/TBS-04.....</i>  | 77  |
| <i>Figura 50. Relaciones de interacción máximas en elementos estructurales p/TBS-04.....</i>   | 78  |
| <i>Figura 51. Vista general en 3D de modelo y asignación de marcas a perfiles para TBS-05.....</i>   | 81  |
| <i>Figura 52. Asignación de cargas y deformada de la estructura por cargas verticales p/TBS-05.....</i>  | 82  |
| <i>Figura 53. Relaciones de interacción máximas en elementos estructurales p/TBS-05.....</i>   | 83  |
| <i>Figura 54. Vista general en 3D del modelo y asignación de marcas a perfiles para TT-1.....</i>  | 86  |
| <i>Figura 55. Deformada de la estructura por cargas verticales y relaciones de interacción máximas de elementos estructurales para torre TT-1.....</i> | 87  |
| <i>Figura 56. Ejemplo de diagrama de momentos por cargas verticales y ejemplo de asignación de cargas en la estructura para la torre TT-1 .....</i>    | 88  |
| <i>Figura 57. Vista general en 3D del modelo y asignación de marcas a perfiles para TT-2.....</i>  | 92  |
| <i>Figura 58. Deformada de la estructura por cargas verticales y relaciones de interacción máximas de elementos estructurales para torre TT-2.....</i> | 93  |
| <i>Figura 59. Ejemplo de diagrama de momentos por cargas verticales y ejemplo de asignación de cargas en la estructura para la torre TT-2 .....</i>    | 94  |
| <i>Figura 60. Vista general en 3D del modelo y asignación de marcas a perfiles para TT-3.....</i>  | 98  |
| <i>Figura 61. Deformada de la estructura por cargas verticales y relaciones de interacción máximas de elementos estructurales para torre TT-3.....</i> | 99  |
| <i>Figura 62. Ejemplo de diagrama de momentos por cargas verticales y ejemplo de asignación de cargas en la estructura para la torre TT-3 .....</i>    | 100 |
| <i>Figura 63. Vista general en 3D del modelo y asignación de marcas a perfiles para TT-4.....</i>  | 104 |
| <i>Figura 64. Deformada de la estructura por cargas verticales y relaciones de interacción máximas de elementos estructurales para torre TT-4.....</i> | 105 |
| <i>Figura 65. Ejemplo de diagrama de momentos por cargas verticales y ejemplo de asignación de cargas en la estructura para la torre TT-4 .....</i>    | 106 |
| <i>Figura 66. Vista general en 3D del modelo y asignación de marcas a perfiles para TT-5.....</i>  | 110 |
| <i>Figura 67. Deformada de la estructura por cargas verticales y relaciones de interacción máximas de elementos estructurales para torre TT-5.....</i> | 111 |
| <i>Figura 68. Ejemplo de diagrama de momentos por cargas verticales y ejemplo de asignación de cargas en la estructura para la torre TT-5 .....</i>    | 112 |
| <i>Figura 69. Vista general en 3D del modelo y asignación de marcas a perfiles para TT-6.....</i>  | 116 |
| <i>Figura 70. Deformada de la estructura por cargas verticales y relaciones de interacción máximas de elementos estructurales para torre TT-6.....</i> | 117 |
| <i>Figura 71. Ejemplo de diagrama de momentos por cargas verticales y ejemplo de asignación de cargas en la estructura para la torre TT-6 .....</i>    | 118 |

## LISTA DE TABLAS.

|   | <i>Página</i> |
|---|---------------|
| <i>Tabla 1. Secuencia de operación de transportadores.....</i>  | 13            |
| <i>Tabla 2. Propiedades características de transportadores.....</i>   | 18            |
| <i>Tabla 3. Características de torres de transferencia .....</i>  | 24            |
| <i>Tabla 4. Cargas distribuidas en vigas por nivel de operación en torres de transferencia del área de salida .....</i> | 37            |
| <i>Tabla 5. Fuerzas provocadas por la acción de galerías a torres de transferencia.....</i>                             | 44            |
| <i>Tabla 6. Momentos actuantes en apoyos para galerías.....</i>   | 45            |
| <i>Tabla 7. Coeficientes para espectros de diseño (M.D.O.C. de C.F.E.).....</i>   | 47            |
| <i>Tabla 8. Factor de topografía local (M.D.O.C. de C.F.E.).....</i>  | 50            |
| <i>Tabla 9. Factor de tamaño (M.D.O.C. de C.F.E.).....</i>  | 51            |
| <i>Tabla 10. Valores de <math>\alpha</math> y <math>\delta</math> (M.D.O.C. de C.F.E.).....</i>                         | 51            |
| <i>Tabla 11. Categoría del terreno según su rugosidad (M.D.O.C. de C.F.E.).....</i>                                     | 52            |
| <i>Tabla 12. Relación entre altitud y presión barométrica.....</i>  | 54            |
| <i>Tabla 13. Descargas en apoyos del transportador TB-07, por tipo de carga.....</i>                                    | 58            |
| <i>Tabla 14. Ejemplo de desplazamientos de nodos pertenecientes a la galería del TB-07.....</i>                         | 59            |
| <i>Tabla 15. Relaciones de Interacción de diseño de elementos estructurales para TB-07.....</i>                         | 60            |
| <i>Tabla 16. Descargas en apoyos del transportador TBS-01, por tipo de carga.....</i>                                   | 63            |
| <i>Tabla 17. Ejemplo de desplazamientos de nodos pertenecientes a la galería del TBS-01.....</i>                        | 64            |
| <i>Tabla 18. Relaciones de Interacción de diseño de elementos estructurales para TBS-01.....</i>                        | 65            |
| <i>Tabla 19. Descargas en apoyos del transportador TBS-02, por tipo de carga.....</i>                                   | 68            |
| <i>Tabla 20. Ejemplo de desplazamientos de nodos pertenecientes a la galería del TBS-02.....</i>                        | 69            |
| <i>Tabla 21. Relaciones de Interacción de diseño de elementos estructurales para TBS-02.....</i>                        | 70            |
| <i>Tabla 22. Descargas en apoyos del transportador TBS-03, por tipo de carga.....</i>                                   | 73            |
| <i>Tabla 23. Ejemplo de desplazamientos de nodos pertenecientes a la galería del TBS-03.....</i>                        | 74            |
| <i>Tabla 24. Relaciones de Interacción de diseño de elementos estructurales para TBS-03.....</i>                        | 75            |
| <i>Tabla 25. Descargas en apoyos del transportador TBS-04, por tipo de carga.....</i>                                   | 78            |
| <i>Tabla 26. Ejemplo de desplazamientos de nodos pertenecientes a la galería del TBS-04.....</i>                        | 79            |
| <i>Tabla 27. Relaciones de Interacción de diseño de elementos estructurales para TBS-04.....</i>                        | 80            |
| <i>Tabla 28. Descargas en apoyos del transportador TBS-05, por tipo de carga.....</i>                                   | 83            |
| <i>Tabla 29. Ejemplo de desplazamientos de nodos pertenecientes a la galería del TBS-05.....</i>                        | 84            |
| <i>Tabla 30. Relaciones de Interacción de diseño de elementos estructurales para TBS-05.....</i>                        | 85            |
| <i>Tabla 31. Descargas de columnas a cimentación de la torre TT-1, por tipo de carga.....</i>                           | 89            |
| <i>Tabla 32. Ejemplo de desplazamientos de nodos pertenecientes a la torre TT-1.....</i>                                | 90            |
| <i>Tabla 33. Relaciones de Interacción de diseño de elementos estructurales para TT-1.....</i>                          | 91            |

|  |     |
|--|-----|
| <i>Tabla 34. Descargas de columnas a cimentación de la torre TT-2, por tipo de carga.....</i>  | 95  |
| <i>Tabla 35. Ejemplo de desplazamientos de nodos pertenecientes a la torre TT-2.....</i>       | 96  |
| <i>Tabla 36. Relaciones de Interacción de diseño de elementos estructurales para TT-2.....</i> | 97  |
| <i>Tabla 37. Descargas de columnas a cimentación de la torre TT-3, por tipo de carga.....</i>  | 101 |
| <i>Tabla 38. Ejemplo de desplazamientos de nodos pertenecientes a la torre TT-3.....</i>       | 102 |
| <i>Tabla 39. Relaciones de Interacción de diseño de elementos estructurales para TT-3.....</i> | 103 |
| <i>Tabla 40. Descargas de columnas a cimentación de la torre TT-4, por tipo de carga.....</i>  | 107 |
| <i>Tabla 41. Ejemplo de desplazamientos de nodos pertenecientes a la torre TT-4.....</i>       | 108 |
| <i>Tabla 42. Relaciones de Interacción de diseño de elementos estructurales para TT-4.....</i> | 109 |
| <i>Tabla 43. Descargas de columnas a cimentación de la torre TT-5, por tipo de carga.....</i>  | 113 |
| <i>Tabla 44. Ejemplo de desplazamientos de nodos pertenecientes a la torre TT-5.....</i>       | 114 |
| <i>Tabla 45. Relaciones de Interacción de diseño de elementos estructurales para TT-5.....</i> | 115 |
| <i>Tabla 46. Descargas de columnas a cimentación de la torre TT-6, por tipo de carga.....</i>  | 119 |
| <i>Tabla 47. Ejemplo de desplazamientos de nodos pertenecientes a la torre TT-6.....</i>       | 120 |
| <i>Tabla 48. Relaciones de Interacción de diseño de elementos estructurales para TT-6.....</i> | 121 |

## I. INTRODUCCIÓN.

El incremento general en el precio de los productos de acero es resultado de la fuerte demanda en el mercado internacional por un mayor ritmo de crecimiento de las economías de Asia (China e India), Europa y Estados Unidos. Teniendo en cuenta esta situación y dado que en México existe mineral de hierro principalmente en los estados de Colima, Coahuila, Michoacán, Durango y Sonora, que en conjunto abarcan casi el 97% del total de la producción nacional de hierro, podemos asegurar que nuestro país es potencialmente productor de dicho mineral.

Derivado de esta idea una empresa siderúrgica instalada en México tiene la necesidad de incrementar su producción, para poder mantenerse en el mercado internacional como uno de los principales productores de acero, para ello construye el proyecto minero denominado “El Volcán” ubicado en el estado de Sonora, México.

El proyecto “El Volcán” incluye las fases de Explotación, Trituración-Preconcentración y Concentración a fin de proporcionar un concentrado de mineral de Hierro para su planta de acero localizada en Lázaro Cárdenas, Michoacán y con ello cancelar la importación que se realiza de Brasil y Perú.

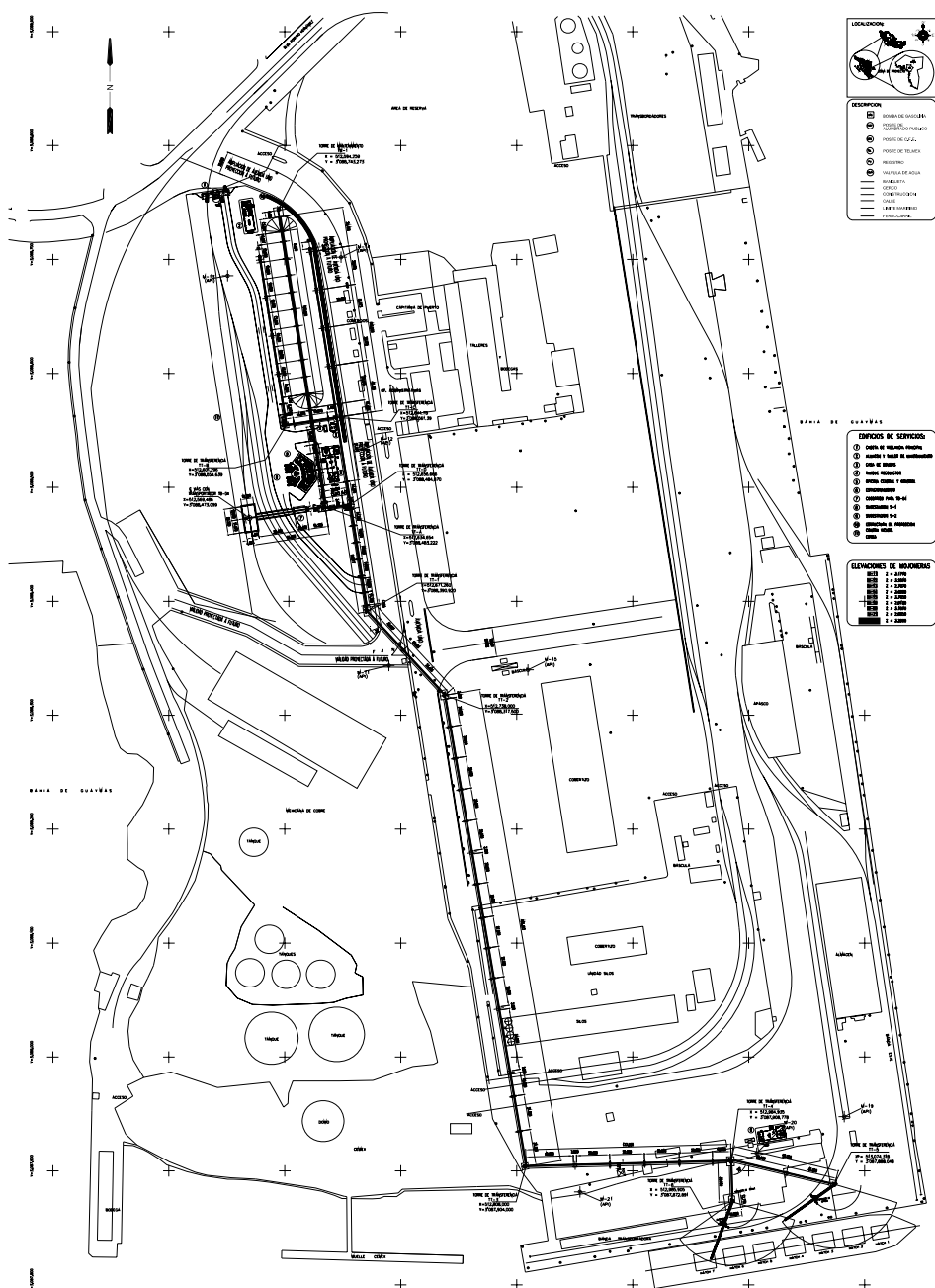
A continuación explicaremos brevemente las fases antes mencionadas.

La *explotación* del mineral se realiza por el método de minado a cielo abierto, para desprender el mineral es necesario primeramente barrenar en los puntos seleccionados para colocar los explosivos y posteriormente realizar el tumbe por medio de voladuras, el rezagado se efectúa por medio de trascabos, el llenado de camiones se hace por medio de palas mecánicas, y estos a su vez transportan el mineral a la planta de trituración.

En la *Trituración* el mineral de hierro entra a la trituradora primaria en trozos con un tamaño de hasta 54” y sale a un tamaño máximo de 8”, posteriormente entra a una trituración secundaria y sale con un tamaño máximo de 2 ½”. Ya con ese tamaño de mineral se manda a una separación magnética primaria la cual realiza una preconcentración y la ley del producto obtenido se encuentra en un rango de 35 a 40% de fierro. La trituración terciaria da como resultado un tamaño máximo de ¾” y una concentración de mineral mayor que la del proceso anterior, posteriormente el mineral se pasa al edificio de selección de material para enviarlo finalmente a su último proceso, la separación magnética secundaria; cabe mencionar que el tamaño promedio del mineral obtenido en esta fase es de 6 mm y finalmente se envía a la planta concentradora.

Ya transportado el producto de la trituración a la planta de *concentración*, el material estéril es eliminado para incrementar la concentración hasta un 66% de fierro. En esta etapa se realiza una molienda a -16 mallas con molino de barras y después ocurre una separación magnética primaria para separar estériles; posteriormente se realiza la segunda molienda a -325 mallas con molino de bolas y después una separación secundaria para continuar con la eliminación de estériles.

Una vez que se obtiene el material de la planta concentradora se embarca en góndolas para su transporte a la última etapa del proceso el “Sistema de almacenamiento y carga de barcos de Mineral de Hierro” en el puerto de Guaymas Sonora y trasferirlo a un barco-buque que lo transporte al puerto de Lázaro Cárdenas.



**Fig. 1 Sistema de Almacenamiento y Carga de Barcos, Arreglo General.**

## **II. FILOSOFÍA DE OPERACIÓN DEL SISTEMA.**

Básicamente el funcionamiento del sistema de puede resumir de la siguiente manera: “*Se recibe el mineral de hierro de la planta concentradora y este a su vez puede ser enviado mediante bandas transportadores directamente a un barco-buque o en su defecto a un patio de almacenamiento, donde se apilara para posteriormente mandarlo mediante las bandas al barco-buque*”.

- ***Composición del sistema y sus partes.***

El sistema de recepción, almacenamiento, traslado a muelle y carga de barcos del mineral de hierro que llega por medio de góndolas de ferrocarril estará compuesto, como se aprecia en el diagrama de flujo de la figura 2 y 3, por:

### ***En la recepción.***

Un patio para ferrocarriles con un volcador de góndolas (VG-01). Una fosa para recibir el material con tolvas y dos alimentadores denominados TB-01 y TB-02, que alimentan a otro que saca el material de la fosa (TB-04) y lo lleva hasta una torre de transferencia TT-A que tiene la opción de servir para la salida al muelle, con el transportador TB-06 o servir hacia el área de almacén con el transportador TB-05.

### ***En el almacén.***

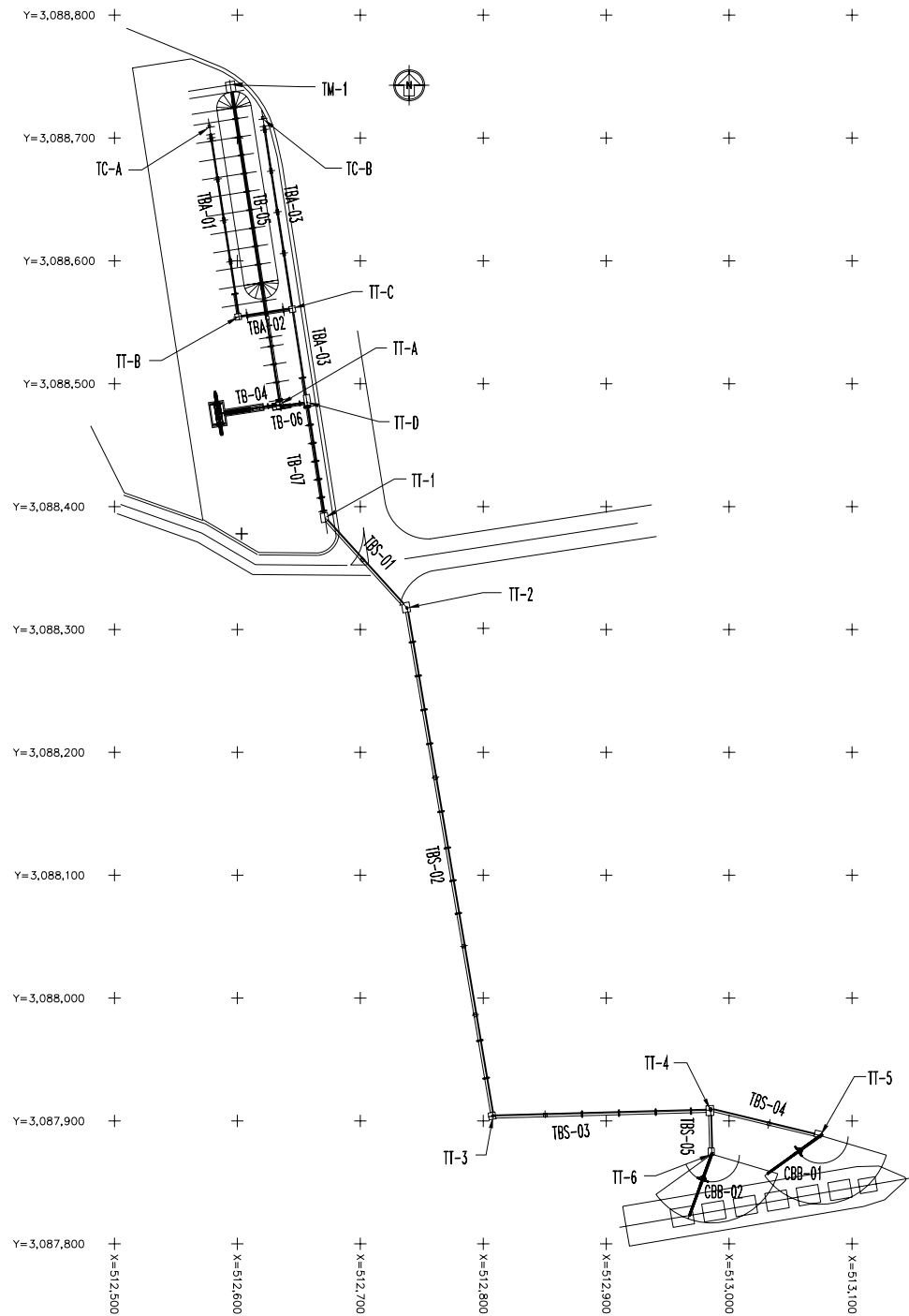
Un transportador central el TB-05, que en su extremo norte aloja un carro de descarga denominado “tripper” y una torre de mantenimiento, que formará el apilamiento conforme llega material de la recepción. A los costados de esta pila, en el sentido longitudinal, están dos transportadores: el TBA-01 y TBA-03 y en el extremo sur de ella está el transportador TBA-02, en conjunto sacan el material del almacén; el encargado principal será el transportador TBA-03 y podrá recibir aportaciones del TBA-02 o del TB-06 para dirigirse a la transferencia TT-D e iniciar la salida con el transportador TB-07 ligándose a la transferencia TT-1 para enviarlo al muelle.

### ***En la salida.***

Llegando el material ya sea de la recepción o del almacén o de ambas partes a través del TB-07; la transferencia TT-1 recibe el material e inicia su recorrido hacia el muelle hasta llegar a alimentar los cargadores de barcos que están en el mismo.

Los transportadores encargados de ese trayecto son el TBS-01, TBS-02, TBS-03, TBS-04 y el TBS-05; del TBS-01 al TBS-03 se sigue una línea que transporta todo el material que va hacia la salida y al llegar a la transferencia TT-4 se bifurca la línea distribuyendo el 50% del material para cada uno de los transportadores TBS-04 y TBS-05, mismos que alimentarán a los cargadores de barcos. Y por supuesto finalizamos el recorrido con dos cargadores de barcos dispuestos en los extremos de los transportadores TBS-04 y TBS-05 en las transferencias TT-5 y

TT-6 respectivamente; conviene observar que la trayectoria más larga corresponderá al transportador TBS-04.



**Fig. 2 Planta de Arreglo General de transportadores.**

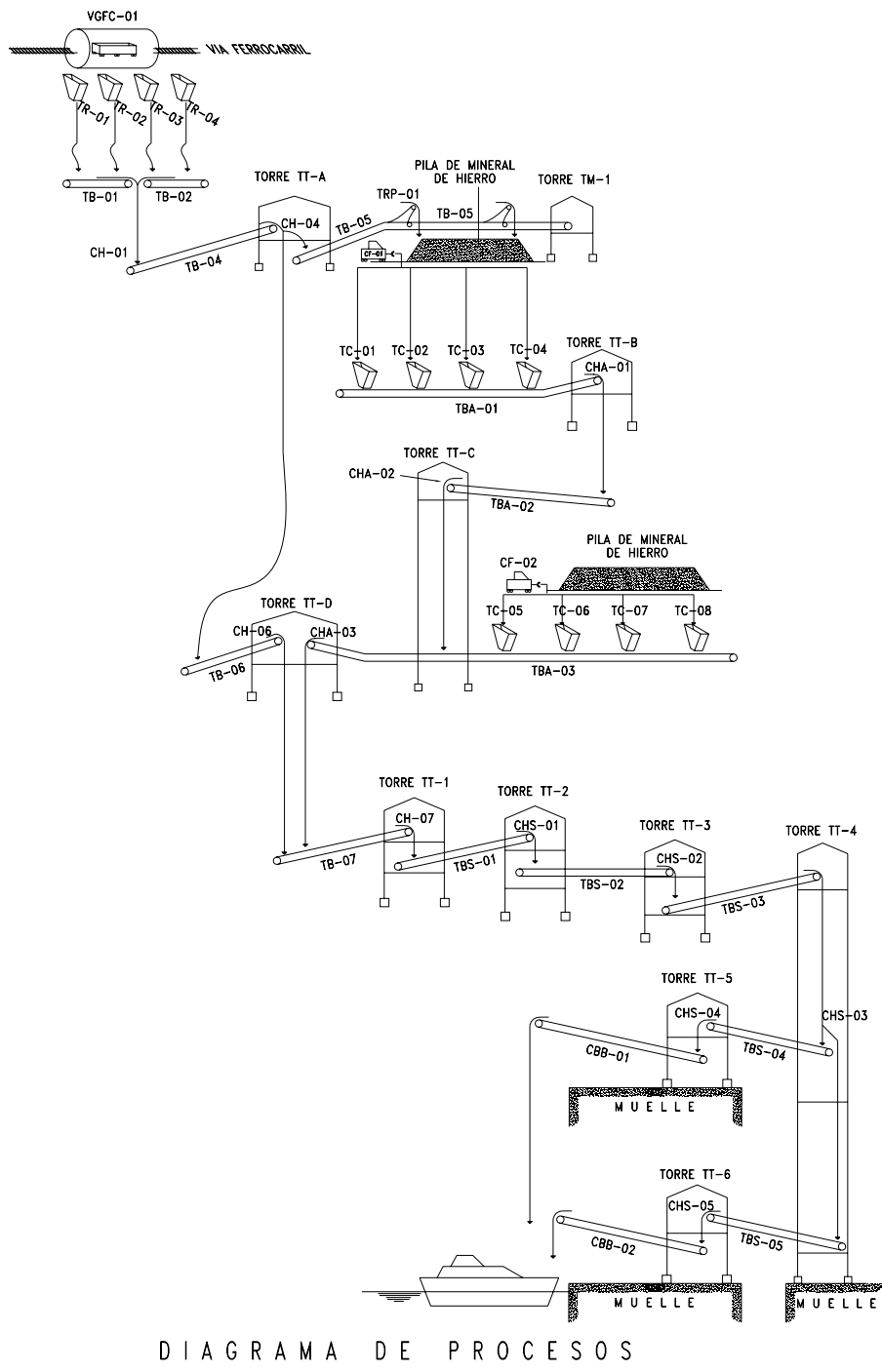


DIAGRAMA DE PROCESOS

**Fig. 3 Diagrama de flujo de Proceso.**

Así las cosas y para completar la información de los diagramas, la tabla siguiente resume lo redactado con antelación.

| <i>No de transportador</i> | <i>Capacidad de diseño.</i> | <i>Recibe material del transportador o equipo:</i> | <i>Entrega al transportador:</i> |
|----------------------------|-----------------------------|--|----------------------------------|
| <i>TB-01</i>               | <i>600 ton/hrs.</i>         | <i>volcador</i>                                    | <i>TB-04</i>                     |
| <i>TB-02</i>               | <i>600ton/hrs.</i>          | <i>volcador</i>                                    | <i>TB-04</i>                     |
|                            |                             |  |                                  |
| <i>TB-04</i>               | <i>1200ton/hrs.</i>         | <i>TB-01 y TB-02</i>                               | <i>TB-05</i>                     |
| <i>TB-04</i>               | <i>1200ton/hrs.</i>         | <i>TB-01 y TB-02</i>                               | <i>TB-06</i>                     |
|                            |                             |  |                                  |
| <i>TB-05</i>               | <i>1200ton/hrs.</i>         | <i>TB-04</i>                                       | <i>Tripper / Almacén</i>         |
|                            |                             |  |                                  |
| <i>TB-06</i>               | <i>1200ton/hrs.</i>         | <i>TB-04</i>                                       | <i>TB-07</i>                     |
|                            |                             |  |                                  |
| <i>TBA-01</i>              | <i>1800ton/hrs.</i>         | <i>Cargador frontal</i>                            | <i>TBA-02</i>                    |
| <i>TBA-02</i>              | <i>1800ton/hrs.</i>         | <i>TBA-01</i>                                      | <i>TBA-03</i>                    |
|                            |                             |  |                                  |
| <i>TBA-03</i>              | <i>1800ton/hrs.</i>         | <i>Cargador frontal</i>                            | <i>TB-07</i>                     |
| <i>TBA-03</i>              | <i>1800ton/hrs.</i>         | <i>TBA-02</i>                                      | <i>TB-07</i>                     |
| <i>TBA-03</i>              | <i>1800ton/hrs.</i>         | <i>TB-06</i>                                       | <i>TB-07</i>                     |
|                            |                             |  |                                  |
| <i>TB-07</i>               | <i>1800ton/hrs.</i>         | <i>TBA-03</i>                                      | <i>TBS-01</i>                    |
| <i>TB-07</i>               | <i>1800ton/hrs.</i>         | <i>TB-06</i>                                       | <i>TBS-01</i>                    |
|                            |                             |  |                                  |
| <i>TBS-01</i>              | <i>1800ton/hrs.</i>         | <i>TB-07</i>                                       | <i>TBS-02</i>                    |
|                            |                             |  |                                  |
| <i>TBS-02</i>              | <i>1800ton/hrs.</i>         | <i>TBS-01</i>                                      | <i>TBS-03</i>                    |
|                            |                             |  |                                  |
| <i>TBS-03</i>              | <i>1800ton/hrs.</i>         | <i>TBS-02</i>                                      | <i>TBS-04</i>                    |
| <i>TBS-03</i>              | <i>1800ton/hrs.</i>         | <i>TBS-02</i>                                      | <i>TBS-05</i>                    |
|                            |                             |  |                                  |
| <i>TBS-04</i>              | <i>900ton/hrs.</i>          | <i>TBS-03</i>                                      | <i>CBB-01</i>                    |
|                            |                             |  |                                  |
| <i>TBS-05</i>              | <i>900ton/hrs.</i>          | <i>TBS-03</i>                                      | <i>CBB-02</i>                    |

**Tabla 1. Secuencia de Operación de Transportadores.**

- *Escenarios de trabajo.*

Durante la operación del sistema se pueden presentar varios escenarios de trabajo, los cuales debemos analizar, para evitar problemas al sistema durante su operación.

Para ello debemos tener en cuenta la capacidad de manejo de cada equipo, su ubicación y posición dentro del sistema como lo vimos en la sección anterior.

Ahora teniendo presente que la velocidad de manejo del material será de: 500 pies/minuto = 2.5m/seg. podremos estimar posteriormente los tiempos de recorrido del mineral en los diferentes trayectos que puede realizar.

Bajo esta descripción el proceso normal de trabajo sería el siguiente:

### ***Escenario 1.***

Recibimos mineral desde el ferrocarril, lo descargamos con el volcador a las tolvas receptoras y éstas lo vierten sobre dos transportadores que alimentarán otro que sacará el material de la fosa para llevarlo al almacén. Una vez apilado el mineral se colecta con cargadores frontales y los vierte a tolvas que están dispuestas a los costados de la pila de almacenamiento, éstas alimentan a dos transportadores para que inicien su recorrido hacia el muelle. El material recorre los patios y llega a una bifurcación que lo divide en dos partes y alimentando a dos cargadores de barcos que llenarán las galerías del barco.

Si lo ponemos en números, tendríamos:

#### *Verificación de la capacidad de carga por cargadores frontales.*

Se llena el barco con material exclusivamente del almacén, es decir manejando 1800 ton/hr, los cargadores frontales tienen una distancia máxima del recorrido=17mts; de estudios anteriores con un recorrido máximo de 18 mts: el tiempo promedio de un ciclo de carga a tolvas de almacén son de 30seg, y considerando un tiempo mas el 20% del mismo, el tiempo por ciclo seria de 36 segundos.

$$No\_ciclos\_en\_1\cdot hr = \frac{3600seg}{36seg} = 100 \left[ \frac{ciclos}{hr} \right], \text{ como máximo a ritmo de trabajo normal.}$$

Por otro lado, conocemos los datos de los cargadores

1 caterpillar 966H tiene una capacidad de  $3.8 m^3$   
1 caterpillar 966H de tiene una capacidad de  $3.8 m^3$

Considerando como máximo 95 ciclos por hora y que la densidad del material es de 2.5 [ton/m<sup>3</sup>], tendremos una capacidad de:

$3.8m^3 \times 95 \frac{ciclos}{hora} = 361m^3/Hr \times 2.5 \frac{ton}{m^3} = 902.5\_ton/hr.$  Cada uno, como son dos tenemos  $2 \times 902.5 = 1805$  ton/hr, por ello hasta el momento no se tiene ningún problema ya que esta capacidad de 1800 [ton/hr] se divide al llegar al transportador TBS-04 y TBS-05, que tiene una capacidad de 900 [ton/hr] cada uno.

Es decir con los dos cargadores satisfacemos la demanda de todo el sistema.

### ***Escenario 2.***

Cuando por alguna razón (descompostura del tripper, no llegaba mineral del ferrocarril, descompostura de un cargador frontal, etc.) el apilamiento de mineral sea insuficiente y al mismo tiempo tengamos mineral en el patio dentro de las góndolas; procederemos a descargar el

mineral con el volcador y lo enviaremos directo hacia el muelle, sin pasar por el almacén. Pero como es menor al gasto requerido, se podrá completar el gasto con lo que hay en el almacén a fin de acelerar el llenado del barco.

De estudios anteriores: se concluyó que la capacidad de manejo sería:

$$40 \text{ furgones} \times 85 \frac{\text{ton}}{\text{furgon}} = 3400 \text{ton}$$

Para descargar en un tiempo máximo de 10Hrs , incluyendo tiempo de maniobras esto resulta:

$$\frac{3400 \text{ton}}{10 \text{Hrs} - 4 \text{maniobras}} = 566.6 \frac{\text{ton}}{\text{Hr}}$$

Pero requerimos mandar al barco  $1800 \frac{\text{ton}}{\text{Hra}}$  por lo tanto

$$\text{Faltarían: } 1800 - 566.6 = 1234 \frac{\text{ton}}{\text{hora}}$$

Esto equivale que los cargadores en el almacén deben trabajar a 65 [ciclos/hr] para la siguiente capacidad.

$$65 \frac{\text{ciclo}}{\text{Hora}} \times \frac{3.8 \text{m}^3}{\text{ciclo}} \times 2 - \text{CARGADORES} \times 2.5 \frac{\text{ton}}{\text{m}^3} = 1235 \frac{\text{ton}}{\text{Hora}}$$

$$\text{Capacidad\_carga} = 1235 \frac{\text{ton}}{\text{Hora}}$$

Estos son los escenarios básicos de operación del sistema, durante la operación seguramente se presentaran diversos casos ajenos a este que se tendrán que analizar para darles solución, siempre teniendo en consideración estos dos ya mencionados.

### III. ALCANCE Y LIMITACIONES.

El presente trabajo tiene por objeto mostrar los aspectos generales de análisis y diseño estructural de las galerías para los transportadores y torres de transferencia, destinadas al área de salida del sistema de almacenamiento y carga de barcos de Guaymas, Sonora.

Con objeto de que se identifiquen y visualicen apropiadamente las diversas etapas en que se divide el análisis y posteriormente el diseño, se lleva a cabo una descripción general de los componentes que conforman las estructuras, aspectos que serán tratados en el capítulo IV, con base en la perspectiva lograda en este, serán tratados en el capítulo V los aspectos más relevantes del análisis y diseño, en base a sus resultados a través de la modelación de las estructuras.

Se analizan todas las estructuras que se encuentran en la trayectoria denominada de salida; comenzando con el transportador TB-07 que llega a la torre de transferencia TT-1 y terminando con los transportadores TBS-04 y TBS-05 que llegan a las torres de Transferencia TT-5 y TT-6 respectivamente, así como todas las transferencias intermedias como son las torres TT-2, TT-3 y TT-4, del mismo modo se analizan las torres auxiliares de apoyo así como todos los soportes intermedios de las armaduras, es decir, los caballetes.

Cabe mencionar que solo se realiza la revisión estructural de las construcciones antes mencionadas y no se abarca el diseño ni revisión de los cargadores de barcos, tampoco el diseño ni revisión de cimentaciones de las estructuras del área de salida.

A continuación se muestra la planta general de desarrollo del área de salida (Fig. 4), donde se observa toda la trayectoria de los transportadores.

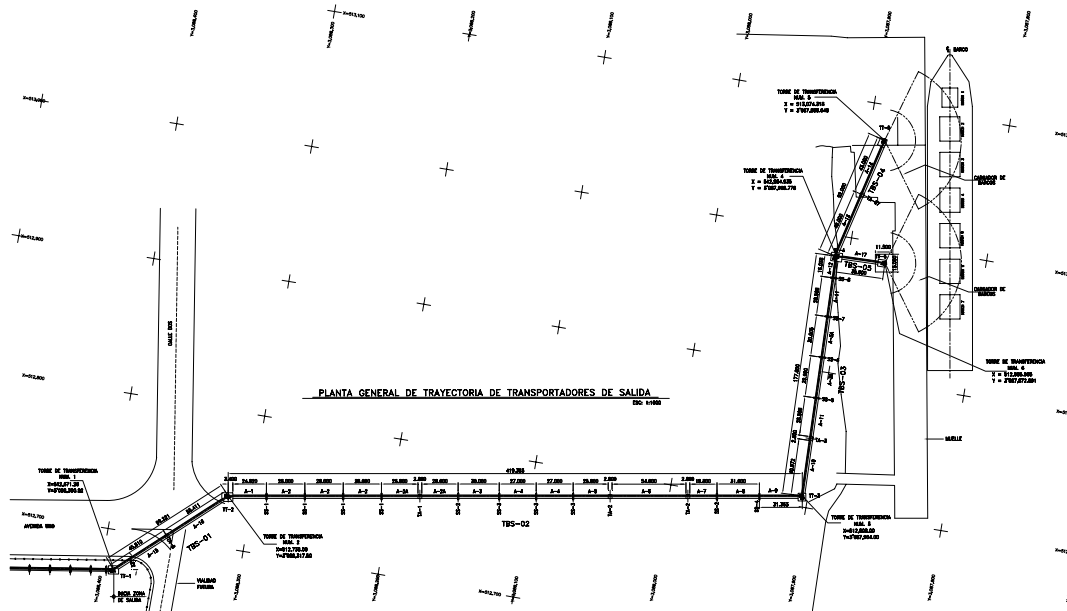


Fig. 4 Planta General Área de Salida.

## IV. ANÁLISIS Y DISEÑO DE GALERÍAS Y TORRES DE TRANSFERENCIA.

En este capítulo se realizará una descripción de los puntos de trabajo y niveles requeridos en cada una de las estructuras involucradas, su utilización e importancia.

### IV.1 DESCRIPCIÓN.

#### IV.1.1 GALERÍAS.

En general los transportadores del área de salida inician su recorrido de una torre de transferencia “TT-X”\* dirigiéndose hacia otra denominada “TT-Y”\*; estos tienen dos puntos básicos de referencia, el nivel superior de la polea de cola (NSPC\*) y el nivel de la polea motriz (NSPM\*), los cuales nos dan la trayectoria del transportador.

Como se puede observar en la figura 5 a partir de los puntos de trabajo se hace la trayectoria principal de los transportadores, primero se lleva el material a la cota más elevada a través de una banda para que posteriormente, por gravedad, se descargue a la siguiente por medio de un “chute” de paso, que a su vez lo llevará a la siguiente transferencia y así sucesivamente. La secuencia de transporte de mineral de hierro desde el almacén hacia el barco deberá obedecer a la filosofía de operación del capítulo II.

Los transportadores tienen dos longitudes principales, la que existe entre las poleas de cola y motriz conforme a la inclinación que se tiene y la proyección horizontal de la misma; estas longitudes las denominaremos como  $L_{INC}$ \* y  $L_{HOR}$ \* respectivamente.

Así mismo los transportadores constan de una serie de galerías que se apoyan a su vez en torres de dos apoyos dispuestas para ese propósito denominadas caballetes. Cuando la longitud del transportador excede mas de 150 metros se coloca una torre de cuatro apoyos denominada torre auxiliar ó en el caso que una galería sola exceda la longitud de 40 metros también se colocará; esto es con el propósito de absorber las deformaciones por dilatamiento o contracción del acero a causa de la gran variación de temperaturas del lugar. Cuando exista un cambio de dirección en la trayectoria de los transportadores se colocará una torre de transferencia que albergará los chutes necesarios para realizar el cambio.

\* Ver la Tabla 2

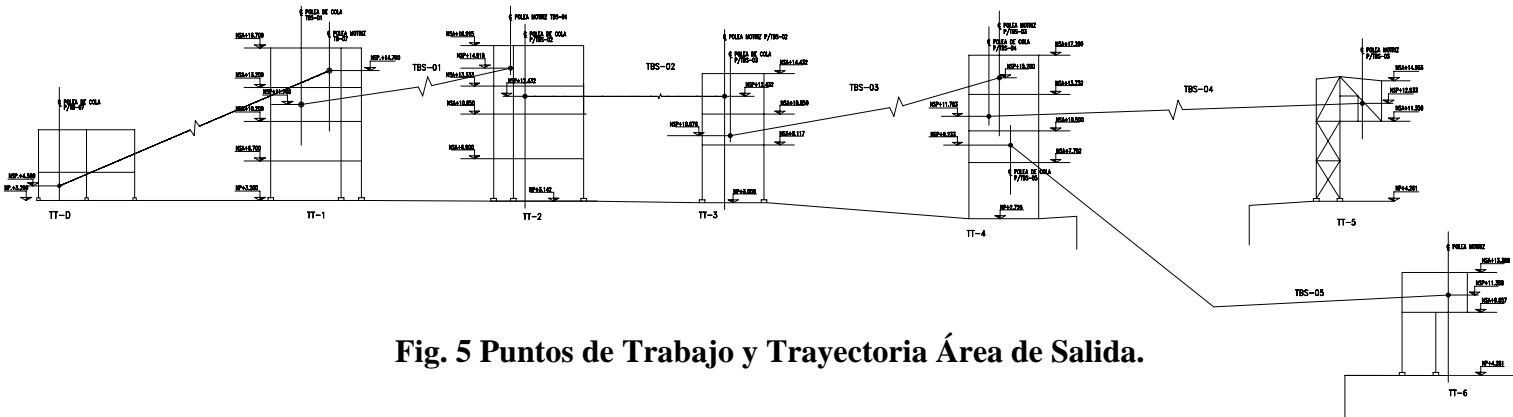


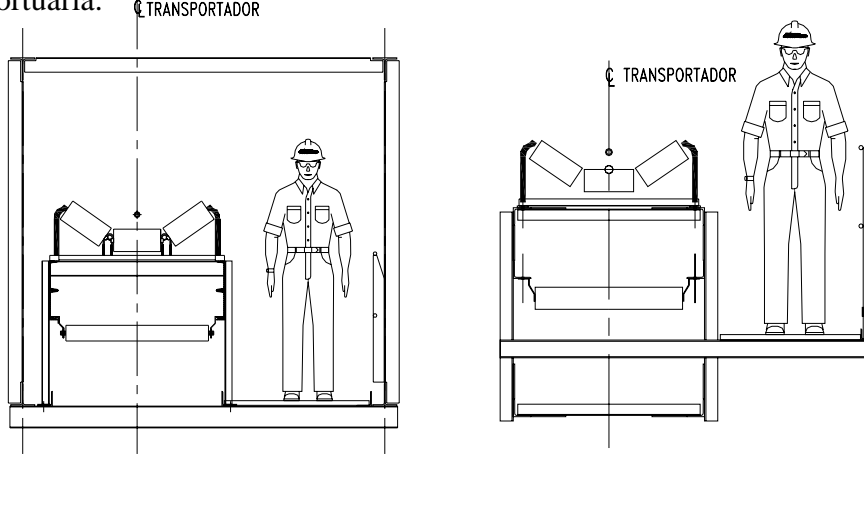
Fig. 5 Puntos de Trabajo y Trayectoria Área de Salida.

| TRANSPORTADOR<br>Y ANCHO DE<br>BANDA | PUNTOS DE<br>REFERENCIA |        | TORRES DE<br>TRANSFERENCIA |        | LONGITUD (mts)   |                | ARMADURAS<br>QUE LO<br>CONFORMAN | CABALLETES<br>QUE LO<br>CONFORMAN              |
|--------------------------------------|-------------------------|--------|----------------------------|--------|------------------|----------------|----------------------------------|--|
|                                      | NSPC                    | NSPM   | "TT-X"                     | "TT-Y" | PLANTA<br>L. HOR | REAL<br>L. INC |                                  |  |
| <b>TB -07 ANCHO<br/>36"</b>          | 4.500                   | 14.700 | TT-D                       | TT-1   | 98.330           | 98.850         | A-18                             | SS-9, SS-10,<br>SS-11, SS-12,<br>SS-13 y SS-14 |
| <b>TBS-01 ANCHO<br/>36"</b>          | 11.700                  | 14.915 | TT-1                       | TT-2   | 100.721          | 100.772        | A-15 y A-16                      | TA-5   |
| <b>TBS-02 ANCHO<br/>36"</b>          | 12.432                  | 12.432 | TT-2                       | TT-3   | 420.190          | 420.190        | A-1, A-2, A-2A,<br>A-3 a A-9     | TA-1, TA-2,<br>SS-1, SS-2, SS-3,<br>SS-4       |
| <b>TBS-03 ANCHO<br/>36"</b>          | 10.076                  | 15.200 | TT-3                       | TT-4   | 178.000          | 178.074        | A-10, A-11, A-<br>3A, A-12       | TA-3, SS-5, SS-6,<br>SS-7 y SS-8               |
| <b>TBS-04 ANCHO<br/>30"</b>          | 11.783                  | 12.933 | TT-4                       | TT-5   | 93.000           | 93.007         | A-13 y A-14                      | TA-7   |
| <b>TBS-05 ANCHO<br/>30"</b>          | 9.233                   | 11.388 | TT-4                       | TT-6   | 34.900           | 34.966         | A-17                             | ---  |

**Tabla 2. Propiedades características de Transportadores.**

En las galerías existen 2 tipos de secciones básicas utilizadas en el proyecto, las cuales se eligieron conforme a los claros a librar. Para claros de más de 25 metros se utilizó la sección transversal Tipo A mostrada en la figura 6 y para los claros de menos de 15 metros y hasta 20 se utilizó la sección transversal Tipo B.

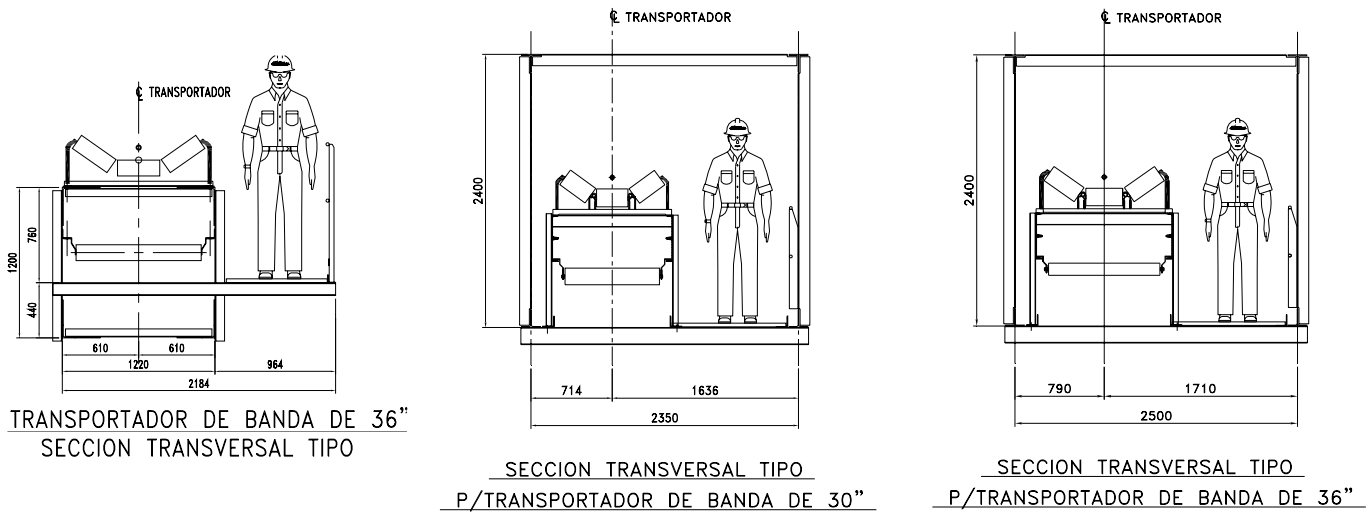
Cabe mencionar que algunos de los claros fueron obligados por interferencias con instalaciones existentes en los patios del puerto y en beneficio de la operatividad de la administración portuaria.



**Fig. 6 Secciones de Galerías para Transportadores de Banda**

Como se puede observar las galerías cuentan con un pasillo lateral que sirve para supervisar el transportador y dar mantenimiento a las partes que lo componen. Las galerías del Tipo A están conformadas por 4 armaduras que forman una sección transversal de forma rectangular. Las del Tipo B forman un rectángulo menor con la adición de un cantiliver que da ocasión al pasillo; en ambas el sistema de piso que se empleara será a base de rejilla tipo Irving.

Las medidas de las secciones transversales varían conforme al ancho de la banda del transportador, dado que puede ser de 30" ó 36" (Ver tabla 2); la sección transversal "Tipo B" solo es empleada en el transportador TB-07 los demás transportadores analizados en este trabajo tienen una sección "Tipo A". A continuación mostramos las dimensiones generales de todas las secciones transversales empleadas en el área de salida (Figura 7).



**Fig. 7 Dimensiones generales de Secciones de Galerías.**

Las galerías Tipo A tienen una sección rectangular de 2.4 metros de peralte (medida a tope exterior de cuerdas) x 2.35 ó 2.5 metros de ancho (medida a ejes de cuerdas), con una modulación entre montantes de 2.4 metros teniendo separaciones de ajuste cuando llegan a un apoyo; la estructuración básica de las armaduras verticales es la siguiente:

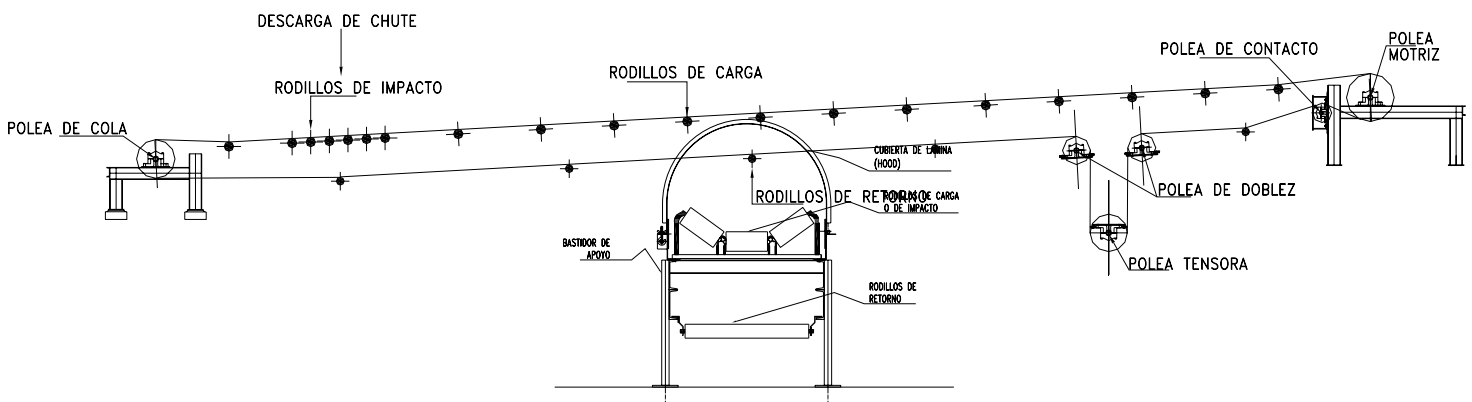
- Cuerda inferior y superior a base de perfiles de tipo TR.
- Montantes intermedios y diagonales, tanto verticales como horizontales, a base de perfiles TR.
- Arriostramiento de la cuerda inferior con perfiles IR.
- Arriostramiento de la cuerda superior con perfiles TR.

En los marcos de apoyo se colocarán marcos rígidos a base de perfiles IR para que proporcionen estabilidad lateral a la armadura.

Las galerías Tipo B tienen una sección rectangular de 1.22 metros de ancho a ejes x 1.20 metros de peralte (medida a tope exterior de cuerdas), con una modulación entre montantes de 1.25 metros variando en los extremos de apoyos con separaciones de ajuste.

La estructuración básica de las armaduras tipo B es a base de perfiles LI, tanto para cuerdas inferior y superior, para montantes y diagonales; en los marcos que coinciden sobre apoyos se colocaron perfiles tipo IR para proporcionar estabilidad lateral a la armadura en su conjunto.

Ambas galerías albergarán a los diferentes transportadores de banda ya sean de 30" ó 36" de ancho. Las partes que componen a un transportador en su conjunto, mecánicamente hablando, son: un bastidor de apoyo para la colocación de los rodillos de carga, de impacto (reciben la descarga de chutes) y de retorno; este bastidor también sirve para la colocación de 2 poleas de dobles que cambian la dirección de la banda hacia la polea tensora donde se encuentra un contrapeso. Además tenemos 2 bancos para el apoyo las poleas de cola y motriz, este último soporta al chute de descarga del transportador. Además tenemos una cubierta que protege al material de las ráfagas de viento llamada hoods. Para una mejor ilustración ver figura 8.

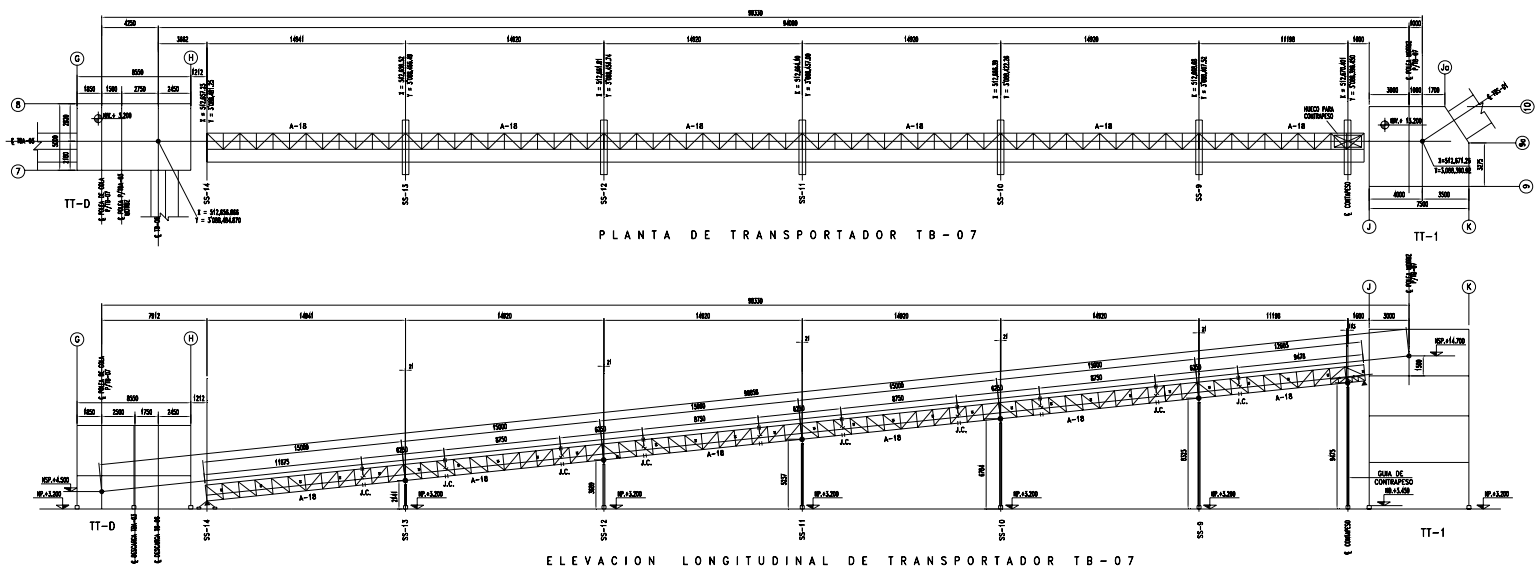


**Fig. 8 Componentes Generales Mecánicos de un transportador.**

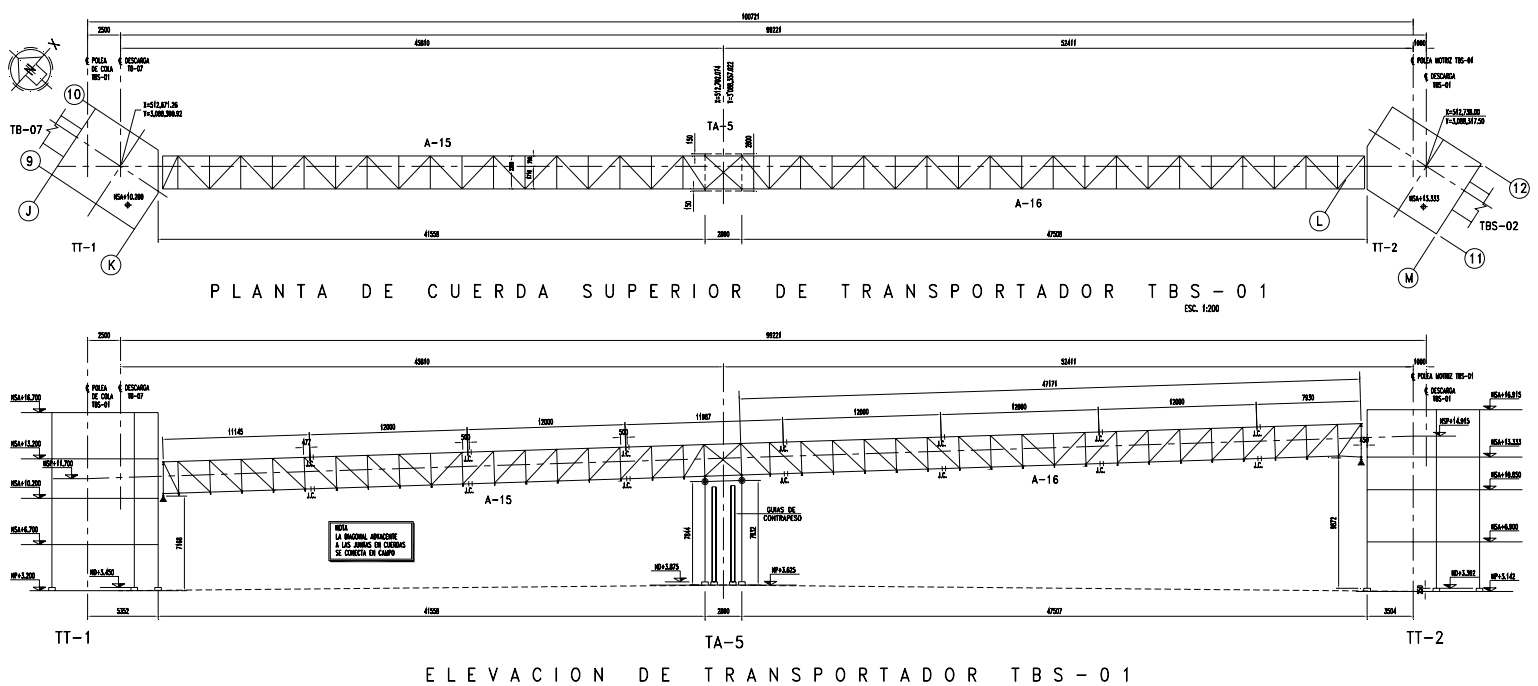
Es importante mencionar que se realizó la ubicación de juntas de campo considerando una longitud máxima de 12 metros, un ancho máximo de 2.5 metros y 3 metros de peralte, dado que son las dimensiones típicas de un trailer para el transporte de estructuras; la idea es soldar en taller y conectar mediante pernos en campo.

Para la revisión y el análisis de los elementos de la estructura se utilizó un programa de análisis y diseño estructural, denominado SAP 2000 que permite modelar la estructura en tres dimensiones ingresando las cargas a las que se vera solicitada la estructura y calcular los efectos de las fuerzas sísmicas y de viento en los elementos estructurales; así como las combinaciones entre ellas.

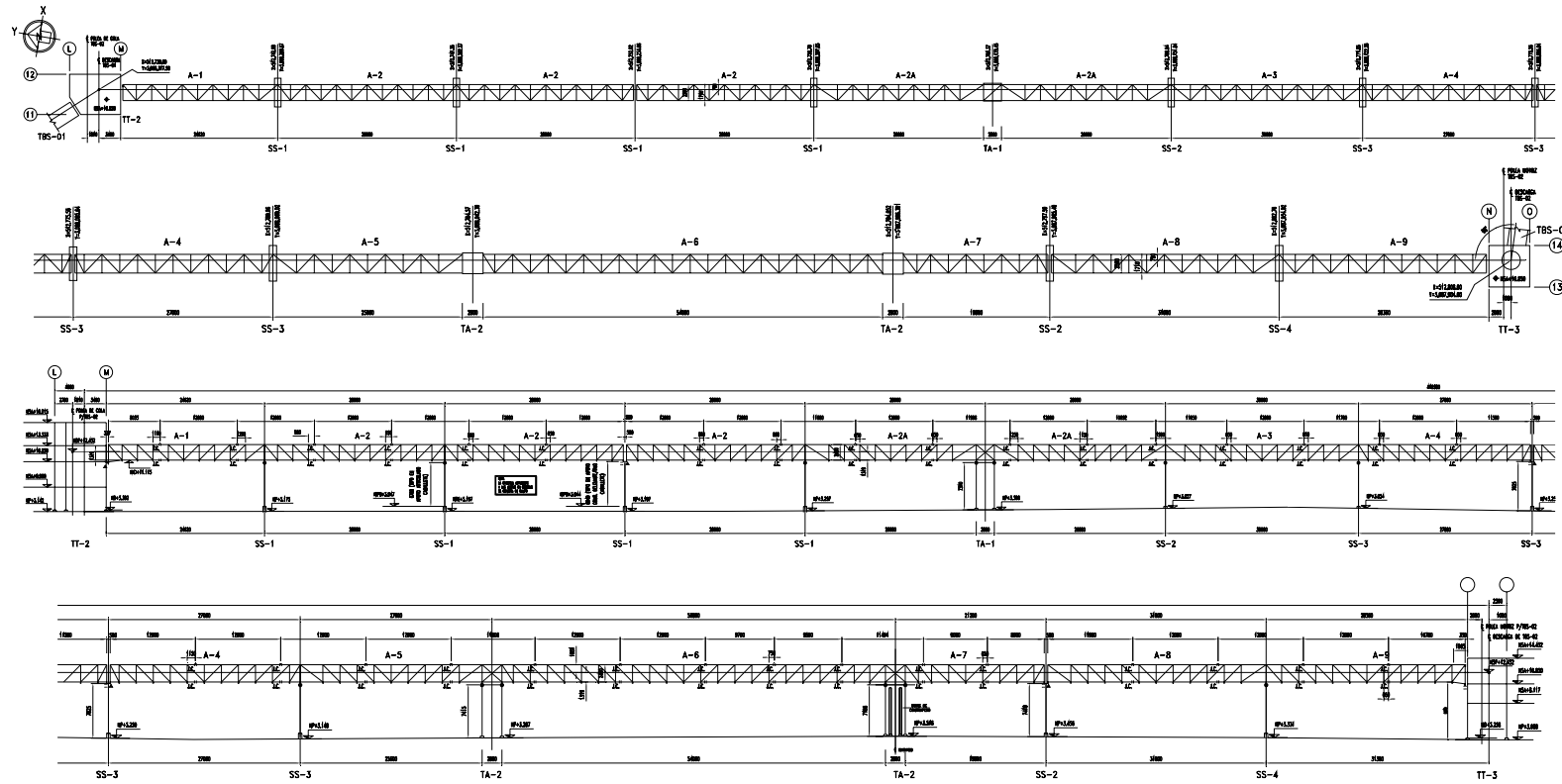
A continuación se muestran los arreglos estructurales que se generaron a partir de la información del área mecánica, se muestra la trayectoria en planta y en elevación, ver figuras 9 a 14.



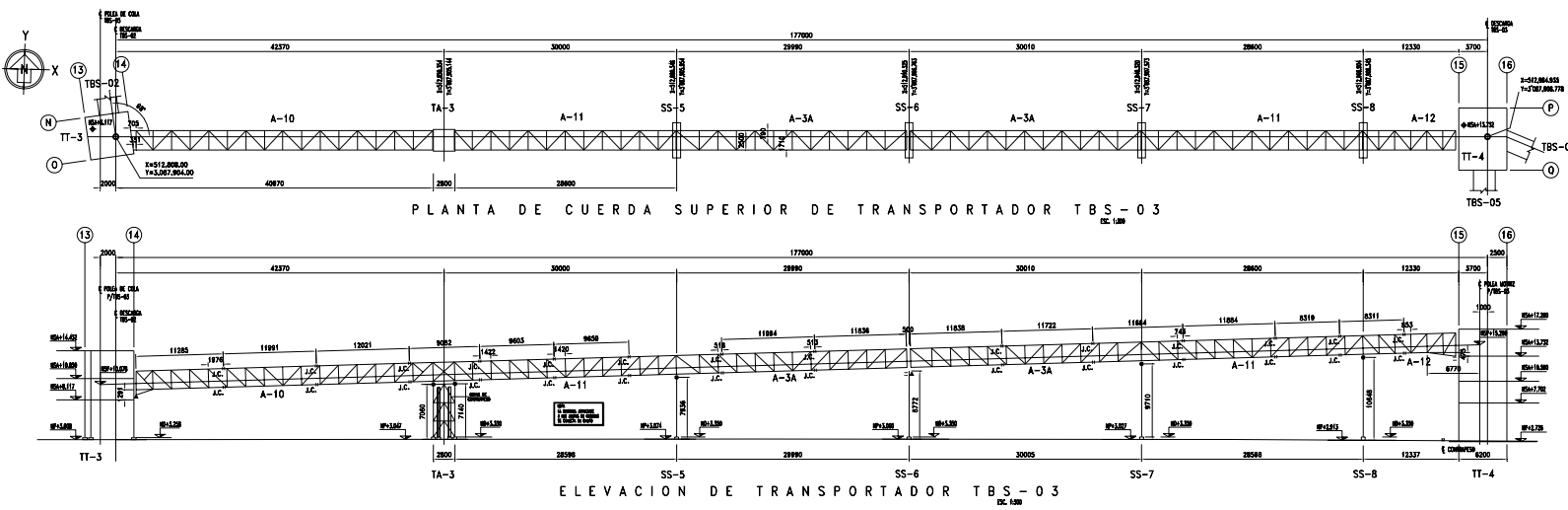
**Fig. 9 Arreglo General de Transportador TB-07.**



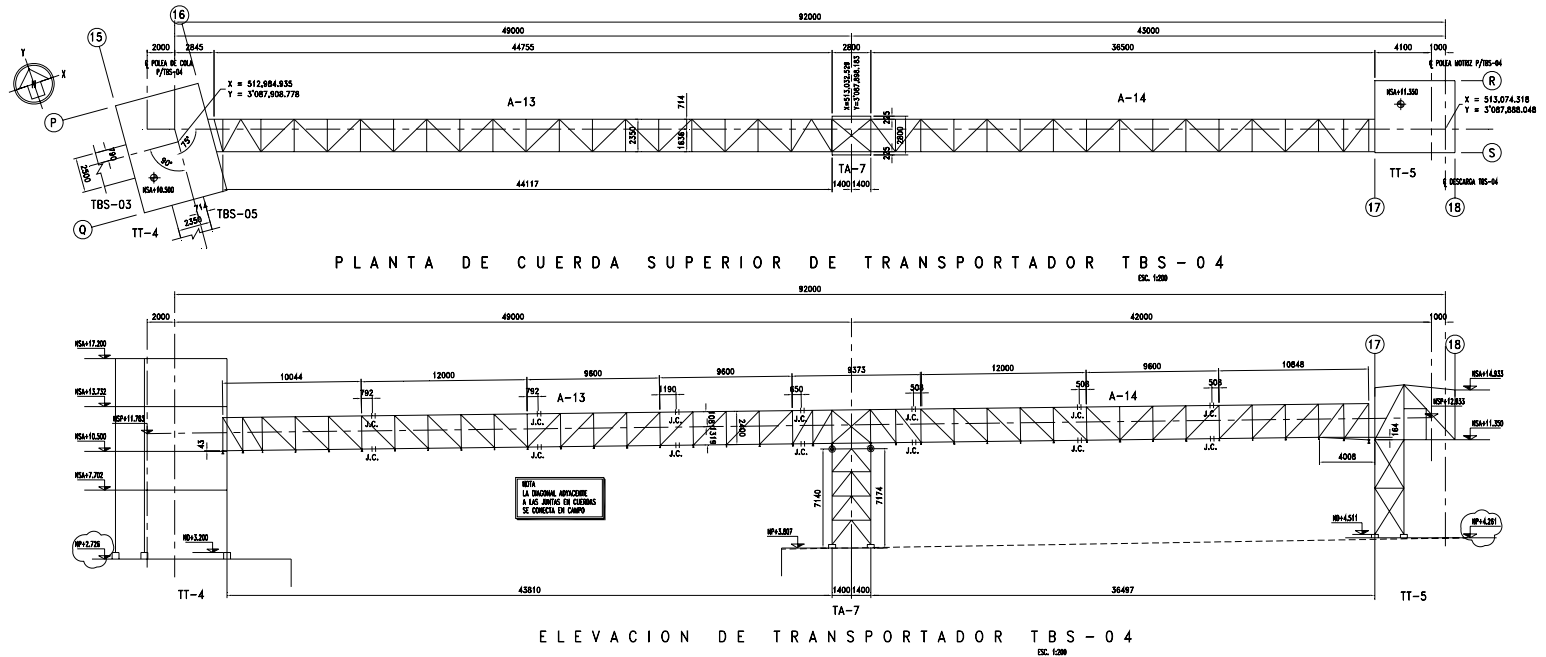
**Fig. 10 Arreglo General de Transportador TBS-01.**



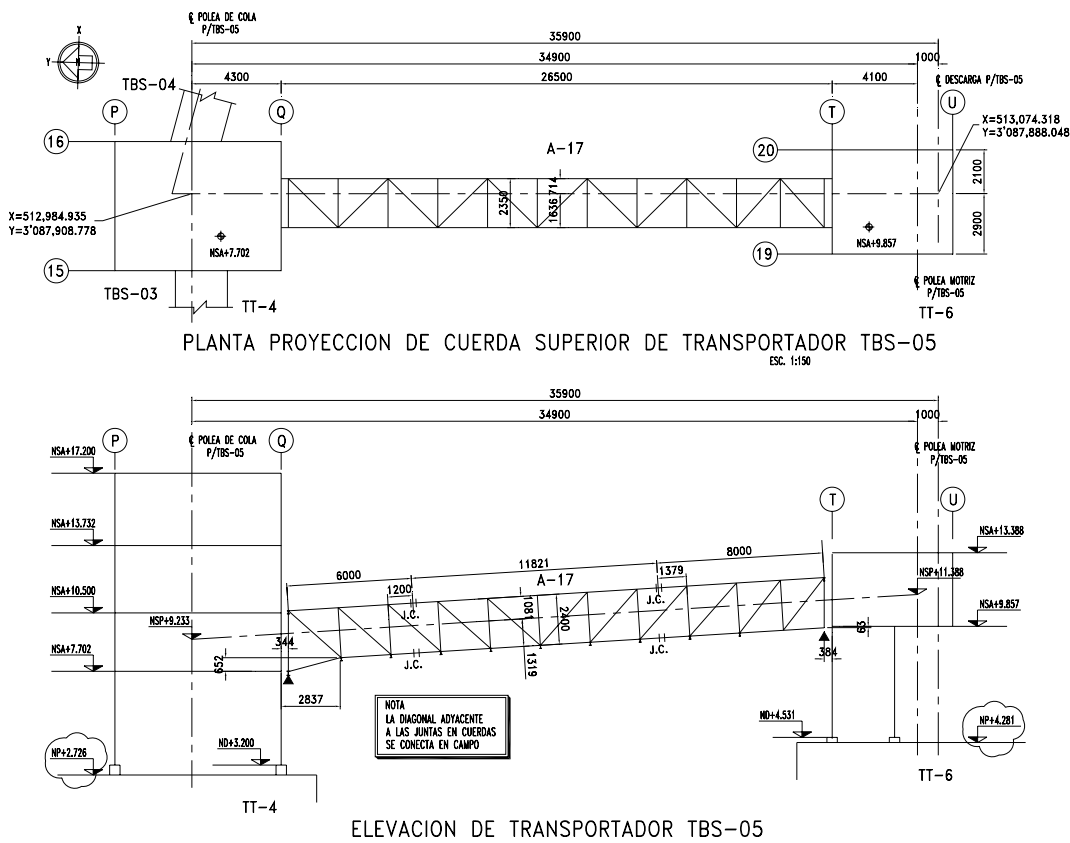
**Fig. 11 Arreglo General de Transportador TBS-02.**



**Fig. 12 Arreglo General de Transportador TBS-03.**



**Fig. 13 Arreglo General de Transportador TBS-04.**



**Fig. 14 Arreglo General de Transportador TBS-05.**

#### IV.1.2 TORRES DE TRANSFERENCIA.

En general las torres de transferencia tienen una función, pasar el material de un lugar a otro e inverso y hacer un cambio de dirección en la trayectoria de la línea de transporte.

Como podemos observar en la tabla 2 del capítulo anterior existen transferencias de un transportador a otro por medio de las torres denominadas como “TT-X” y “TT-Y”, estas son las que nos ocupan en este apartado.

Cada torre por si misma recibe dos o tres transportadores, uno que le aporta material por medio de la banda hacia un chute de descarga; el cual alimentará al siguiente transportador, y otro u otros que trasladen el material a la siguiente torre ó a la entrega final en los cargadores de barcos.

Entonces como podemos observar las torres de transferencia albergan la unidad motriz del transportador que aporta material a la torre junto con su chute de descarga, ambos se apoyan sobre un banco dispuesto para estos fines; la unidad motriz se encarga del funcionamiento del transportador y permite la descarga de material al banco de la polea de cola del transportador que saldrá de la torre, ubicado en el nivel inferior debajo de la posición que sustenta a la polea motriz.

Para la ubicación de los puntos de trabajo y posiciones de equipos, el área mecánica realiza arreglos de llegada y salida de transportadores; en otras palabras definen los niveles de operación de las torres.

Para una mejor visualización se realizó la tabla 3, que a continuación se muestra:

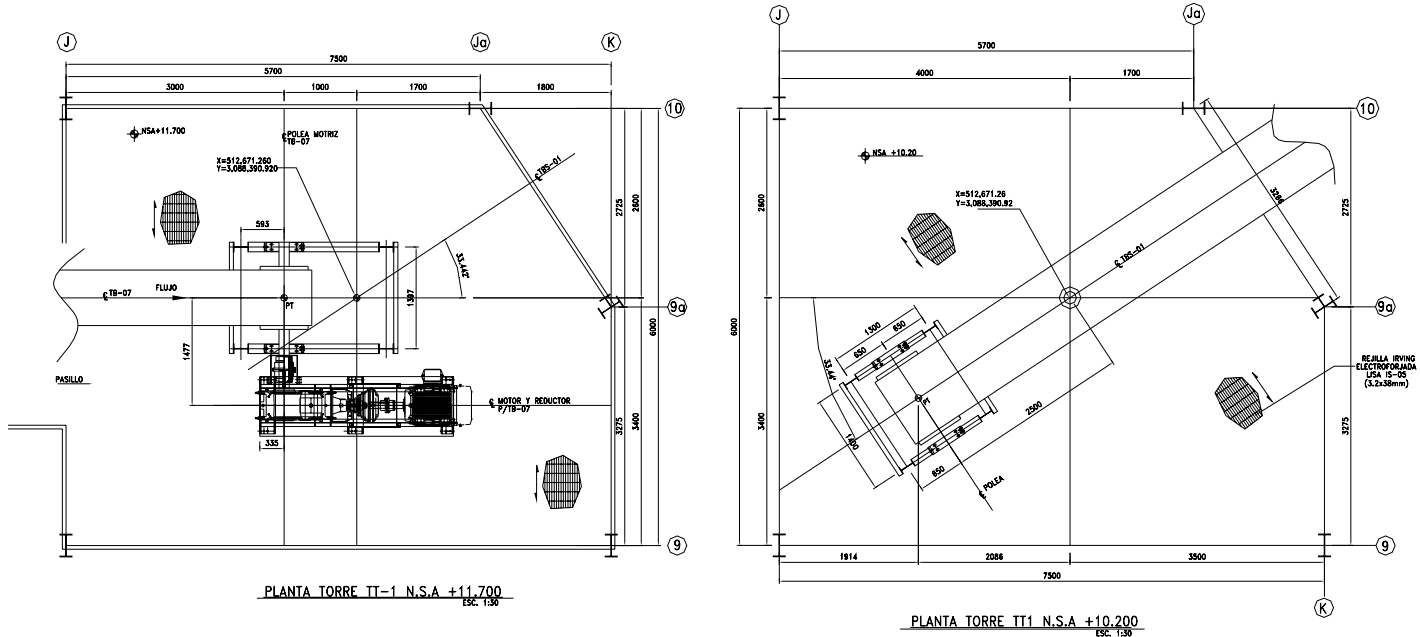
| TORRE DE TRANSFERENCIA | TRANSPORTADOR QUE APORТА MATERIAL | TRANSPORTADOR QUE SALE DE TORRE | CHUTE QUE TRANSIERE | FIGURA CON PLANTAS DE OPERACIÓN MECÁNICAS |
|------------------------|-----------------------------------|---------------------------------|---------------------|---|
| TT-1                   | TB-07                             | TBS-01                          | CH-07               | Fig. 15                                   |
| TT-2                   | TBS-01                            | TBS-02                          | CHS-01              | Fig. 16                                   |
| TT-3                   | TBS-02                            | TBS-03                          | CHS-02              | Fig. 17                                   |
| TT-4                   | TBS-03                            | TBS-04                          | CHS-03              | Fig. 18                                   |
| TT-5                   | TBS-04                            | CARGADOR DE BARCOS              | CH-04               | Fig. 19                                   |
| TT-6                   | TBS-05                            | CARGADOR DE BARCOS              | CH-05               | Fig. 20                                   |

**Tabla 3. Características de Torres de Transferencia.**

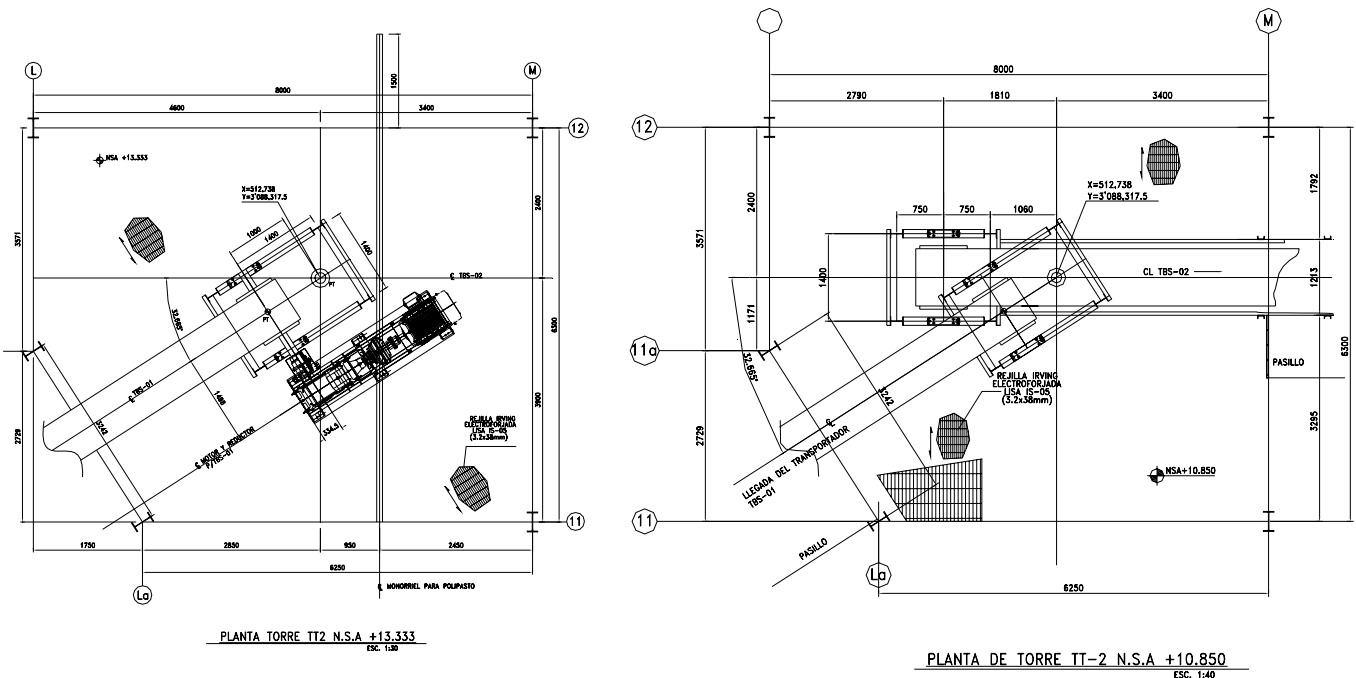
A partir de la información del departamento mecánico realizamos la estructuración de cada planta de operación cubriendo todas las necesidades de apoyo para los equipos y bastidores; del mismo modo se realiza la estructuración de las elevaciones de la torres contemplando los accesos y salidas de los transportadores, para no interrumpir el recorrido de los mismos con algún contraventeo. Los arreglos mecánicos deben indicar las dimensiones y posición de los huecos que se

requieren así como todos los apoyos en planta, llámese apoyo de bastidor, apoyo para bancos de polea o localización de barrenos para la sujeción de la unidad motriz.

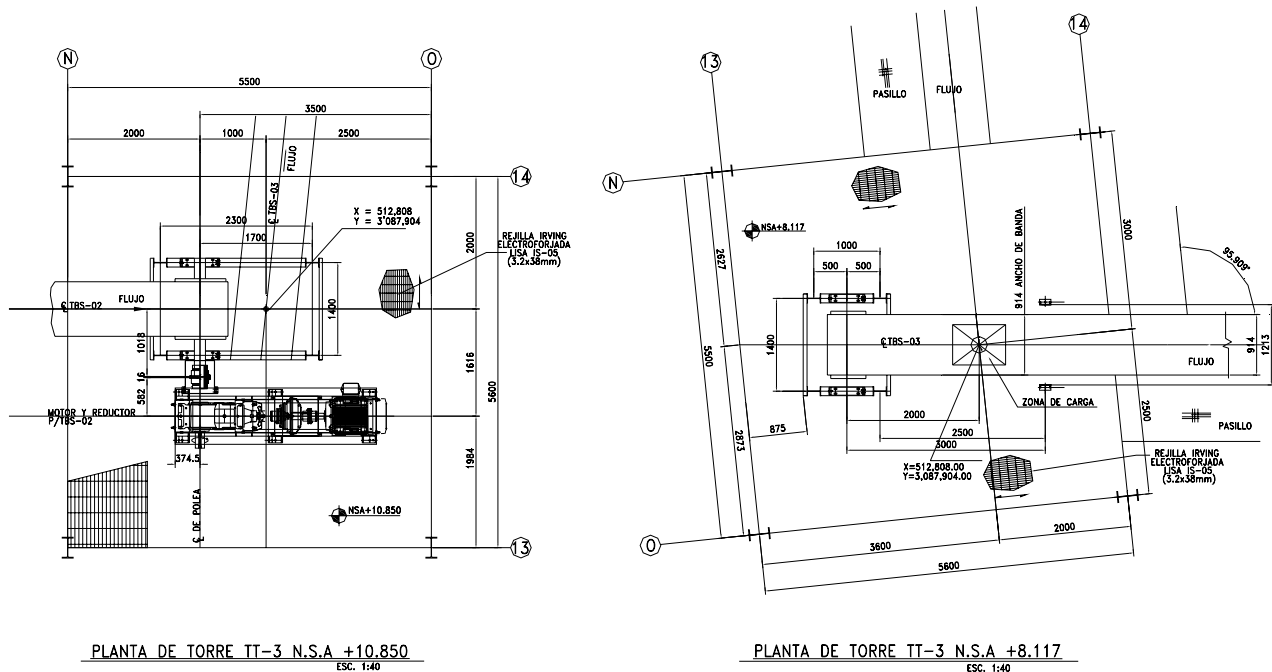
A continuación se muestran las plantas de arreglo mecánico de cada una de las torres de transferencia del área de salida (según lo indica la tabla 3).



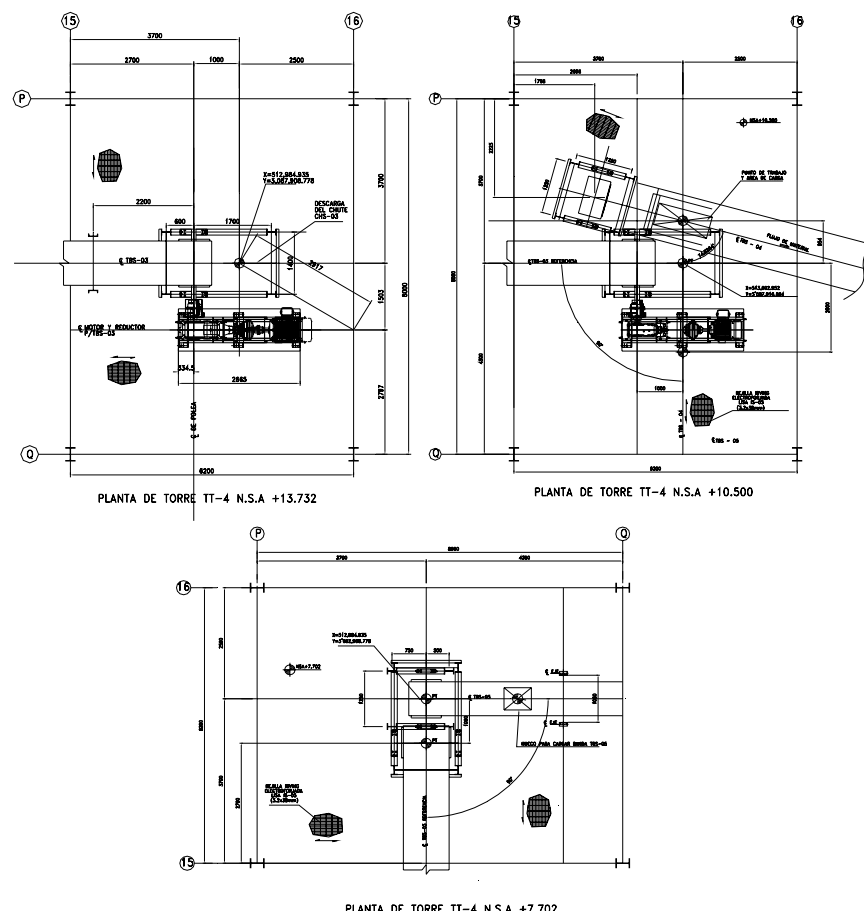
**Fig. 15 Plantas de Operación de Torre TT-1, arreglo Mecánico.**



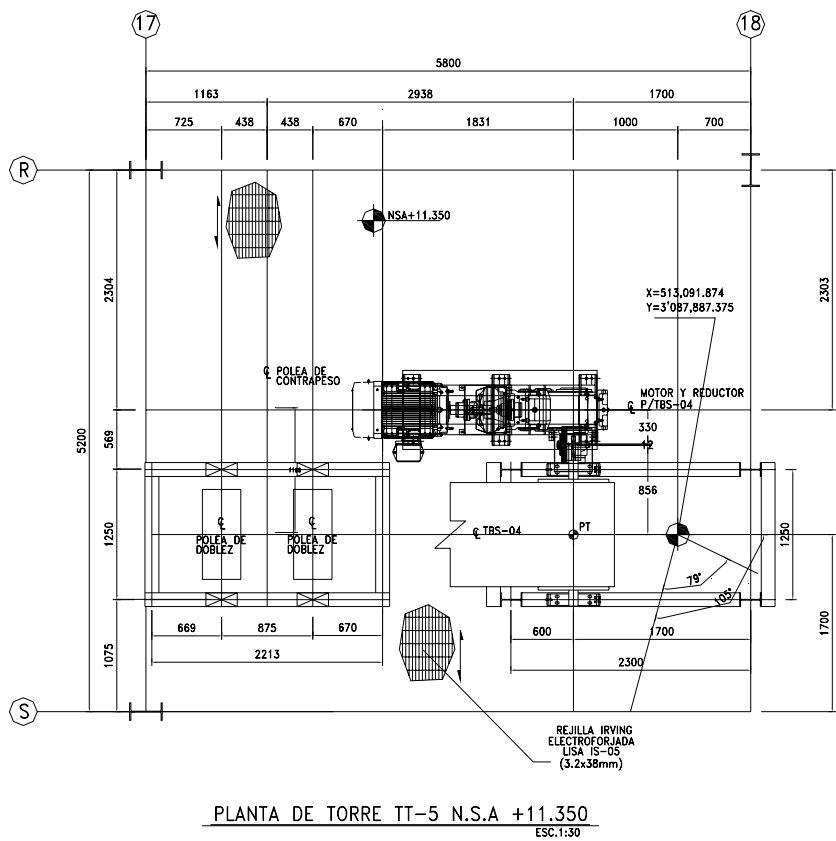
**Fig. 16 Plantas de Operación de Torre TT-2, arreglo Mecánico.**



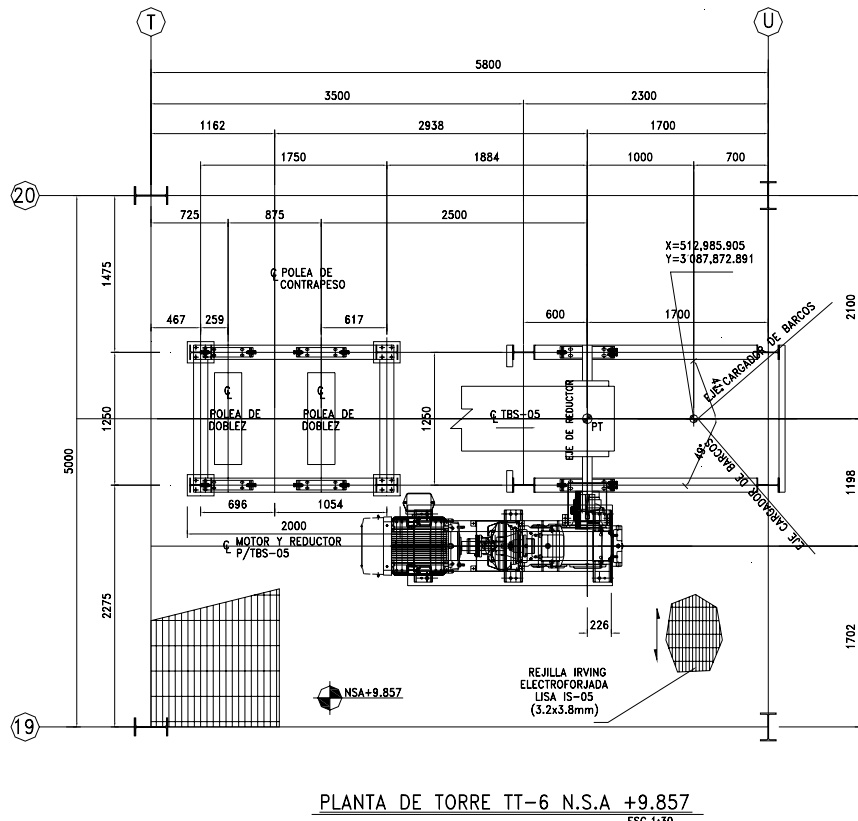
**Fig. 17 Plantas de Operación de Torre TT-3, arreglo Mecánico.**



**Fig. 18 Plantas de Operación de Torre TT-4, arreglo Mecánico.**



**Fig. 19 Plantas de Operación de Torre TT-5, arreglo Mecánico.**

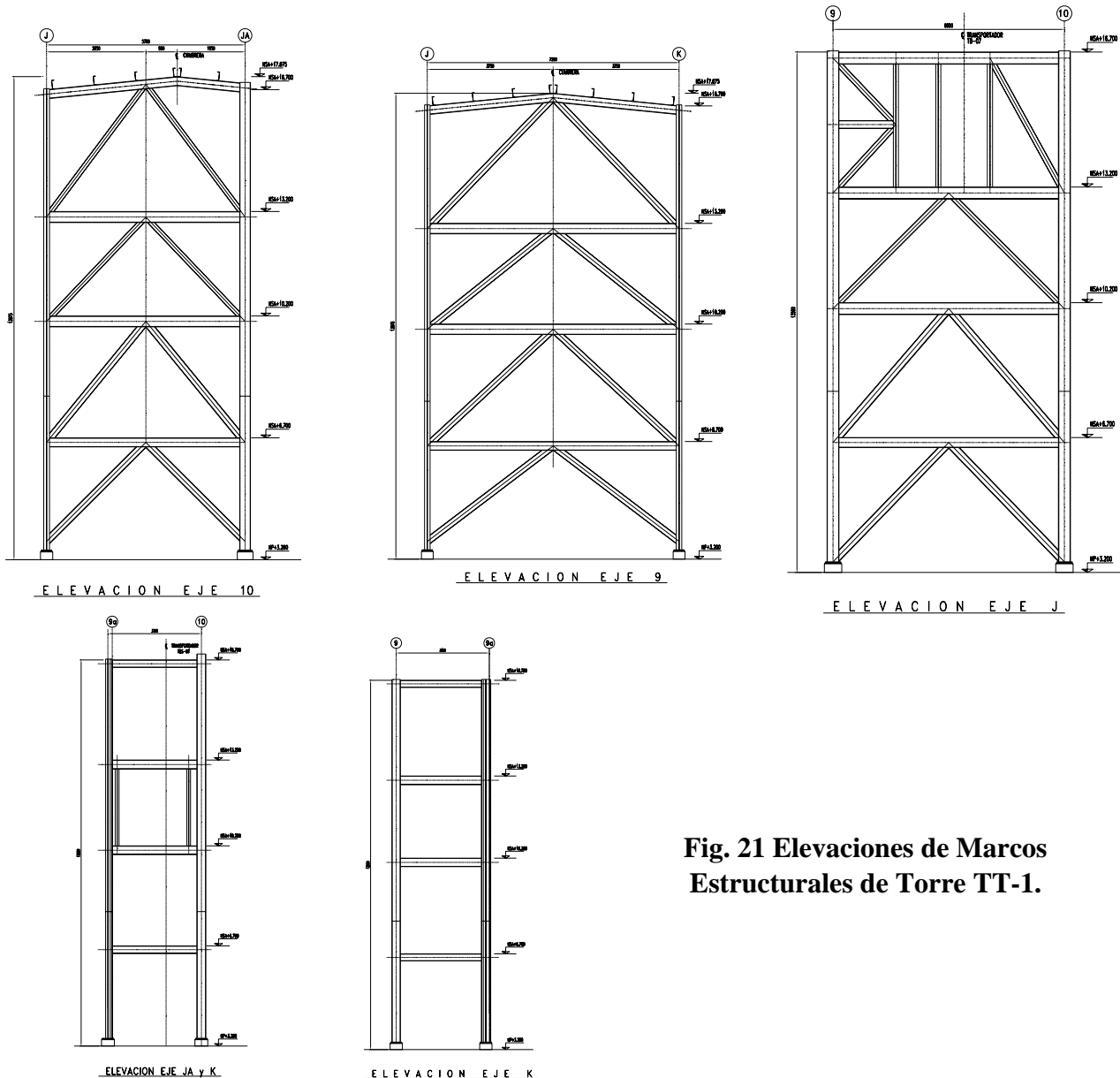


**Fig. 20 Plantas de Operación de Torre TT-6, arreglo Mecánico.**

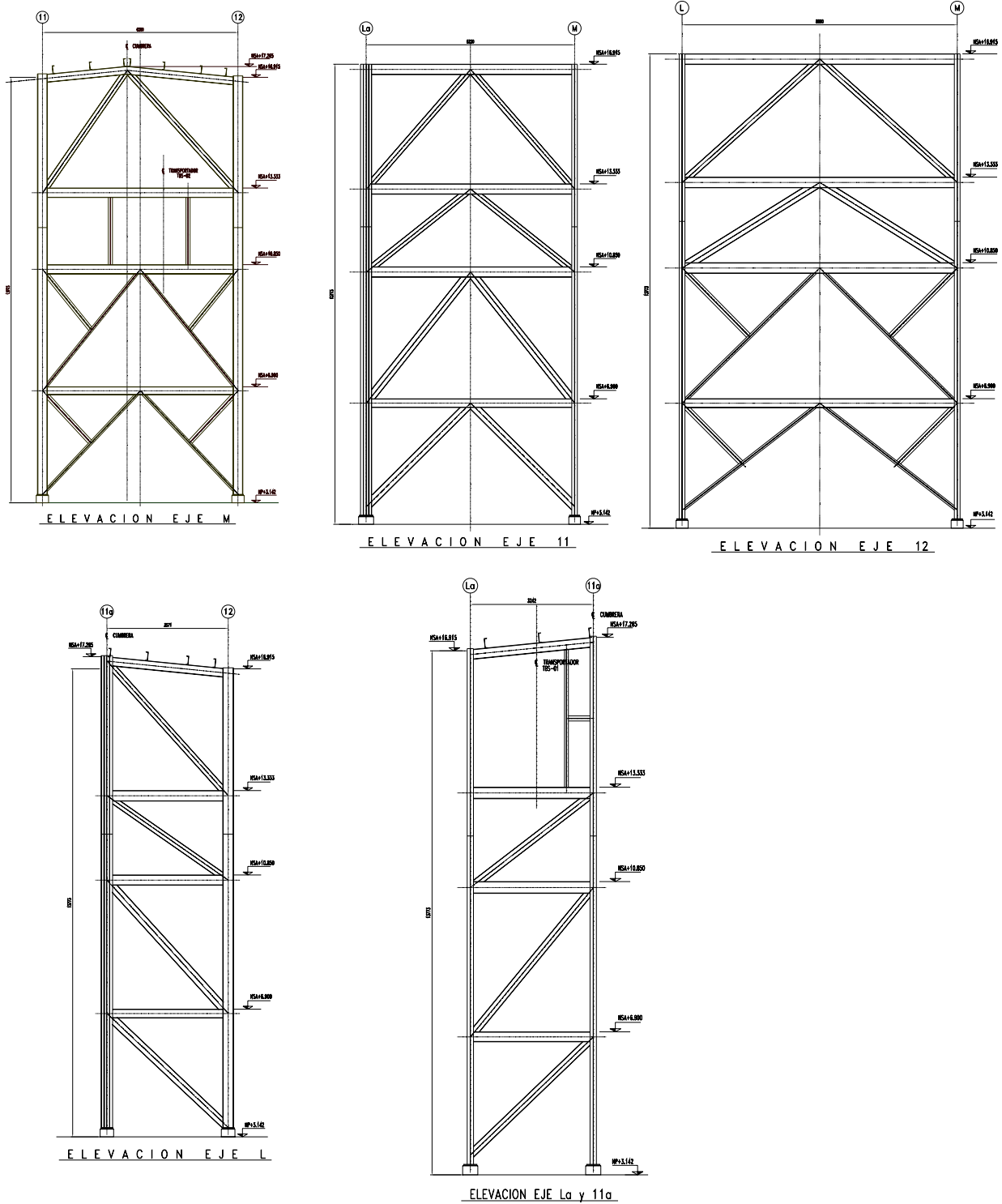
Una vez que tenemos identificados todos los apoyos y equipos que albergan o reciben las torres, tenemos que solicitar al departamento mecánico las cargas que se deben de considerar por apoyo y si se requiriera en algunos casos calcularlas.

Del análisis preliminar de las galerías que soportan a los transportadores debemos obtener las descargas (fuerzas que demandaran a las torres de transferencia) para considerar que estas solicitudes estarán obrando de manera adicional sobre la estructura principal y asegurar un buen comportamiento de la misma ante esas acciones.

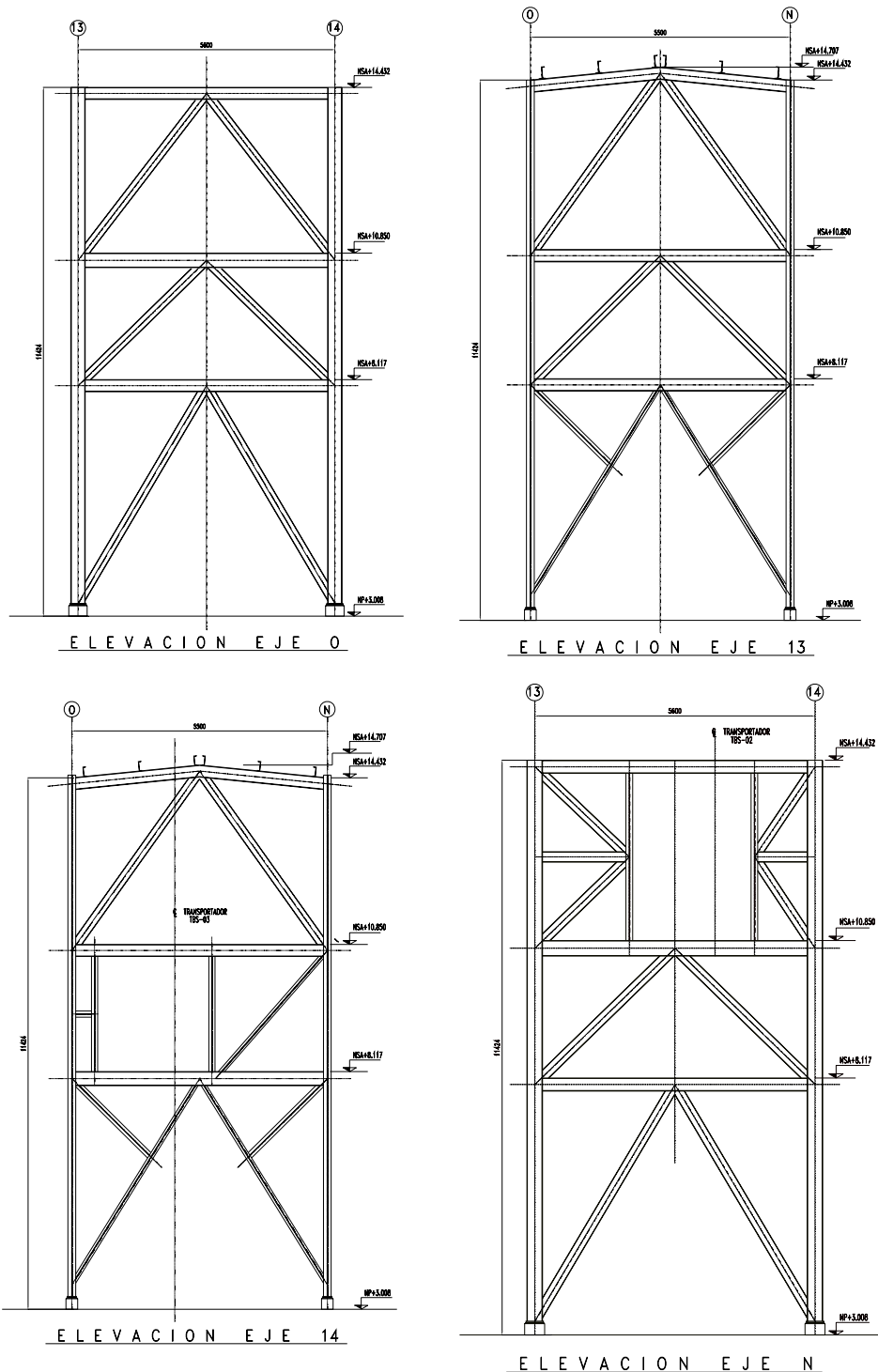
El sistema de piso de cada planta de operación es a base de rejilla electro forjada, soportada por un sistema de vigas contraventeadas que rigidizan cada nivel. El sistema de vigas se oriento conforme a la llegada de los transportadores a las torres, tratando de dejar los huecos necesarios para el paso del equipo mecánico. Así mismo se conceptualizan los contraventos que se colocaran en las elevaciones; a continuación se muestran las elevaciones de las torres de transferencia ya estructuradas, ver figuras 21 a 26.



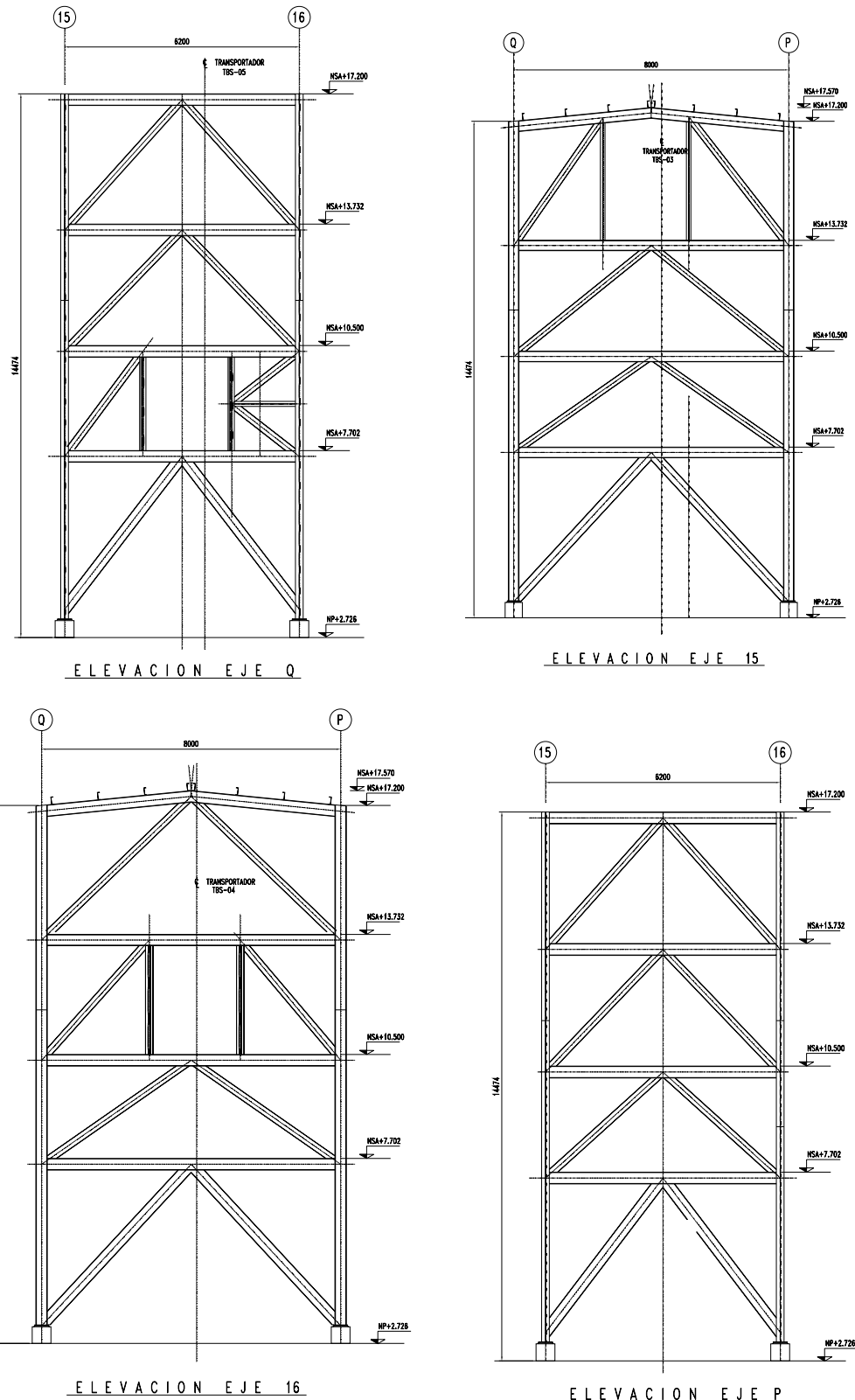
**Fig. 21 Elevaciones de Marcos Estructurales de Torre TT-1.**



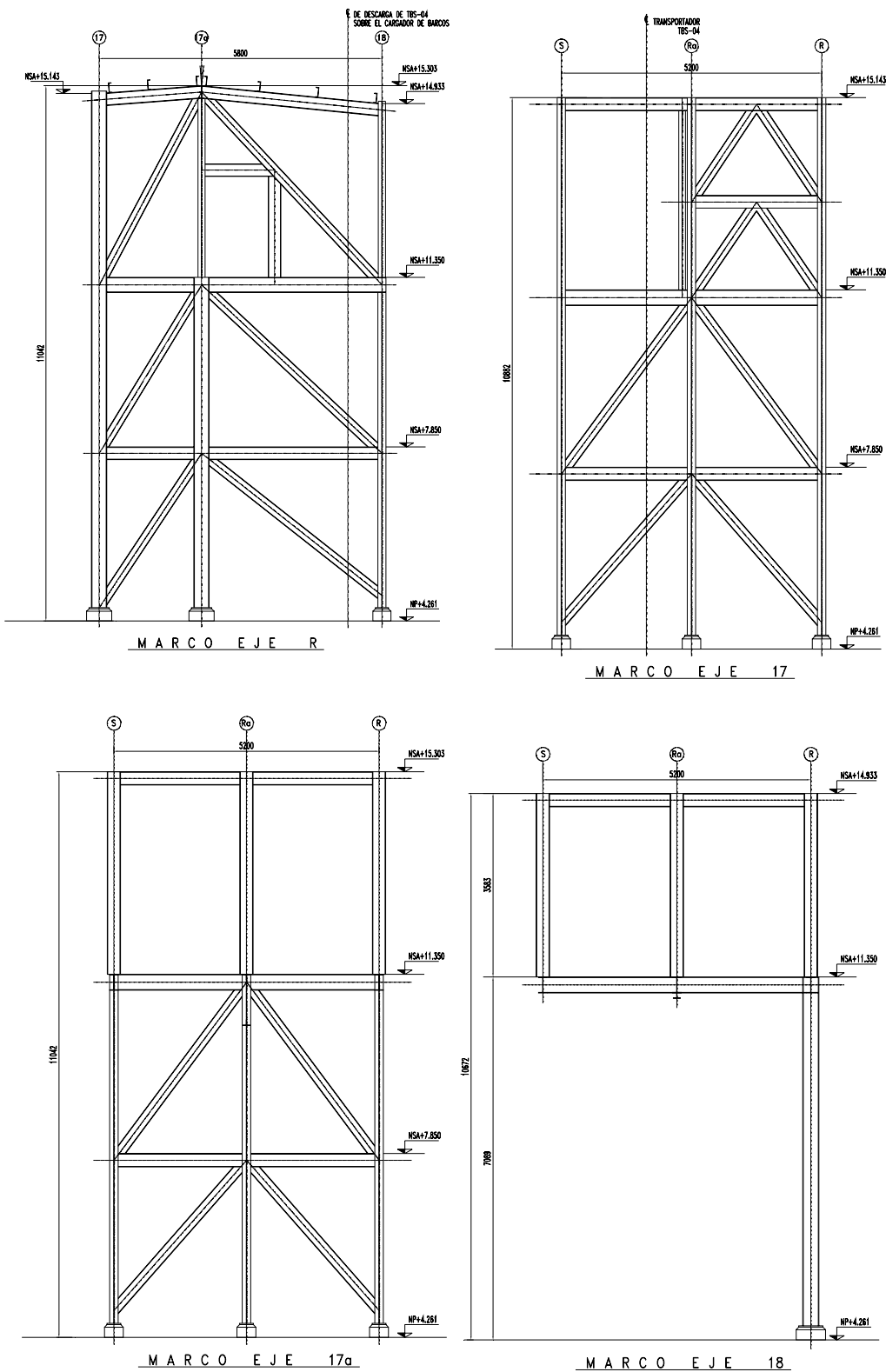
**Fig. 22 Elevaciones de Marcos Estructurales en Torre TT-2.**



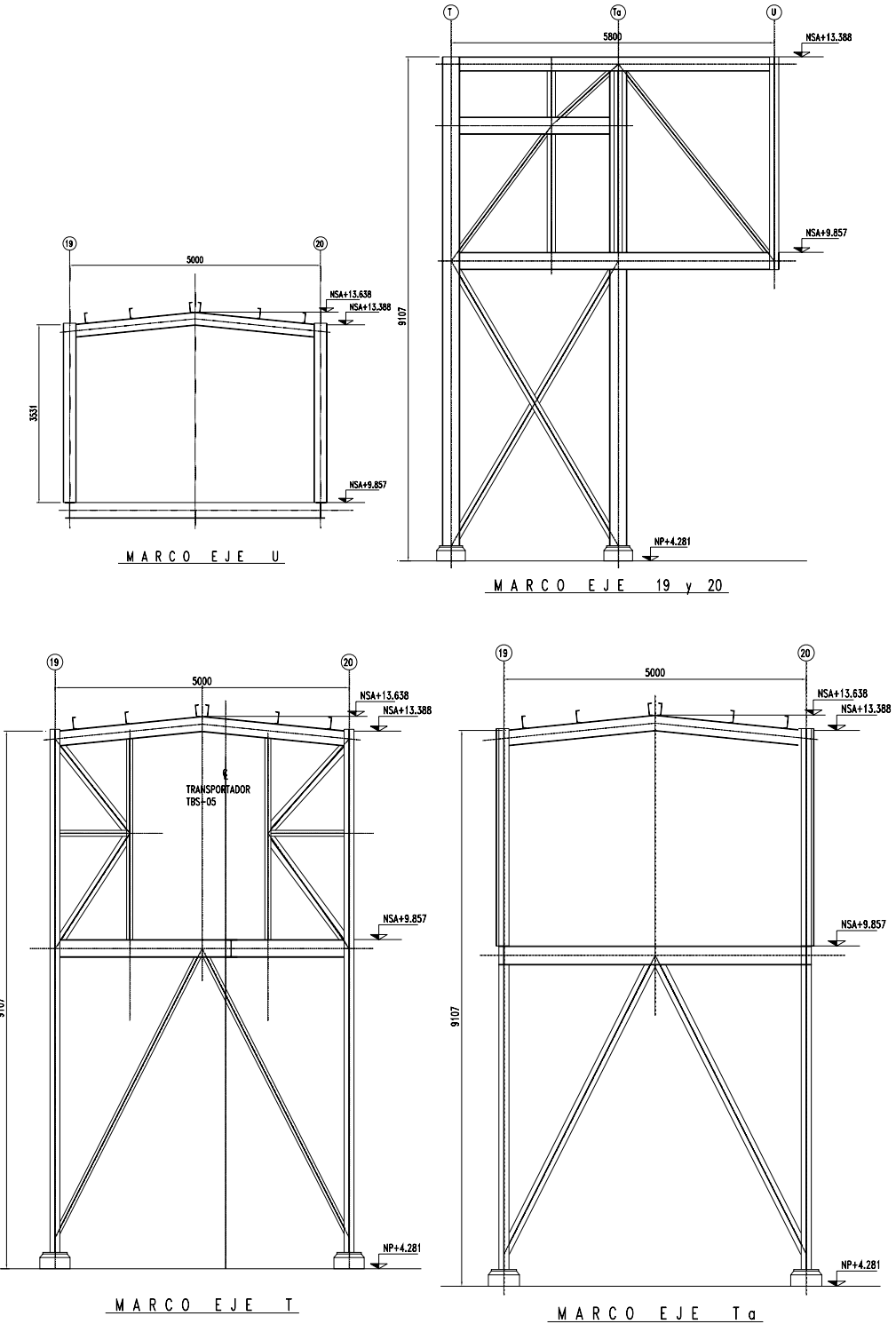
**Fig. 23 Elevaciones de Marcos Estructurales en Torre TT-3.**



**Fig. 24 Elevaciones de Marcos Estructurales en Torre TT-4**



**Fig. 25 Elevaciones de Marcos Estructurales en Torre TT-5**



**Fig. 26 Elevaciones de Marcos Estructurales en Torre TT-6**

Los sistemas de cubierta serán con lámina acanalada soportada por perfiles tipo canal (CE) contraflambeados y contraventeados por redondos lisos. No se colocará ningún sistema de fachada, solo barandales perimetrales en todas las torres.

## **IV.2 ANÁLISIS DE CARGAS.**

### **IV.2.1 GALERÍAS.**

Para el análisis de las solicitudes de las galerías debemos de observar cual es el peso de los componentes que conforman al transportador, así como las cargas a considerar por reglamentación, también debemos obtener las solicitudes provocadas por cargas accidentales como son viento y sismo. Además de las anteriores se debe de considerar una carga por operación, es decir, el material transportado en las bandas.

La carga de operación es calculada por el área mecánica, los pesos de rodillos, bandas y hoods de la misma manera son obtenidos del área mecánica. El peso de la rejilla, barandales y el bastidor mismo son estimados por el área civil-estructural.

La carga viva es asignada conforme a la reglamentación proporcionada por el cliente, dado que cuenta con una norma interna propia.

A continuación mostramos el resumen de cargas consideradas para los transportadores:

#### **Transportadores de Banda de 30" de Ancho.**

**Carga Muerta..... 339 [kg/m]**

|                                     |     |
|-------------------------------------|-----|
| — Rodillos de Carga.....            | 30  |
| — Rodillos de Retorno.....          | 7   |
| — Banda de 30" (2pzas).....         | 24  |
| — Bastidor de Soporte.....          | 50  |
| — Tapa de Lámina (Hood).....        | 15  |
| — Accesorios Secundarios.....       | 10  |
| — Rejilla en pasillo.....           | 35  |
| — Barandales.....                   | 18  |
| — Charolas p/soporte Eléctrico..... | 150 |

**Carga de Operación..... 99 [kg/m]**

— Proporcionada por depto. mecánico

**Carga Viva..... 115 [kg/m]**

$$— CV_{reglamento} \times Ancho\ pasillo = 125\ kg/m^2 \times 0.92m$$

**Carga Viva Reducida..... 70 [kg/m]**

$$— CV_{reglamento} \times Ancho\ pasillo \times 0.60 = 125\ kg/m^2 \times 0.92m \times 0.60$$

### Transportadores de Banda de 36" de Ancho.

**Carga Muerta..... 368 [kg/m]**

|                                     |     |
|-------------------------------------|-----|
| — Rodillos de Carga.....            | 36  |
| — Rodillos de Retorno.....          | 8   |
| — Banda de 36" (2pzas).....         | 36  |
| — Bastidor de Soporte.....          | 60  |
| — Tapa de Lámina (Hood).....        | 15  |
| — Accesorios Secundarios.....       | 10  |
| — Rejilla en pasillo.....           | 35  |
| — Barandales.....                   | 18  |
| — Charolas p/soporte Eléctrico..... | 150 |

**Carga de Operación..... 197 [kg/m]**

— Proporcionada por depto. mecánico

**Carga Viva..... 115 [kg/m]**

—  $CV_{reglamento} \times Ancho\ pasillo = 125\ kg/m^2 \times 0.92m$

**Carga Viva Reducida..... 70 [kg/m]**

—  $CV_{reglamento} \times Ancho\ pasillo \times 0.60 = 125\ kg/m^2 \times 0.92m \times 0.60$

Para las consideraciones de cargas provocadas por sismo ó viento tenemos que referirnos al apartado IV.3, donde se analizan las características del lugar y los factores que se deben de considerar.

Las cargas obtenidas en este apartado se asignaran a las cuerdas inferiores o superiores de las armaduras según corresponda. Las cargas por viento se asignaran según la presión obtenida en el apartado IV.3 por el ancho del perfil al que se le este asignando la carga.

## IV.2.2 TORRES DE TRANSFERENCIA.

A continuación describiremos los tipos de cargas que se consideraron aplicables a las torres de transferencia.

- **La carga muerta.** Consistirá en el peso propio de la estructura, la rejilla, los largueros, contraventos, instalaciones, etc., y cualquier material unido o soportado permanentemente por la estructura. Adicionalmente también se muestran las descargas provocadas por las llegadas de las galerías que soportan los transportadores involucrados en la torre en análisis.
- **La carga viva.** Se consideran a las cargas gravitacionales que obran en una edificación y no tienen carácter de permanentes. Las cargas vivas máximas para diseño estructural y las cargas vivas reducidas para diseño por sismo, serán las que se indican a continuación:

|  | <i>Carga Viva<br/>Máxima<br/>(kg/m<sup>2</sup>)</i> | <i>Carga Viva<br/>Reducida<br/>(kg/m<sup>2</sup>)</i> |
|--|---|---|
| <i>Nivel de Operación con banco de Polea Motriz</i>  | 500   | 500   |
| <i>Nivel de Operación con banco de Polea de Cola</i> | 350   | 350   |
| <i>Nivel de Arriostramiento</i>                      |   | <i>“No aplica”</i>                                    |
| <i>Nivel de Cubierta</i>                             |   | <i>“Aplican Cargas por Viento”</i>                    |

- **La carga de operación.** Consistirá en las descargas sobre la estructura que proporcionan los equipos del proyecto mecánico considerados con el 100% de material de transporte. En el caso específico de la torre también las descargas provocadas por las llegadas de las galerías que soportan los transportadores con material en movimiento.

En general en cada torre, una vez que se tiene la estructuración, podemos comenzar a asignar cargas según las áreas tributarias que tenga cada viga. Dado que el sistema de piso es a través de rejilla Irving, esta trabaja solo en la dirección de las soleras de carga entonces las áreas tributarias se contemplarían como anchos tributarios, para ejemplificar este punto se muestran las plantas con su respectiva asignación de cargas por nivel de cada torre.

Considerando las cargas antes mencionadas se analizaron los anchos correspondientes, ya con la estructuración, y se obtuvieron las cargas distribuidas por viga, ver tabla 4. Para una mejor interpretación de la tabla 4 se muestran las plantas de operación de cada torre de transferencia en las figuras 27 a 32.

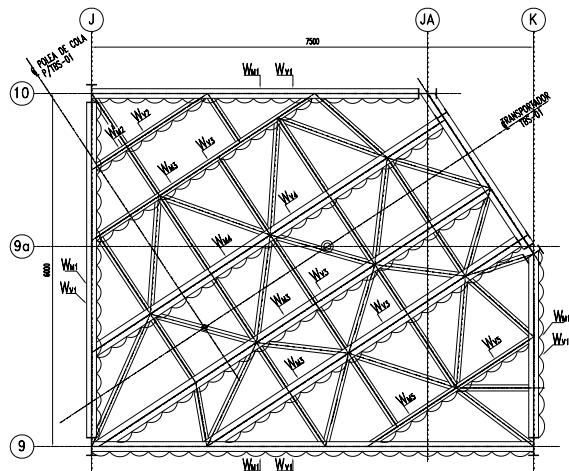
**CARGAS DISTRIBUIDAS EN TORRES DE TRANSFERENCIA DE AREA DE SALIDA [kg/m]**

| TORRE TT-1   |     |      | TORRE TT-2   |     |      | TORRE TT-3   |     |     | TORRE TT-4   |     |     | TORRE TT-5     |     |     | TORRE TT-6   |     |      |
|--------------|-----|------|--------------|-----|------|--------------|-----|-----|--------------|-----|-----|----------------|-----|-----|--------------|-----|------|
| NIVEL 10,200 |     |      | NIVEL 10,850 |     |      | NIVEL 8,117  |     |     | NIVEL 7,702  |     |     | NIVEL 11,350   |     |     | NIVEL 9,857  |     |      |
|              | Wm  | Wv   |              | Wm  | Wv   |              | Wm  | Wv  |              | Wm  | Wv  |                | Wm  | Wv  |              | Wm  | Wv   |
| 1            | 70  | 180  | 1            | 123 | 319  | 1            | 102 | 263 | 1            | 109 | 281 | 1              | 98  | 338 | 1            | 109 | 375  |
| 2            | 174 | 450  | 2            | 225 | 581  | 2            | 203 | 525 | 2            | 218 | 503 | 2              | 196 | 676 | 2            | 200 | 688  |
| 3            | 192 | 497  | 3            | 276 | 713  |              |     |     | 3            | 120 | 290 | 3              | 171 | 590 | 3            | 73  | 250  |
| 4            | 210 | 544  | 4            | 73  | 189  |              |     |     | 4            | 281 | 727 | 4              | 119 | 410 | 4            | 165 | 568  |
| 5            | 218 | 563  | 5            | 174 | 450  |              |     |     | 5            | 232 | 608 | 5              | 109 | 375 | 5            | 92  | 318  |
|              |     |      | 6            | 160 | 413  |              |     |     |              |     |     | 6              | 145 | 500 |              |     |      |
| NIVEL 13,200 |     |      | 7            | 58  | 150  |              |     |     | NIVEL 10,500 |     |     | 7              | 22  | 75  | NIVEL 13,388 |     |      |
|              | Wm  | Wv   |              |     |      |              |     |     |              | Wm  | Wv  | 8              | 86  | 295 |              | Wm  | Wvto |
| 1            | 68  | 235  |              |     |      |              |     |     | 1            | 60  | 150 | 9              | 189 | 650 | 1            |     | 129  |
| 2            | 136 | 470  | NIVEL 13,333 |     |      |              |     |     | 2            | 210 | 543 |                |     |     | 2            |     | 185  |
|              |     |      |              | Wm  | Wv   |              |     |     | 3            | 48  | 124 | NIVEL CUBIERTA |     |     |              |     |      |
| 3            | 122 | 420  | 1            | 70  | 230  |              |     |     | 4            | 109 | 281 | 1              |     | 83  |              |     |      |
| 4            | 186 | 640  | 2            | 247 | 850  |              |     |     | 5            | 218 | 563 | 2              |     | 157 |              |     |      |
| 5            | 39  | 135  | 3            | 220 | 760  |              |     |     | 6            |     |     | 3              |     | 148 |              |     |      |
| 6            | 78  | 270  | 4            | 119 | 410  | NIVEL 16,700 |     |     | 4            |     |     | 4              |     | 296 |              |     |      |
| 7            | 98  | 338  | 5            | 262 | 905  |              |     |     | 5            |     |     | 5              |     | 194 |              |     |      |
| 8            | 115 | 400  | 6            | 182 | 633  |              |     |     | 6            |     |     | 6              |     | 120 |              |     |      |
| 9            | 58  | 200  | 7            | 42  | 145  |              |     |     |              |     |     |                |     |     |              |     |      |
|              |     |      | 8            | 145 | 500  |              |     |     |              |     |     |                |     |     |              |     |      |
| NIVEL 16,700 |     |      | 9            | 82  | 282  |              |     |     |              |     |     |                |     |     |              |     |      |
|              | Wm  | Wvto | 10           | 183 | 633  |              |     |     |              |     |     |                |     |     |              |     |      |
| 1            |     | 106  | 11           | 189 | 650  |              |     |     |              |     |     |                |     |     |              |     |      |
| 2            |     | 212  | 12           | 147 | 508  |              |     |     |              |     |     |                |     |     |              |     |      |
| 3            |     | 60   | 13           | 237 | 820  |              |     |     |              |     |     |                |     |     |              |     |      |
| 4            |     | 120  |              |     |      |              |     |     |              |     |     |                |     |     |              |     |      |
|              |     |      | NIVEL 16,700 |     |      |              |     |     |              |     |     |                |     |     |              |     |      |
|              |     |      |              | Wm  | Wvto |              |     |     |              |     |     |                |     |     |              |     |      |
| 1            |     | 143  |              |     |      |              |     |     |              |     |     |                |     |     |              |     |      |
| 2            |     | 204  |              |     |      |              |     |     |              |     |     |                |     |     |              |     |      |
| 3            |     | 102  |              |     |      |              |     |     |              |     |     |                |     |     |              |     |      |
| 4            |     | 167  |              |     |      |              |     |     |              |     |     |                |     |     |              |     |      |
|              |     |      |              |     |      |              |     |     |              |     |     |                |     |     |              |     |      |

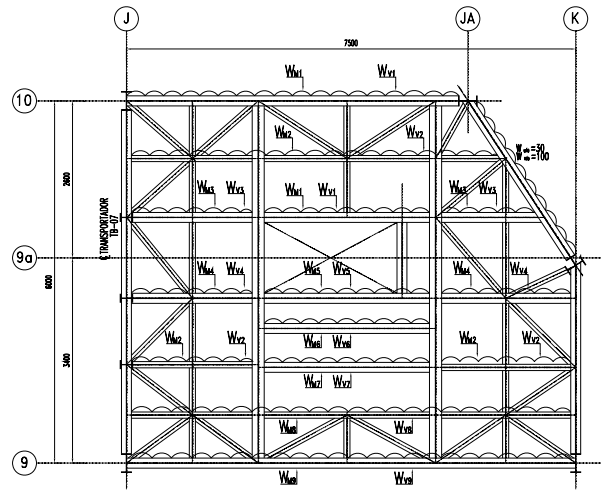
**Nomenclatura**

Wm. Carga Muerta  
Wv. Carga Viva  
Wvto. Carga por Viento

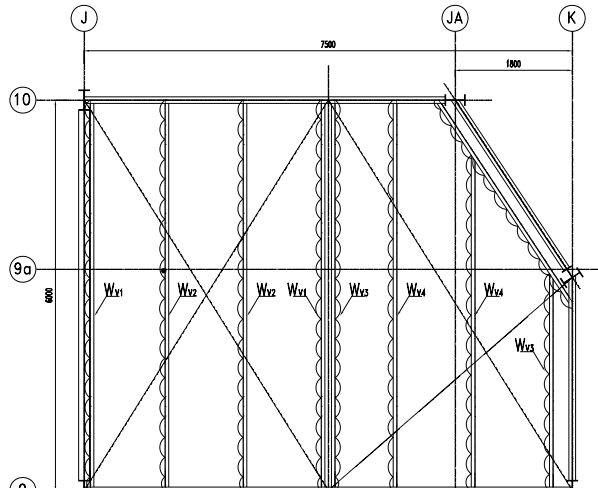
**Tabla 4. Cargas Distribuidas en vigas por nivel de Operación en Torres de Transferencia de Área de Salida.**



P L A N T A   N S A + 1 0 . 2 0 0

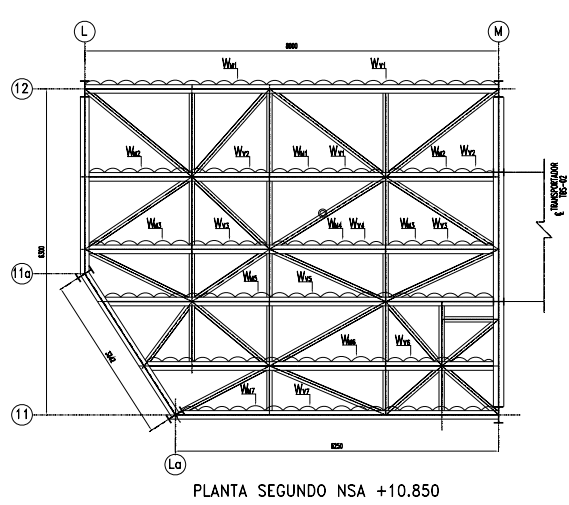


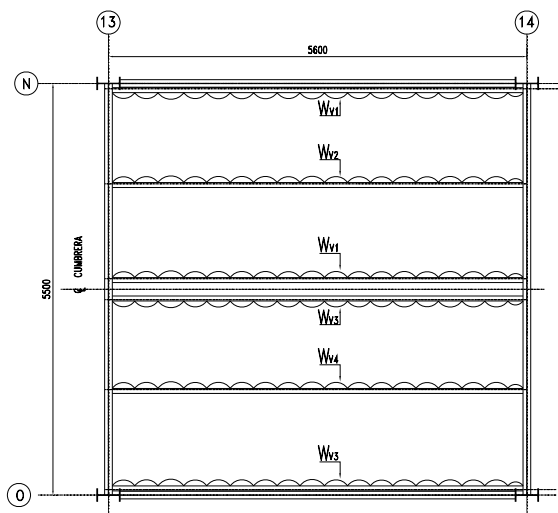
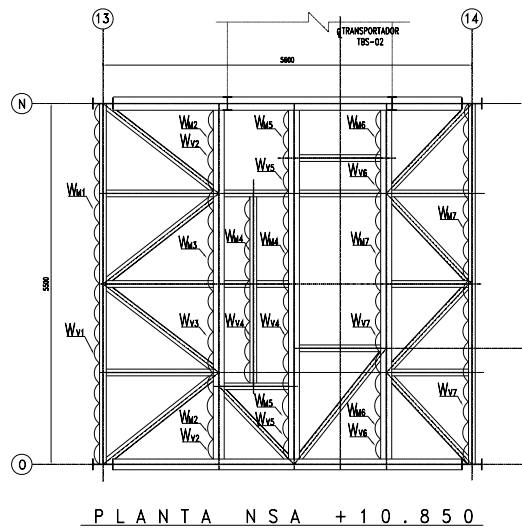
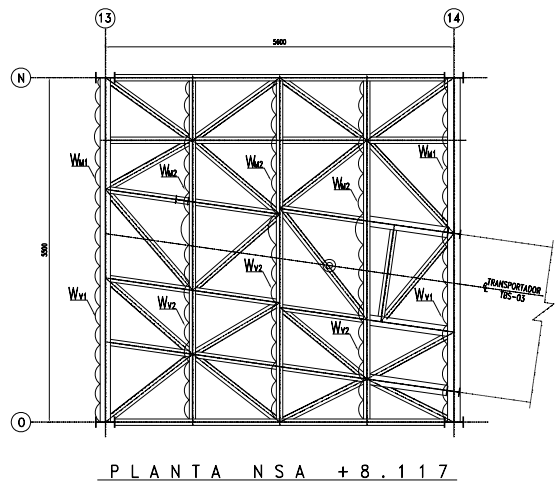
P L A N T A   N S A + 1 3 . 2 0 0



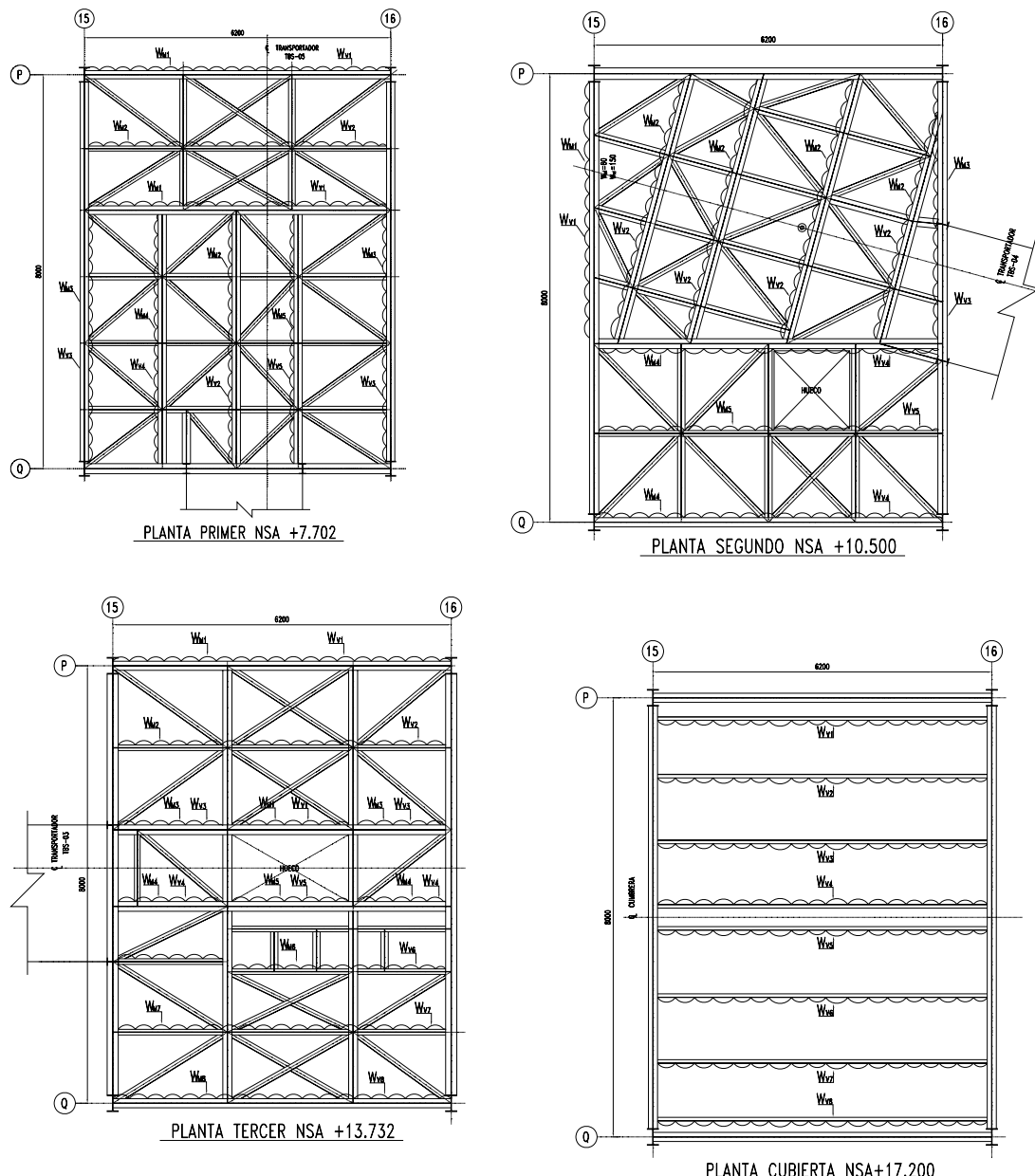
P L A N T A   N S A + 1 6 . 7 0 0

**Fig. 27 Plantas de Operación TT-1, con cargas distribuidas y estructuración.**

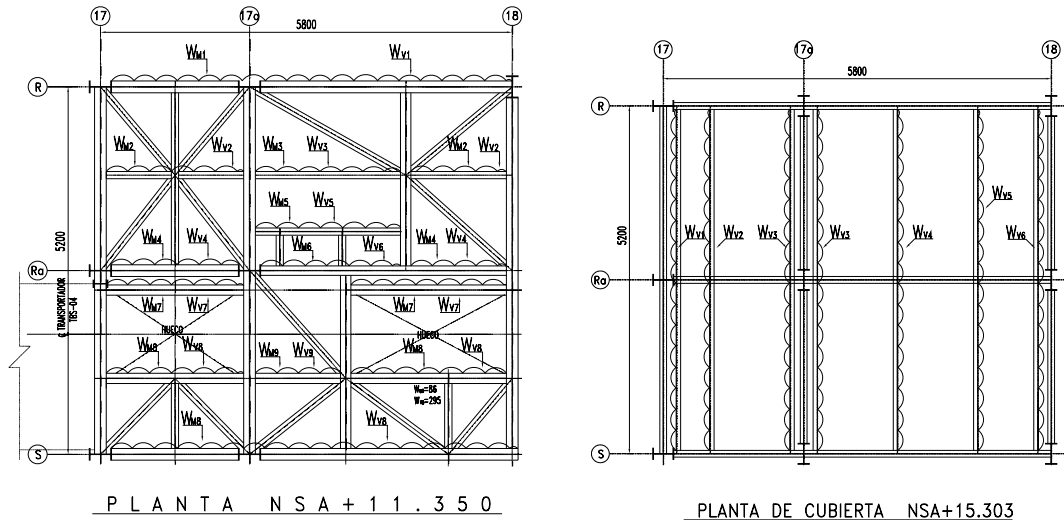




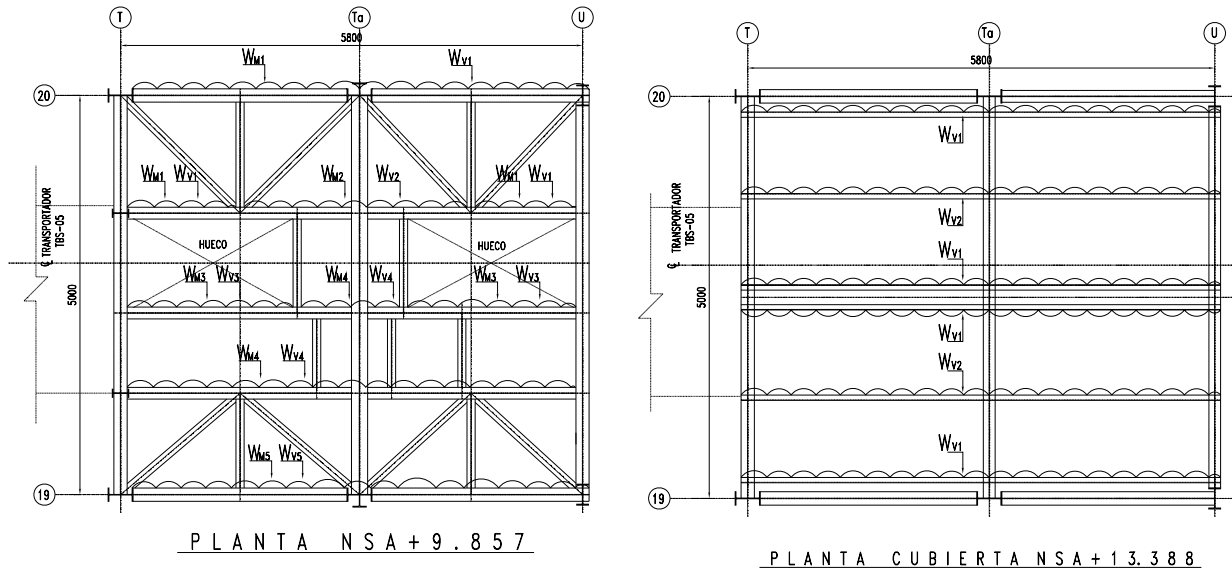
**Fig. 29 Plantas de Operación TT-3, con cargas distribuidas y estructuración**



**Fig. 30 Plantas de Operación TT-4, con cargas distribuidas y estructuración**



**Fig. 31 Plantas de Operación TT-5, con cargas distribuidas y estructuración**



**Fig. 32 Plantas de Operación TT-6, con cargas distribuidas y estructuración**

Además de las cargas distribuidas provocadas por las solicitudes reglamentarias debemos considerar las descargas provocadas por las galerías, dado que se modelaron a parte. Por ese motivo se muestran las descargas obtenidas en modelos previos ver tabla 5 y tabla 6.

| TORRE TT-1          |                  |    |    |        |    |    |                  |      |      |        |      |     |  |
|---------------------|------------------|----|----|--------|----|----|------------------|------|------|--------|------|-----|--|
| TRANSPORTADOR       | QUE LLEGA: TB-07 |    |    |        |    |    | QUE SALE: TBS-01 |      |      |        |      |     |  |
|                     | NODO A           |    |    | NODO B |    |    | NODO A           |      |      | NODO B |      |     |  |
|                     | F1               | F2 | F3 | F1     | F2 | F3 | F1               | F2   | F3   | F1     | F2   | F3  |  |
| CM                  | 0                | 0  | 0  | 0      | 0  | 0  | 0                | 0    | 2.6  | 0      | 0    | 2.6 |  |
| CV                  | 0                | 0  | 0  | 0      | 0  | 0  | 0                | 0    | 0.7  | 0      | 0    | 0.7 |  |
| CV <sub>RED.</sub>  | 0                | 0  | 0  | 0      | 0  | 0  | 0                | -0.7 | -1   | 0      | -0.7 | -1  |  |
| C <sub>VTO</sub>    | 0                | 0  | 0  | 0      | 0  | 0  | 0                | 0    | -1.2 | 0      | 0    | 1.2 |  |
| C <sub>OPERA.</sub> | 0                | 0  | 0  | 0      | 0  | 0  | 0                | 0    | 0    | 0      | 0    | 0   |  |

| TORRE TT-2          |                   |      |     |        |      |      |                  |      |       |        |      |       |  |
|---------------------|-------------------|------|-----|--------|------|------|------------------|------|-------|--------|------|-------|--|
| TRANSPORTADOR       | QUE LLEGA: TBS-01 |      |     |        |      |      | QUE SALE: TBS-02 |      |       |        |      |       |  |
|                     | NODO A            |      |     | NODO B |      |      | NODO A           |      |       | NODO B |      |       |  |
|                     | F1                | F2   | F3  | F1     | F2   | F3   | F1               | F2   | F3    | F1     | F2   | F3    |  |
| CM                  | 0                 | 0.1  | 9.1 | 0      | -0.1 | 5    | 0.43             | 0.19 | -3.91 | -0.34  | 0.17 | -2.03 |  |
| CV                  | 0                 | 0    | 1.3 | 0      | 0    | 1.3  | 0                | 0    | -0.5  | 0      | 0    | -0.5  |  |
| CV <sub>RED.</sub>  | 0                 | -1.4 | 1.3 | 0      | -1.4 | -1.3 | 1.15             | 0.53 | -0.83 | -0.35  | 0.54 | 0.83  |  |
| C <sub>VTO</sub>    | 0                 | 0    | 2.2 | 0      | 0    | 2.2  | 0                | 0    | -0.86 | 0      | 0    | -0.86 |  |
| C <sub>OPERA.</sub> | 0                 | 0    | 0.8 | 0      | 0    | 0.8  | 0                | 0    | -0.31 | 0      | 0    | -0.31 |  |

| TORRE TT-3          |                   |      |       |        |      |       |                  |       |       |        |       |       |  |
|---------------------|-------------------|------|-------|--------|------|-------|------------------|-------|-------|--------|-------|-------|--|
| TRANSPORTADOR       | QUE LLEGA: TBS-02 |      |       |        |      |       | QUE SALE: TBS-03 |       |       |        |       |       |  |
|                     | NODO A            |      |       | NODO B |      |       | NODO A           |       |       | NODO B |       |       |  |
|                     | F1                | F2   | F3    | F1     | F2   | F3    | F1               | F2    | F3    | F1     | F2    | F3    |  |
| CM                  | 0.43              | 0.19 | -3.91 | -0.34  | 0.17 | -2    | -7.45            | -0.26 | -7.78 | -8.73  | -0.29 | -9.08 |  |
| CV                  | 0                 | 0    | -0.5  | 0      | 0    | -0.5  | -0.66            | 0     | -0.68 | -0.67  | 0     | -0.69 |  |
| CV <sub>RED.</sub>  | 1.15              | 0.53 | -0.83 | -0.35  | 0.54 | 0.83  | 1.61             | -0.66 | 0.99  | -1.38  | -0.57 | -1.95 |  |
| C <sub>VTO</sub>    | 0                 | 0    | -0.86 | 0      | 0    | -0.86 | -1.14            | 0     | -1.17 | -1.15  | 0     | -1.17 |  |
| C <sub>OPERA.</sub> | 0                 | 0    | -0.31 | 0      | 0    | -0.31 | -0.4             | 0     | -0.41 | -0.41  | 0     | -0.42 |  |

| TORRE TT-4          |                   |     |      |        |     |      |                  |       |      |        |       |       |  |
|---------------------|-------------------|-----|------|--------|-----|------|------------------|-------|------|--------|-------|-------|--|
| TRANSPORTADOR       | QUE LLEGA: TBS-03 |     |      |        |     |      | QUE SALE: TBS-04 |       |      |        |       |       |  |
|                     | NODO A            |     |      | NODO B |     |      | NODO A           |       |      | NODO B |       |       |  |
|                     | F1                | F2  | F3   | F1     | F2  | F3   | F1               | F2    | F3   | F1     | F2    | F3    |  |
| CM                  | -2.5              | 0.2 | -3.3 | -1.9   | 0.1 | -1.7 | -3               | -0.32 | 5.44 | -2.28  | -0.34 | 4.41  |  |
| CV                  | -0.1              | 0   | -0.5 | -0.1   | 0   | -0.5 | -0.52            | 0     | 0.7  | -0.61  | 0     | 0.99  |  |
| CV <sub>RED.</sub>  | -0.3              | 0.5 | -0.7 | 0.5    | 0.5 | 0.7  | -0.54            | -0.62 | 0.6  | 0.65   | -0.36 | -0.62 |  |
| C <sub>VTO</sub>    | -0.2              | 0   | -0.8 | -0.2   | 0   | -0.8 | -0.45            | 0     | 0.6  | -0.52  | 0     | 0.85  |  |
| C <sub>OPERA.</sub> | -0.1              | 0   | -0.3 | -0.1   | 0   | -0.3 | -0.32            | 0     | 0.43 | -0.37  | 0     | 0.6   |  |

| TORRE TT-4          |                   |     |      |        |     |      |                  |      |     |        |      |     |  |
|---------------------|-------------------|-----|------|--------|-----|------|------------------|------|-----|--------|------|-----|--|
| TRANSPORTADOR       | QUE LLEGA: TBS-03 |     |      |        |     |      | QUE SALE: TBS-05 |      |     |        |      |     |  |
|                     | NODO A            |     |      | NODO B |     |      | NODO A           |      |     | NODO B |      |     |  |
|                     | F1                | F2  | F3   | F1     | F2  | F3   | F1               | F2   | F3  | F1     | F2   | F3  |  |
| CM                  | -2.5              | 0.2 | -3.3 | -1.9   | 0.1 | -1.7 | 1.4              | -0.1 | 5.7 | -1.4   | 0    | 3.2 |  |
| CV                  | -0.1              | 0   | -0.5 | -0.1   | 0   | -0.5 | 0                | 0    | 0.9 | 0      | 0    | 0.9 |  |
| CV <sub>RED.</sub>  | -0.3              | 0.5 | -0.7 | 0.5    | 0.5 | 0.7  | 4.9              | -1.2 | 1   | -4.9   | -1.3 | -1  |  |
| C <sub>VTO</sub>    | -0.2              | 0   | -0.8 | -0.2   | 0   | -0.8 | 0                | 0    | 0.8 | 0      | 0    | 0.8 |  |
| C <sub>OPERA.</sub> | -0.1              | 0   | -0.3 | -0.1   | 0   | -0.3 | 0                | 0    | 0.6 | 0      | 0    | 0.6 |  |

| TORRE TT-5    |                   |      |     |        |      |     |              |    |    |        |    |    |  |
|---------------|-------------------|------|-----|--------|------|-----|--------------|----|----|--------|----|----|--|
| TRANSPORTADOR | QUE LLEGA: TBS-04 |      |     |        |      |     | NOMENCLATURA |    |    |        |    |    |  |
|               | NODO A            |      |     | NODO B |      |     | NODO A       |    |    | NODO B |    |    |  |
|               | F1                | F2   | F3  | F1     | F2   | F3  | F1           | F2 | F3 | F1     | F2 | F3 |  |
| CM            | -2.5              | -0.1 | 7.3 | -1.1   | -0.1 | 4.7 |              |    |    |        |    |    |  |
| CV            |                   |      |     |        |      |     |              |    |    |        |    |    |  |

CM CARGA MUERTA  
CV CARGA VIVA

|                           |      |      |     |      |      |      |
|---------------------------|------|------|-----|------|------|------|
| <b>CV</b>                 | -0.5 | 0    | 1.7 | -0.5 | 0    | 1.7  |
| <b>CV<sub>RED.</sub></b>  | -0.4 | -0.5 | 0.6 | 0.5  | -0.6 | -0.6 |
| <b>C<sub>VTO</sub></b>    | -0.5 | 0    | 1.5 | -0.5 | 0    | 1.5  |
| <b>C<sub>OPERA.</sub></b> | -0.3 | 0    | 1   | -0.3 | 0    | 1    |

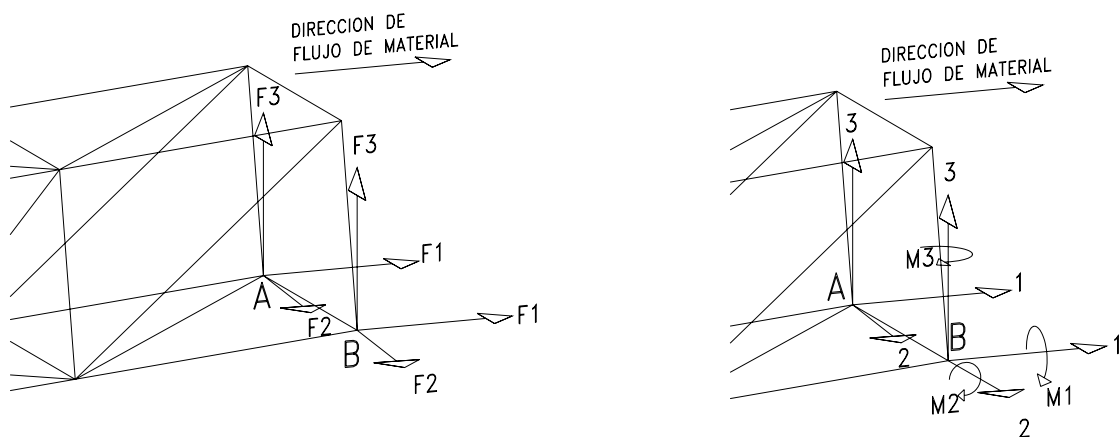
**CV<sub>RED.</sub>** CARGA VIVA REDUCIDA  
**C<sub>VTO</sub>** CARGA POR VIENTO  
**C<sub>OPERA.</sub>** CARGA DE OPERACIÓN

| TORRE TT-6                |                   |      |      |        |      |      |
|---------------------------|-------------------|------|------|--------|------|------|
| TRANSPORTADOR             | QUE LLEGA: TBS-05 |      |      |        |      |      |
| CASO DE CARGA             | NODO A            |      |      | NODO B |      |      |
|                           | F1                | F2   | F3   | F1     | F2   | F3   |
| <b>CM</b>                 | 0                 | 0    | -5.7 | 0      | -0.1 | -3.3 |
| <b>CV</b>                 | 0                 | 0    | -0.9 | 0      | 0    | -0.9 |
| <b>CV<sub>RED.</sub></b>  | 0                 | -0.8 | -0.8 | 0      | -0.9 | -0.8 |
| <b>C<sub>VTO</sub></b>    | 0                 | 0    | -0.8 | 0      | 0    | -0.8 |
| <b>C<sub>OPERA.</sub></b> | 0                 | 0    | -0.6 | 0      | 0    | -0.6 |

VER FIGURA 32.- PARA DIRECCIÓN DE FUERZAS F1, F2 Y F3

" TODAS LAS FUERZAS ESTAN EXPRESADAS EN TONELADAS " [ Ton ]

**Tabla 5** Fuerzas provocadas por la acción de Galerías a Torres de Transferencia.



**Fig. 33** Dirección de Fuerzas y Momentos ejercidos sobre Torres de Transferencia.

En la figura previa se muestra la dirección de las fuerzas listadas en la tabla 5 (Lado Izquierdo) y del mismo modo se muestra la convención para los momentos listados en la tabla 6 (Lado Derecho).

| TORRE TT-1                |                  |    |        |    |                  |    |        |    |
|---------------------------|------------------|----|--------|----|------------------|----|--------|----|
| TRANSPORTADOR             | QUE LLEGA: TB-07 |    |        |    | QUE SALE: TBS-01 |    |        |    |
| CASO DE CARGA             | NODO A           |    | NODO B |    | NODO A           |    | NODO B |    |
|                           | M1               | M2 | M1     | M2 | M1               | M2 | M1     | M2 |
| <b>CM</b>                 | 0                | 0  | 0      | 0  | 0                | 0  | 0      | 0  |
| <b>CV</b>                 | 0                | 0  | 0      | 0  | 0                | 0  | 0      | 0  |
| <b>CV<sub>RED.</sub></b>  | 0                | 0  | 0      | 0  | 0                | 0  | 0      | 0  |
| <b>C<sub>VTO</sub></b>    | 0                | 0  | 0      | 0  | 0                | 0  | 0      | 0  |
| <b>C<sub>OPERA.</sub></b> | 0                | 0  | 0      | 0  | 0                | 0  | 0      | 0  |

| TORRE TT-2    |                   |    |        |    |                  |    |        |    |
|---------------|-------------------|----|--------|----|------------------|----|--------|----|
| TRANSPORTADOR | QUE LLEGA: TBS-01 |    |        |    | QUE SALE: TBS-02 |    |        |    |
| CASO DE CARGA | NODO A            |    | NODO B |    | NODO A           |    | NODO B |    |
|               | M1                | M2 | M1     | M2 | M1               | M2 | M1     | M2 |

|                     |   |   |   |   |     |     |      |      |
|---------------------|---|---|---|---|-----|-----|------|------|
| CM                  | 0 | 0 | 0 | 0 | 0.2 | 0.1 | 0.21 | 0.07 |
| CV                  | 0 | 0 | 0 | 0 | 0   | 0   | 0    | 0.02 |
| CV <sub>RED.</sub>  | 0 | 0 | 0 | 0 | 0.7 | 0   | 0.65 | 0    |
| C <sub>VTO</sub>    | 0 | 0 | 0 | 0 | 0   | 0   | 0    | 0.03 |
| C <sub>OPERA.</sub> | 0 | 0 | 0 | 0 | 0   | 0   | 0    | 0.01 |

| TORRE TT-3    |                     |     |        |      |                  |       |        |       |
|---------------|---------------------|-----|--------|------|------------------|-------|--------|-------|
| TRANSPORTADOR | QUE LLEGA: TBS-02   |     |        |      | QUE SALE: TBS-03 |       |        |       |
| CASO DE CARGA | NODO A              |     | NODO B |      | NODO A           |       | NODO B |       |
|               | M1                  | M2  | M1     | M2   | M1               | M2    | M1     | M2    |
| CM            | 0.2                 | 0.1 | 0.21   | 0.07 | 0.31             | -0.16 | 0.36   | -0.16 |
|               | CV                  | 0   | 0      | 0.02 | 0                | -0.04 | 0      | -0.04 |
|               | CV <sub>RED.</sub>  | 0.7 | 0      | 0.65 | 0                | 0.63  | 0      | 0.62  |
|               | C <sub>VTO</sub>    | 0   | 0      | 0.03 | 0                | -0.06 | 0      | -0.06 |
|               | C <sub>OPERA.</sub> | 0   | 0      | 0.01 | 0                | -0.02 | 0      | -0.02 |

| TORRE TT-4    |                     |     |        |     |                  |      |        |       |
|---------------|---------------------|-----|--------|-----|------------------|------|--------|-------|
| TRANSPORTADOR | QUE LLEGA: TBS-03   |     |        |     | QUE SALE: TBS-04 |      |        |       |
| CASO DE CARGA | NODO A              |     | NODO B |     | NODO A           |      | NODO B |       |
|               | M1                  | M2  | M1     | M2  | M1               | M2   | M1     | M2    |
| CM            | 0.2                 | 0.1 | 0.2    | 0.1 | -0.9             | -0.4 | -0.87  | -0.42 |
|               | CV                  | 0   | 0      | 0   | -0.1             | -0.1 | -0.09  | -0.09 |
|               | CV <sub>RED.</sub>  | 0.5 | 0      | 0.5 | 0                | -0.9 | 0.1    | -0.33 |
|               | C <sub>VTO</sub>    | 0   | 0      | 0   | -0.1             | -0.1 | -0.08  | -0.08 |
|               | C <sub>OPERA.</sub> | 0   | 0      | 0   | 0                | -0.1 | -0.05  | -0.06 |

| TORRE TT-4    |                     |     |        |     |                  |    |        |    |
|---------------|---------------------|-----|--------|-----|------------------|----|--------|----|
| TRANSPORTADOR | QUE LLEGA: TBS-03   |     |        |     | QUE SALE: TBS-05 |    |        |    |
| CASO DE CARGA | NODO A              |     | NODO B |     | NODO A           |    | NODO B |    |
|               | M1                  | M2  | M1     | M2  | M1               | M2 | M1     | M2 |
| CM            | 0.2                 | 0.1 | 0.2    | 0.1 | 0                | 0  | 0      | 0  |
|               | CV                  | 0   | 0      | 0   | 0                | 0  | 0      | 0  |
|               | CV <sub>RED.</sub>  | 0.5 | 0      | 0.5 | 0                | 0  | 0      | 0  |
|               | C <sub>VTO</sub>    | 0   | 0      | 0   | 0                | 0  | 0      | 0  |
|               | C <sub>OPERA.</sub> | 0   | 0      | 0   | 0                | 0  | 0      | 0  |

| TORRE TT-5    |                   |     |        |     |                     |                     |  |  |
|---------------|-------------------|-----|--------|-----|---------------------|---------------------|--|--|
| TRANSPORTADOR | QUE LLEGA: TBS-04 |     |        |     | NOMENCLATURA        |                     |  |  |
| CASO DE CARGA | NODO A            |     | NODO B |     |                     |                     |  |  |
|               | M1                | M2  | M1     | M2  | CM                  | CARGA MUERTA        |  |  |
| CM            | -0.1              | 0.4 | -0.2   | 0.3 | CV                  | CARGA VIVA          |  |  |
|               | 0                 | 0.1 | 0      | 0.1 | CV <sub>RED.</sub>  | CARGA VIVA REDUCIDA |  |  |
|               | -0.7              | 0   | -0.7   | 0   | C <sub>VTO</sub>    | CARGA POR VIENTO    |  |  |
|               | 0                 | 0.1 | 0      | 0.1 | C <sub>OPERA.</sub> | CARGA DE OPERACIÓN  |  |  |
|               | 0                 | 0.1 | 0      | 0.1 |                     |                     |  |  |

| TORRE TT-6    |                   |    |        |    |   |    |    |  |
|---------------|-------------------|----|--------|----|---|----|----|--|
| TRANSPORTADOR | QUE LLEGA: TBS-05 |    |        |    | VER FIGURA 32.- PARA DIRECCIÓN DE LOS MOMENTOS M <sub>1</sub> , M <sub>2</sub> Y M <sub>3</sub> |    |    |  |
| CASO DE CARGA | NODO A            |    | NODO B |    |   |    |    |  |
|               | M1                | M2 | M1     | M2 | M1  | M2 | M3 |  |
| CM            | 0                 | 0  | 0      | 0  | <i>" TODAS LOS MOMENTOS ESTAN EXPRESADOS EN TONELADAS-METRO "</i>                               |    |    |  |
|               | 0                 | 0  | 0      | 0  |   |    |    |  |
|               | 0                 | 0  | 0      | 0  |   |    |    |  |
|               | 0                 | 0  | 0      | 0  |   |    |    |  |
|               | 0                 | 0  | 0      | 0  |   |    |    |  |

Tabla 6 Momentos actuantes en apoyos para Galerías.

#### IV.3 CONSIDERACIONES PARA ANÁLISIS SÍSMICO Y DE VIENTO.

Para las consideraciones de sismo y viento se tomaron como base las descritas en el Manual de Diseño de Obras Civiles de la Comisión Federal de Electricidad.

#### S I S M O

Si revisamos la regionalización Sísmica de la República Mexicana podemos observar que, de acuerdo a la ubicación geográfica, el proyecto se encuentra en el límite de la zona B en transición con la zona C.

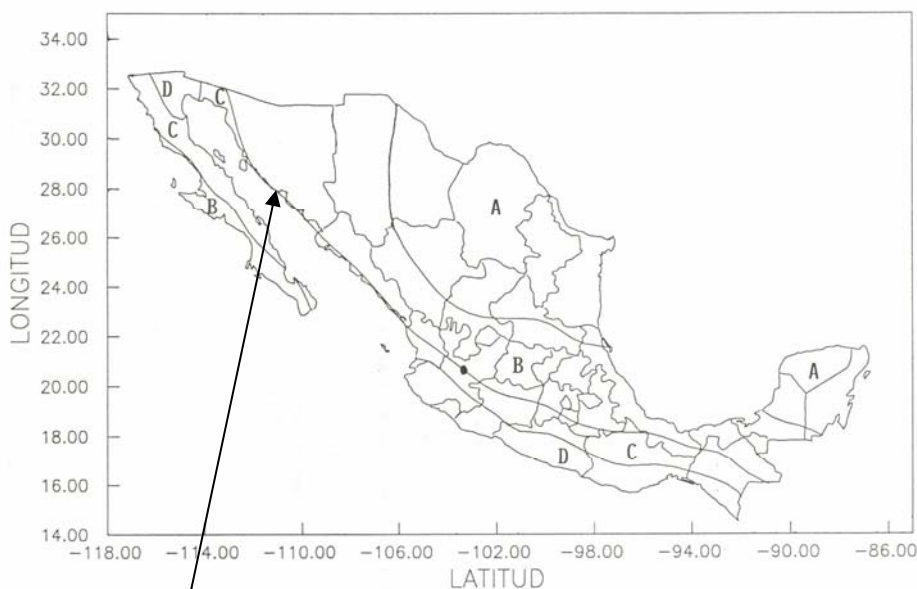


Fig. 3.1 Regionalización sísmica de la República Mexicana

**Guaymas, Sonora.**

**Fig. 34. Regionalización sísmica de la Republica Mexicana.**

Tomando en consideración la recomendación de los asesores de mecánica de suelos se determinó que se debe de considerar la zona C como la zona de proyecto; si observamos los valores para generar los espectros de sismo entre las zonas B y C (ver tabla 7), notamos un incremento en los coeficientes de la zona B hacia la zona C, lo que nos da un incremento en las solicitudes causadas por sismo. Lo que nos arroja un diseño más exigente para estar del lado de la seguridad.

Además de lo antes mencionado si se considerara que estas estructuras fueran del grupo A estos espectros se deberán incrementar 1.5 veces más, esta determinación se toma bajo las siguientes características:

- **Grupo A:** Estructuras donde se requiere un grado de seguridad alto. Construcciones cuya falla estructural causaría la pérdida de un número elevado de vidas ó perdidas económicas o culturales de magnitud excepcionalmente alta.
- **Grupo B:** Estructuras en que se requiere un grado de seguridad intermedio. Construcciones cuya falla estructural ocasionaría pérdidas de magnitud intermedia o pondría en peligro otras construcciones de este grupo o del A.

| ZONA SISMICA | TIPO DE SUELO | $a_0$ | c    | Ta (s) | Tb (s) | r   |
|--------------|---------------|-------|------|--------|--------|-----|
| <b>A</b>     | I             | 0.02  | 0.08 | 0.2    | 0.6    | 1/2 |
|              | II            | 0.04  | 0.16 | 0.3    | 1.5    | 2/3 |
|              | III           | 0.05  | 0.2  | 0.6    | 2.9    | 1   |
| <b>B</b>     | I             | 0.04  | 0.14 | 0.2    | 0.6    | 1/2 |
|              | II            | 0.08  | 0.3  | 0.3    | 1.5    | 2/3 |
|              | III           | 0.1   | 0.36 | 0.6    | 2.9    | 1   |
| <b>C</b>     | I             | 0.36  | 0.36 | 0      | 0.6    | 1/2 |
|              | II            | 0.64  | 0.64 | 0      | 1.4    | 2/3 |
|              | III           | 0.64  | 0.64 | 0      | 1.9    | 1   |
| <b>D</b>     | I             | 0.5   | 0.5  | 0      | 0.6    | 1/2 |
|              | II            | 0.86  | 0.86 | 0      | 1.2    | 2/3 |
|              | III           | 0.86  | 0.86 | 0      | 1.7    | 1   |

**Tabla 7 Coeficientes para Espectros de Diseño (M.D.O.C. de C.F.E.)**

Considerando la clasificación anterior podemos determinar que todas las estructuras presentadas en este trabajo se consideran dentro del grupo B, dado que el grado de seguridad que exigen las estructuras debe de ser de intermedio.

Pero como podemos observar en la tabla 7 también debemos clasificar que tipo de suelo es el que tenemos en el sitio de la construcción, básicamente este dato lo podemos extraer del estudio de mecánica de suelos, que para este caso el tipo de suelo es II que es un terreno de tipo intermedio.

Para la clasificación de la construcción según su estructuración consideramos que los inmuebles presentados en este trabajo son construcciones de tipo industrial por lo tanto se considera dentro del tipo 1. Por ende dado que la resistencia a fuerzas laterales es suministrada por marcos de acero contraventeados consideramos un factor de comportamiento sísmico Q=2.

Teniendo en cuenta los factores antes descritos podemos resumir de acuerdo con el Manual de Diseño de Obras Civiles de CFE que:

*La Zona de Construcción es tipo: C  
Son Construcciones del grupo: B*

*El Tipo de suelo:*  
*Estructuración tipo:*

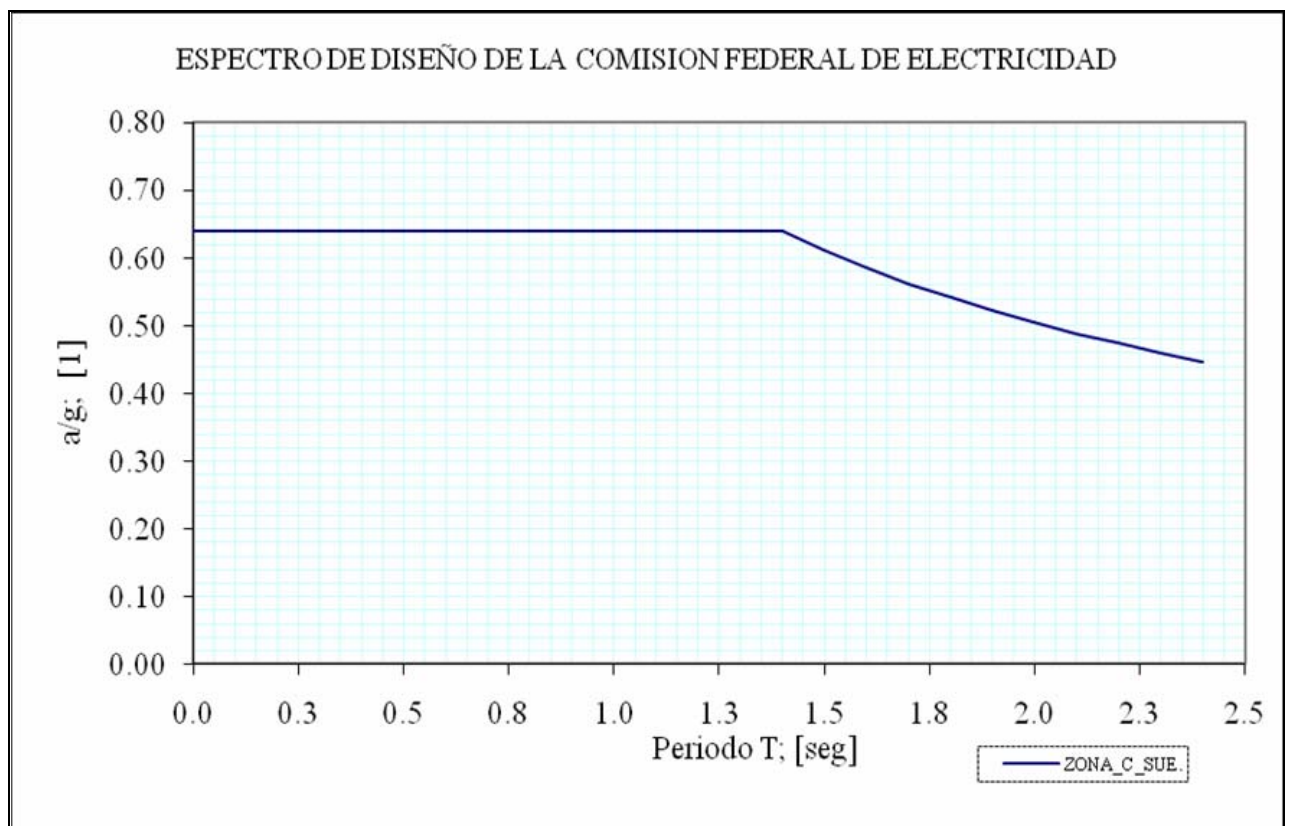
*II*  
*I*

*Coeficiente sísmico básico:*

$$\begin{aligned}C &= 0.64 \\a_o &= 0.64 \\Ta &= 0.00 \\Tb &= 1.40 \\r &= 2/3\end{aligned}$$

*Q longitudinal:* 2  
*Q transversal:* 2

*Graficando obtenemos:*



**Fig. 35. Espectro de diseño según CFE para Guaymas Sonora.**

## VIENTO

Para el análisis de viento debemos realizar la clasificación de las estructuras a diseñar bajo las siguientes características:

- **Según su importancia.** Todas las estructuras analizadas en este trabajo las ubicamos dentro del grupo B. En este grupo se recomienda un grado de seguridad moderado, se encuentran dentro de ese grupo aquellas estructuras que en caso de fallar, representan un bajo riesgo de pérdida de vidas humanas y que ocasionarían daños materiales de magnitud intermedia. Este es el caso de las plantas industriales, bodegas ordinarias, gasolineras (excluyendo los depósitos exteriores de combustibles pertenecientes al grupo A), comercios, restaurantes, casa para habitación, viviendas, edificios de apartamentos u oficinas, y todas las construcciones cuya falla por viento pueda poner en peligro a otras cercanas a ella de mayor relevancia.
- **Clasificación de las estructuras según su respuesta ante la acción de viento.** De acuerdo con su sensibilidad ante los efectos de ráfagas de viento y a su correspondiente respuesta dinámica, las construcciones se clasifican en cuatro tipos.
  - **Tipo 1.** Estructuras poco sensibles a las ráfagas y a los efectos dinámicos del viento. Abarca todas aquellas en las que la relación de aspecto  $\lambda$  (definida como el cociente entre la altura y la menor dimensión en planta), es menor o igual a cinco cuyo periodo natural de vibración es menor o igual a un segundo. Pertenecen a este tipo por ejemplo la mayoría de edificios para habitación u oficinas, bodegas, naves industriales, teatros y auditorios, puentes cortos y viaductos.
  - **Tipo 2.** Estructuras que por su alta relación de aspecto o las dimensiones reducidas de su sección transversal son especialmente sensibles a las ráfagas de corta duración (entre uno y cinco segundos), y cuyos periodos naturales largos favorecen a la ocurrencia de oscilaciones importantes en la dirección del viento. Dentro de este tipo se cuentan los edificios con relación de aspecto,  $\lambda$ , mayor que cinco o con periodo fundamental mayor que un segundo. Se incluyen también, por ejemplo, las torres de celosía atirantadas y auto soportadas para líneas de transmisión, chimeneas, tanques elevados, antenas, bardas, anuncios y en general las construcciones que presentan una dimensión muy corta paralela a la dirección del viento.
  - **Tipo 3.** Estas estructuras, además de reunir todas las características del tipo 2, presentan oscilaciones importantes transversales al flujo del viento, provocadas por la aparición periódica de vórtices o remolinos con ejes paralelos a la dirección del viento. En este tipo se incluyen las construcciones y elementos aproximadamente cilíndricos o prismáticos esbeltos, tales como

chimeneas, tuberías exteriores o elevadas, arbotantes para iluminación, postes de distribución y cables de línea de transmisión.

- **Tipo 4.** Estructuras que por su forma o por lo largo de sus periodos de vibración (periodos naturales mayores a un segundo), presentan problemas aerodinámicos especiales entre ellas se hallan las formas aerodinámicamente inestables, como son los cables de las líneas de transmisión, las tuberías colgantes y las antenas parabólicas.

Dado a la relación de aspecto,  $\lambda$ , de las estructuras presentadas en este trabajo podemos determinar que todas las torres de transferencia se encuentran dentro del tipo 1.

Teniendo en cuenta la clasificación de las estructuras podemos pasar a la determinación de la velocidad de diseño, la cual se obtiene bajo la siguiente expresión:

$$V_D = F_T \cdot F\alpha \cdot V_R$$

Donde:

- **$F_T$ .** Es un factor que depende de la topografía del sitio, adimensional.
- **$F\alpha$ .** El factor que toma en cuenta el efecto combinado de las características de exposición locales, del tamaño de la construcción y de la variación de la velocidad con la altura, adimensional.
- **$V_R$ .** La velocidad regional que le corresponde al sitio en donde se construirá la estructura, en km/h.

El valor de  $F_T$  lo podemos obtener la tabla 8, tomando en cuenta la topografía del terreno y sabiendo que es un litoral el sitio de trabajo, podemos considerar que  $F_T=1.1$

| Sitios            | Topografía  | FT  |
|-------------------|---|-----|
| <b>Protegidos</b> | Base de promontorios y faldas de serranías del lado de sotavento  | 0.8 |
|                   | Valles cerrados   | 0.9 |
| <b>Normales</b>   | Terreno prácticamente plano, campo abierto, ausencia de cambios topográficos importantes, con pendientes menores que 5%.                          | 1.0 |
| <b>Expuestos</b>  | Terrenos inclinados con pendientes entre 5 y 10 %, valles abiertos y litorales.   | 1.1 |
|                   | Cimas de promontorios, colinas o montañas, terrenos con pendientes mayores que 10% cañadas cerradas y valles que formen un embudo o cañón, islas. | 1.2 |

**Tabla 8 Factor de Topografía Local (M.D.O.C. de C.F.E.)**

El valor  $F\alpha$  se calcula con la siguiente expresión:

$$F\alpha = F_C F_{rz}$$

Donde:

- $F_C$  es el factor que determina la influencia del tamaño de la construcción, adimensional.
- $F_{rz}$  el factor que establece la variación de la velocidad del viento con la altura  $Z$  en función de la rugosidad del terreno de los alrededores, adimensional.

El valor del factor  $F_C$  lo obtenemos de la tabla 9, dado que ya se habían clasificado las estructuras dentro de la clase B, podemos determinar que  $F_C=0.95$

| Clase de Estructura | $F_C$       |
|---------------------|-------------|
| A                   | <b>1.0</b>  |
| B                   | <b>0.95</b> |
| C                   | <b>0.90</b> |

**Tabla 9 Factor de Tamaño (M.D.O.C. de C.F.E.)**

El factor de rugosidad y altura lo podemos obtener a través de las siguientes expresiones:

$$F_{RZ} = 1.56 \cdot \left[ \frac{10}{\delta} \right]^\alpha \quad \dots \dots \text{ si } Z \leq 10$$

$$F_{RZ} = 1.56 \cdot \left[ \frac{Z}{\delta} \right]^\alpha \quad \dots \dots \text{ si } 10 < Z < \delta$$

$$F_{RZ} = 1.56 \quad \dots \dots \text{ si } Z \geq \delta$$

Los valores de  $\alpha$  y  $\delta$  los podemos obtener de la tabla 10 teniendo en cuenta la clase de estructura y la categoría del terreno, esta a su vez la podemos ubicar dentro de la tabla 11 según las características del sitio.

| Categoría de Terreno | $\alpha$            |              |              | $\delta$<br>(m) |  |
|----------------------|---------------------|--------------|--------------|-----------------|--|
|                      | Clase de Estructura |              |              |                 |  |
|                      | A                   | B            | C            |                 |  |
| 1                    | <b>0.099</b>        | <b>0.101</b> | <b>0.105</b> | <b>245</b>      |  |
| 2                    | <b>0.128</b>        | <b>0.131</b> | <b>0.138</b> | <b>315</b>      |  |
| 3                    | <b>0.156</b>        | <b>0.160</b> | <b>0.171</b> | <b>390</b>      |  |
| 4                    | <b>0.170</b>        | <b>0.177</b> | <b>0.193</b> | <b>455</b>      |  |

**Tabla 10 Valores de  $\alpha$  y  $\delta$  (M.D.O.C. de C.F.E.)**

| Categoría | Descripción   | Ejemplos  | Limitaciones  |
|-----------|---|---|---|
| 1         | Terreno abierto, prácticamente plano y sin obstrucciones.                     | Franjas costeras planas, campos aéreos, pastizales, y tierras de cultivo sin setos o bardas alrededor. Superficies nevadas planas.  | La longitud mínima de este tipo de terreno en la dirección del viento debe ser de 2000 m o 10 veces la altura de la construcción por diseñar, la que sea mayor.   |
| 2         | Terreno plano u ondulado con pocas obstrucciones.                             | Campos de cultivo o granjas con pocas obstrucciones tales como setos o bardas alrededor, árboles y construcciones dispersas.  | Las obstrucciones tienen alturas de 1.5 a 10 m, en una longitud mínima de 1500 m.   |
| 3         | Terreno cubierto por numerosas obstrucciones estrechamente espaciadas.        | Áreas urbanas, suburbanas y de bosques o cualquier terreno con numerosas obstrucciones estrechadamente espaciadas. El tamaño de las construcciones corresponde al de las casas y viviendas. | Las obstrucciones presentan alturas de 3 a 5 m. La longitud mínima de este tipo de terreno en la dirección del viento debe de ser de 500 m o 10 veces la altura de la construcción, la que sea mayor.   |
| 4         | Terreno con numerosas obstrucciones largas, altas y estrechamente espaciadas. | Centros de grandes ciudades y complejos industriales bien desarrollados.  | Por lo menos el 50% de los edificios tiene una altura mayor que 20 m. Las obstrucciones miden de 10 a 30 m de altura. La longitud mínima de este tipo de terreno en la dirección del viento debe de ser la mayor entre 400 m y 10 veces la altura de la construcción. |

**Tabla 11 Categoría del terreno según su rugosidad (M.D.O.C. de C.F.E.)**

Ahora si resumimos los puntos que hasta este momento tenemos podemos decir que:

- Las estructuras pertenecen al Grupo B.
- Por su respuesta ante la acción del viento son de Tipo 1.
- La clasificación del terreno es de Categoría 1.
- Por el tamaño de las estructuras son de Clase A.

Para la velocidad regional del viento ( $V_R$ ), que es la velocidad máxima media probable de presentarse en un periodo de recurrencia, que en este caso se considero de 50 años, en la zona donde se encuentra las edificaciones.

Considerando los datos de la ciudad Guaymas, Sonora. Tenemos que:

$$V_R(50 \text{ años}) = 160 [\text{km/hr.}]$$

Ahora si la velocidad de diseño se calcula:

$$V_D = F_T \cdot F_\alpha \cdot V_R$$

$$F_T = 1.1 \text{ ; factor de topografía}$$

$$\text{pero } F_\alpha = F_C \cdot F_{rz}$$

$$\text{Donde } :: F_C \equiv \text{Factor de tamaño}$$

$$F_{rz} = 1.56 \left[ \frac{10}{\delta} \right]^\alpha$$

$$\text{si } :: \alpha = 0.101 \text{ y } \delta = 245 \text{ mts. y } F_C = 0.95$$

$$\therefore F_\alpha = (0.95) \cdot 1.56 \left[ \frac{10}{245} \right]^{0.101} = 1.073$$

Finalmente tenemos que la velocidad de diseño es:

$$V_D = F_T \cdot F_\alpha \cdot V_R = (1.1) \cdot [1.073] \cdot (160) = 188.82 [\text{Km/hr}]$$

Una vez obtenida la velocidad de diseño procedemos al cálculo la presión dinámica de base que se obtiene a partir de la siguiente expresión:

$$q_z = 0.0048 \cdot G \cdot (V_D)^2$$

Donde:

- $G$  es el factor de corrección de densidad.
- $V_D$  es la velocidad de diseño.

$$si - G = \frac{0.392 \cdot \Omega}{273 + t}; \Omega \equiv \text{presión barométrica} \cdot [\text{mm de Hg}]$$

Entonces necesitamos la temperatura media anual del sitio, así como su presión barométrica en base de su altura media sobre el nivel del mar. La altitud y la temperatura media la podemos obtener de tablas y con ayuda de la tabla 12 podemos interpolar entre los valores mostrados para la obtención de la presión. Si consideramos  $t=24.9$  y la altitud=10 msnm obtenemos:

$$\Omega = 759.6 \text{ mm de Hg.}$$

$$G = \frac{0.392 \cdot (759.60)}{273 + (24.9)} = 1.00$$

$$q_z = 0.0048 \cdot G \cdot (V_D)^2 = 0.0048 \cdot 1.00 \cdot (188.82)^2$$

$$q_z = 171.056 \left[ \frac{kg}{m^2} \right]$$

| RELACION ENTRE ALTITUD Y PRESION BAROMETRICA |                                    |
|--|------------------------------------|
| ALTITUD<br>[msnm]                            | PRESION BAROMETRICA<br>[mm de Hg.] |
| 0  | 760                                |
| 500  | 720                                |
| 1000   | 675                                |
| 1500   | 635                                |
| 2000   | 600                                |
| 2500   | 565                                |
| 3000   | 530                                |
| 3500   | 495                                |

**Tabla 12 Relación entre altitud y presión barométrica.**

Ahora para el cálculo de las presiones tenemos que:

$$P_z = C_p \cdot q_z = 171.056 \cdot C_p$$

Donde  $C_p$ : depende del muro o techo en análisis

Para las galerías de los transportadores se determinó la dirección predominante del viento y en esa cara del transportador se aplicó la presión dinámica por el ancho del perfil estructural en esa dirección, del mismo modo se realizó para las torres de transferencia dado que no tienen ningún tipo de fachada; así que el viento actúa directamente sobre los perfiles. En el siguiente capítulo se muestran algunos ejemplos de aplicación de carga a las diferentes estructuras analizadas.

## V. RESULTADOS DE ANÁLISIS Y DISEÑO.

A continuación se reportan los resultados obtenidos en los diferentes modelos realizados para el análisis del proyecto, se optó por hacer una presentación grafica de los resultados dado a la enorme cantidad de resultados que se tendrían que mostrar si se realizara en tablas; además de ello se muestran algunas tablas de resultado como ejemplo.

**Diseño.** El diseño de las estructuras de acero será de acuerdo al método de esfuerzos permisibles, en base a las normas del AISC. La estructura se diseñará de tal manera que sea capaz de soportar adecuadamente el efecto combinado de las cargas de diseño que tengan una probabilidad no despreciable de ocurrir simultáneamente.

**Acero estructural en superestructura.** El diseño de todo elemento estructural llámese viga, columna, contraviento, placa, etc. Y en este caso largueros de perfiles CE se diseñaron con acero de especificación A-36 según las propiedades principales siguientes:

### **Espesores mínimos recomendables:**

En columnas, armaduras y trabes (5 mm.)

En contravientos y puntales (6 mm.)  $\frac{1}{4}$ "

En elementos doblados en frío Cal. # 14

### **Combinaciones de carga**

Simbología empleada:

|         |   |   |
|---------|---|---|
| CM      | - | Carga Muerta  |
| CVmax   | - | Carga Viva MÁxima   |
| CVR     | - | Carga Viva Reducida   |
| SX y SY | - | Sismo horizontal en dos direcciones principales perpendiculares entre si. |
| SZ      | - | Sismo Vertical (trepidatorio)   |

Las combinaciones de carga mínimas necesarias para análisis de la estructura de acero.

| O | CM  | + CV max |           |           |
|---|-----|----------|-----------|-----------|
| 1 | +CM | +CVR     | + SX      | + 0.33 SY |
| 2 | +CM | +CVR     | + SX      | - 0.33 SY |
| 3 | +CM | +CVR     | - SX      | + 0.33 SY |
| 4 | +CM | +CVR     | - SX      | - 0.33 SY |
| 5 | +CM | +CVR     | + 0.33 SX | + SY      |
| 6 | +CM | +CVR     | +0.33 SX  | - SY      |
| 7 | +CM | +CVR     | - 0.33 SX | + SY      |
| 8 | +CM | +CVR     | - 0.33 SX | - SY      |

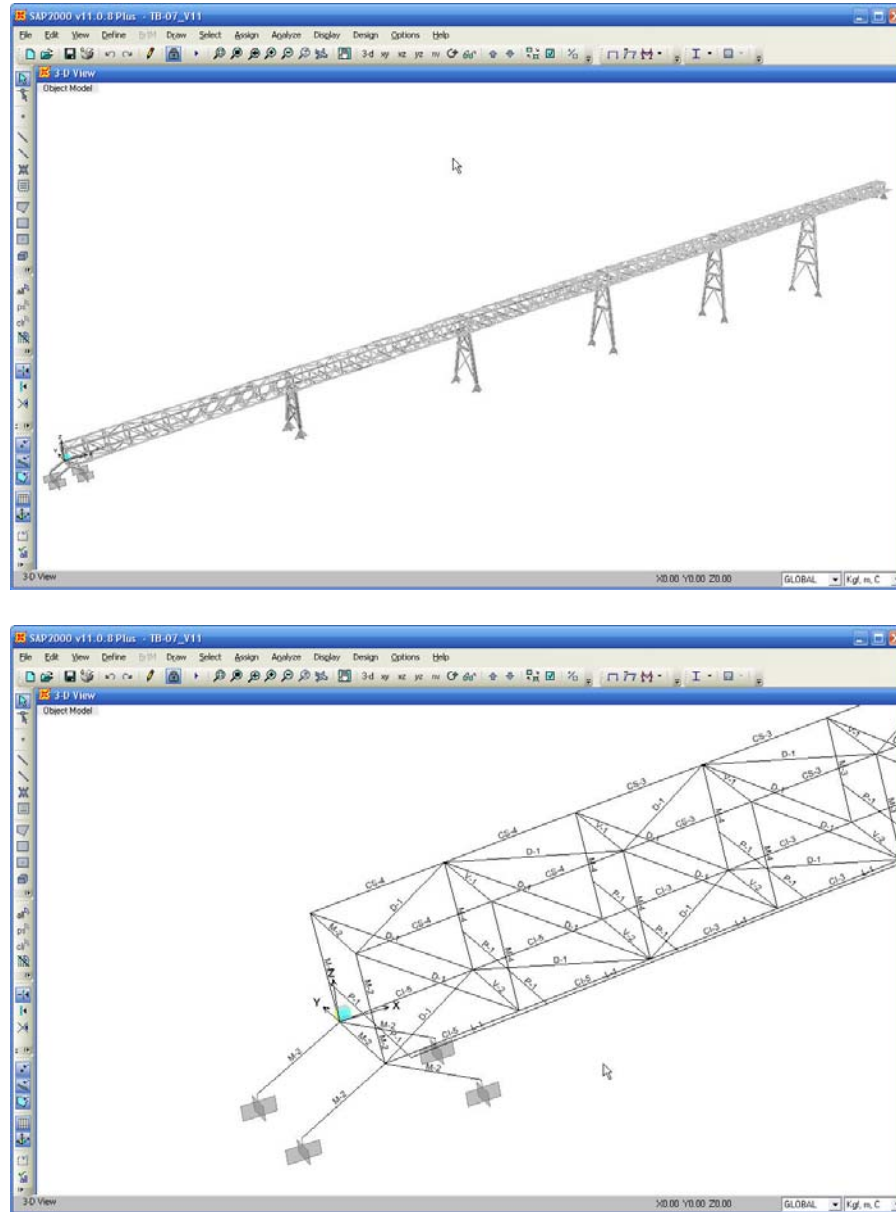
Para el diseño se considera la combinación de cargas más desfavorable que resulte, o cualquier otro caso especial de cargas se considera en el análisis.

## V.1 GALERÍAS DE TRANSPORTADORES DE BANDA.

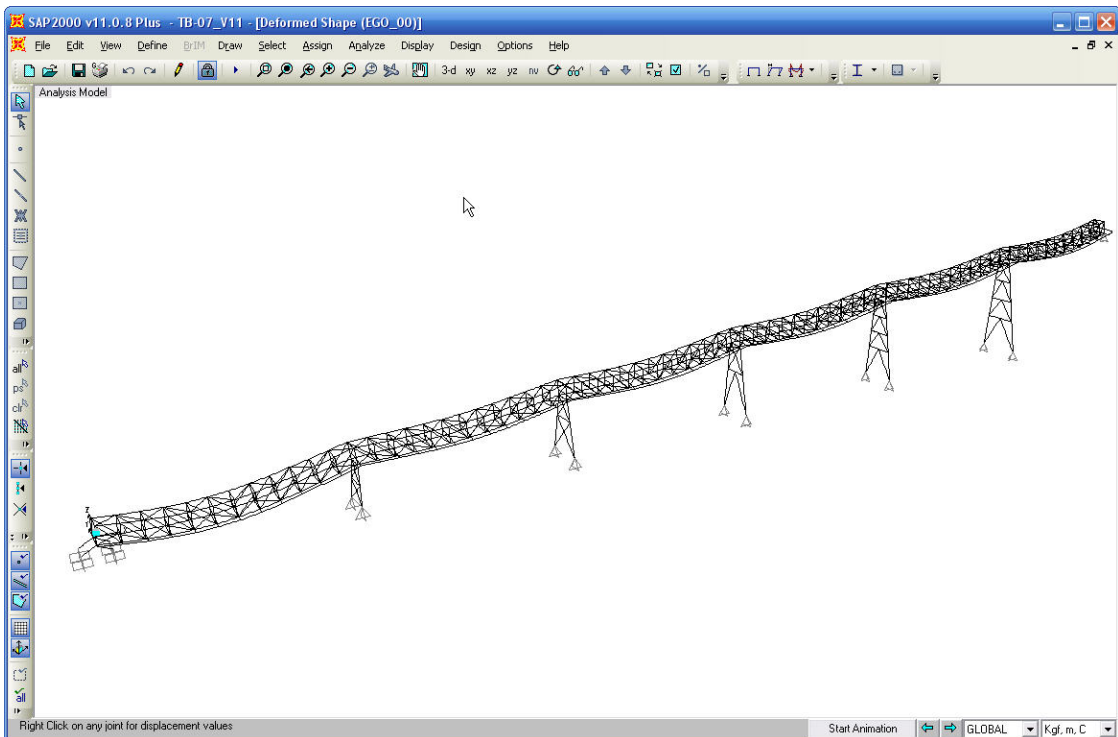
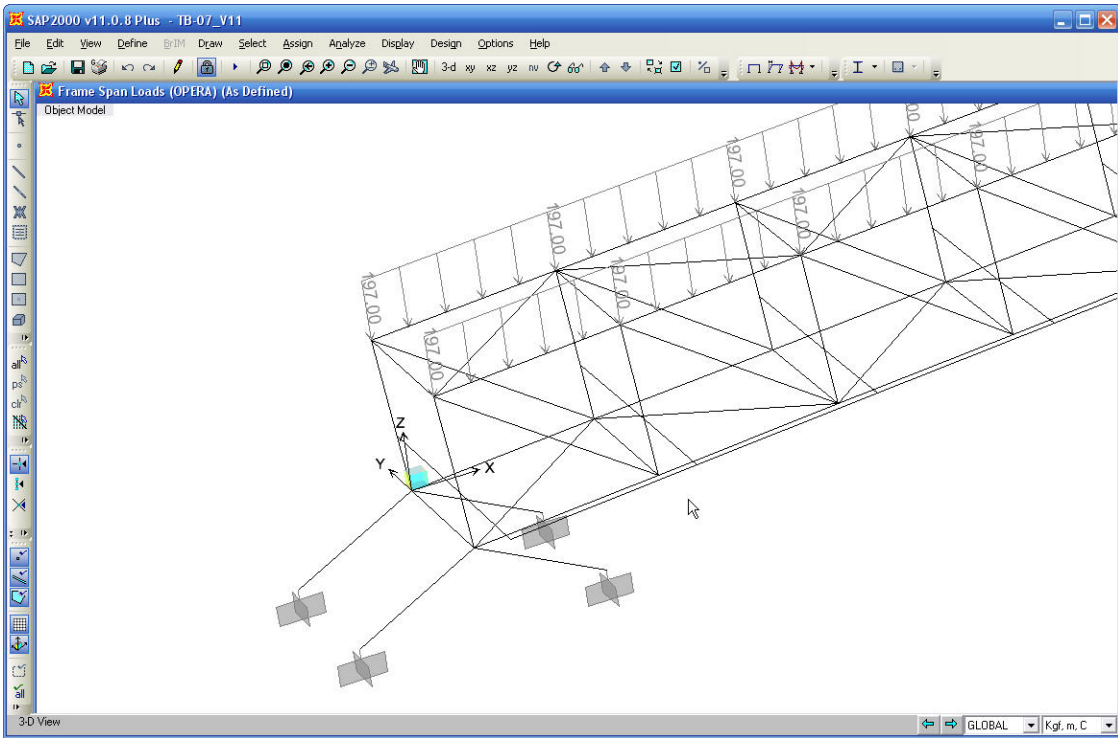
En este apartado se muestran el reporte grafico de los transportadores que conforman el área de salida del sistema de almacenamiento de carga de barcos de Guaymas Sonora; los cuales son el transportador TB-07, TBS-01, TBS-02, TBS-03, TBS-04 y TBS-05.

### V.1.1 TRANSPORTADOR TBA-07.

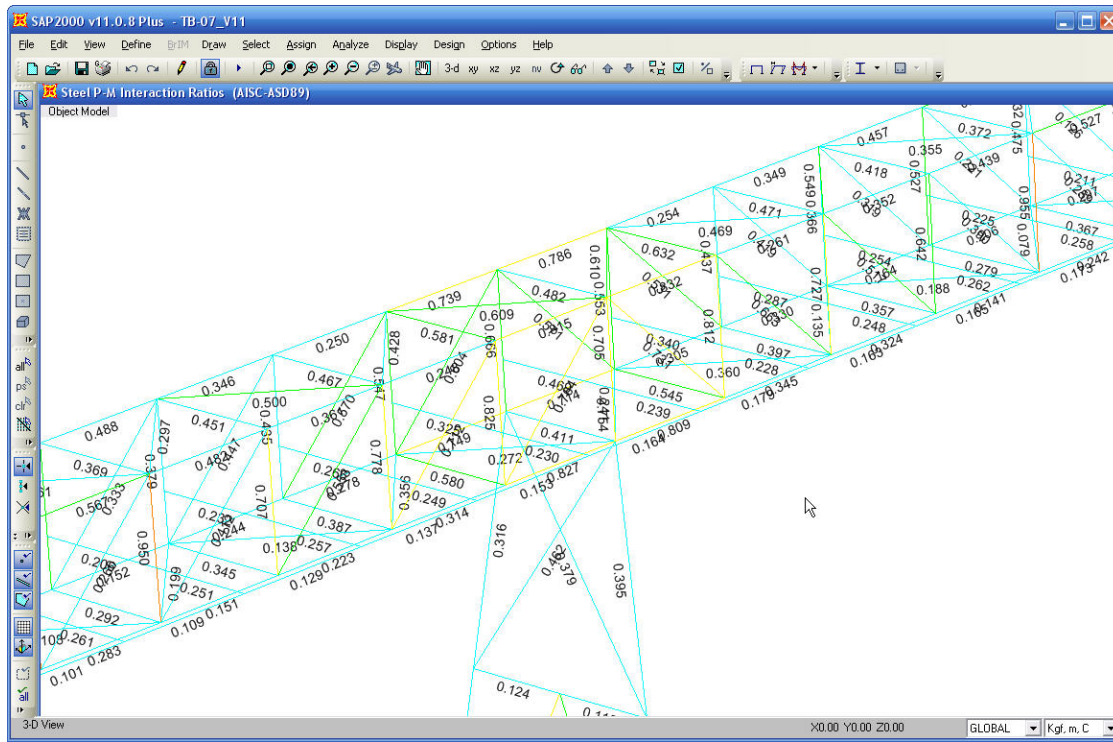
Aquí se muestran 5 figuras básicas extraídas del modelo estructural realizado como son:



**Fig. 36 Vista general en 3D del modelo (arriba)  
Asignación de marcas a perfiles para TB-07 (abajo)**



**Fig. 37 Asignación de cargas (arriba)  
Deformada de la estructura por cargas verticales para TB-07 (abajo)**



**Fig. 38 Relaciones de interacción máximas en elementos estructurales para TB-07**

A continuación se muestran tablas de resumen de resultados extraídas del modelo elaborado como son:

| REACCIONES BASE POR TIPO DE CARGA |            |             |          |       |       |       |       |       |       |
|-----------------------------------|------------|-------------|----------|-------|-------|-------|-------|-------|-------|
| Joint                             | OutputCase | CaseType    | StepType | F1    | F2    | F3    | M1    | M2    | M3    |
| Text                              | Text       | Text        | Text     | Ton   | Ton   | Ton   | Ton-m | Ton-m | Ton-m |
| 255                               | DEAD       | LinStatic   |          | -0.07 | 0.01  | 2.02  | 0.00  | 0.00  | 0.00  |
| 255                               | CV         | LinStatic   |          | -0.34 | 0.12  | 1.27  | 0.00  | 0.00  | 0.00  |
| 255                               | VIENTO     | LinStatic   |          | 0.70  | -0.08 | -0.12 | 0.00  | 0.00  | 0.00  |
| 255                               | OPERA      | LinStatic   |          | -0.01 | 0.00  | 0.98  | 0.00  | 0.00  | 0.00  |
| 255                               | SX         | LinRespSpec | Max      | 5.43  | 0.05  | 0.98  | 0.00  | 0.00  | 0.00  |
| 255                               | SY         | LinRespSpec | Max      | 4.97  | 0.53  | 1.50  | 0.00  | 0.00  | 0.00  |
| 255                               | SZ         | LinRespSpec | Max      | 3.62  | 0.04  | 0.66  | 0.00  | 0.00  | 0.00  |
| 255                               | CV_RED     | LinStatic   |          | -0.20 | 0.07  | 0.76  | 0.00  | 0.00  | 0.00  |
| 343                               | DEAD       | LinStatic   |          | -1.96 | 0.00  | 1.34  | 0.00  | 0.06  | 0.00  |
| 343                               | CV         | LinStatic   |          | -1.03 | -0.02 | 0.65  | -0.01 | 0.02  | -0.01 |
| 343                               | VIENTO     | LinStatic   |          | -0.02 | -0.08 | 0.01  | 0.02  | 0.00  | 0.04  |
| 343                               | OPERA      | LinStatic   |          | -0.97 | 0.00  | 0.66  | 0.00  | 0.03  | 0.00  |
| 343                               | SX         | LinRespSpec | Max      | 2.30  | 0.05  | 1.37  | 0.01  | 0.02  | 0.02  |
| 343                               | SY         | LinRespSpec | Max      | 0.90  | 0.64  | 0.59  | 0.20  | 0.03  | 0.35  |
| 343                               | SZ         | LinRespSpec | Max      | 1.53  | 0.03  | 0.92  | 0.01  | 0.01  | 0.01  |
| 343                               | CV_RED     | LinStatic   |          | -0.61 | -0.01 | 0.39  | 0.00  | 0.01  | -0.01 |
| 344                               | DEAD       | LinStatic   |          | 2.06  | 0.00  | 1.08  | 0.00  | 0.03  | 0.00  |
| 344                               | CV         | LinStatic   |          | 1.12  | 0.02  | 0.64  | -0.01 | 0.00  | 0.02  |

**Tabla 13. Descargas en apoyos del transportador TB-07, por tipo de Carga**

| EJEMPLO DE DESPLAZAMIENTOS |            |             |      |       |       |         |         |         |
|----------------------------|------------|-------------|------|-------|-------|---------|---------|---------|
| Joint                      | OutputCase | CaseType    | U1   | U2    | U3    | R1      | R2      | R3      |
| Text                       | Text       | Text        | mm   | mm    | mm    | Radians | Radians | Radians |
| 7                          | EGO_00     | Combination | 1.62 | -0.82 | -9.85 | 0.00    | 0.00    | 0.00    |
| 8                          | EGO_00     | Combination | 1.50 | -0.17 | -9.84 | 0.00    | 0.00    | 0.00    |
| 9                          | EGO_00     | Combination | 1.35 | -0.65 | -9.27 | 0.00    | 0.00    | 0.00    |
| 10                         | EGO_00     | Combination | 1.48 | -0.21 | -9.19 | 0.00    | 0.00    | 0.00    |
| 11                         | EGO_00     | Combination | 1.07 | -0.81 | -8.07 | 0.00    | 0.00    | 0.00    |
| 12                         | EGO_00     | Combination | 1.37 | -0.19 | -7.94 | 0.00    | 0.00    | 0.00    |
| 13                         | EGO_00     | Combination | 0.80 | -0.71 | -6.38 | 0.00    | 0.00    | 0.00    |
| 14                         | EGO_00     | Combination | 1.29 | -0.16 | -6.26 | 0.00    | 0.00    | 0.00    |
| 15                         | EGO_00     | Combination | 0.60 | -0.72 | -4.47 | 0.00    | 0.00    | 0.00    |
| 16                         | EGO_00     | Combination | 1.06 | -0.20 | -4.33 | 0.00    | 0.00    | 0.00    |
| 19                         | EGO_00     | Combination | 1.83 | -0.60 | -9.72 | 0.00    | 0.00    | 0.00    |
| 20                         | EGO_00     | Combination | 1.44 | -0.24 | -9.75 | 0.00    | 0.00    | 0.00    |
| 21                         | EGO_00     | Combination | 2.00 | -0.76 | -8.96 | 0.00    | 0.00    | 0.00    |
| 22                         | EGO_00     | Combination | 1.32 | -0.17 | -8.98 | 0.00    | 0.00    | 0.00    |
| 23                         | EGO_00     | Combination | 2.11 | -0.52 | -7.48 | 0.00    | 0.00    | 0.00    |
| 24                         | EGO_00     | Combination | 1.23 | -0.20 | -7.52 | 0.00    | 0.00    | 0.00    |
| 277                        | EGO_00     | Combination | 1.67 | 0.32  | -9.80 | 0.00    | 0.00    | 0.00    |
| 278                        | EGO_00     | Combination | 1.79 | 0.17  | -9.11 | 0.00    | 0.00    | 0.00    |
| 279                        | EGO_00     | Combination | 1.80 | 0.27  | -7.84 | 0.00    | 0.00    | 0.00    |
| 280                        | EGO_00     | Combination | 1.69 | 0.23  | -6.17 | 0.00    | 0.00    | 0.00    |
| 281                        | EGO_00     | Combination | 1.45 | 0.14  | -4.23 | 0.00    | 0.00    | 0.00    |
| 283                        | EGO_00     | Combination | 1.43 | 0.11  | -9.74 | 0.00    | 0.00    | 0.00    |
| 284                        | EGO_00     | Combination | 1.14 | 0.28  | -8.97 | 0.00    | 0.00    | 0.00    |
| 285                        | EGO_00     | Combination | 0.81 | 0.08  | -7.53 | 0.00    | 0.00    | 0.00    |
| 286                        | EGO_00     | Combination | 0.49 | 0.14  | -5.46 | 0.00    | 0.00    | 0.00    |
| 349                        | EGO_00     | Combination | 1.50 | -0.81 | -8.33 | 0.00    | 0.00    | 0.00    |
| 350                        | EGO_00     | Combination | 1.54 | 0.31  | -8.30 | 0.00    | 0.00    | 0.00    |
| 351                        | EGO_00     | Combination | 1.24 | -0.64 | -7.81 | 0.00    | 0.00    | 0.00    |
| 352                        | EGO_00     | Combination | 1.65 | 0.16  | -7.66 | 0.00    | 0.00    | 0.00    |
| 353                        | EGO_00     | Combination | 0.98 | -0.81 | -6.72 | 0.00    | 0.00    | 0.00    |
| 354                        | EGO_00     | Combination | 1.65 | 0.27  | -6.52 | 0.00    | 0.00    | 0.00    |
| 355                        | EGO_00     | Combination | 0.74 | -0.71 | -5.25 | 0.00    | 0.00    | 0.00    |
| 356                        | EGO_00     | Combination | 1.56 | 0.23  | -5.07 | 0.00    | 0.00    | 0.00    |
| 357                        | EGO_00     | Combination | 0.56 | -0.72 | -3.61 | 0.00    | 0.00    | 0.00    |
| 358                        | EGO_00     | Combination | 1.35 | 0.15  | -3.41 | 0.00    | 0.00    | 0.00    |
| 361                        | EGO_00     | Combination | 1.70 | -0.59 | -8.24 | 0.00    | 0.00    | 0.00    |
| 362                        | EGO_00     | Combination | 1.31 | 0.10  | -8.28 | 0.00    | 0.00    | 0.00    |
| 363                        | EGO_00     | Combination | 1.86 | -0.75 | -7.59 | 0.00    | 0.00    | 0.00    |
| 364                        | EGO_00     | Combination | 1.04 | 0.27  | -7.63 | 0.00    | 0.00    | 0.00    |
| 365                        | EGO_00     | Combination | 1.98 | -0.51 | -6.33 | 0.00    | 0.00    | 0.00    |
| 366                        | EGO_00     | Combination | 0.74 | 0.07  | -6.39 | 0.00    | 0.00    | 0.00    |
| 367                        | EGO_00     | Combination | 2.00 | -0.65 | -4.53 | 0.00    | 0.00    | 0.00    |
| 368                        | EGO_00     | Combination | 0.44 | 0.14  | -4.60 | 0.00    | 0.00    | 0.00    |
| 507                        | EGO_00     | Combination | 1.02 | -0.19 | -4.57 | 0.00    | 0.00    | 0.00    |

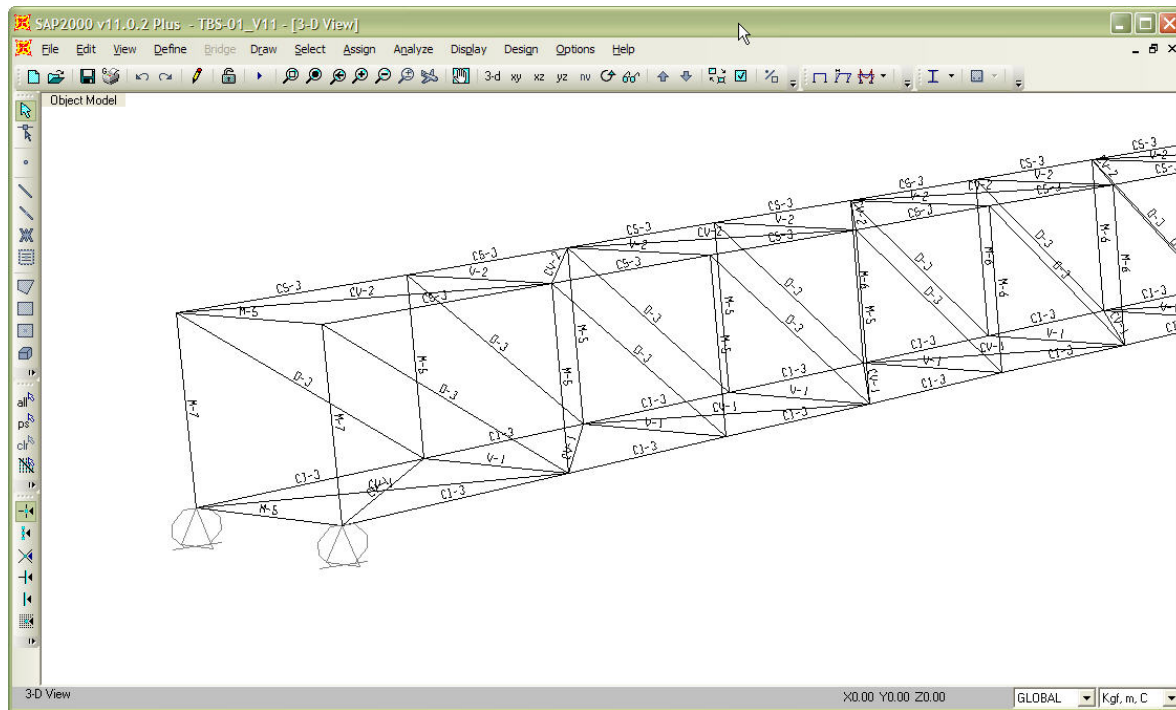
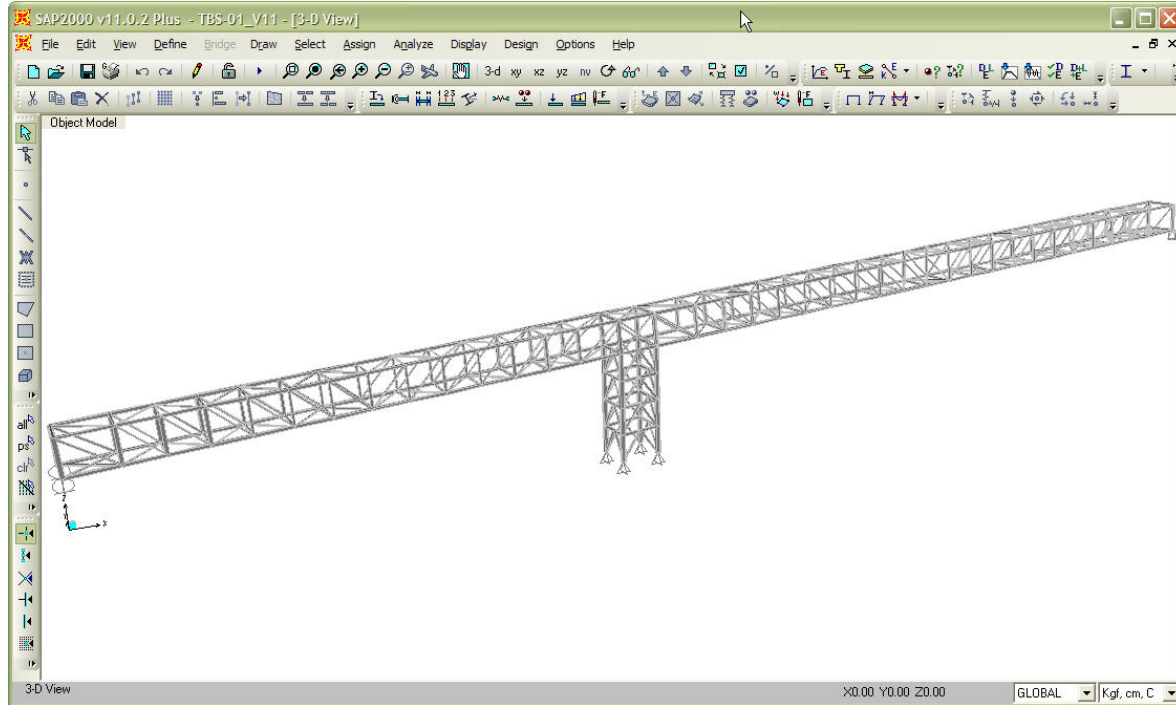
**Tabla 14. Ejemplo de desplazamientos de nodos pertenecientes a la galería del TB-07**

| EJEMPLO DE RELACIONES DE INTERACCION DISEÑO |            |            |              |          |           |        |          |             |
|---|------------|------------|--------------|----------|-----------|--------|----------|-------------|
| Frame                                       | DesignSect | DesignType | Status       | Ratio    | RatioType | Combo  | Location | WarnMsg     |
| Text  | Text       | Text       | Text         | Unitless | Text      | Text   | cm       | Text        |
| 3   | M-2        | Column     | No Messages  | 0.819421 | PMM       | EGO_28 | 76       | No Messages |
| 6   | M-2        | Column     | No Messages  | 0.514059 | PMM       | EGO_28 | 76       | No Messages |
| 25  | M-3        | Column     | No Messages  | 0.653134 | PMM       | EGO_10 | 76       | No Messages |
| 37  | M-3        | Column     | No Messages  | 0.943271 | PMM       | EGO_10 | 76       | No Messages |
| 44  | M-3        | Column     | No Messages  | 0.924142 | PMM       | EGO_10 | 76       | No Messages |
| 45  | M-4        | Column     | No Messages  | 0.762972 | PMM       | EGO_10 | 76       | No Messages |
| 46  | M-4        | Column     | No Messages  | 0.843595 | PMM       | EGO_28 | 76       | No Messages |
| 53  | M-4        | Column     | Overstressed | 0.960885 | PMM       | EGO_28 | 76       | No Messages |
| 65  | M-3        | Column     | No Messages  | 0.781221 | PMM       | EGO_10 | 76       | No Messages |
| 70  | M-3        | Column     | No Messages  | 0.861928 | PMM       | EGO_10 | 76       | No Messages |
| 71  | M-4        | Column     | No Messages  | 0.708298 | PMM       | EGO_10 | 76       | No Messages |
| 72  | M-4        | Column     | No Messages  | 0.683508 | PMM       | EGO_10 | 76       | No Messages |
| 73  | M-4        | Column     | No Messages  | 0.771698 | PMM       | EGO_10 | 76       | No Messages |
| 76  | M-2        | Column     | No Messages  | 0.770209 | PMM       | EGO_28 | 76       | No Messages |
| 77  | M-3        | Column     | No Messages  | 0.650518 | PMM       | EGO_10 | 76       | No Messages |
| 78  | M-3        | Column     | No Messages  | 0.838341 | PMM       | EGO_10 | 76       | No Messages |
| 79  | M-3        | Column     | Overstressed | 0.960816 | PMM       | EGO_10 | 76       | No Messages |
| 81  | M-4        | Column     | No Messages  | 0.769787 | PMM       | EGO_10 | 76       | No Messages |
| 82  | M-4        | Column     | No Messages  | 0.858824 | PMM       | EGO_28 | 76       | No Messages |
| 83  | M-3        | Column     | No Messages  | 0.901059 | PMM       | EGO_10 | 76       | No Messages |
| 84  | M-3        | Column     | Overstressed | 0.972346 | PMM       | EGO_10 | 76       | No Messages |
| 85  | M-4        | Column     | No Messages  | 0.720016 | PMM       | EGO_10 | 76       | No Messages |
| 86  | M-4        | Column     | No Messages  | 0.831928 | PMM       | EGO_10 | 76       | No Messages |
| 87  | M-4        | Column     | No Messages  | 0.900807 | PMM       | EGO_28 | 76       | No Messages |
| 90  | M-2        | Column     | No Messages  | 0.705471 | PMM       | EGO_28 | 76       | No Messages |
| 91  | M-3        | Column     | No Messages  | 0.675699 | PMM       | EGO_10 | 76       | No Messages |
| 92  | M-3        | Column     | No Messages  | 0.904093 | PMM       | EGO_10 | 76       | No Messages |
| 93  | M-3        | Column     | No Messages  | 0.949762 | PMM       | EGO_10 | 76       | No Messages |
| 94  | M-4        | Column     | No Messages  | 0.706661 | PMM       | EGO_10 | 76       | No Messages |
| 95  | M-4        | Column     | No Messages  | 0.777756 | PMM       | EGO_10 | 76       | No Messages |
| 96  | M-4        | Column     | No Messages  | 0.824823 | PMM       | EGO_10 | 76       | No Messages |
| 97  | M-3        | Column     | No Messages  | 0.904347 | PMM       | EGO_10 | 76       | No Messages |
| 98  | M-3        | Column     | Overstressed | 0.956703 | PMM       | EGO_10 | 76       | No Messages |
| 99  | M-4        | Column     | No Messages  | 0.705888 | PMM       | EGO_10 | 76       | No Messages |
| 100   | M-4        | Column     | No Messages  | 0.791445 | PMM       | EGO_10 | 76       | No Messages |
| 101   | M-4        | Column     | No Messages  | 0.865742 | PMM       | EGO_28 | 76       | No Messages |
| 105   | M-2        | Column     | No Messages  | 0.844952 | PMM       | EGO_28 | 76       | No Messages |
| 106   | M-3        | Column     | No Messages  | 0.636512 | PMM       | EGO_10 | 76       | No Messages |
| 107   | M-3        | Column     | No Messages  | 0.840592 | PMM       | EGO_10 | 76       | No Messages |
| 108   | M-3        | Column     | Overstressed | 0.957331 | PMM       | EGO_10 | 76       | No Messages |
| 109   | M-4        | Column     | No Messages  | 0.682051 | PMM       | EGO_10 | 76       | No Messages |
| 110   | M-4        | Column     | No Messages  | 0.797362 | PMM       | EGO_28 | 76       | No Messages |
| 111   | M-4        | Column     | No Messages  | 0.936131 | PMM       | EGO_28 | 76       | No Messages |
| 112   | M-3        | Column     | No Messages  | 0.845545 | PMM       | EGO_10 | 76       | No Messages |

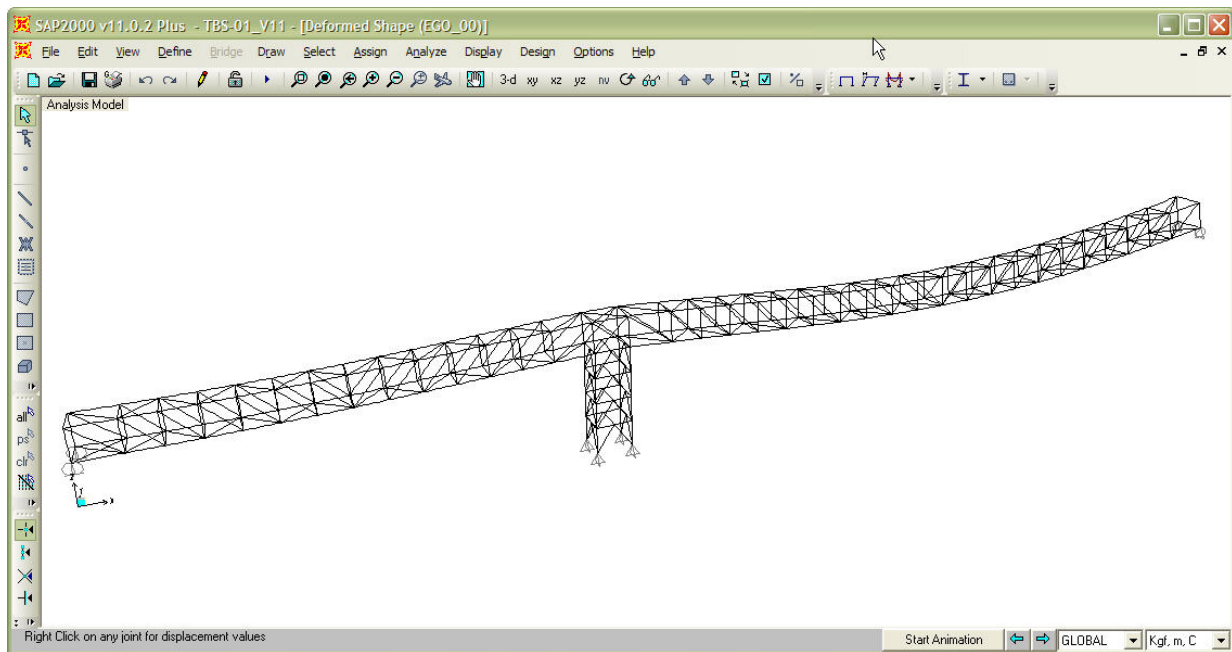
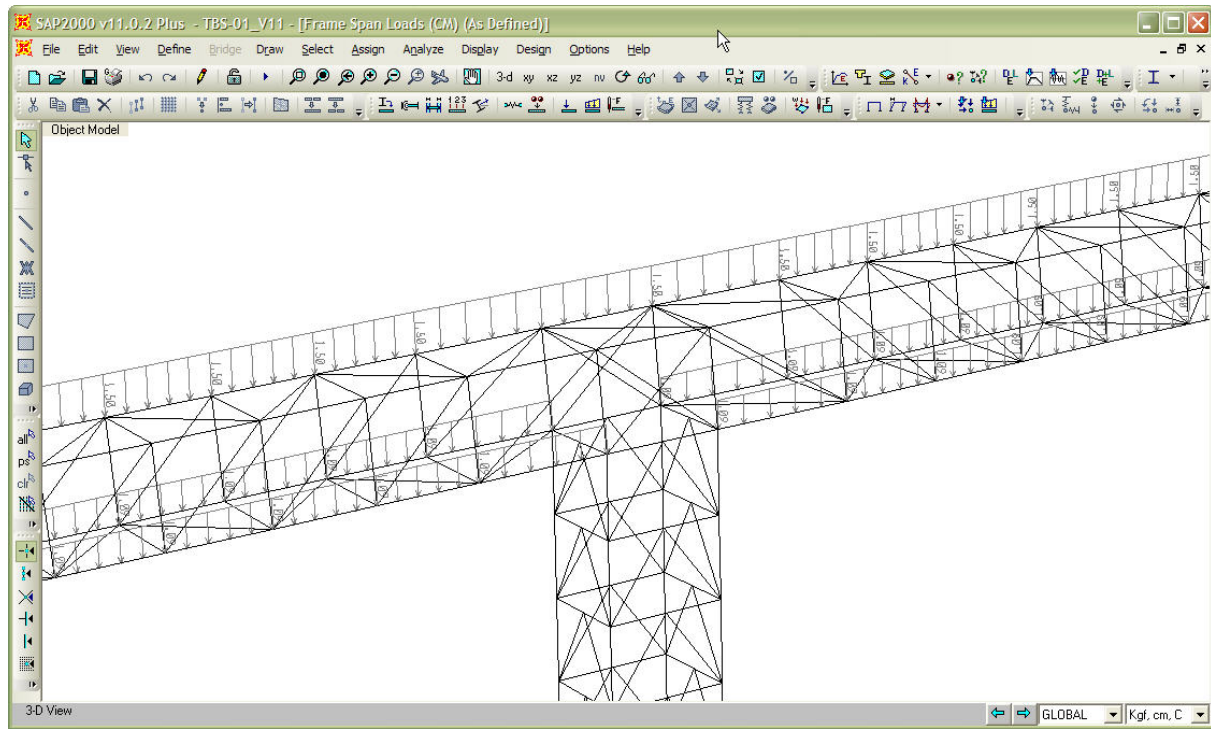
**Tabla 15. Relaciones de Interacción de diseño de elementos estructurales para TB-07**

## V.1.2 TRANSPORTADOR TBS-01.

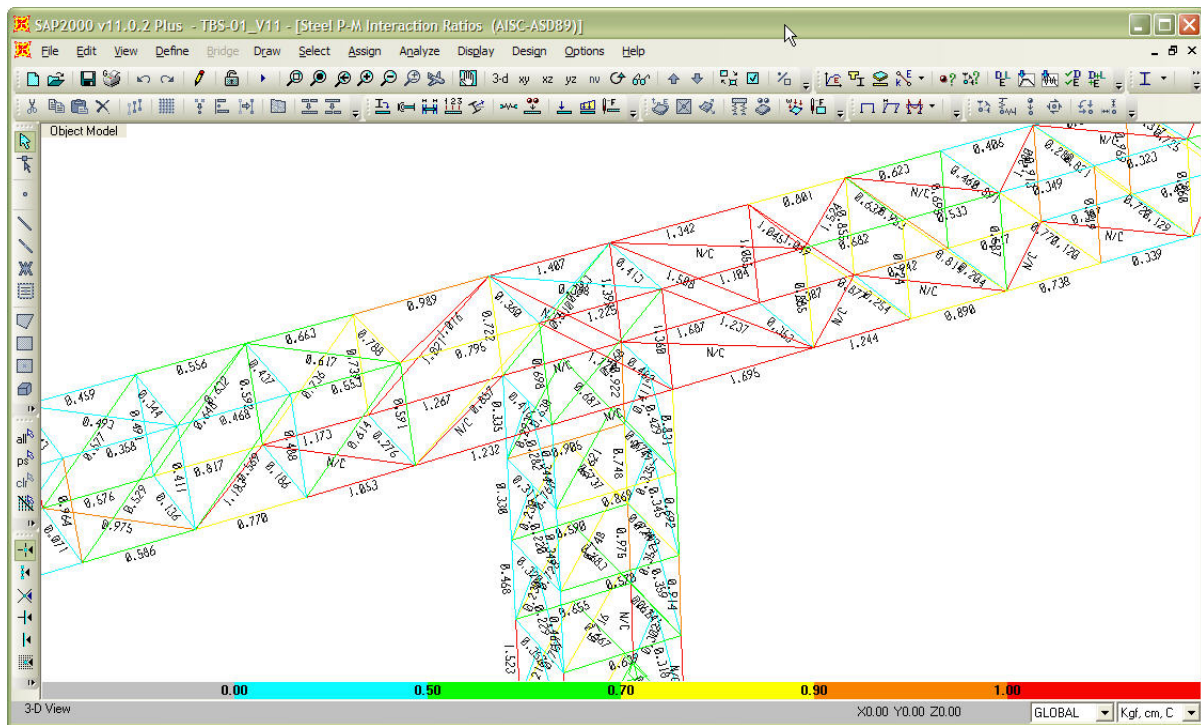
Aquí se muestran 5 figuras básicas extraídas del modelo estructural realizado como son:



**Fig. 39 Vista general en 3D del modelo (arriba)  
Asignación de marcas a perfiles para TBS-01 (abajo)**



**Fig. 40 Asignación de cargas (*arriba*)**  
**Deformada de la estructura por cargas verticales para TBS-01 (*abajo*)**



**Fig. 41 Relaciones de interacción máximas en elementos estructurales para TBS-01**

A continuación se muestran tablas de resumen de resultados extraídas del modelo elaborado como son:

| TABLA DE REACCIONES DE CARGAS BASE |            |             |          |         |           |          |       |       |       |
|------------------------------------|------------|-------------|----------|---------|-----------|----------|-------|-------|-------|
| Joint                              | OutputCase | CaseType    | StepType | F1      | F2        | F3       | M1    | M2    | M3    |
| Text                               | Text       | Text        | Text     | Ton     | Ton       | Ton      | Ton-m | Ton-m | Ton-m |
| 33                                 | DEAD       | LinStatic   |          | 0       | -0.0276   | 2.5789   | 0     | 0     | 0     |
| 33                                 | CV         | LinStatic   |          | 0       | 0.0006205 | 0.6964   | 0     | 0     | 0     |
| 33                                 | VIENTO     | LinStatic   |          | 0       | -0.7566   | -0.9917  | 0     | 0     | 0     |
| 33                                 | OPERA      | LinStatic   |          | 0       | 0.0011    | 1.193    | 0     | 0     | 0     |
| 33                                 | SX         | LinRespSpec | Max      | 0       | 0.278     | 1.6241   | 0     | 0     | 0     |
| 33                                 | SY         | LinRespSpec | Max      | 0       | 2.3413    | 2.0766   | 0     | 0     | 0     |
| 33                                 | SZ         | LinRespSpec | Max      | 0       | 0.1853    | 1.0827   | 0     | 0     | 0     |
| 33                                 | CV_RED     | LinStatic   |          | 0       | 0.0003777 | 0.4239   | 0     | 0     | 0     |
| 131                                | DEAD       | LinStatic   |          | 0.1143  | -0.0584   | -4.4111  | 0     | 0     | 0     |
| 131                                | CV         | LinStatic   |          | 0.0143  | -0.0025   | -0.658   | 0     | 0     | 0     |
| 131                                | VIENTO     | LinStatic   |          | -0.5552 | -1.5779   | -12.5773 | 0     | 0     | 0     |
| 131                                | OPERA      | LinStatic   |          | 0.0246  | -0.0043   | -1.1272  | 0     | 0     | 0     |
| 131                                | SX         | LinRespSpec | Max      | 6.8779  | 0.5013    | 38.6516  | 0     | 0     | 0     |
| 131                                | SY         | LinRespSpec | Max      | 2.5319  | 3.0261    | 25.4699  | 0     | 0     | 0     |
| 131                                | SZ         | LinRespSpec | Max      | 4.5852  | 0.3342    | 25.7677  | 0     | 0     | 0     |
| 131                                | CV_RED     | LinStatic   |          | 0.0087  | -0.0015   | -0.4005  | 0     | 0     | 0     |
| 141                                | DEAD       | LinStatic   |          | 0       | -0.0215   | 5.3276   | 0     | 0     | 0     |
| 141                                | CV         | LinStatic   |          | 0       | 0.001     | 0.7117   | 0     | 0     | 0     |

**Tabla 16. Descargas en apoyos del transportador TBS-1, por tipo de Carga**

**TABLA DE DESPLAZAMIENTOS MAXIMOS**

| <b>Joint</b> | <b>OutputCase</b> | <b>CaseType</b> | <b>U1</b> | <b>U2</b> | <b>U3</b>   | <b>R1</b> | <b>R2</b> | <b>R3</b> |
|--------------|-------------------|-----------------|-----------|-----------|-------------|-----------|-----------|-----------|
| Text         | Text              | Text            | mm        | mm        | mm          | Radians   | Radians   | Radians   |
| 196          | EGO_00            | Combination     | 8.902122  | -0.802334 | -99.614104  | -0.002992 | 0.001616  | -0.000117 |
| 197          | EGO_00            | Combination     | 12.056226 | 3.727636  | -99.481332  | -0.001922 | 0.001594  | -0.000173 |
| 198          | EGO_00            | Combination     | 9.427117  | -0.809765 | -108.959925 | -0.002921 | 0.001752  | -0.000115 |
| 199          | EGO_00            | Combination     | 12.804104 | 3.7428    | -108.836267 | -0.001881 | 0.001726  | -0.000179 |
| 200          | EGO_00            | Combination     | 7.713726  | -0.301354 | -94.766565  | -0.002761 | 0.002402  | -0.000191 |
| 201          | EGO_00            | Combination     | 12.490895 | 3.088796  | -94.546632  | -0.001464 | 0.002393  | -0.000071 |
| 202          | EGO_00            | Combination     | 8.175104  | -0.319    | -103.728639 | -0.002696 | 0.00257   | -0.000187 |
| 203          | EGO_00            | Combination     | 13.229299 | 3.123379  | -103.519012 | -0.001437 | 0.002561  | -0.000061 |
| 204          | EGO_00            | Combination     | 6.500317  | -0.977891 | -88.09746   | -0.00278  | 0.0031    | -0.000105 |
| 205          | EGO_00            | Combination     | 12.704372 | 3.620229  | -87.805781  | -0.001944 | 0.003091  | -0.000169 |
| 206          | EGO_00            | Combination     | 6.896218  | -0.982889 | -96.611137  | -0.002709 | 0.003305  | -0.000102 |
| 207          | EGO_00            | Combination     | 13.425193 | 3.632921  | -96.331187  | -0.001902 | 0.003293  | -0.000172 |
| 208          | EGO_00            | Combination     | 5.292639  | -0.631229 | -79.845893  | -0.002527 | 0.003699  | -0.000207 |
| 209          | EGO_00            | Combination     | 12.70045  | 3.057974  | -79.498396  | -0.001585 | 0.003691  | -0.000041 |
| 210          | EGO_00            | Combination     | 5.615904  | -0.642903 | -87.79292   | -0.002459 | 0.003945  | -0.000204 |
| 211          | EGO_00            | Combination     | 13.397436 | 3.083305  | -87.461502  | -0.00155  | 0.003935  | -0.000031 |
| 212          | EGO_00            | Combination     | 4.152974  | -1.044731 | -70.251775  | -0.002441 | 0.004179  | -0.00007  |
| 213          | EGO_00            | Combination     | 12.462041 | 3.37427   | -69.871493  | -0.001869 | 0.004175  | -0.000168 |
| 214          | EGO_00            | Combination     | 4.397529  | -1.046161 | -77.545359  | -0.002367 | 0.00447   | -0.000065 |
| 215          | EGO_00            | Combination     | 13.129457 | 3.38194   | -77.185807  | -0.001823 | 0.004463  | -0.000169 |
| 216          | EGO_00            | Combination     | 3.106651  | -0.949567 | -59.647136  | -0.002174 | 0.004508  | -0.000207 |
| 217          | EGO_00            | Combination     | 12.011599 | 2.986895  | -59.257755  | -0.001681 | 0.004496  | -0.000023 |
| 218          | EGO_00            | Combination     | 3.2643    | -0.953439 | -66.148156  | -0.002103 | 0.004846  | -0.000206 |
| 219          | EGO_00            | Combination     | 12.642462 | 2.999494  | -65.787337  | -0.001637 | 0.004829  | -0.000013 |
| 220          | EGO_00            | Combination     | 2.230112  | -1.046263 | -48.358872  | -0.001959 | 0.004754  | -0.000019 |
| 221          | EGO_00            | Combination     | 11.33237  | 3.05915   | -47.983435  | -0.001738 | 0.004787  | -0.000179 |
| 236          | EGO_00            | Combination     | 10.021848 | 0.074996  | -102.505527 | -0.003237 | 0.000811  | -0.000214 |
| 237          | EGO_00            | Combination     | 11.410881 | 3.022617  | -102.409264 | -0.002119 | 0.000764  | -0.000172 |
| 238          | EGO_00            | Combination     | 10.610218 | 0.056939  | -112.119813 | -0.003127 | 0.000898  | -0.000206 |
| 239          | EGO_00            | Combination     | 12.154472 | 3.056001  | -112.028512 | -0.00196  | 0.000848  | -0.000154 |
| 240          | EGO_00            | Combination     | 11.082981 | -0.569457 | -103.405057 | -0.003343 | -0.000044 | -0.000185 |
| 241          | EGO_00            | Combination     | 10.616145 | 3.658454  | -103.362468 | -0.002462 | -0.000049 | -0.000214 |
| 242          | EGO_00            | Combination     | 11.737813 | -0.581117 | -113.157513 | -0.003231 | -0.00002  | -0.000181 |
| 243          | EGO_00            | Combination     | 11.341955 | 3.679617  | -113.123128 | -0.002295 | -0.000024 | -0.000207 |
| 244          | EGO_00            | Combination     | 11.997572 | 0.373368  | -102.172212 | -0.003249 | -0.000942 | -0.000193 |
| 245          | EGO_00            | Combination     | 9.632624  | 2.920792  | -102.326297 | -0.002038 | -0.000915 | -0.000167 |
| 246          | EGO_00            | Combination     | 12.708133 | 0.353867  | -111.88376  | -0.00314  | -0.000986 | -0.000182 |
| 247          | EGO_00            | Combination     | 10.317771 | 2.956038  | -112.066397 | -0.001878 | -0.000952 | -0.000152 |
| 248          | EGO_00            | Combination     | 12.728562 | -0.312285 | -98.769607  | -0.003254 | -0.001834 | -0.000218 |
| 250          | EGO_00            | Combination     | 13.487505 | -0.323826 | -108.289705 | -0.003142 | -0.001948 | -0.000215 |
| 251          | EGO_00            | Combination     | 9.10194   | 3.616143  | -108.690021 | -0.002188 | -0.001926 | -0.00018  |
| 254          | EGO_00            | Combination     | 14.064189 | 0.543218  | -102.361342 | -0.002943 | -0.002902 | -0.000165 |

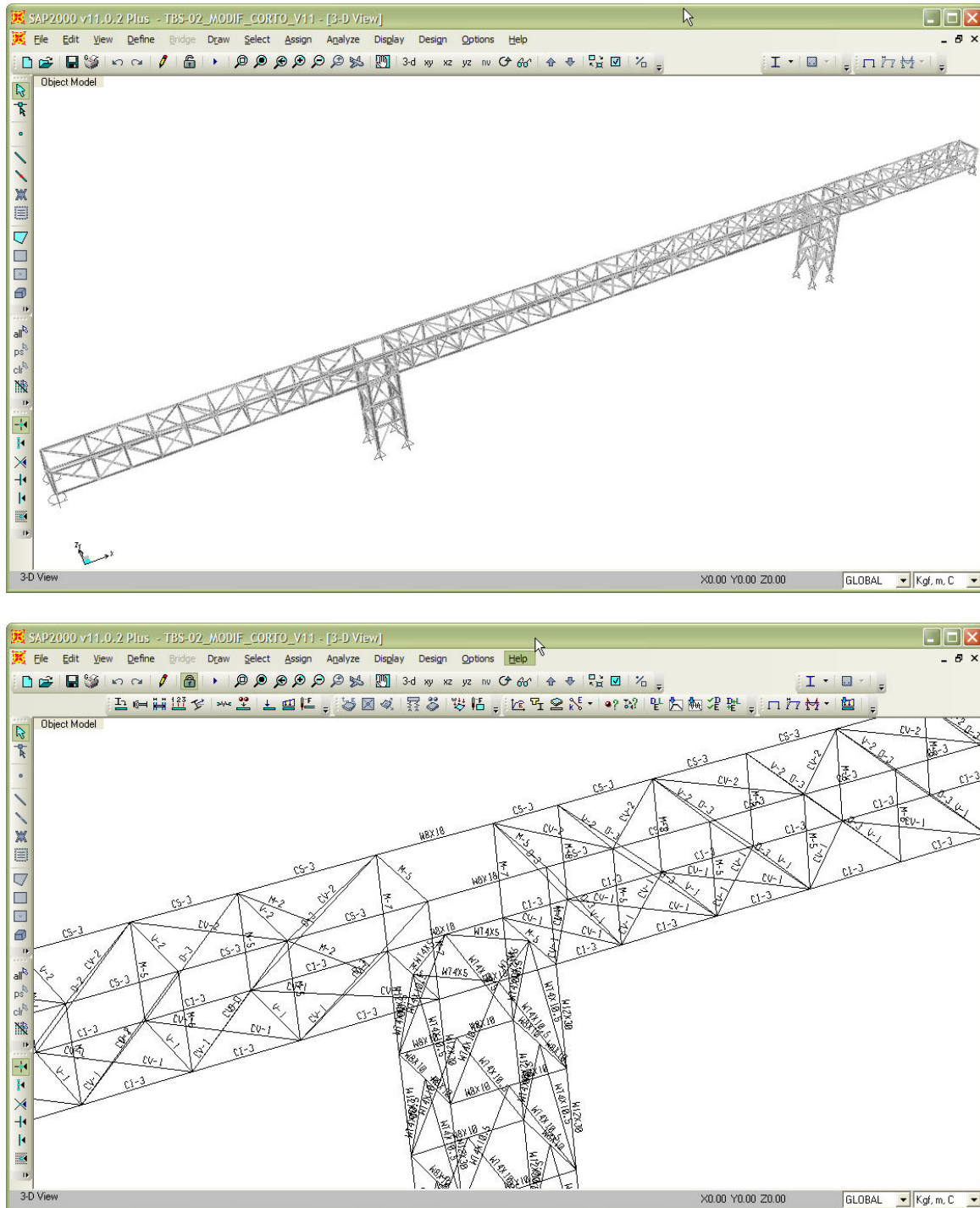
**Tabla 17. Ejemplo de desplazamientos de nodos pertenecientes a la galería del TBS-01**

| TABLA DE RESUMEN DE RELACION DE INTERACCION DISEÑO |            |            |              |          |           |        |          |             |
|--|------------|------------|--------------|----------|-----------|--------|----------|-------------|
| Frame  | DesignSect | DesignType | Status       | Ratio    | RatioType | Combo  | Location | WarnMsg     |
| Text   | Text       | Text       | Text         | Unitless | Text      | Text   | cm       | Text        |
| 447  | M-8        | Column     | No Messages  | 0.585108 | PMM       | EGO_10 | 0        | No Messages |
| 448  | M-8        | Column     | No Messages  | 0.611721 | PMM       | EGO_10 | 0        | No Messages |
| 449  | V-2        | Beam       | No Messages  | 0.603087 | PMM       | EGO_28 | 0        | No Messages |
| 450  | V-1        | Beam       | No Messages  | 0.180629 | PMM       | EGO_28 | 0        | No Messages |
| 451  | M-8        | Column     | No Messages  | 0.689818 | PMM       | EGO_10 | 0        | No Messages |
| 452  | M-8        | Column     | No Messages  | 0.750425 | PMM       | EGO_10 | 0        | No Messages |
| 453  | V-2        | Beam       | No Messages  | 0.692532 | PMM       | EGO_28 | 0        | No Messages |
| 454  | V-1        | Beam       | No Messages  | 0.205461 | PMM       | EGO_28 | 0        | No Messages |
| 455  | M-8        | Column     | No Messages  | 0.685578 | PMM       | EGO_10 | 0        | No Messages |
| 456  | M-8        | Column     | No Messages  | 0.753697 | PMM       | EGO_10 | 0        | No Messages |
| 457  | V-2        | Beam       | No Messages  | 0.510551 | PMM       | EGO_28 | 0        | No Messages |
| 458  | V-1        | Beam       | No Messages  | 0.16088  | PMM       | EGO_28 | 0        | No Messages |
| 459  | M-8        | Column     | No Messages  | 0.783756 | PMM       | EGO_10 | 0        | No Messages |
| 460  | M-8        | Column     | No Messages  | 0.865732 | PMM       | EGO_10 | 0        | No Messages |
| 461  | V-2        | Beam       | No Messages  | 0.531811 | PMM       | EGO_28 | 0        | No Messages |
| 462  | V-1        | Beam       | No Messages  | 0.174538 | PMM       | EGO_28 | 0        | No Messages |
| 463  | M-8        | Column     | No Messages  | 0.771813 | PMM       | EGO_10 | 0        | No Messages |
| 464  | M-8        | Column     | No Messages  | 0.865679 | PMM       | EGO_10 | 0        | No Messages |
| 465  | V-2        | Beam       | No Messages  | 0.33803  | PMM       | EGO_28 | 0        | No Messages |
| 466  | V-1        | Beam       | No Messages  | 0.123613 | PMM       | EGO_28 | 0        | No Messages |
| 468  | M-8        | Column     | Overstressed | 0.969423 | PMM       | EGO_01 | 0        | No Messages |
| 469  | V-2        | Beam       | No Messages  | 0.316765 | PMM       | EGO_28 | 0        | No Messages |
| 493  | M-6        | Column     | No Messages  | 0.487473 | PMM       | EGO_10 | 0        | No Messages |
| 494  | M-6        | Column     | No Messages  | 0.503039 | PMM       | EGO_10 | 0        | No Messages |
| 495  | V-2        | Beam       | No Messages  | 0.499447 | PMM       | EGO_28 | 0        | No Messages |
| 496  | V-1        | Beam       | No Messages  | 0.121017 | PMM       | EGO_28 | 0        | No Messages |
| 497  | M-6        | Column     | No Messages  | 0.518648 | PMM       | EGO_28 | 0        | No Messages |
| 498  | M-6        | Column     | No Messages  | 0.496271 | PMM       | EGO_28 | 0        | No Messages |
| 501  | V-2        | Beam       | No Messages  | 0.462309 | PMM       | EGO_28 | 0        | No Messages |
| 502  | V-1        | Beam       | No Messages  | 0.110455 | PMM       | EGO_28 | 0        | No Messages |
| 503  | M-6        | Column     | No Messages  | 0.561018 | PMM       | EGO_28 | 0        | No Messages |
| 504  | M-6        | Column     | No Messages  | 0.540611 | PMM       | EGO_10 | 0        | No Messages |
| 505  | V-2        | Beam       | No Messages  | 0.590603 | PMM       | EGO_28 | 0        | No Messages |
| 506  | V-1        | Beam       | No Messages  | 0.140019 | PMM       | EGO_28 | 0        | No Messages |
| 513  | M-6        | Column     | No Messages  | 0.533774 | PMM       | EGO_28 | 0        | No Messages |
| 514  | M-6        | Column     | No Messages  | 0.57655  | PMM       | EGO_28 | 0        | No Messages |
| 515  | V-2        | Beam       | No Messages  | 0.503082 | PMM       | EGO_28 | 0        | No Messages |
| 516  | V-1        | Beam       | No Messages  | 0.124159 | PMM       | EGO_28 | 0        | No Messages |
| 517  | M-6        | Column     | No Messages  | 0.700049 | PMM       | EGO_28 | 0        | No Messages |
| 518  | M-6        | Column     | No Messages  | 0.773165 | PMM       | EGO_10 | 0        | No Messages |
| 519  | V-2        | Beam       | No Messages  | 0.572514 | PMM       | EGO_28 | 0        | No Messages |
| 520  | V-1        | Beam       | No Messages  | 0.150817 | PMM       | EGO_28 | 0        | No Messages |
| 521  | M-6        | Column     | No Messages  | 0.710226 | PMM       | EGO_28 | 0        | No Messages |

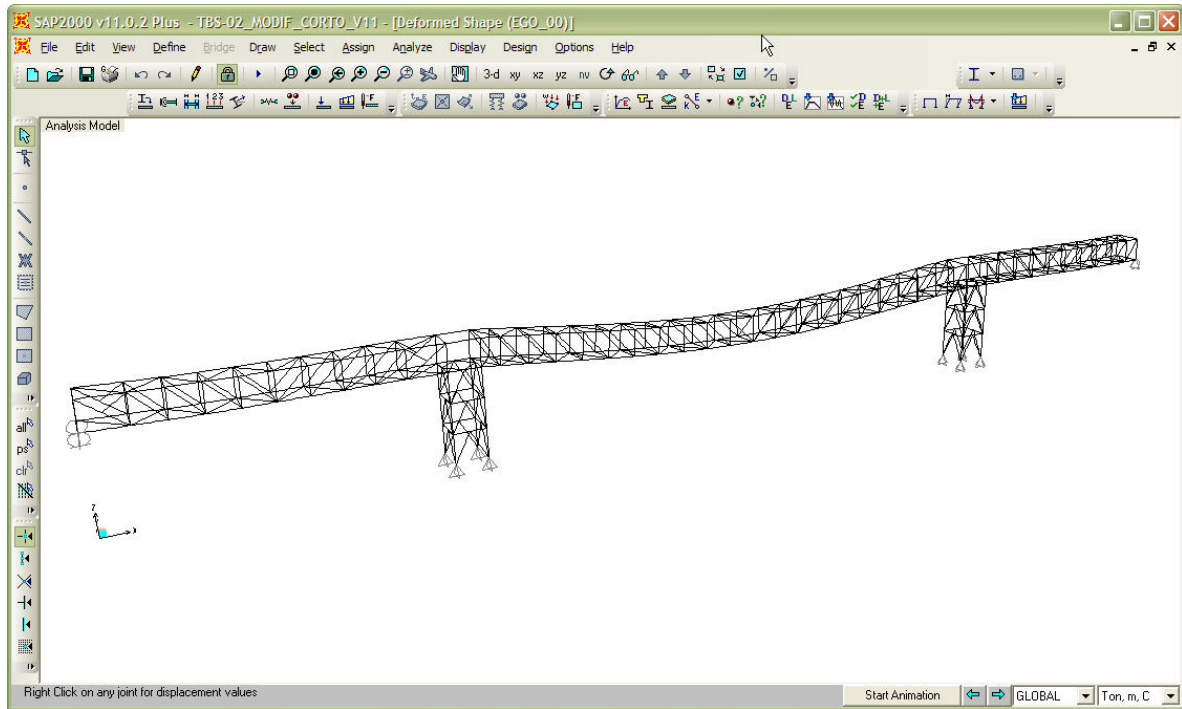
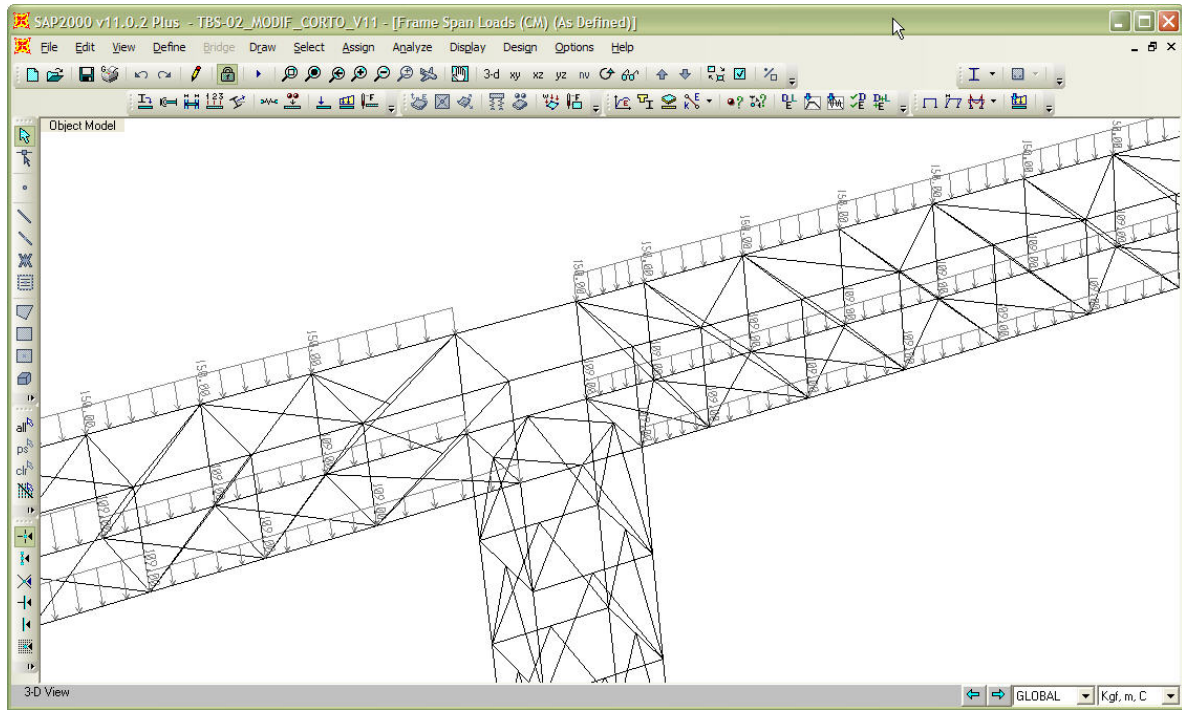
**Tabla 18. Relaciones de Interacción de diseño de elementos estructurales para TBS-01**

### V.1.3 TRANSPORTADOR TBS-02.

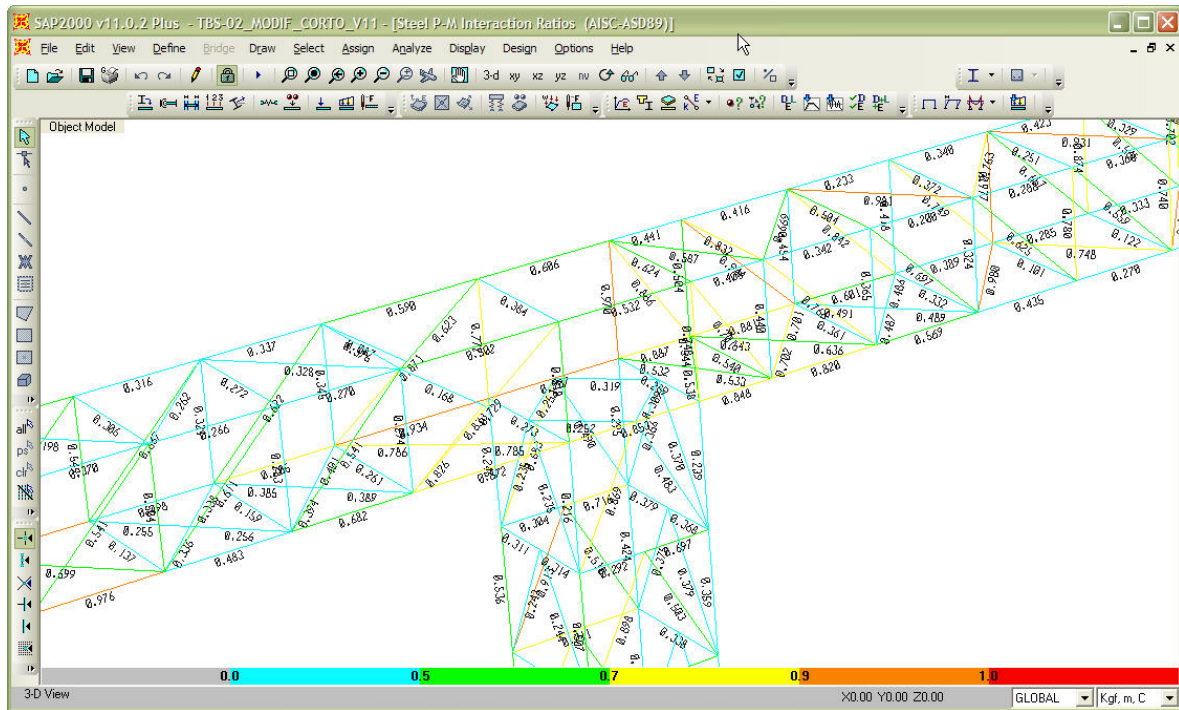
Aquí se muestran 5 figuras básicas extraídas del modelo estructural realizado como son:



**Fig. 42 Vista general en 3D del modelo (arriba)  
Asignación de marcas a perfiles para TBS-02 (abajo)**



**Fig. 43 Asignación de cargas (*arriba*)  
Deformada de la estructura por cargas verticales para TBS-02 (*abajo*)**



**Fig. 44 Relaciones de interacción máximas en elementos estructurales para TBS-02**

A continuación se muestran tablas de resumen de resultados extraídas del modelo elaborado como son:

**TABLA DE REACCIONES BASE POR TIPO DE CARGA**

| Joint | OutputCase | CaseType    | StepType | StepNum  | F1  | F2        | F3       | M1    | M2    | M3    |
|-------|------------|-------------|----------|----------|-----|-----------|----------|-------|-------|-------|
| Text  | Text       | Text        | Text     | Unitless | Ton | Ton       | Ton      | Ton-m | Ton-m | Ton-m |
| 25    | DEAD       | LinStatic   |          |          | 0   | -0.1706   | 2.0271   | 0     | 0     | 0     |
| 25    | MODAL      | LinModal    | Mode     | 1        | 0   | -0.1086   | -0.012   | 0     | 0     | 0     |
| 25    | MODAL      | LinModal    | Mode     | 2        | 0   | 0.014     | 0.5088   | 0     | 0     | 0     |
| 25    | MODAL      | LinModal    | Mode     | 3        | 0   | -0.5081   | -0.6714  | 0     | 0     | 0     |
| 25    | MODAL      | LinModal    | Mode     | 4        | 0   | 1.7423    | 3.8377   | 0     | 0     | 0     |
| 25    | MODAL      | LinModal    | Mode     | 5        | 0   | -0.1597   | -1.4443  | 0     | 0     | 0     |
| 25    | MODAL      | LinModal    | Mode     | 6        | 0   | 0.257     | 0.5078   | 0     | 0     | 0     |
| 25    | MODAL      | LinModal    | Mode     | 7        | 0   | -0.2708   | -0.2041  | 0     | 0     | 0     |
| 25    | MODAL      | LinModal    | Mode     | 8        | 0   | 0.0875    | -3.8734  | 0     | 0     | 0     |
| 25    | MODAL      | LinModal    | Mode     | 9        | 0   | 0.1508    | -0.798   | 0     | 0     | 0     |
| 25    | MODAL      | LinModal    | Mode     | 10       | 0   | -0.1854   | 0.0757   | 0     | 0     | 0     |
| 25    | MODAL      | LinModal    | Mode     | 11       | 0   | -2.5104   | -14.1113 | 0     | 0     | 0     |
| 25    | MODAL      | LinModal    | Mode     | 12       | 0   | 0.62      | 1.7661   | 0     | 0     | 0     |
| 25    | CV         | LinStatic   |          |          | 0   | -0.0014   | 0.3807   | 0     | 0     | 0     |
| 25    | VIENTO     | LinStatic   |          |          | 0   | -0.3367   | -0.9818  | 0     | 0     | 0     |
| 25    | OPERA      | LinStatic   |          |          | 0   | -0.0024   | 0.6521   | 0     | 0     | 0     |
| 25    | SX         | LinRespSpec | Max      |          | 0   | 0.0725    | 1.0981   | 0     | 0     | 0     |
| 25    | SY         | LinRespSpec | Max      |          | 0   | 0.9302    | 2.0763   | 0     | 0     | 0     |
| 25    | SZ         | LinRespSpec | Max      |          | 0   | 0.0483    | 0.7321   | 0     | 0     | 0     |
| 25    | CV_RED     | LinStatic   |          |          | 0   | -0.000863 | 0.2317   | 0     | 0     | 0     |
| 39    | DEAD       | LinStatic   |          |          | 0   | 0.1138    | 4.0073   | 0     | 0     | 0     |

**Tabla 19. Descargas en apoyos del transportador TBS-02, por tipo de Carga**

| TABLA DE DESPLAZAMIENTOS MAXIMOS |            |             |           |           |            |           |           |             |
|----------------------------------|------------|-------------|-----------|-----------|------------|-----------|-----------|-------------|
| Joint                            | OutputCase | CaseType    | U1        | U2        | U3         | R1        | R2        | R3          |
| Text                             | Text       | Text        | mm        | mm        | mm         | Radians   | Radians   | Radians     |
| 18                               | EGO_00     | Combination | -5.103271 | 0.263939  | -18.772393 | -0.000916 | 0.00355   | 0.000055    |
| 63                               | EGO_00     | Combination | -0.137963 | 0.462976  | -61.205458 | -0.002261 | 0.000032  | -0.000023   |
| 64                               | EGO_00     | Combination | -0.140811 | 0.423458  | -68.209625 | -0.002002 | 0.000028  | 0.000022    |
| 65                               | EGO_00     | Combination | -1.036838 | -0.241865 | -60.566335 | -0.002308 | 0.000568  | 0.000012    |
| 66                               | EGO_00     | Combination | -1.077955 | -0.263829 | -67.513393 | -0.002137 | 0.000617  | 0.000014    |
| 67                               | EGO_00     | Combination | -1.902596 | 0.444197  | -58.396243 | -0.002187 | 0.001227  | -0.000049   |
| 68                               | EGO_00     | Combination | -1.979441 | 0.406972  | -65.150193 | -0.00194  | 0.001319  | -0.00006528 |
| 69                               | EGO_00     | Combination | -2.702194 | -0.171503 | -54.733477 | -0.002153 | 0.00181   | 0.000029    |
| 70                               | EGO_00     | Combination | -2.814185 | -0.190841 | -61.198431 | -0.001996 | 0.001956  | 0.000028    |
| 71                               | EGO_00     | Combination | -3.425876 | 0.414224  | -49.726349 | -0.001973 | 0.002341  | -0.000067   |
| 72                               | EGO_00     | Combination | -3.570815 | 0.383133  | -55.75765  | -0.001759 | 0.002537  | -0.000033   |
| 73                               | EGO_00     | Combination | -4.032135 | -0.043011 | -43.528977 | -0.001843 | 0.002784  | 0.000046    |
| 74                               | EGO_00     | Combination | -4.207778 | -0.057949 | -49.015736 | -0.001712 | 0.003037  | 0.000044    |
| 75                               | EGO_00     | Combination | -4.520834 | 0.363428  | -36.378647 | -0.001611 | 0.003137  | -0.000076   |
| 76                               | EGO_00     | Combination | -4.721862 | 0.342198  | -41.165101 | -0.00145  | 0.003449  | -0.000056   |
| 77                               | EGO_00     | Combination | -4.844287 | 0.136252  | -28.528427 | -0.001377 | 0.003329  | 0.000046    |
| 78                               | EGO_00     | Combination | -5.06195  | 0.125598  | -32.491477 | -0.001272 | 0.003689  | 0.000048    |
| 79                               | EGO_00     | Combination | -5.011172 | 0.285971  | -20.519281 | -0.001011 | 0.00326   | -0.000011   |
| 80                               | EGO_00     | Combination | -5.230903 | 0.314941  | -23.580041 | -0.001034 | 0.003619  | -0.000076   |
| 81                               | EGO_00     | Combination | -4.9771   | 0.214175  | -12.49431  | -0.000822 | 0.003214  | 0.000075    |
| 82                               | EGO_00     | Combination | -5.176714 | 0.257901  | -14.562107 | -0.000867 | 0.003621  | 0.000014    |
| 85                               | EGO_00     | Combination | 0.764608  | -0.242434 | -60.700749 | -0.00231  | -0.00051  | -0.000011   |
| 86                               | EGO_00     | Combination | 0.800198  | -0.264509 | -67.658762 | -0.002138 | -0.000559 | -0.00008521 |
| 87                               | EGO_00     | Combination | 1.637582  | 0.451673  | -58.657548 | -0.002189 | -0.00117  | 0.00005584  |
| 88                               | EGO_00     | Combination | 1.709065  | 0.414131  | -65.433118 | -0.001941 | -0.00127  | 0.000048    |
| 89                               | EGO_00     | Combination | 2.448195  | -0.170134 | -55.107283 | -0.002157 | -0.001764 | -0.000028   |
| 90                               | EGO_00     | Combination | 2.555091  | -0.189758 | -61.604149 | -0.002    | -0.00191  | -0.000025   |
| 91                               | EGO_00     | Combination | 3.186371  | 0.42944   | -50.190782 | -0.001977 | -0.002304 | 0.000032    |
| 92                               | EGO_00     | Combination | 3.326651  | 0.397763  | -56.263467 | -0.001761 | -0.002505 | 0.000067    |
| 93                               | EGO_00     | Combination | 3.810746  | -0.039567 | -44.055193 | -0.00185  | -0.002763 | -0.000045   |
| 94                               | EGO_00     | Combination | 3.982514  | -0.05494  | -49.591565 | -0.001717 | -0.003016 | -0.000041   |
| 96                               | EGO_00     | Combination | 4.519366  | 0.364002  | -41.772727 | -0.00145  | -0.003447 | 0.000075    |
| 515                              | EGO_00     | Combination | -0.092461 | 2.923305  | -61.219568 | -0.001057 | 0.000026  | 4.24E-08    |
| 517                              | EGO_00     | Combination | -0.091867 | 2.942738  | -68.240906 | -0.001111 | 0.000028  | 5.799E-08   |
| 518                              | EGO_00     | Combination | 0.317433  | 3.237113  | -60.608437 | -0.001482 | 0.000548  | 0.00002708  |
| 519                              | EGO_00     | Combination | 0.332926  | 3.240519  | -67.580316 | -0.001481 | 0.000595  | 0.00003147  |
| 520                              | EGO_00     | Combination | 0.713079  | 2.885387  | -58.487309 | -0.001052 | 0.001202  | 0.000036    |
| 521                              | EGO_00     | Combination | 0.747424  | 2.903342  | -65.278043 | -0.001098 | 0.001296  | 0.000036    |
| 522                              | EGO_00     | Combination | 1.065178  | 3.115376  | -54.875536 | -0.001406 | 0.001788  | -0.00001033 |
| 523                              | EGO_00     | Combination | 1.120505  | 3.117258  | -61.388364 | -0.001396 | 0.001931  | 3.988E-07   |
| 524                              | EGO_00     | Combination | 1.361387  | 2.804532  | -49.918013 | -0.001033 | 0.002317  | 0.000068    |
| 525                              | EGO_00     | Combination | 1.442346  | 2.81776   | -56.010493 | -0.001059 | 0.002512  | 0.000068    |
| 527                              | EGO_00     | Combination | 1.562034  | 2.898388  | -43.770105 | -0.001266 | 0.002766  | -0.000015   |
| 528                              | EGO_00     | Combination | 1.67004   | 2.896999  | -49.33132  | -0.001241 | 0.003015  | -0.000013   |

**Tabla 20. Ejemplo de desplazamientos de nodos pertenecientes a la galería del TBS-02**

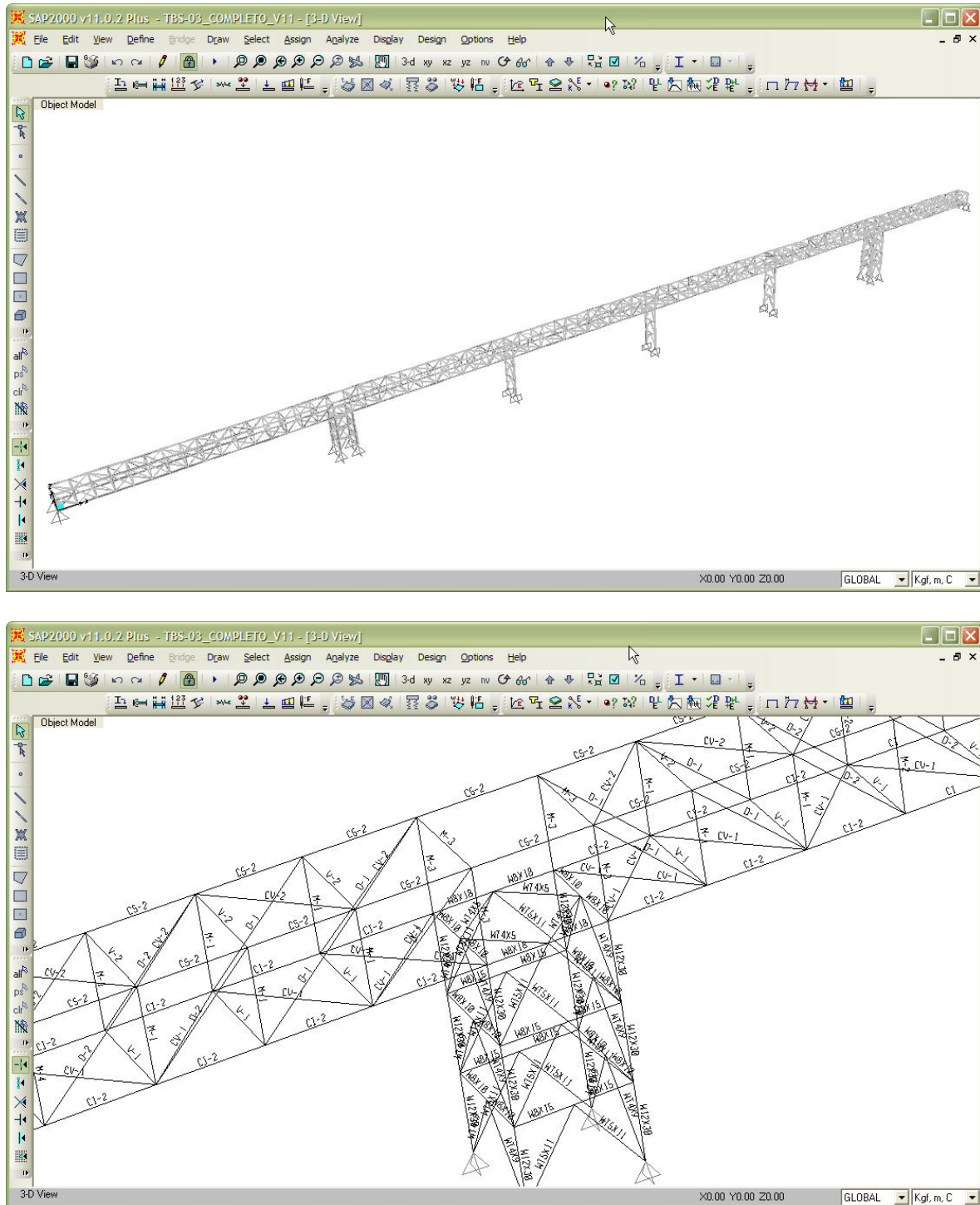
**TABLA DE RELACION DE INTERACCION MAXIMA**

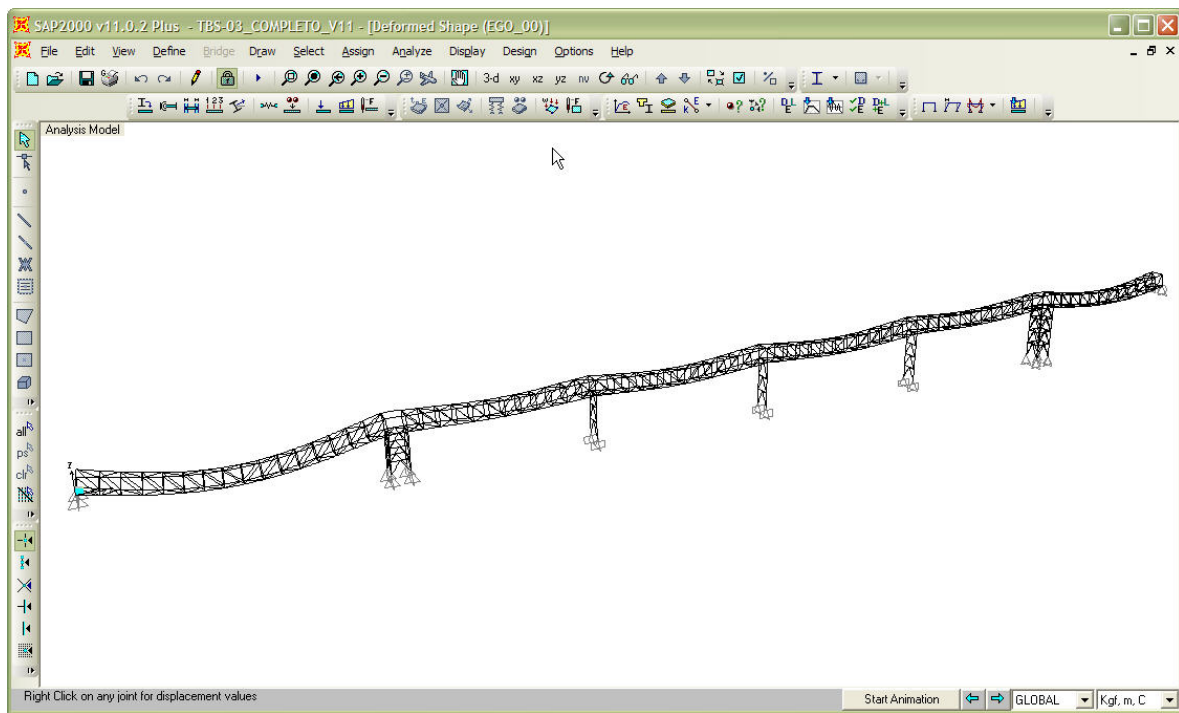
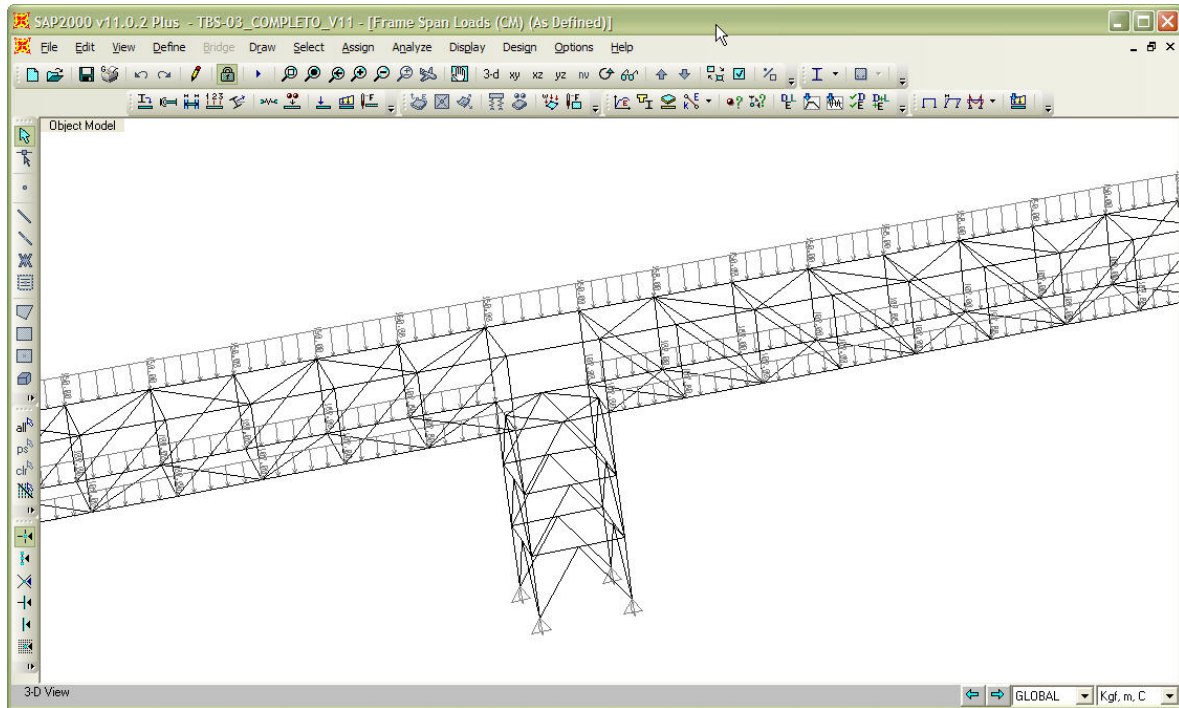
| <b>Frame</b> | <b>DesignSect</b> | <b>DesignType</b> | <b>Status</b> | <b>Ratio</b> | <b>RatioType</b> | <b>Combo</b> | <b>Location</b> | <b>WarnMsg</b> |
|--------------|-------------------|-------------------|---------------|--------------|------------------|--------------|-----------------|----------------|
| Text         | Text              | Text              | Text          | Unitless     | Text             | Text         | cm              | Text           |
| 132          | V-1               | Beam              | No Messages   | 0.35061      | PMM              | EGO_28       | 0               | No Messages    |
| 133          | V-1               | Beam              | No Messages   | 0.362317     | PMM              | EGO_28       | 280             | No Messages    |
| 135          | V-1               | Beam              | No Messages   | 0.53321      | PMM              | EGO_28       | 280             | No Messages    |
| 140          | V-1               | Beam              | No Messages   | 0.106516     | PMM              | EGO_28       | 0               | No Messages    |
| 141          | V-1               | Beam              | No Messages   | 0.151036     | PMM              | EGO_28       | 280             | No Messages    |
| 250          | CV-1              | Beam              | Overstressed  | 0.986614     | PMM              | EGO_28       | 184.391         | No Messages    |
| 410          | M-5               | Beam              | No Messages   | 0.32394      | PMM              | EGO_28       | 140             | No Messages    |
| 417          | WT4X10.5          | Brace             | No Messages   | 0.379074     | PMM              | EGO_28       | 149.309         | No Messages    |
| 418          | WT4X10.5          | Brace             | No Messages   | 0.375731     | PMM              | EGO_28       | 149.309         | No Messages    |
| 421          | M-5               | Beam              | No Messages   | 0.209617     | PMM              | EGO_28       | 0               | No Messages    |
| 426          | WT4X10.5          | Brace             | No Messages   | 0.216316     | PMM              | EGO_28       | 149.309         | No Messages    |
| 427          | WT4X10.5          | Brace             | No Messages   | 0.215277     | PMM              | EGO_28       | 149.309         | No Messages    |
| 428          | WT4X10.5          | Brace             | No Messages   | 0.202269     | PMM              | EGO_28       | 149.309         | No Messages    |
| 429          | WT4X10.5          | Brace             | No Messages   | 0.201074     | PMM              | EGO_28       | 149.309         | No Messages    |
| 487          | W8X18             | Beam              | No Messages   | 0.874528     | PMM              | EGO_10       | 140             | No Messages    |
| 488          | W8X18             | Beam              | No Messages   | 0.817678     | PMM              | EGO_10       | 140             | No Messages    |
| 564          | V-2               | Beam              | No Messages   | 0.375531     | PMM              | EGO_28       | 0               | No Messages    |
| 565          | V-2               | Beam              | No Messages   | 0.500198     | PMM              | EGO_28       | 280             | No Messages    |
| 566          | V-2               | Beam              | No Messages   | 0.80934      | PMM              | EGO_28       | 280             | No Messages    |
| 626          | V-2               | Beam              | No Messages   | 0.340257     | PMM              | EGO_28       | 0               | No Messages    |
| 627          | V-2               | Beam              | No Messages   | 0.405115     | PMM              | EGO_28       | 280             | No Messages    |
| 739          | CV-2              | Beam              | No Messages   | 0.763529     | PMM              | EGO_28       | 184.391         | No Messages    |
| 742          | CV-2              | Beam              | No Messages   | 0.587078     | PMM              | EGO_28       | 138.21          | No Messages    |
| 757          | CV-2              | Beam              | No Messages   | 0.256806     | PMM              | EGO_28       | 140.386         | No Messages    |
| 774          | CV-2              | Beam              | No Messages   | 0.283257     | PMM              | EGO_28       | 184.391         | No Messages    |
| 775          | CV-2              | Beam              | No Messages   | 0.226953     | PMM              | EGO_28       | 184.391         | No Messages    |
| 849          | M-5               | Column            | No Messages   | 0.317925     | PMM              | EGO_01       | 0               | No Messages    |
| 850          | M-5               | Column            | No Messages   | 0.365733     | PMM              | EGO_28       | 240             | No Messages    |
| 851          | M-5               | Column            | No Messages   | 0.431728     | PMM              | EGO_28       | 240             | No Messages    |
| 852          | M-7               | Column            | No Messages   | 0.759708     | PMM              | EGO_01       | 240             | No Messages    |
| 853          | M-7               | Column            | No Messages   | 0.553053     | PMM              | EGO_01       | 240             | No Messages    |
| 854          | M-1               | Column            | No Messages   | 0.625476     | PMM              | EGO_28       | 240             | No Messages    |
| 955          | D-3               | Brace             | No Messages   | 0.614002     | PMM              | EGO_01       | 169.706         | No Messages    |
| 956          | D-3               | Brace             | No Messages   | 0.686655     | PMM              | EGO_01       | 169.706         | No Messages    |
| 957          | D-3               | Brace             | No Messages   | 0.755657     | PMM              | EGO_01       | 169.706         | No Messages    |
| 958          | D-3               | Brace             | No Messages   | 0.692218     | PMM              | EGO_01       | 144.222         | No Messages    |
| 961          | D-3               | Brace             | No Messages   | 0.550628     | PMM              | EGO_01       | 169.706         | No Messages    |
| 963          | D-3               | Brace             | No Messages   | 0.5115       | PMM              | EGO_01       | 147.054         | No Messages    |
| 971          | M-5               | Beam              | No Messages   | 0.619721     | PMM              | EGO_28       | 280             | No Messages    |
| 972          | M-5               | Beam              | No Messages   | 0.339568     | PMM              | EGO_28       | 280             | No Messages    |
| 1072         | M-5               | Column            | No Messages   | 0.427108     | PMM              | EGO_01       | 240             | No Messages    |
| 1073         | M-5               | Column            | No Messages   | 0.49858      | PMM              | EGO_28       | 240             | No Messages    |
| 1132         | M-7               | Column            | No Messages   | 0.498894     | PMM              | EGO_01       | 240             | No Messages    |
| 1133         | M-7               | Column            | No Messages   | 0.654555     | PMM              | EGO_01       | 240             | No Messages    |
| 1134         | M-1               | Column            | No Messages   | 0.705702     | PMM              | EGO_28       | 240             | No Messages    |

**Tabla 21. Relaciones de Interacción de diseño de elementos estructurales para TBS-01**

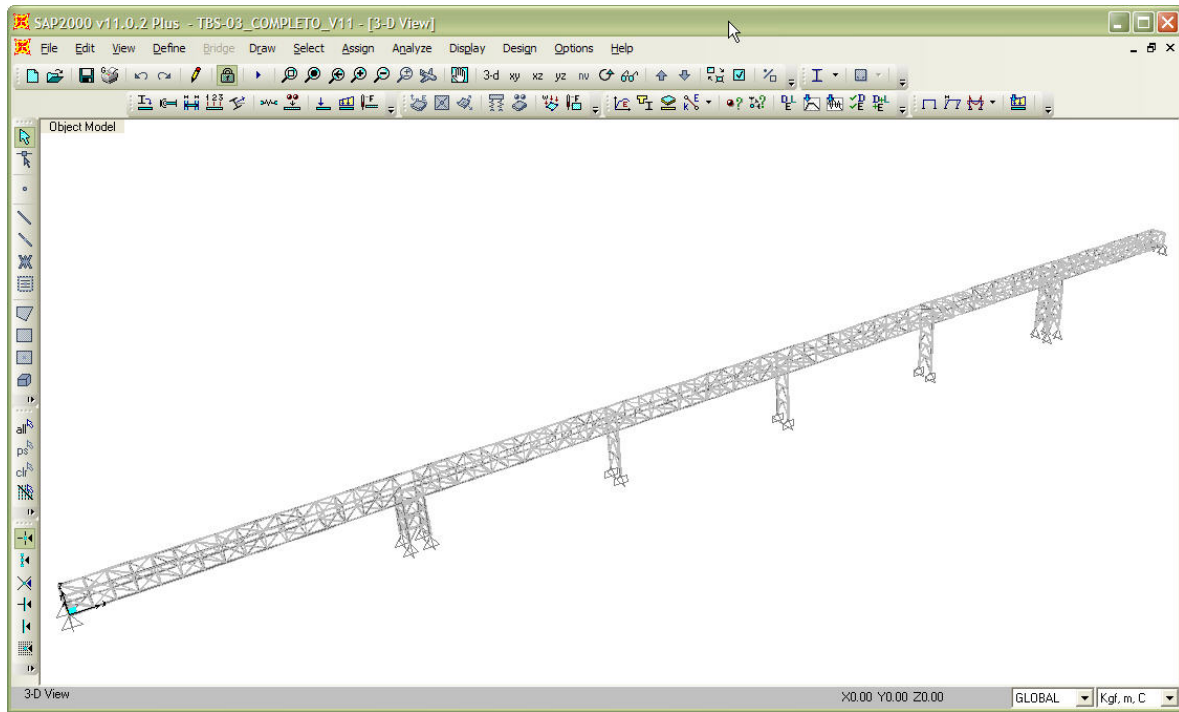
#### V.1.4 TRANSPORTADOR TBS-03.

Aquí se muestran 5 figuras básicas extraídas del modelo estructural realizado como son:





**Fig. 46 Asignación de cargas (arriba)  
Deformada de la estructura por cargas verticales para TBS-03 (abajo)**



**Fig. 47 Relaciones de interacción máximas en elementos estructurales para TBS-03**

A continuación se muestran tablas de resumen de resultados extraídas del modelo elaborado como son:

| TABLA DE REACCIONES DE CARGAS BASE |            |             |          |          |         |         |         |        |        |        |
|------------------------------------|------------|-------------|----------|----------|---------|---------|---------|--------|--------|--------|
| Joint                              | OutputCase | CaseType    | StepType | StepNum  | F1      | F2      | F3      | M1     | M2     | M3     |
| Text                               | Text       | Text        | Text     | Unitless | Ton     | Ton     | Ton     | Ton-mm | Ton-mm | Ton-mm |
| 2                                  | DEAD       | LinStatic   |          |          | 12.9611 | 0.1932  | 4.2019  | 0      | 0      | 0      |
| 2                                  | MODAL      | LinModal    | Mode     | 1        | -0.7393 | -0.1329 | -0.0992 | 0      | 0      | 0      |
| 2                                  | MODAL      | LinModal    | Mode     | 2        | 2.3867  | 0.1089  | 2.0742  | 0      | 0      | 0      |
| 2                                  | MODAL      | LinModal    | Mode     | 3        | -4.2768 | -0.7861 | -0.7772 | 0      | 0      | 0      |
| 2                                  | MODAL      | LinModal    | Mode     | 4        | -16.658 | -3.0919 | -3.8784 | 0      | 0      | 0      |
| 2                                  | MODAL      | LinModal    | Mode     | 5        | -3.1073 | -0.5828 | -1.0958 | 0      | 0      | 0      |
| 2                                  | MODAL      | LinModal    | Mode     | 6        | -2.6202 | -0.1638 | -0.0152 | 0      | 0      | 0      |
| 2                                  | MODAL      | LinModal    | Mode     | 7        | -1.3136 | -0.2518 | -0.9586 | 0      | 0      | 0      |
| 2                                  | MODAL      | LinModal    | Mode     | 8        | 5.0267  | 0.3368  | 0.6675  | 0      | 0      | 0      |
| 2                                  | MODAL      | LinModal    | Mode     | 9        | -0.197  | -0.052  | -0.6644 | 0      | 0      | 0      |
| 2                                  | MODAL      | LinModal    | Mode     | 10       | 5.5452  | 0.3514  | 0.199   | 0      | 0      | 0      |
| 2                                  | MODAL      | LinModal    | Mode     | 11       | 1.6547  | 0.1108  | 0.2362  | 0      | 0      | 0      |
| 2                                  | MODAL      | LinModal    | Mode     | 12       | -4.3828 | -0.2056 | 8.8985  | 0      | 0      | 0      |
| 2                                  | CV         | LinStatic   |          |          | 0.8132  | 0.0539  | 0.981   | 0      | 0      | 0      |
| 2                                  | VIENTO     | LinStatic   |          |          | -6.5484 | -1.5562 | -1.7039 | 0      | 0      | 0      |
| 2                                  | OPERA      | LinStatic   |          |          | 1.3931  | 0.0924  | 1.6805  | 0      | 0      | 0      |
| 2                                  | SX         | LinRespSpec | Max      |          | 7.6636  | 0.4956  | 0.7202  | 0      | 0      | 0      |
| 2                                  | SY         | LinRespSpec | Max      |          | 13.2651 | 2.4629  | 3.3272  | 0      | 0      | 0      |
| 2                                  | SZ         | LinRespSpec | Max      |          | 5.109   | 0.3304  | 0.4801  | 0      | 0      | 0      |
| 2                                  | CV_RED     | LinStatic   |          |          | 0.495   | 0.0328  | 0.5971  | 0      | 0      | 0      |

**Tabla 22. Descargas en apoyos del transportador TBS-03, por tipo de Carga**

| TABLA DE DESPLAZAMIENTOS MAXIMOS |            |             |          |           |            |           |           |              |
|----------------------------------|------------|-------------|----------|-----------|------------|-----------|-----------|--------------|
| Joint                            | OutputCase | CaseType    | U1       | U2        | U3         | R1        | R2        | R3           |
| Text                             | Text       | Text        | mm       | mm        | mm         | Radians   | Radians   | Radians      |
| 144                              | EGO_00     | Combination | 2.976211 | -0.340889 | -29.714529 | -0.001976 | -0.000134 | -0.00006     |
| 145                              | EGO_00     | Combination | 2.883712 | 1.055383  | -29.730119 | -0.001065 | -0.00011  | -0.000009554 |
| 146                              | EGO_00     | Combination | 3.146404 | -0.354343 | -35.64877  | -0.001832 | -0.000154 | -0.000056    |
| 147                              | EGO_00     | Combination | 3.028947 | 1.058606  | -35.695617 | -0.000946 | -0.000128 | -0.000006824 |
| 148                              | EGO_00     | Combination | 2.46321  | 0.054995  | -29.484887 | -0.001954 | 0.000351  | -0.000053    |
| 149                              | EGO_00     | Combination | 3.269023 | 0.690382  | -29.462734 | -0.000811 | 0.000344  | -0.000012    |
| 150                              | EGO_00     | Combination | 2.591953 | 0.026798  | -35.328142 | -0.001711 | 0.000428  | -0.000047    |
| 151                              | EGO_00     | Combination | 3.470036 | 0.707     | -35.337279 | -0.000741 | 0.000415  | -0.00001     |
| 152                              | EGO_00     | Combination | 1.937015 | -0.347507 | -28.023304 | -0.001863 | 0.000856  | -0.000026    |
| 153                              | EGO_00     | Combination | 3.618709 | 1.01473   | -28.045388 | -0.001023 | 0.000832  | -0.000039    |
| 154                              | EGO_00     | Combination | 2.023531 | -0.360759 | -33.599492 | -0.001721 | 0.001011  | -0.000023    |
| 155                              | EGO_00     | Combination | 3.877152 | 1.018133  | -33.669592 | -0.000904 | 0.000978  | -0.000036    |
| 156                              | EGO_00     | Combination | 1.418135 | -0.003111 | -25.390751 | -0.001713 | 0.001329  | -0.00007     |
| 157                              | EGO_00     | Combination | 3.917006 | 0.710883  | -25.459201 | -0.000773 | 0.001302  | -0.000014    |
| 158                              | EGO_00     | Combination | 1.463602 | -0.027682 | -30.478315 | -0.001495 | 0.001569  | -0.000064    |
| 159                              | EGO_00     | Combination | 4.233192 | 0.725139  | -30.613316 | -0.00069  | 0.001531  | -0.000012    |
| 160                              | EGO_00     | Combination | 0.943705 | -0.298772 | -21.668003 | -0.001498 | 0.001732  | 6.299E-08    |
| 161                              | EGO_00     | Combination | 4.1274   | 1.043198  | -21.783601 | -0.000912 | 0.001737  | -0.000089    |
| 162                              | EGO_00     | Combination | 0.951671 | -0.309944 | -26.083719 | -0.00137  | 0.002049  | -8.301E-07   |
| 163                              | EGO_00     | Combination | 4.498502 | 1.045893  | -26.284942 | -0.000787 | 0.002057  | -0.000084    |
| 165                              | EGO_00     | Combination | 4.248886 | 0.910433  | -17.190069 | -0.000451 | 0.002015  | -0.000016    |
| 166                              | EGO_00     | Combination | 0.509506 | -0.086292 | -20.70386  | -0.000987 | 0.00236   | -0.000073    |
| 167                              | EGO_00     | Combination | 4.67002  | 0.920621  | -20.81771  | -0.000434 | 0.002381  | -0.000016    |
| 170                              | EGO_00     | Combination | 0.18579  | -0.156016 | -14.443653 | -0.000789 | 0.002697  | -0.000021    |
| 180                              | EGO_00     | Combination | 3.989222 | 0.0395    | -10.110382 | -0.000791 | -0.002071 | -0.000043    |
| 181                              | EGO_00     | Combination | 0.897132 | 1.323598  | -10.454753 | -0.000589 | -0.001982 | 0.000084     |
| 182                              | EGO_00     | Combination | 4.170083 | 0.037809  | -12.48169  | -0.00074  | -0.00247  | 1.629E-07    |
| 183                              | EGO_00     | Combination | 0.71727  | 1.319498  | -12.931217 | -0.000521 | -0.002357 | 0.000082     |
| 184                              | EGO_00     | Combination | 4.164565 | -0.044738 | -15.059942 | -0.001066 | -0.001907 | 0.00004      |
| 185                              | EGO_00     | Combination | 1.040024 | 1.218045  | -15.364271 | -0.000572 | -0.001946 | -0.000031    |
| 186                              | EGO_00     | Combination | 4.386216 | -0.055447 | -18.366319 | -0.000961 | -0.002252 | 0.000033     |
| 187                              | EGO_00     | Combination | 0.894781 | 1.223381  | -18.760231 | -0.000537 | -0.0023   | -0.00003     |
| 188                              | EGO_00     | Combination | 4.168915 | -0.160616 | -19.594031 | -0.001405 | -0.001792 | -0.000086    |
| 189                              | EGO_00     | Combination | 1.30702  | 1.24013   | -19.976887 | -0.000916 | -0.001805 | 0.000062     |
| 190                              | EGO_00     | Combination | 4.409318 | -0.168465 | -23.734573 | -0.001299 | -0.002114 | -0.000078    |
| 191                              | EGO_00     | Combination | 1.213458 | 1.240476  | -24.235544 | -0.00078  | -0.00213  | 0.000063     |
| 192                              | EGO_00     | Combination | 4.044589 | 0.015959  | -23.613267 | -0.00164  | -0.001484 | 0.000001774  |
| 193                              | EGO_00     | Combination | 1.649716 | 0.950438  | -23.917609 | -0.000825 | -0.001454 | -0.000023    |
| 194                              | EGO_00     | Combination | 4.285656 | -0.004836 | -28.460769 | -0.001447 | -0.001744 | 0.000005773  |
| 195                              | EGO_00     | Combination | 1.613408 | 0.961993  | -28.858506 | -0.00073  | -0.001702 | -0.000021    |
| 196                              | EGO_00     | Combination | 3.785426 | -0.273795 | -26.732139 | -0.001805 | -0.001074 | -0.000079    |
| 197                              | EGO_00     | Combination | 2.048723 | 1.141451  | -26.949051 | -0.001029 | -0.001055 | 0.000026     |
| 198                              | EGO_00     | Combination | 4.013671 | -0.285292 | -32.130995 | -0.001675 | -0.001258 | -0.000073    |
| 199                              | EGO_00     | Combination | 2.074203 | 1.143925  | -32.416804 | -0.000904 | -0.00123  | 0.000027     |
| 200                              | EGO_00     | Combination | 3.425624 | 0.053554  | -28.807615 | -0.001925 | -0.000609 | -0.000026    |

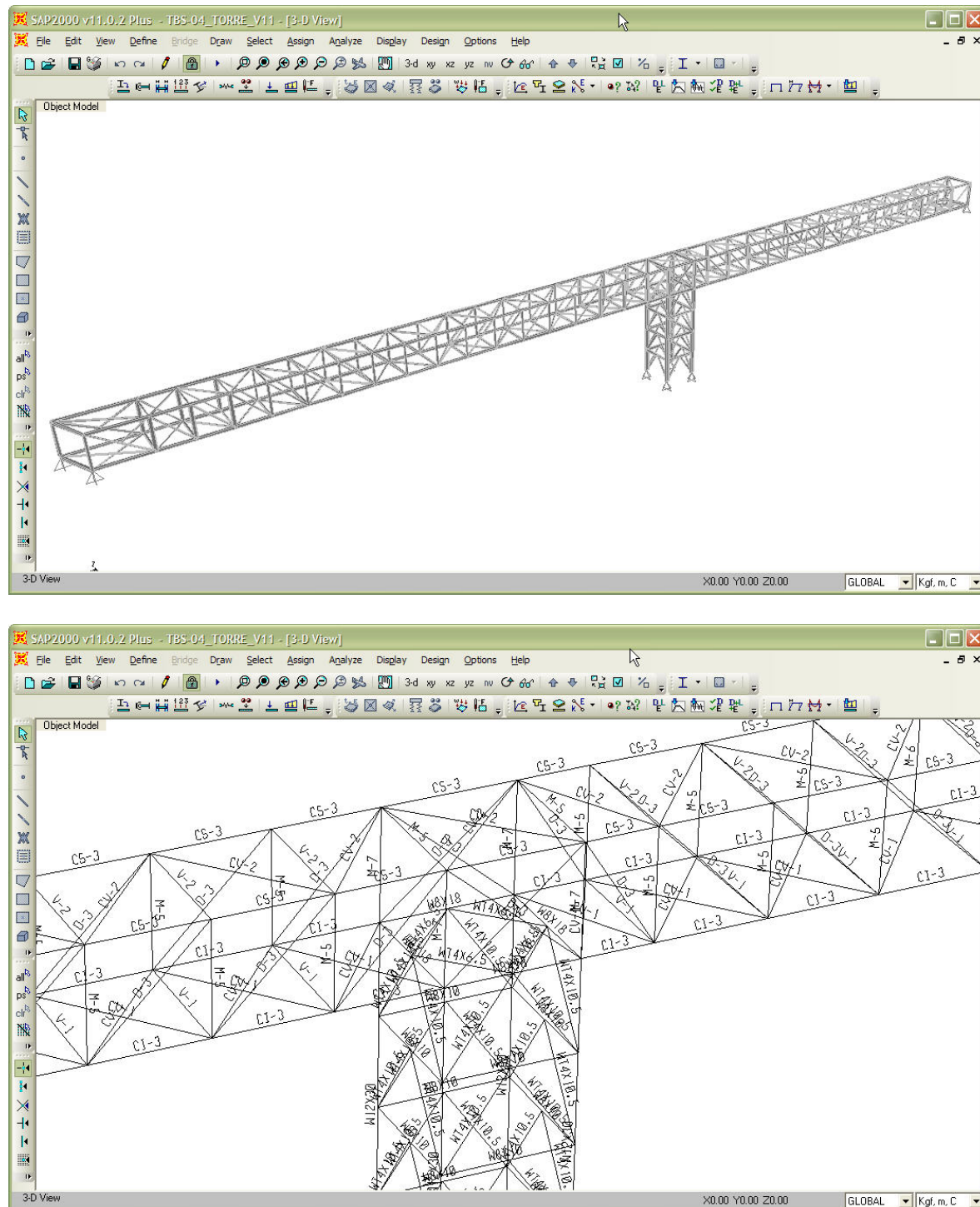
**Tabla 23. Ejemplo de desplazamientos de nodos pertenecientes a la galería del TBS-03**

| TABLA DE RELACION DE INTERACCION MAXIMA |            |            |             |          |           |        |          |             |
|---|------------|------------|-------------|----------|-----------|--------|----------|-------------|
| Frame                                   | DesignSect | DesignType | Status      | Ratio    | RatioType | Combo  | Location | WarnMsg     |
| Text                                    | Text       | Text       | Text        | Unitless | Text      | Text   | cm       | Text        |
| 408                                     | M-1        | Column     | No Messages | 0.622408 | PMM       | EGO_28 | 0        | No Messages |
| 433                                     | V-1        | Beam       | No Messages | 0.169183 | PMM       | EGO_28 | 280      | No Messages |
| 434                                     | V-2        | Beam       | No Messages | 0.406517 | PMM       | EGO_28 | 0        | No Messages |
| 435                                     | M-1        | Column     | No Messages | 0.692461 | PMM       | EGO_10 | 0        | No Messages |
| 436                                     | M-1        | Column     | No Messages | 0.524145 | PMM       | EGO_10 | 0        | No Messages |
| 437                                     | V-1        | Beam       | No Messages | 0.12931  | PMM       | EGO_28 | 0        | No Messages |
| 438                                     | V-2        | Beam       | No Messages | 0.385167 | PMM       | EGO_28 | 0        | No Messages |
| 439                                     | M-1        | Column     | No Messages | 0.604886 | PMM       | EGO_10 | 0        | No Messages |
| 440                                     | M-2        | Column     | No Messages | 0.864675 | PMM       | EGO_10 | 0        | No Messages |
| 441                                     | V-1        | Beam       | No Messages | 0.067115 | PMM       | EGO_28 | 0        | No Messages |
| 442                                     | V-2        | Beam       | No Messages | 0.261813 | PMM       | EGO_28 | 0        | No Messages |
| 468                                     | M-1        | Column     | No Messages | 0.559196 | PMM       | EGO_10 | 0        | No Messages |
| 469                                     | V-1        | Beam       | No Messages | 0.111691 | PMM       | EGO_28 | 0        | No Messages |
| 470                                     | V-2        | Beam       | No Messages | 0.337172 | PMM       | EGO_28 | 0        | No Messages |
| 471                                     | M-1        | Column     | No Messages | 0.694404 | PMM       | EGO_10 | 0        | No Messages |
| 472                                     | M-1        | Column     | No Messages | 0.56997  | PMM       | EGO_10 | 0        | No Messages |
| 489                                     | V-1        | Beam       | No Messages | 0.183994 | PMM       | EGO_28 | 0        | No Messages |
| 490                                     | V-2        | Beam       | No Messages | 0.365727 | PMM       | EGO_28 | 280      | No Messages |
| 491                                     | M-1        | Column     | No Messages | 0.839581 | PMM       | EGO_10 | 0        | No Messages |
| 603                                     | D-2        | Brace      | No Messages | 0.369311 | PMM       | EGO_17 | 169.706  | No Messages |
| 604                                     | D-2        | Brace      | No Messages | 0.428848 | PMM       | EGO_17 | 169.706  | No Messages |
| 605                                     | D-1        | Brace      | No Messages | 0.50052  | PMM       | EGO_17 | 169.706  | No Messages |
| 610                                     | D-1        | Brace      | No Messages | 0.553548 | PMM       | EGO_10 | 0        | No Messages |
| 688                                     | D-2        | Brace      | No Messages | 0.513808 | PMM       | EGO_10 | 0        | No Messages |
| 689                                     | D-1        | Brace      | No Messages | 0.623164 | PMM       | EGO_10 | 0        | No Messages |
| 693                                     | D-2        | Brace      | No Messages | 0.595978 | PMM       | EGO_10 | 0        | No Messages |
| 694                                     | D-1        | Brace      | No Messages | 0.701125 | PMM       | EGO_10 | 0        | No Messages |
| 803                                     | M-3        | Column     | No Messages | 0.418184 | PMM       | EGO_28 | 240      | No Messages |
| 805                                     | M-3        | Beam       | No Messages | 0.247082 | PMM       | EGO_28 | 280      | No Messages |
| 806                                     | M-3        | Column     | No Messages | 0.469231 | PMM       | EGO_28 | 240      | No Messages |
| 807                                     | M-3        | Column     | No Messages | 0.43736  | PMM       | EGO_10 | 0        | No Messages |
| 810                                     | M-3        | Beam       | No Messages | 0.30099  | PMM       | EGO_28 | 0        | No Messages |
| 811                                     | M-3        | Column     | No Messages | 0.459612 | PMM       | EGO_10 | 0        | No Messages |
| 813                                     | WT4X9      | Brace      | No Messages | 0.258678 | PMM       | EGO_28 | 286.398  | No Messages |
| 820                                     | WT4X9      | Brace      | No Messages | 0.296875 | PMM       | EGO_28 | 0        | No Messages |
| 821                                     | D-1        | Brace      | No Messages | 0.558677 | PMM       | EGO_17 | 166.415  | No Messages |
| 823                                     | D-1        | Brace      | No Messages | 0.691288 | PMM       | EGO_01 | 0        | No Messages |
| 824                                     | D-1        | Brace      | No Messages | 0.601515 | PMM       | EGO_10 | 0        | No Messages |
| 825                                     | D-1        | Brace      | No Messages | 0.771259 | PMM       | EGO_01 | 0        | No Messages |
| 863                                     | WT4X9      | Brace      | No Messages | 0.243354 | PMM       | EGO_28 | 286.398  | No Messages |
| 869                                     | WT4X9      | Brace      | No Messages | 0.323787 | PMM       | EGO_28 | 0        | No Messages |
| 881                                     | WT4X9      | Brace      | No Messages | 0.258568 | PMM       | EGO_28 | 286.664  | No Messages |
| 882                                     | WT4X9      | Brace      | No Messages | 0.298048 | PMM       | EGO_28 | 0        | No Messages |
| 883                                     | WT4X9      | Brace      | No Messages | 0.239548 | PMM       | EGO_28 | 286.616  | No Messages |
| 884                                     | WT4X9      | Brace      | No Messages | 0.294252 | PMM       | EGO_28 | 0        | No Messages |

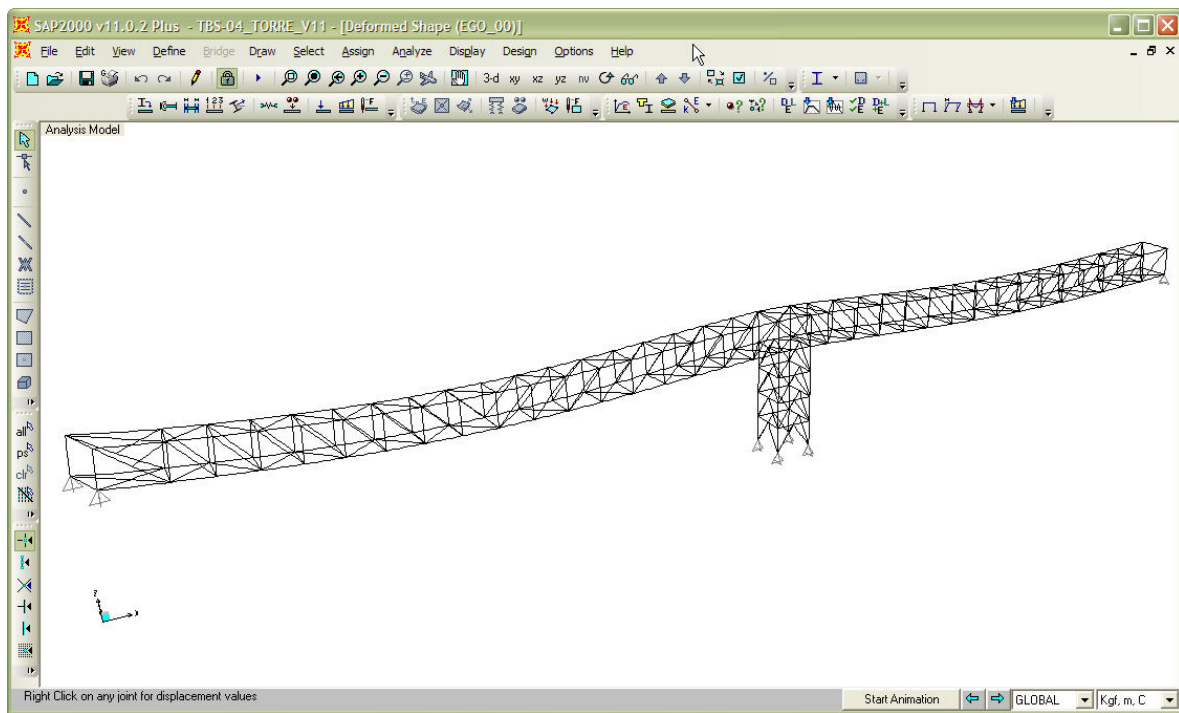
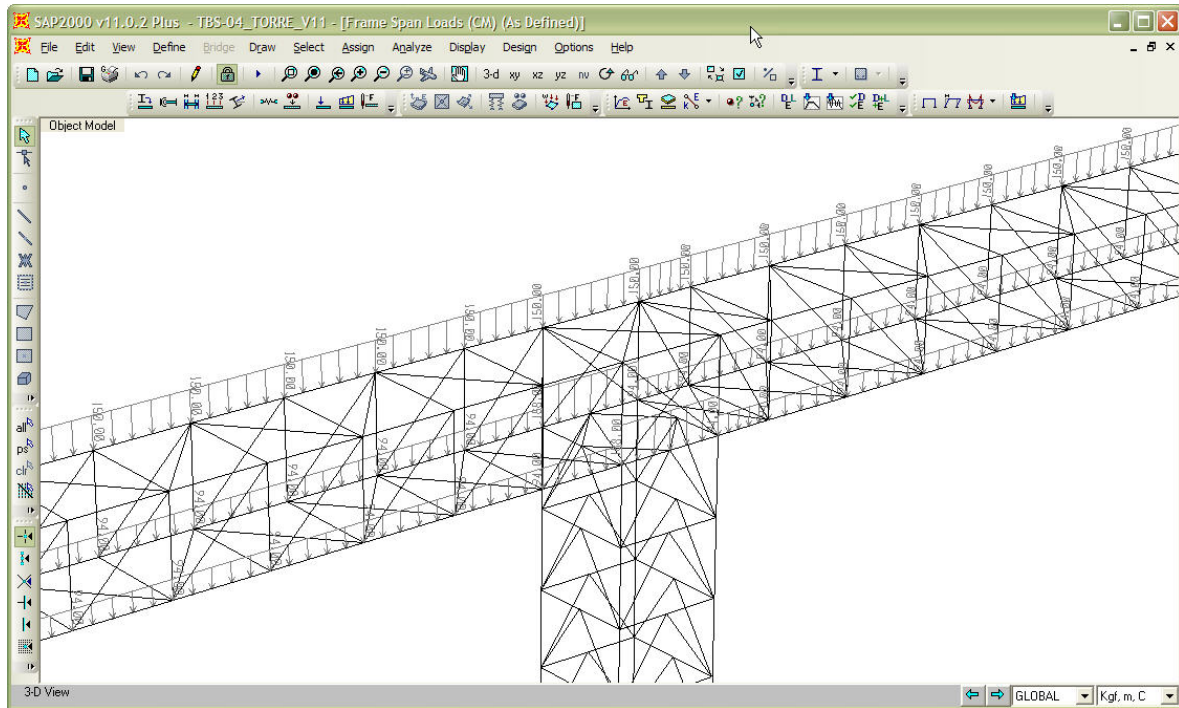
**Tabla 24. Relaciones de Interacción de diseño de elementos estructurales para TBS-03**

## V.1.5 TRANSPORTADOR TBS-04.

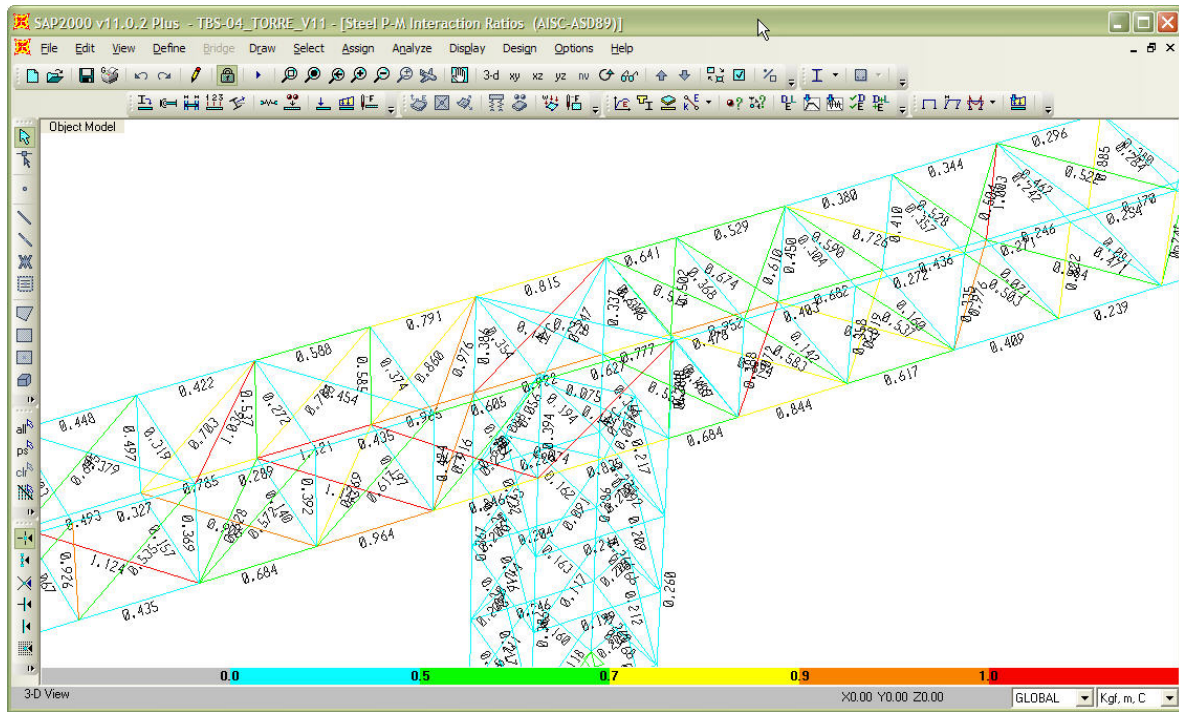
Aquí se muestran 5 figuras básicas extraídas del modelo estructural realizado como son:



**Fig. 48 Vista general en 3D del modelo (arriba)  
Asignación de marcas a perfiles para TBS-04 (abajo)**



**Fig. 49 Asignación de cargas (arriba)  
Deformada de la estructura por cargas verticales para TBS-04 (abajo)**



**Fig. 50 Relaciones de interacción máximas en elementos estructurales para TBS-04**

A continuación se muestran tablas de resumen de resultados extraídas del modelo elaborado como son:

| TABLA DE REACCIONES DE CARGAS BASE |            |             |          |         |         |         |       |       |       |
|------------------------------------|------------|-------------|----------|---------|---------|---------|-------|-------|-------|
| Joint                              | OutputCase | CaseType    | StepType | F1      | F2      | F3      | M1    | M2    | M3    |
| Text                               | Text       | Text        | Text     | Ton     | Ton     | Ton     | Ton-m | Ton-m | Ton-m |
| 71                                 | DEAD       | LinStatic   |          | 5.9158  | 0.4414  | 4.4207  | 0     | 0     | 0     |
| 71                                 | CV         | LinStatic   |          | 1.3747  | 0.0926  | 1.1414  | 0     | 0     | 0     |
| 71                                 | VIENTO     | LinStatic   |          | -6.3488 | -1.608  | -1.2017 | 0     | 0     | 0     |
| 71                                 | OPERA      | LinStatic   |          | 1.1834  | 0.0797  | 0.9826  | 0     | 0     | 0     |
| 71                                 | SX         | LinRespSpec | Max      | 0.3573  | 0.0613  | 0.1835  | 0     | 0     | 0     |
| 71                                 | SY         | LinRespSpec | Max      | 15.533  | 3.2768  | 2.754   | 0     | 0     | 0     |
| 71                                 | SZ         | LinRespSpec | Max      | 0.2382  | 0.0409  | 0.1223  | 0     | 0     | 0     |
| 71                                 | CV_RED     | LinStatic   |          | 0.8368  | 0.0563  | 0.6948  | 0     | 0     | 0     |
| 72                                 | DEAD       | LinStatic   |          | -3.5383 | -0.2039 | 3.198   | 0     | 0     | 0     |
| 72                                 | CV         | LinStatic   |          | -0.98   | 0.0045  | 0.8834  | 0     | 0     | 0     |
| 72                                 | VIENTO     | LinStatic   |          | 4.2725  | -0.6462 | -1.1691 | 0     | 0     | 0     |
| 72                                 | OPERA      | LinStatic   |          | -0.8436 | 0.0038  | 0.7605  | 0     | 0     | 0     |
| 72                                 | SX         | LinRespSpec | Max      | 0.0827  | 0.0266  | 0.143   | 0     | 0     | 0     |
| 72                                 | SY         | LinRespSpec | Max      | 12.7907 | 1.2032  | 2.6817  | 0     | 0     | 0     |
| 72                                 | SZ         | LinRespSpec | Max      | 0.0551  | 0.0177  | 0.0954  | 0     | 0     | 0     |
| 72                                 | CV_RED     | LinStatic   |          | -0.5965 | 0.0027  | 0.5377  | 0     | 0     | 0     |
| 150                                | DEAD       | LinStatic   |          | -0.7906 | 0.1435  | 7.9534  | 0     | 0     | 0     |
| 150                                | CV         | LinStatic   |          | -0.1514 | 0.0082  | 1.6637  | 0     | 0     | 0     |
| 150                                | VIENTO     | LinStatic   |          | 0.1187  | -1.2274 | -8.5738 | 0     | 0     | 0     |

**Tabla 25. Descargas en apoyos del transportador TBS-04, por tipo de Carga**

| TABLA DE DESPLAZAMIENTOS MAXIMOS |            |             |           |           |            |           |           |              |
|----------------------------------|------------|-------------|-----------|-----------|------------|-----------|-----------|--------------|
| Joint                            | OutputCase | CaseType    | U1        | U2        | U3         | R1        | R2        | R3           |
| Text                             | Text       | Text        | mm        | mm        | mm         | Radians   | Radians   | Radians      |
| 1                                | EGO_00     | Combination | 1.900592  | 3.477377  | -43.246154 | -0.002217 | -0.000012 | -0.000048    |
| 2                                | EGO_00     | Combination | 1.902794  | 0.05709   | -43.291476 | -0.003217 | -0.000011 | -0.000001536 |
| 3                                | EGO_00     | Combination | 2.565596  | 3.086262  | -42.6672   | -0.002067 | 0.000515  | -0.000059    |
| 4                                | EGO_00     | Combination | 1.460358  | 0.398308  | -42.664895 | -0.003262 | 0.000539  | 0.00001      |
| 5                                | EGO_00     | Combination | 3.245339  | 3.756609  | -40.714806 | -0.002363 | 0.001084  | -0.000058    |
| 6                                | EGO_00     | Combination | 1.019383  | -0.011374 | -40.665305 | -0.003352 | 0.001101  | 0.000032     |
| 7                                | EGO_00     | Combination | 3.907945  | 3.352516  | -37.423149 | -0.002184 | 0.001613  | -0.000038    |
| 8                                | EGO_00     | Combination | 0.614488  | 0.274479  | -37.325866 | -0.003302 | 0.001638  | -3.762E-07   |
| 9                                | EGO_00     | Combination | 4.536056  | 3.987255  | -32.84149  | -0.002408 | 0.00217   | -0.000082    |
| 10                               | EGO_00     | Combination | 0.260826  | -0.080352 | -32.700826 | -0.003288 | 0.002163  | 0.000058     |
| 11                               | EGO_00     | Combination | 5.106301  | 3.662464  | -27.134395 | -0.001423 | 0.002351  | -0.000018    |
| 12                               | EGO_00     | Combination | -0.019077 | 0.091988  | -27.051936 | -0.002751 | 0.002337  | -0.000019    |
| 17                               | EGO_00     | Combination | 1.259444  | 2.822838  | -42.578098 | -0.001905 | -0.000572 | -0.000072    |
| 18                               | EGO_00     | Combination | 2.34128   | 0.439981  | -42.568874 | -0.003032 | -0.000611 | 0.000031     |
| 19                               | EGO_00     | Combination | 0.63913   | 3.167905  | -40.43913  | -0.002003 | -0.001137 | -0.00004     |
| 20                               | EGO_00     | Combination | 2.687995  | 0.157015  | -40.326539 | -0.00288  | -0.001169 | -0.000035    |
| 21                               | EGO_00     | Combination | 0.062825  | 2.553421  | -37.081686 | -0.00169  | -0.001589 | -0.000096    |
| 22                               | EGO_00     | Combination | 2.97135   | 0.398575  | -36.921714 | -0.002606 | -0.001605 | 0.000042     |
| 23                               | EGO_00     | Combination | -0.421193 | 2.799448  | -32.708895 | -0.001677 | -0.001962 | -0.000014    |
| 24                               | EGO_00     | Combination | 3.138105  | 0.262981  | -32.503293 | -0.002352 | -0.001979 | -0.000049    |
| 25                               | EGO_00     | Combination | -0.821078 | 2.334571  | -27.541958 | -0.00141  | -0.002223 | -0.000113    |
| 26                               | EGO_00     | Combination | 3.202399  | 0.334724  | -27.289784 | -0.002006 | -0.002251 | 0.000057     |
| 27                               | EGO_00     | Combination | -1.083186 | 2.408979  | -21.799834 | -0.001256 | -0.002481 | 0.000007564  |
| 76                               | EGO_00     | Combination | 1.933586  | 3.488508  | -52.683869 | -0.002041 | -0.000139 | -0.000049    |
| 77                               | EGO_00     | Combination | 2.62694   | 3.112102  | -52.372284 | -0.001899 | 0.000435  | -0.000059    |
| 78                               | EGO_00     | Combination | 3.339718  | 3.768085  | -50.552679 | -0.002187 | 0.001069  | -0.000058    |
| 79                               | EGO_00     | Combination | 4.041373  | 3.377157  | -47.222202 | -0.002015 | 0.001659  | -0.000037    |
| 80                               | EGO_00     | Combination | 4.712087  | 3.997479  | -42.46081  | -0.002233 | 0.002285  | -0.000084    |
| 81                               | EGO_00     | Combination | 5.329397  | 3.690282  | -36.402519 | -0.001406 | 0.002497  | -0.000015    |
| 84                               | EGO_00     | Combination | 1.270921  | 2.847266  | -51.640057 | -0.001736 | -0.000742 | -0.000072    |
| 85                               | EGO_00     | Combination | 0.60902   | 3.177835  | -48.992402 | -0.001825 | -0.001381 | -0.000042    |
| 86                               | EGO_00     | Combination | -0.00748  | 2.573822  | -44.914246 | -0.001518 | -0.001902 | -0.000096    |
| 87                               | EGO_00     | Combination | -0.5267   | 2.806395  | -39.694482 | -0.001497 | -0.002329 | -0.000016    |
| 88                               | EGO_00     | Combination | -0.956555 | 2.34739   | -33.531156 | -0.001234 | -0.002635 | -0.000114    |
| 89                               | EGO_00     | Combination | -1.237487 | 2.410817  | -26.679162 | -0.001076 | -0.002976 | 0.000005407  |
| 112                              | EGO_00     | Combination | 2.044313  | 0.054226  | -52.761775 | -0.003103 | -0.000144 | -0.000001255 |
| 113                              | EGO_00     | Combination | 1.545873  | 0.387358  | -52.390387 | -0.003151 | 0.000466  | 0.00001      |
| 114                              | EGO_00     | Combination | 1.051878  | -0.014097 | -50.511547 | -0.003238 | 0.00109   | 0.000032     |
| 115                              | EGO_00     | Combination | 0.598918  | 0.264757  | -47.120588 | -0.003191 | 0.001689  | -6.619E-07   |
| 116                              | EGO_00     | Combination | 0.201731  | -0.081758 | -42.303423 | -0.003174 | 0.002279  | 0.000058     |
| 117                              | EGO_00     | Combination | -0.115062 | 0.080857  | -36.307347 | -0.002696 | 0.002484  | -0.000016    |
| 120                              | EGO_00     | Combination | 2.543216  | 0.430054  | -51.613826 | -0.00292  | -0.00081  | 0.000031     |
| 121                              | EGO_00     | Combination | 2.92592   | 0.155647  | -48.796953 | -0.002766 | -0.001429 | -0.000034    |
| 122                              | EGO_00     | Combination | 3.241216  | 0.391862  | -44.657304 | -0.002494 | -0.001922 | 0.000042     |

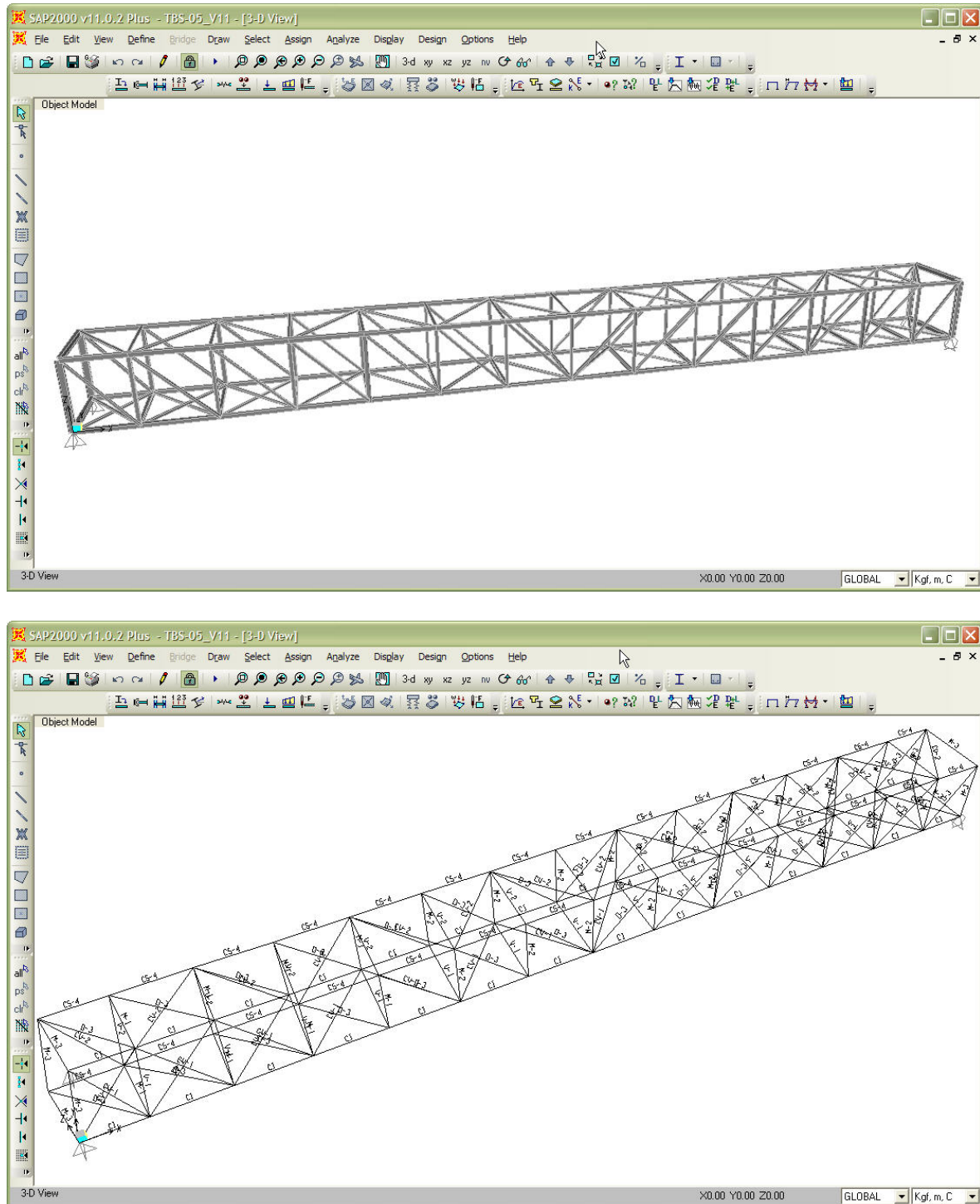
**Tabla 26. Ejemplo de desplazamientos de nodos pertenecientes a la galería del TBS-04**

| TABLA DE RELACIONES DE INTERACCION MAXIMA |            |            |              |          |           |        |          |             |
|---|------------|------------|--------------|----------|-----------|--------|----------|-------------|
| Frame                                     | DesignSect | DesignType | Status       | Ratio    | RatioType | Combo  | Location | WarnMsg     |
| Text                                      | Text       | Text       | Text         | Unitless | Text      | Text   | cm       | Text        |
| 19  | M-5        | Column     | No Messages  | 0.368826 | PMM       | EGO_01 | 240      | No Messages |
| 20  | M-5        | Column     | No Messages  | 0.391859 | PMM       | EGO_01 | 240      | No Messages |
| 21  | M-5        | Column     | No Messages  | 0.42361  | PMM       | EGO_28 | 240      | No Messages |
| 29  | M-5        | Column     | No Messages  | 0.387744 | PMM       | EGO_28 | 240      | No Messages |
| 51  | D-3        | Brace      | No Messages  | 0.535039 | PMM       | EGO_17 | 169.706  | No Messages |
| 52  | D-3        | Brace      | No Messages  | 0.571901 | PMM       | EGO_17 | 169.706  | No Messages |
| 53  | D-3        | Brace      | No Messages  | 0.617383 | PMM       | EGO_17 | 169.706  | No Messages |
| 61  | D-3        | Brace      | No Messages  | 0.582962 | PMM       | EGO_17 | 169.706  | No Messages |
| 92  | V-2        | Beam       | No Messages  | 0.318648 | PMM       | EGO_28 | 280      | No Messages |
| 93  | V-2        | Beam       | No Messages  | 0.272472 | PMM       | EGO_28 | 280      | No Messages |
| 94  | V-2        | Beam       | No Messages  | 0.373989 | PMM       | EGO_28 | 0        | No Messages |
| 101                                       | V-2        | Beam       | No Messages  | 0.304227 | PMM       | EGO_28 | 280      | No Messages |
| 102                                       | V-2        | Beam       | No Messages  | 0.36828  | PMM       | EGO_28 | 0        | No Messages |
| 125                                       | M-5        | Column     | No Messages  | 0.497093 | PMM       | EGO_01 | 240      | No Messages |
| 126                                       | M-5        | Column     | No Messages  | 0.536584 | PMM       | EGO_01 | 240      | No Messages |
| 127                                       | M-5        | Column     | No Messages  | 0.585064 | PMM       | EGO_01 | 0        | No Messages |
| 134                                       | M-5        | Column     | No Messages  | 0.449972 | PMM       | EGO_01 | 240      | No Messages |
| 135                                       | M-5        | Column     | No Messages  | 0.50176  | PMM       | EGO_01 | 240      | No Messages |
| 158                                       | D-3        | Brace      | No Messages  | 0.702853 | PMM       | EGO_01 | 169.706  | No Messages |
| 159                                       | D-3        | Brace      | No Messages  | 0.785032 | PMM       | EGO_01 | 169.706  | No Messages |
| 166                                       | D-3        | Brace      | No Messages  | 0.590015 | PMM       | EGO_01 | 169.706  | No Messages |
| 167                                       | D-3        | Brace      | No Messages  | 0.674493 | PMM       | EGO_01 | 169.706  | No Messages |
| 198                                       | V-1        | Beam       | No Messages  | 0.156703 | PMM       | EGO_28 | 280      | No Messages |
| 199                                       | V-1        | Beam       | No Messages  | 0.139656 | PMM       | EGO_28 | 280      | No Messages |
| 200                                       | V-1        | Beam       | No Messages  | 0.196642 | PMM       | EGO_28 | 0        | No Messages |
| 207                                       | V-1        | Beam       | No Messages  | 0.142213 | PMM       | EGO_28 | 280      | No Messages |
| 208                                       | V-1        | Beam       | No Messages  | 0.166092 | PMM       | EGO_28 | 0        | No Messages |
| 227                                       | CV-1       | Beam       | Overstressed | 1.072146 | PMM       | EGO_28 | 184.391  | No Messages |
| 228                                       | CV-1       | Beam       | No Messages  | 0.736728 | PMM       | EGO_28 | 184.391  | No Messages |
| 256                                       | CV-1       | Beam       | Overstressed | 1.124342 | PMM       | EGO_28 | 184.391  | No Messages |
| 257                                       | CV-1       | Beam       | No Messages  | 0.628186 | PMM       | EGO_28 | 184.391  | No Messages |
| 258                                       | CV-1       | Beam       | Overstressed | 1.141784 | PMM       | EGO_28 | 184.391  | No Messages |
| 261                                       | CV-2       | Beam       | No Messages  | 0.610255 | PMM       | EGO_28 | 184.391  | No Messages |
| 262                                       | CV-2       | Beam       | No Messages  | 0.725759 | PMM       | EGO_28 | 184.391  | No Messages |
| 290                                       | CV-2       | Beam       | No Messages  | 0.378684 | PMM       | EGO_28 | 184.391  | No Messages |
| 291                                       | CV-2       | Beam       | Overstressed | 1.035574 | PMM       | EGO_28 | 184.391  | No Messages |
| 292                                       | CV-2       | Beam       | No Messages  | 0.454291 | PMM       | EGO_28 | 184.391  | No Messages |
| 4   | CV-1       | Beam       | No Messages  | 0.76944  | PMM       | EGO_28 | 184.391  | No Messages |
| 294                                       | CV-1       | Beam       | No Messages  | 0.905917 | PMM       | EGO_28 | 184.391  | No Messages |
| 296                                       | CV-1       | Beam       | No Messages  | 0.893828 | PMM       | EGO_28 | 184.391  | No Messages |
| 328                                       | CI-3       | Beam       | No Messages  | 0.492886 | PMM       | EGO_01 | 240      | No Messages |
| 329                                       | CI-3       | Beam       | No Messages  | 0.785027 | PMM       | EGO_01 | 240      | No Messages |
| 330                                       | CI-3       | Beam       | Overstressed | 1.120832 | PMM       | EGO_01 | 240      | No Messages |
| 333                                       | CI-3       | Beam       | Overstressed | 0.952052 | PMM       | EGO_01 | 0        | No Messages |

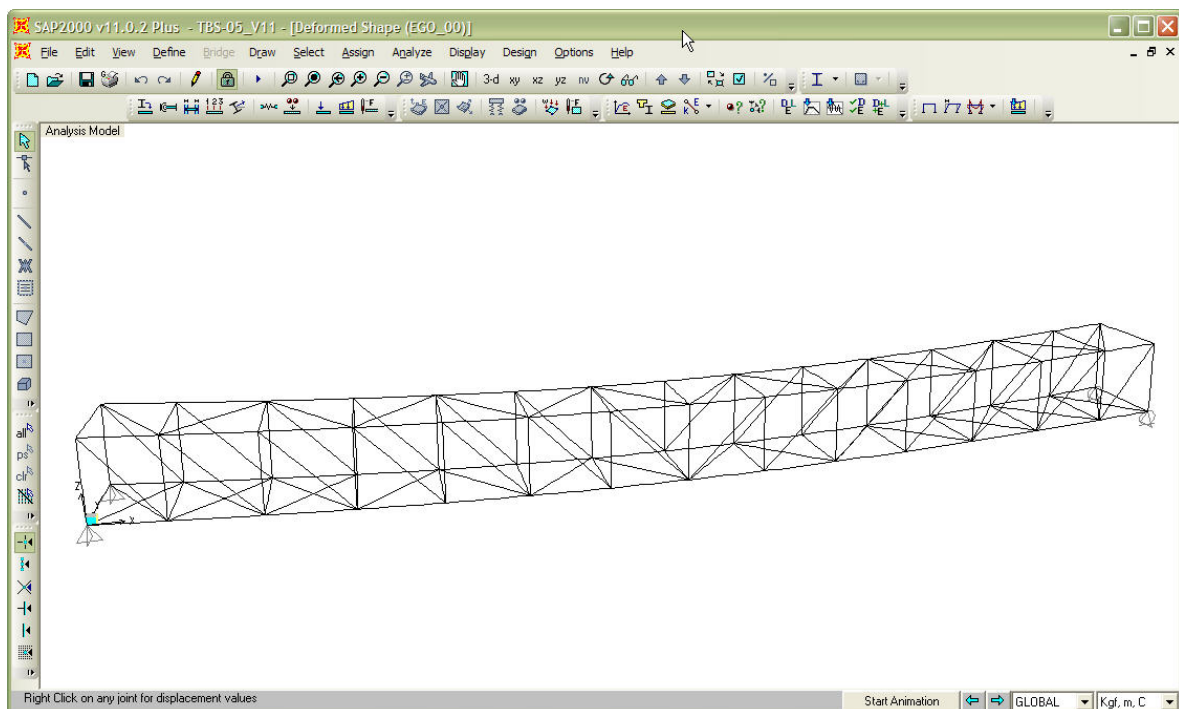
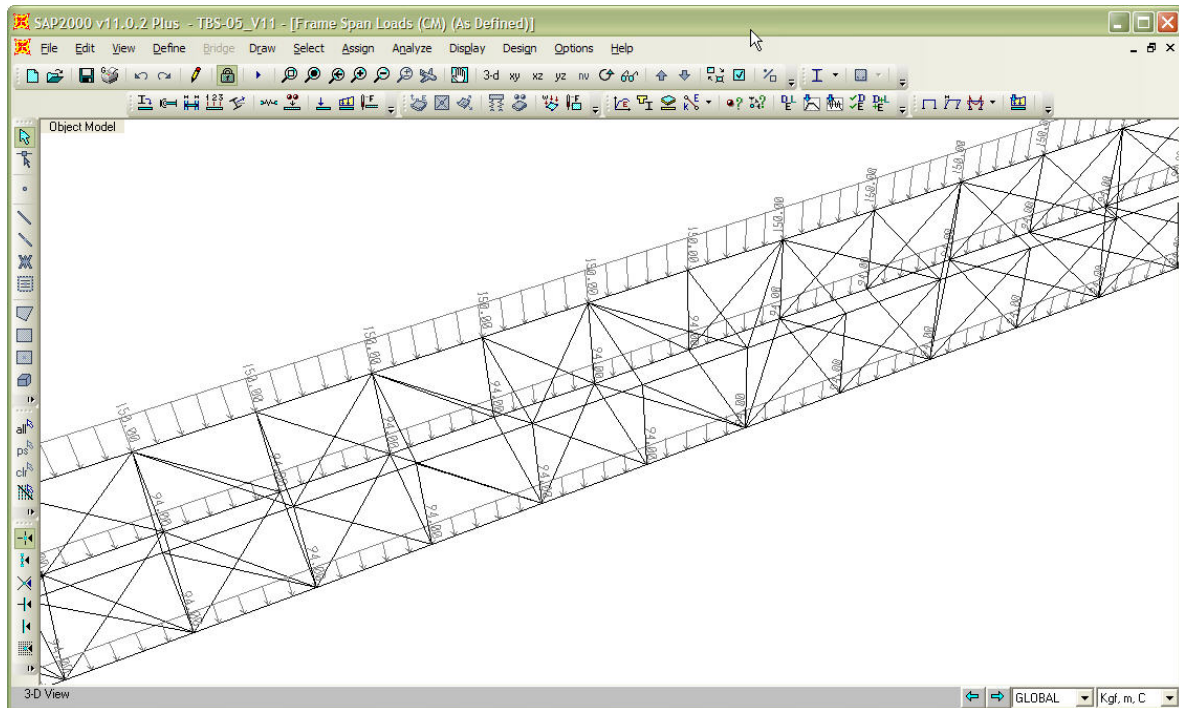
**Tabla 27. Relaciones e Interacción de diseño de elementos estructurales para TBS-04**

## V.1.6 TRANSPORTADOR TBS-05.

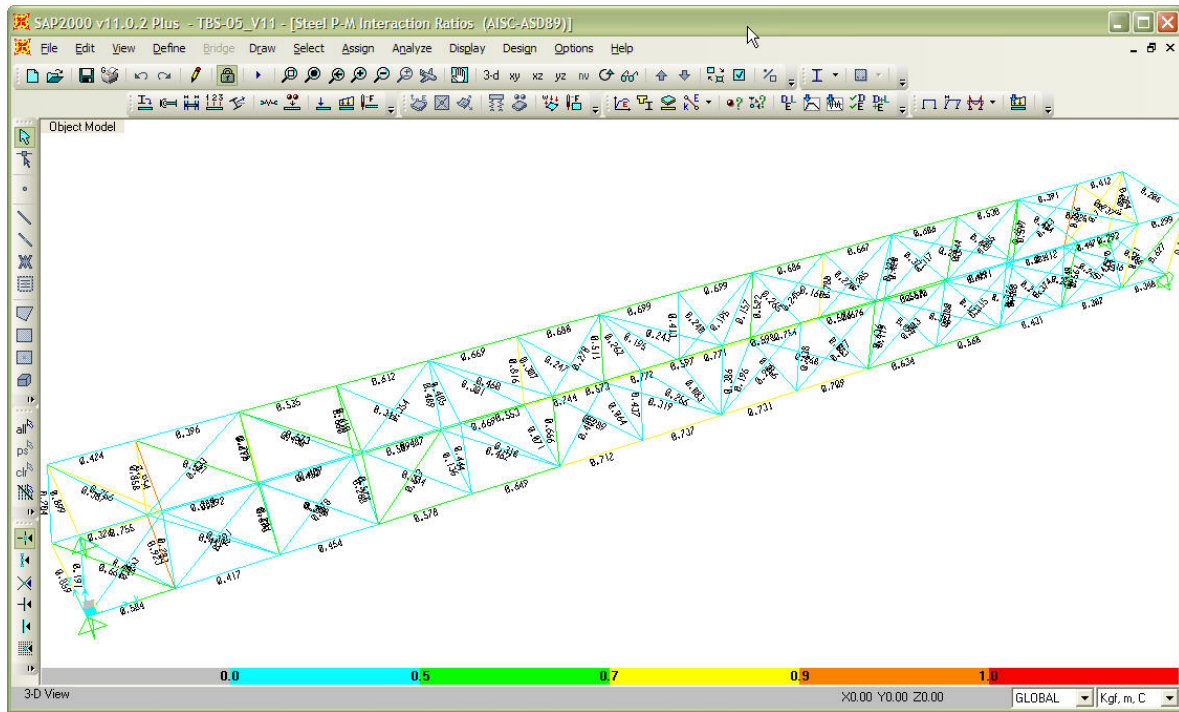
Aquí se muestran 5 figuras básicas extraídas del modelo estructural realizado como son:



**Fig. 51** Vista general en 3D del modelo (*arriba*)  
Asignación de marcas a perfiles para TBS-05 (*abajo*)



**Fig. 52 Asignación de cargas (*arriba*)**  
**Deformada de la estructura por cargas verticales para TBS-05 (*abajo*)**



**Fig. 53 Relaciones de interacción máximas en elementos estructurales para TBS-05.**

A continuación se muestran tablas de resumen de resultados extraídas del modelo elaborado como son:

**TABLA DE REACCIONES DE CARGAS BASE**

| Joint | OutputCase | CaseType    | StepType | F1      | F2      | F3      | M1     | M2     | M3     |
|-------|------------|-------------|----------|---------|---------|---------|--------|--------|--------|
| Text  | Text       | Text        | Text     | Ton     | Ton     | Ton     | Ton-mm | Ton-mm | Ton-mm |
| 1     | DEAD       | LinStatic   |          | 0       | 0.0878  | 3.2742  | 0      | 0      | 0      |
| 1     | CV         | LinStatic   |          | 0       | 0.0051  | 0.9389  | 0      | 0      | 0      |
| 1     | VIENTO     | LinStatic   |          | 0       | -0.8506 | -0.782  | 0      | 0      | 0      |
| 1     | OPERA      | LinStatic   |          | 0       | 0.0044  | 0.8083  | 0      | 0      | 0      |
| 1     | SX         | LinRespSpec | Max      | 0       | 0.1492  | 0.4857  | 0      | 0      | 0      |
| 1     | SY         | LinRespSpec | Max      | 0       | 1.2737  | 2.23    | 0      | 0      | 0      |
| 1     | SZ         | LinRespSpec | Max      | 0       | 0.0995  | 0.3238  | 0      | 0      | 0      |
| 1     | CV_RED     | LinStatic   |          | 0       | 0.0031  | 0.5715  | 0      | 0      | 0      |
| 2     | DEAD       | LinStatic   |          | -1.425  | -0.0344 | 3.2114  | 0      | 0      | 0      |
| 2     | CV         | LinStatic   |          | -0.0066 | 0.0045  | 0.9386  | 0      | 0      | 0      |
| 2     | VIENTO     | LinStatic   |          | -4.8608 | -1.2672 | -0.9963 | 0      | 0      | 0      |
| 2     | OPERA      | LinStatic   |          | -0.0057 | 0.0039  | 0.808   | 0      | 0      | 0      |
| 2     | SX         | LinRespSpec | Max      | 3.5701  | 0.3887  | 0.6014  | 0      | 0      | 0      |
| 2     | SY         | LinRespSpec | Max      | 8.3302  | 1.8652  | 2.5299  | 0      | 0      | 0      |
| 2     | SZ         | LinRespSpec | Max      | 2.3801  | 0.2591  | 0.401   | 0      | 0      | 0      |
| 2     | CV_RED     | LinStatic   |          | -0.004  | 0.0028  | 0.5713  | 0      | 0      | 0      |
| 31    | DEAD       | LinStatic   |          | 0       | 0.0344  | 5.6604  | 0      | 0      | 0      |
| 31    | CV         | LinStatic   |          | 0       | -0.0045 | 0.9386  | 0      | 0      | 0      |
| 31    | VIENTO     | LinStatic   |          | 0       | -0.8073 | 0.782   | 0      | 0      | 0      |

**Tabla 28. Descargas en apoyos del transportador TBS-05, por tipo de Carga**

| TABLA DE DESPLAZAMIENTOS MAXIMOS |            |             |           |           |            |           |              |              |
|----------------------------------|------------|-------------|-----------|-----------|------------|-----------|--------------|--------------|
| Joint                            | OutputCase | CaseType    | U1        | U2        | U3         | R1        | R2           | R3           |
| Text                             | Text       | Text        | mm        | mm        | mm         | Radians   | Radians      | Radians      |
| 1                                | EGO_00     | Combination | 6.702651  | 0         | 0          | -0.000197 | -0.002652    | -0.000125    |
| 2                                | EGO_00     | Combination | 0         | 0         | 0          | -0.000196 | 0.002715     | 0.000012     |
| 3                                | EGO_00     | Combination | 0.607362  | 2.853913  | -0.142098  | -0.00023  | -0.002648    | 0.000276     |
| 4                                | EGO_00     | Combination | 6.254193  | 2.836812  | -0.139935  | -0.000231 | 0.002709     | -0.00029     |
| 5                                | EGO_00     | Combination | 3.458212  | 0.923801  | -30.897617 | -0.002001 | -0.000008114 | 0.000023     |
| 6                                | EGO_00     | Combination | 3.442089  | 0.921059  | -30.915255 | -0.001476 | -0.000007843 | 0.00000564   |
| 7                                | EGO_00     | Combination | 2.661568  | 0.156362  | -30.191781 | -0.002036 | 0.000621     | 0.000107     |
| 8                                | EGO_00     | Combination | 4.012624  | 1.448882  | -30.249741 | -0.001362 | 0.000588     | 5.934E-07    |
| 9                                | EGO_00     | Combination | 1.909793  | 0.670558  | -27.890319 | -0.001836 | 0.001259     | 0.000047     |
| 10                               | EGO_00     | Combination | 4.571006  | 1.061256  | -28.026281 | -0.001153 | 0.001255     | -0.000029    |
| 11                               | EGO_00     | Combination | 1.237384  | -0.04613  | -24.182429 | -0.001471 | 0.001771     | 0.000137     |
| 12                               | EGO_00     | Combination | 5.086229  | 1.711904  | -24.280056 | -0.000768 | 0.001792     | -0.000107    |
| 13                               | EGO_00     | Combination | 0.672217  | 0.282502  | -19.134237 | -0.001145 | 0.002289     | -0.000076    |
| 14                               | EGO_00     | Combination | 5.544614  | 1.560989  | -19.268598 | -0.000605 | 0.002289     | -0.000082    |
| 15                               | EGO_00     | Combination | 0.286535  | 0.155022  | -12.941445 | -0.000908 | 0.002657     | 0.000091     |
| 16                               | EGO_00     | Combination | 5.905153  | 2.217701  | -13.112084 | -0.000871 | 0.002674     | -0.000198    |
| 17                               | EGO_00     | Combination | 0.062126  | 0.028866  | -5.907755  | -0.000588 | 0.003042     | 0.000004074  |
| 18                               | EGO_00     | Combination | 6.162304  | 2.38892   | -6.108746  | -0.00097  | 0.00304      | -0.000122    |
| 19                               | EGO_00     | Combination | 4.2469    | 0.278387  | -30.153828 | -0.002055 | -0.000635    | -0.000061    |
| 20                               | EGO_00     | Combination | 2.869643  | 1.476998  | -30.21307  | -0.001359 | -0.000602    | 0.00001      |
| 21                               | EGO_00     | Combination | 4.990126  | 0.901488  | -27.819796 | -0.001876 | -0.001272    | -0.000013    |
| 22                               | EGO_00     | Combination | 2.309677  | 1.113418  | -27.95736  | -0.001143 | -0.001269    | 0.000037     |
| 23                               | EGO_00     | Combination | 5.637865  | 0.266306  | -24.082925 | -0.001501 | -0.001778    | -0.000113    |
| 24                               | EGO_00     | Combination | 1.78974   | 1.782285  | -24.181635 | -0.000676 | -0.001799    | 0.000111     |
| 25                               | EGO_00     | Combination | 6.176967  | 0.638605  | -19.021925 | -0.00118  | -0.002289    | 0.00007      |
| 26                               | EGO_00     | Combination | 1.327177  | 1.634897  | -19.158111 | -0.000497 | -0.002289    | 0.00008      |
| 27                               | EGO_00     | Combination | 6.521214  | 0.462826  | -12.832621 | -0.000944 | -0.002645    | -0.000133    |
| 28                               | EGO_00     | Combination | 0.96149   | 2.282977  | -13.005889 | -0.000776 | -0.002663    | 0.00019      |
| 29                               | EGO_00     | Combination | 6.692398  | 0.205622  | -5.836033  | -0.000615 | -0.003014    | -0.000081    |
| 30                               | EGO_00     | Combination | 0.700713  | 2.430469  | -6.040183  | -0.000915 | -0.003013    | 0.000109     |
| 31                               | EGO_00     | Combination | 7.058837  | 0         | 0          | -0.000134 | -0.003083    | -0.000119    |
| 32                               | EGO_00     | Combination | 0         | 0         | 0          | -0.000132 | 0.003019     | 0.000006181  |
| 33                               | EGO_00     | Combination | -0.044109 | 2.860145  | -0.216442  | -0.000169 | -0.003165    | 0.000284     |
| 34                               | EGO_00     | Combination | 6.942048  | 2.843012  | -0.218606  | -0.000017 | 0.003103     | -0.000298    |
| 35                               | EGO_00     | Combination | 3.422547  | 0.913497  | -37.041593 | -0.001897 | 0.000006966  | 0.000024     |
| 36                               | EGO_00     | Combination | 3.438141  | 0.938872  | -37.095033 | -0.001169 | 0.000006678  | 0.000005871  |
| 67                               | EGO_00     | Combination | 2.541733  | 0.15219   | -36.106343 | -0.001912 | 0.000785     | 0.000097     |
| 71                               | EGO_00     | Combination | 4.128607  | 1.456553  | -36.218281 | -0.001125 | 0.000738     | -0.000007175 |
| 73                               | EGO_00     | Combination | 1.72625   | 0.662336  | -33.251638 | -0.001707 | 0.00153      | 0.000046     |
| 76                               | EGO_00     | Combination | 4.810033  | 1.077465  | -33.473311 | -0.000926 | 0.001531     | -0.000029    |
| 77                               | EGO_00     | Combination | 1.015674  | -0.047389 | -28.787089 | -0.001392 | 0.002103     | 0.000144     |
| 78                               | EGO_00     | Combination | 5.444017  | 1.716518  | -28.937608 | -0.000711 | 0.002138     | -0.000111    |
| 79                               | EGO_00     | Combination | 0.444315  | 0.227863  | -22.744687 | -0.001078 | 0.002707     | -0.000058    |
| 80                               | EGO_00     | Combination | 6.014408  | 1.57431   | -22.944898 | -0.000573 | 0.002711     | -0.000081    |

**Tabla 29. Ejemplo de desplazamientos de nodos pertenecientes a la galería del TBS-05**

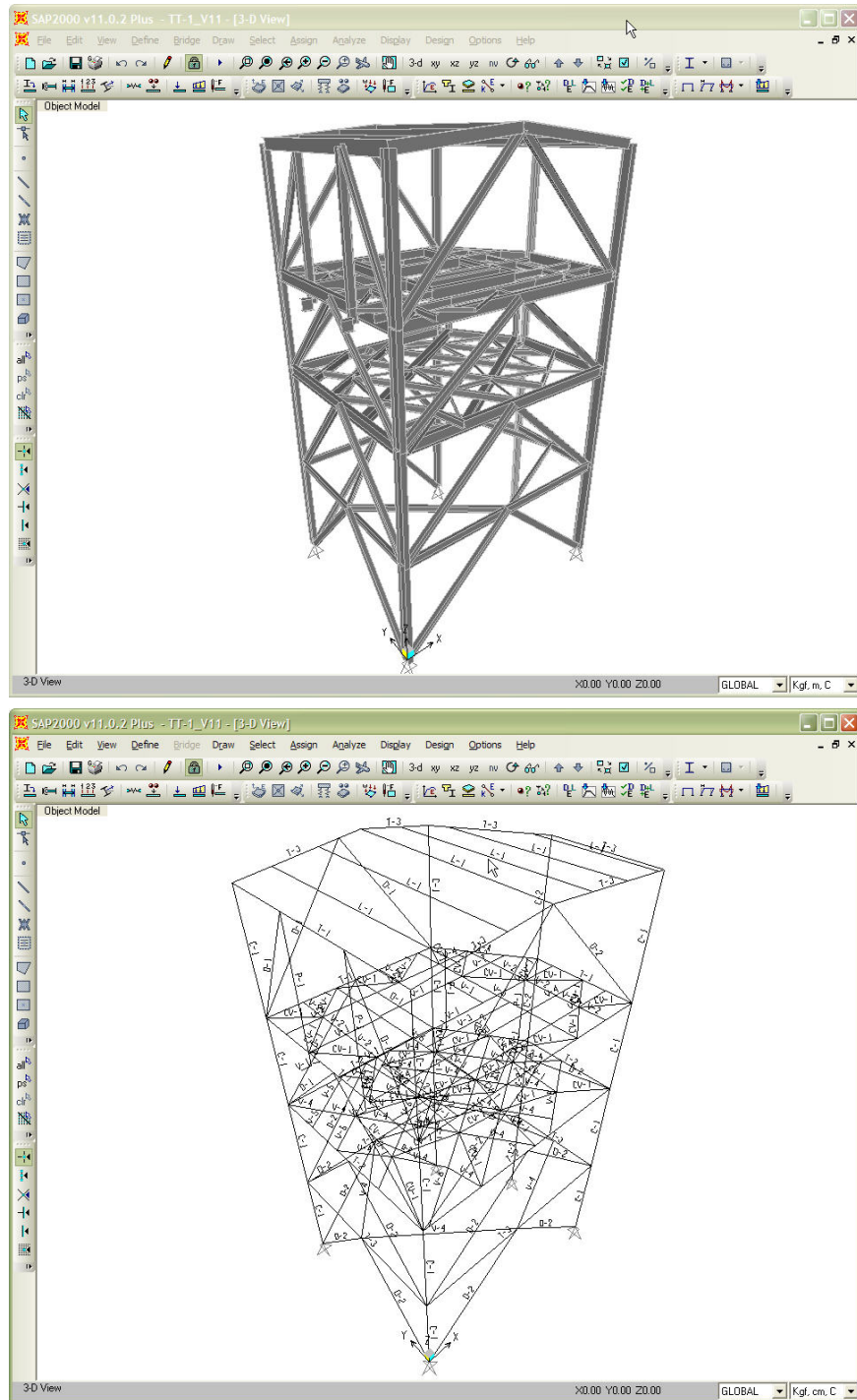
| TABLA DE RELACIONES DE INTERACCION MAXIMA |            |            |              |          |           |        |          |             |
|---|------------|------------|--------------|----------|-----------|--------|----------|-------------|
| Frame                                     | DesignSect | DesignType | Status       | Ratio    | RatioType | Combo  | Location | WarnMsg     |
| Text                                      | Text       | Text       | Text         | Unitless | Text      | Text   | mm       | Text        |
| 3   | M-2        | Column     | No Messages  | 0.385875 | PMM       | EGO_10 | 0        | No Messages |
| 4   | M-2        | Column     | No Messages  | 0.437108 | PMM       | EGO_10 | 0        | No Messages |
| 5   | M-2        | Column     | No Messages  | 0.665577 | PMM       | EGO_10 | 0        | No Messages |
| 6   | M-1        | Column     | No Messages  | 0.444353 | PMM       | EGO_10 | 0        | No Messages |
| 7   | M-1        | Column     | No Messages  | 0.576599 | PMM       | EGO_28 | 0        | No Messages |
| 8   | M-1        | Column     | No Messages  | 0.669841 | PMM       | EGO_28 | 0        | No Messages |
| 9   | M-1        | Column     | No Messages  | 0.923065 | PMM       | EGO_28 | 0        | No Messages |
| 10  | M-2        | Column     | No Messages  | 0.438152 | PMM       | EGO_10 | 0        | No Messages |
| 11  | M-2        | Column     | No Messages  | 0.635826 | PMM       | EGO_10 | 0        | No Messages |
| 12  | M-1        | Column     | No Messages  | 0.37987  | PMM       | EGO_10 | 0        | No Messages |
| 13  | M-1        | Column     | No Messages  | 0.468427 | PMM       | EGO_10 | 0        | No Messages |
| 14  | M-1        | Column     | No Messages  | 0.561062 | PMM       | EGO_28 | 0        | No Messages |
| 15  | M-1        | Column     | No Messages  | 0.820608 | PMM       | EGO_28 | 0        | No Messages |
| 16  | D-3        | Brace      | No Messages  | 0.255791 | PMM       | EGO_17 | 0        | No Messages |
| 17  | D-3        | Brace      | No Messages  | 0.289077 | PMM       | EGO_17 | 0        | No Messages |
| 18  | D-3        | Brace      | No Messages  | 0.318308 | PMM       | EGO_17 | 0        | No Messages |
| 19  | D-3        | Brace      | No Messages  | 0.334007 | PMM       | EGO_17 | 0        | No Messages |
| 20  | D-3        | Brace      | No Messages  | 0.396308 | PMM       | EGO_17 | 0        | No Messages |
| 21  | D-3        | Brace      | No Messages  | 0.441296 | PMM       | EGO_28 | 0        | No Messages |
| 37  | D-3        | Brace      | No Messages  | 0.660517 | PMM       | EGO_28 | 3077.53  | No Messages |
| 38  | D-3        | Brace      | No Messages  | 0.251108 | PMM       | EGO_17 | 0        | No Messages |
| 39  | D-3        | Brace      | No Messages  | 0.276585 | PMM       | EGO_17 | 0        | No Messages |
| 40  | D-3        | Brace      | No Messages  | 0.302917 | PMM       | EGO_17 | 0        | No Messages |
| 41  | D-3        | Brace      | No Messages  | 0.315184 | PMM       | EGO_17 | 0        | No Messages |
| 42  | D-3        | Brace      | No Messages  | 0.374311 | PMM       | EGO_17 | 0        | No Messages |
| 43  | D-3        | Brace      | No Messages  | 0.411889 | PMM       | EGO_17 | 0        | No Messages |
| 44  | D-3        | Brace      | No Messages  | 0.62723  | PMM       | EGO_28 | 3077.53  | No Messages |
| 45  | M-3        | Column     | No Messages  | 0.865419 | PMM       | EGO_28 | 0        | No Messages |
| 46  | M-3        | Column     | No Messages  | 0.858846 | PMM       | EGO_28 | 0        | No Messages |
| 49  | M-2        | Column     | No Messages  | 0.413276 | PMM       | EGO_10 | 0        | No Messages |
| 50  | M-2        | Column     | No Messages  | 0.511352 | PMM       | EGO_10 | 0        | No Messages |
| 51  | M-2        | Column     | No Messages  | 0.815628 | PMM       | EGO_10 | 0        | No Messages |
| 52  | M-1        | Column     | No Messages  | 0.489278 | PMM       | EGO_10 | 0        | No Messages |
| 53  | M-1        | Column     | No Messages  | 0.660398 | PMM       | EGO_28 | 0        | No Messages |
| 54  | M-1        | Column     | No Messages  | 0.798146 | PMM       | EGO_28 | 0        | No Messages |
| 72  | M-1        | Column     | Overstressed | 0.953503 | PMM       | EGO_28 | 0        | No Messages |
| 74  | M-2        | Column     | No Messages  | 0.522281 | PMM       | EGO_10 | 0        | No Messages |
| 76  | M-2        | Column     | No Messages  | 0.78783  | PMM       | EGO_10 | 0        | No Messages |
| 78  | M-1        | Column     | No Messages  | 0.420353 | PMM       | EGO_10 | 0        | No Messages |
| 79  | M-1        | Column     | No Messages  | 0.544169 | PMM       | EGO_10 | 0        | No Messages |
| 80  | M-1        | Column     | No Messages  | 0.653188 | PMM       | EGO_28 | 0        | No Messages |
| 81  | M-1        | Column     | Overstressed | 0.996457 | PMM       | EGO_28 | 0        | No Messages |
| 82  | D-3        | Brace      | No Messages  | 0.19458  | PMM       | EGO_10 | 0        | No Messages |
| 83  | D-3        | Brace      | No Messages  | 0.24707  | PMM       | EGO_10 | 0        | No Messages |

**Tabla 30. Relaciones de Interacción de diseño de elementos estructurales para TBS-05**

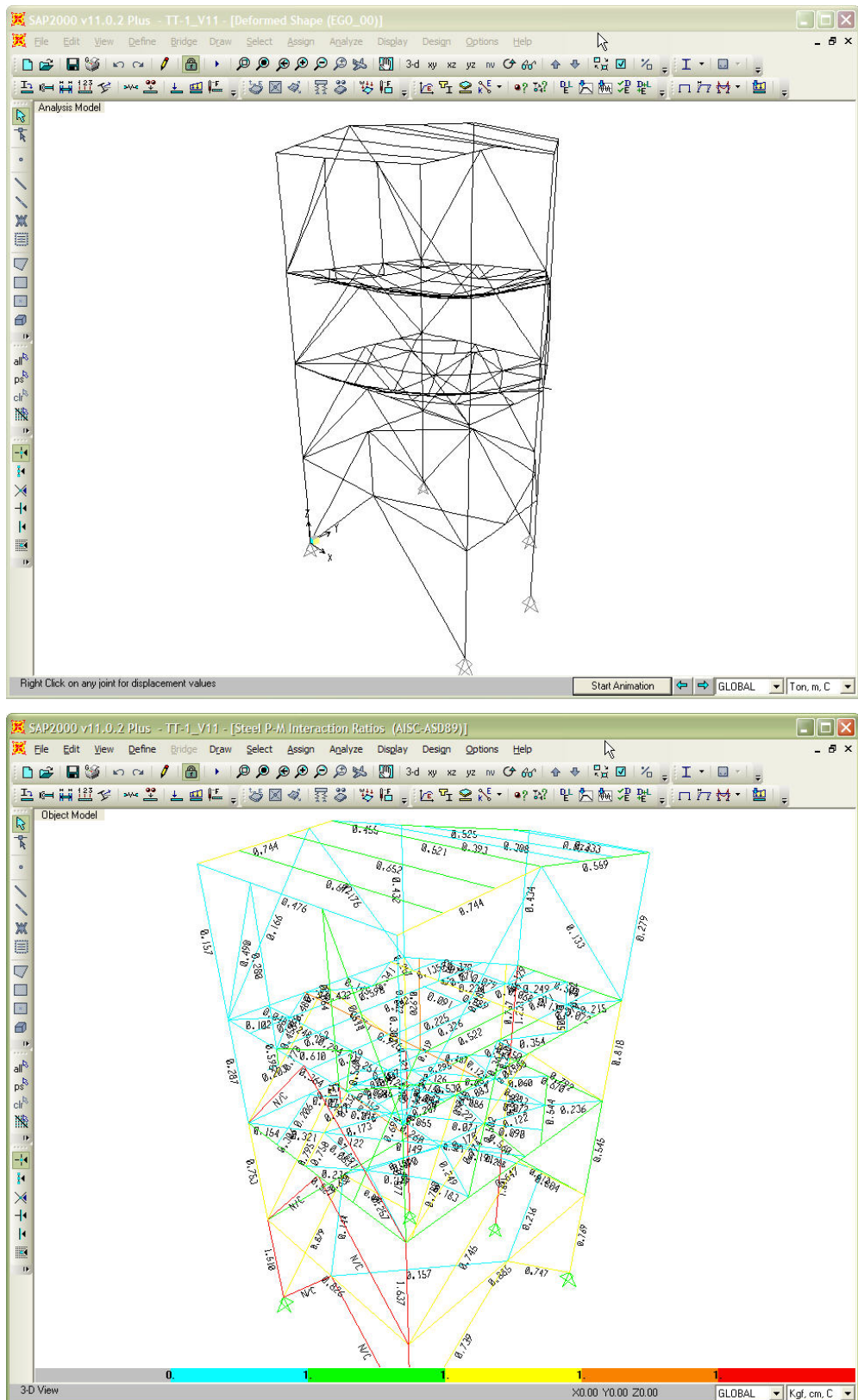
## V.2 TORRES DE TRANSFERENCIA.

### V.2.1 TORRE TT-1.

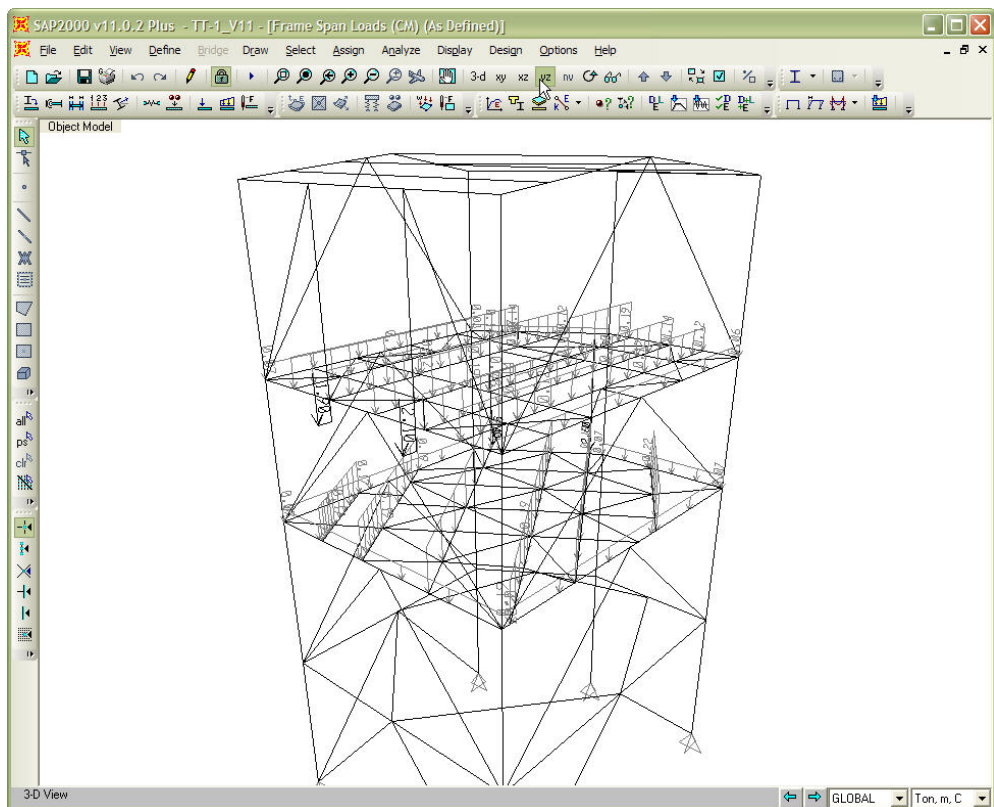
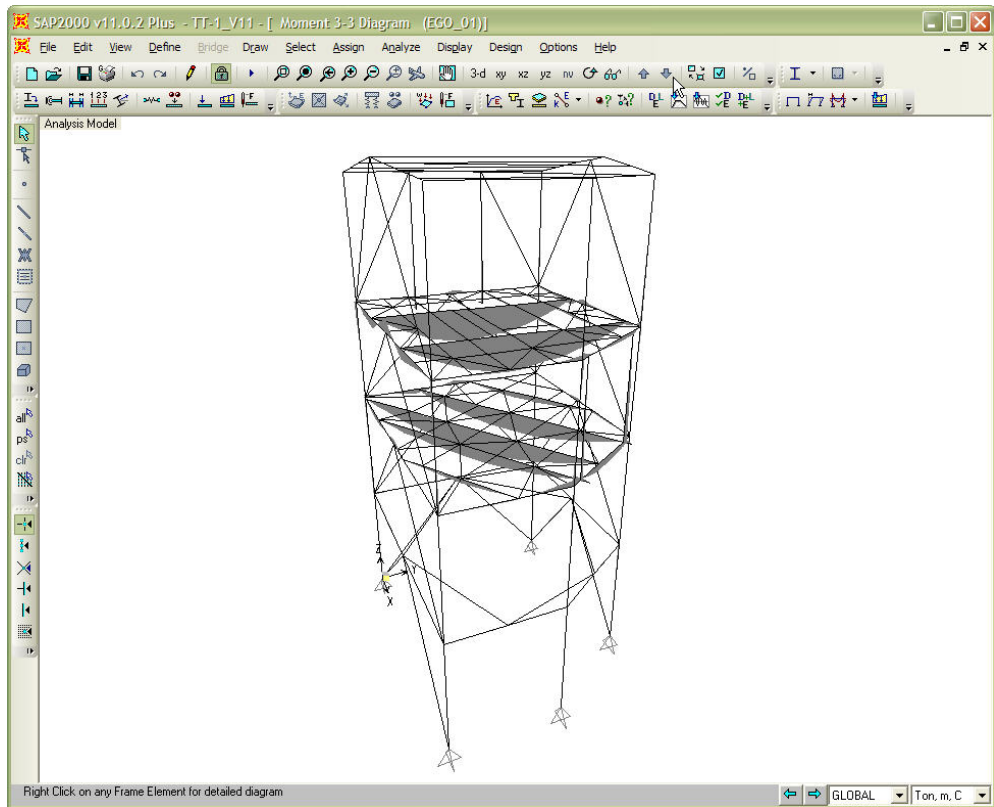
Aquí se muestran 5 figuras básicas extraídas del modelo estructural realizado como son:



**Fig. 54 Vista general en 3D del modelo (arriba)  
Asignación de marcas a perfiles para TT-1 (abajo)**



**Fig. 55 Deformada de la estructura por cargas verticales (arriba)  
Relaciones de interacción máximas de elementos estructurales para torre TT-1 (abajo)**



**Fig. 56 Ejemplo de diagrama de momentos por cargas verticales (arriba)  
Ejemplo de asignación de cargas en la estructura para torre TT-1 (abajo)**

A continuación se muestran tablas de resumen de resultados extraídas del modelo elaborado como son:

| TABLA DE REACCIONES BASE POR TIPO DE CARGA |            |             |          |          |           |         |         |       |       |       |
|--|------------|-------------|----------|----------|-----------|---------|---------|-------|-------|-------|
| Joint                                      | OutputCase | CaseType    | StepType | StepNum  | F1        | F2      | F3      | M1    | M2    | M3    |
| Text                                       | Text       | Text        | Text     | Unitless | Ton       | Ton     | Ton     | Ton-m | Ton-m | Ton-m |
| 222  | DEAD       | LinStatic   |          |          | 0.199     | 0.1765  | 10.3514 | 0     | 0     | 0     |
| 222  | MODAL      | LinModal    | Mode     | 1        | 0.0029    | 0.3719  | 1.129   | 0     | 0     | 0     |
| 222  | MODAL      | LinModal    | Mode     | 2        | 0.0253    | 0.4875  | 1.5182  | 0     | 0     | 0     |
| 222  | MODAL      | LinModal    | Mode     | 3        | 6.4768    | 8.0686  | 35.6174 | 0     | 0     | 0     |
| 222  | MODAL      | LinModal    | Mode     | 4        | 2.8133    | 2.1716  | 8.4835  | 0     | 0     | 0     |
| 222  | MODAL      | LinModal    | Mode     | 5        | -0.2865   | -0.9808 | -3.5307 | 0     | 0     | 0     |
| 222  | MODAL      | LinModal    | Mode     | 6        | -0.0139   | 0.2912  | -6.6567 | 0     | 0     | 0     |
| 222  | MODAL      | LinModal    | Mode     | 7        | -0.5932   | -0.3659 | 7.5085  | 0     | 0     | 0     |
| 222  | MODAL      | LinModal    | Mode     | 8        | 4.2001    | 0.8679  | 7.0343  | 0     | 0     | 0     |
| 222  | MODAL      | LinModal    | Mode     | 9        | 18.7245   | 1.8078  | 52.3916 | 0     | 0     | 0     |
| 222  | MODAL      | LinModal    | Mode     | 10       | 2.2327    | -0.0381 | -1.4569 | 0     | 0     | 0     |
| 222  | MODAL      | LinModal    | Mode     | 11       | 12.5342   | 3.9468  | 8.3377  | 0     | 0     | 0     |
| 222  | MODAL      | LinModal    | Mode     | 12       | -1.8976   | -2.3005 | -16.642 | 0     | 0     | 0     |
| 222  | CV         | LinStatic   |          |          | -0.0722   | 0.1489  | 12.328  | 0     | 0     | 0     |
| 222  | VIENTO     | LinStatic   |          |          | 0.2673    | -0.7125 | -2.9891 | 0     | 0     | 0     |
| 222  | OPERA      | LinStatic   |          |          | 0.0015    | 0.0177  | 4.4088  | 0     | 0     | 0     |
| 222  | SX         | LinRespSpec | Max      |          | 8.4084    | 1.0363  | 23.1194 | 0     | 0     | 0     |
| 222  | SY         | LinRespSpec | Max      |          | 10.4078   | 12.9919 | 57.2405 | 0     | 0     | 0     |
| 222  | SZ         | LinRespSpec | Max      |          | 5.6056    | 0.6908  | 15.4129 | 0     | 0     | 0     |
| 222  | CV_RED     | LinStatic   |          |          | -0.039    | 0.0481  | 11.817  | 0     | 0     | 0     |
| 293  | DEAD       | LinStatic   |          |          | -0.2328   | 0.0222  | 4.9303  | 0     | 0     | 0     |
| 293  | MODAL      | LinModal    | Mode     | 1        | 0.0008136 | 0.0048  | 0.0851  | 0     | 0     | 0     |
| 293  | MODAL      | LinModal    | Mode     | 2        | 0.0226    | 0.0073  | 0.0683  | 0     | 0     | 0     |
| 293  | MODAL      | LinModal    | Mode     | 3        | 6.4345    | 0.3532  | -9.7762 | 0     | 0     | 0     |
| 293  | MODAL      | LinModal    | Mode     | 4        | 2.8156    | 0.1962  | -6.1125 | 0     | 0     | 0     |
| 293  | MODAL      | LinModal    | Mode     | 5        | -0.2813   | 0.2725  | 1.8394  | 0     | 0     | 0     |
| 293  | MODAL      | LinModal    | Mode     | 6        | -0.0098   | 0.0164  | -0.2237 | 0     | 0     | 0     |
| 293  | MODAL      | LinModal    | Mode     | 7        | -0.636    | -0.029  | 9.4776  | 0     | 0     | 0     |
| 293  | MODAL      | LinModal    | Mode     | 8        | 4.2086    | 0.01    | -8.5666 | 0     | 0     | 0     |
| 293  | MODAL      | LinModal    | Mode     | 9        | 18.708    | 0.0263  | -43.16  | 0     | 0     | 0     |
| 293  | MODAL      | LinModal    | Mode     | 10       | 2.2377    | -0.0493 | -0.032  | 0     | 0     | 0     |
| 293  | MODAL      | LinModal    | Mode     | 11       | 12.6223   | 1.5525  | -29.913 | 0     | 0     | 0     |
| 293  | MODAL      | LinModal    | Mode     | 12       | -1.9114   | -0.3395 | 5.0705  | 0     | 0     | 0     |
| 293  | CV         | LinStatic   |          |          | -0.0977   | 0.0049  | 6.6582  | 0     | 0     | 0     |
| 293  | VIENTO     | LinStatic   |          |          | 0.2779    | -0.0306 | -1.7383 | 0     | 0     | 0     |
| 293  | OPERA      | LinStatic   |          |          | -0.0133   | 0.0073  | 2.0474  | 0     | 0     | 0     |
| 293  | SX         | LinRespSpec | Max      |          | 8.4023    | 0.0313  | 19.283  | 0     | 0     | 0     |
| 293  | SY         | LinRespSpec | Max      |          | 10.3402   | 0.5683  | 15.7635 | 0     | 0     | 0     |
| 293  | SZ         | LinRespSpec | Max      |          | 5.6015    | 0.0209  | 12.8553 | 0     | 0     | 0     |
| 293  | CV_RED     | LinStatic   |          |          | -0.0632   | 0.0039  | 6.5588  | 0     | 0     | 0     |
| 295  | DEAD       | LinStatic   |          |          | -0.0068   | 0.0027  | 7.7504  | 0     | 0     | 0     |
| 295  | MODAL      | LinModal    | Mode     | 1        | -0.000142 | 0.0041  | -0.0337 | 0     | 0     | 0     |

**Tabla 31. Descargas de columnas a cimentación de la torre TT-1 por tipo de carga.**

| TABLA DE DESPLAZAMIENTOS MAXIMOS |            |             |           |            |            |              |              |              |
|----------------------------------|------------|-------------|-----------|------------|------------|--------------|--------------|--------------|
| Joint                            | OutputCase | CaseType    | U1        | U2         | U3         | R1           | R2           | R3           |
| Text                             | Text       | Text        | mm        | mm         | mm         | Radians      | Radians      | Radians      |
| 1                                | EGO_00     | Combination | -0.050725 | -0.203374  | -5.374146  | -0.000216    | 0.0023       | -0.000045    |
| 2                                | EGO_00     | Combination | -0.111645 | -0.107526  | -0.762377  | 0.000123     | -0.000255    | 0.000283     |
| 3                                | EGO_00     | Combination | 0.145122  | -0.355824  | -0.387329  | 0.000039     | 0.000098     | -0.000313    |
| 4                                | EGO_00     | Combination | -0.073486 | -0.412665  | -14.719176 | 0.001611     | -0.00322     | -0.000038    |
| 5                                | EGO_00     | Combination | -0.054493 | -0.440111  | -9.596914  | 0.002594     | -0.004775    | -0.000029    |
| 6                                | EGO_00     | Combination | -0.145586 | -0.31858   | -16.954979 | -0.00131     | 0.001327     | -0.000051    |
| 7                                | EGO_00     | Combination | -0.121838 | -0.57511   | -11.694262 | -0.000413    | -0.000069    | -0.000076    |
| 8                                | EGO_00     | Combination | -0.211823 | -0.505973  | -10.165779 | -0.003018    | -0.000253    | -0.0001      |
| 9                                | EGO_00     | Combination | -0.216484 | -0.576147  | -9.770357  | -0.002981    | 0.000021     | -0.000101    |
| 10                               | EGO_00     | Combination | 0.090461  | -0.505157  | -6.584231  | 0.004545     | -0.000194    | -0.000084    |
| 11                               | EGO_00     | Combination | -0.015752 | -0.449658  | -6.058203  | 0.001369     | 0.004215     | -0.000058    |
| 12                               | EGO_00     | Combination | -0.206723 | -0.458206  | -6.516755  | -0.001477    | 0.003798     | -0.000071    |
| 13                               | EGO_00     | Combination | -0.304335 | -0.506169  | -7.078981  | -0.004394    | -0.000268    | -0.000096    |
| 14                               | EGO_00     | Combination | -0.303988 | -0.576835  | -6.709598  | -0.004366    | 0.000086     | -0.000092    |
| 15                               | EGO_00     | Combination | 0.000338  | -0.651027  | -4.384184  | 0.001534     | -0.004827    | -0.000074    |
| 16                               | EGO_00     | Combination | -0.218623 | -0.65322   | -6.089031  | -0.0015      | -0.003745    | -0.000085    |
| 17                               | EGO_00     | Combination | -0.156368 | -0.539461  | -11.705349 | -0.001556    | -0.000142    | 0.000003389  |
| 18                               | EGO_00     | Combination | -0.214153 | -0.54075   | -10.281578 | -0.003       | -0.000134    | 0.000014     |
| 19                               | EGO_00     | Combination | -0.300598 | -0.371694  | -1.753012  | -0.0009      | 0.002646     | 0.000008627  |
| 20                               | EGO_00     | Combination | -0.222688 | -0.401948  | -2.761227  | 0.000642     | 0.003793     | -0.000086    |
| 21                               | EGO_00     | Combination | 0.029553  | -0.335411  | -3.763621  | 0.002827     | -0.001802    | -0.000056    |
| 22                               | EGO_00     | Combination | -0.057153 | -0.325106  | -13.2535   | 0.000535     | 0.000342     | -0.000056    |
| 23                               | EGO_00     | Combination | 0.000212  | -0.285854  | -6.223233  | 0.001421     | 0.000074     | -0.000034    |
| 24                               | EGO_00     | Combination | -0.108455 | -0.367207  | -17.478292 | 0.000199     | -0.001022    | -0.00005     |
| 25                               | EGO_00     | Combination | -0.118275 | -0.377776  | -8.772576  | -0.000759    | -0.000182    | -0.000049    |
| 26                               | EGO_00     | Combination | -0.118885 | -0.380375  | -2.017296  | -0.000813    | 0.001024     | 0.000018     |
| 27                               | EGO_00     | Combination | 0.508282  | -0.334729  | -1.316019  | 0.000074     | -0.0015      | -0.000096    |
| 28                               | EGO_00     | Combination | 0.506976  | -0.306037  | -1.797272  | 0.000074     | -0.001531    | -0.000096    |
| 29                               | EGO_00     | Combination | 1.543117  | -0.389323  | -1.80673   | -0.000092    | -0.004636    | 0.048769     |
| 30                               | EGO_00     | Combination | 1.544291  | -15.032917 | -3.275939  | -0.000092    | -0.004713    | 0.048821     |
| 31                               | EGO_00     | Combination | 0.301726  | -0.353269  | -0.338681  | 0.000069     | 0.000047     | 0.000239     |
| 32                               | EGO_00     | Combination | 0.027039  | -0.524654  | -0.629539  | -0.000196    | 0.000066     | 0.000018     |
| 33                               | EGO_00     | Combination | -0.045563 | -0.730338  | -0.949784  | 0.000885     | -0.002024    | -0.000104    |
| 34                               | EGO_00     | Combination | 0.14816   | -0.609362  | -1.594047  | 0.000776     | -0.000819    | -0.000051    |
| 35                               | EGO_00     | Combination | -0.060375 | -0.183853  | -1.329188  | 0.000369     | 0.00041      | -0.000046    |
| 36                               | EGO_00     | Combination | -0.075526 | 0.076526   | -0.511177  | -0.000051    | -0.000205    | -0.000321    |
| 222                              | EGO_00     | Combination | 0         | 0          | 0          | -0.000011    | 0.000078     | 0.000317     |
| 223                              | EGO_00     | Combination | -0.273895 | -0.191229  | -1.351446  | -0.000122    | 0.000938     | 0.000033     |
| 224                              | EGO_00     | Combination | -0.361539 | -0.389913  | -1.530412  | -0.000079    | 0.000878     | -0.000051    |
| 225                              | EGO_00     | Combination | -0.744204 | -0.460638  | -1.549171  | -0.000042    | -0.000121    | 0.001611     |
| 226                              | EGO_00     | Combination | -0.048473 | -0.477248  | -1.042265  | -0.002167    | 0.001685     | 0.000008627  |
| 227                              | EGO_00     | Combination | -0.203995 | -0.260009  | -2.504709  | -0.000437    | -0.000283    | -0.000044    |
| 228                              | EGO_00     | Combination | -0.070391 | -0.46273   | -0.78081   | 0.00008      | -0.000702    | -0.000003885 |
| 229                              | EGO_00     | Combination | -0.107051 | -0.395219  | -1.007488  | -0.000005521 | -0.000003759 | -0.000062    |

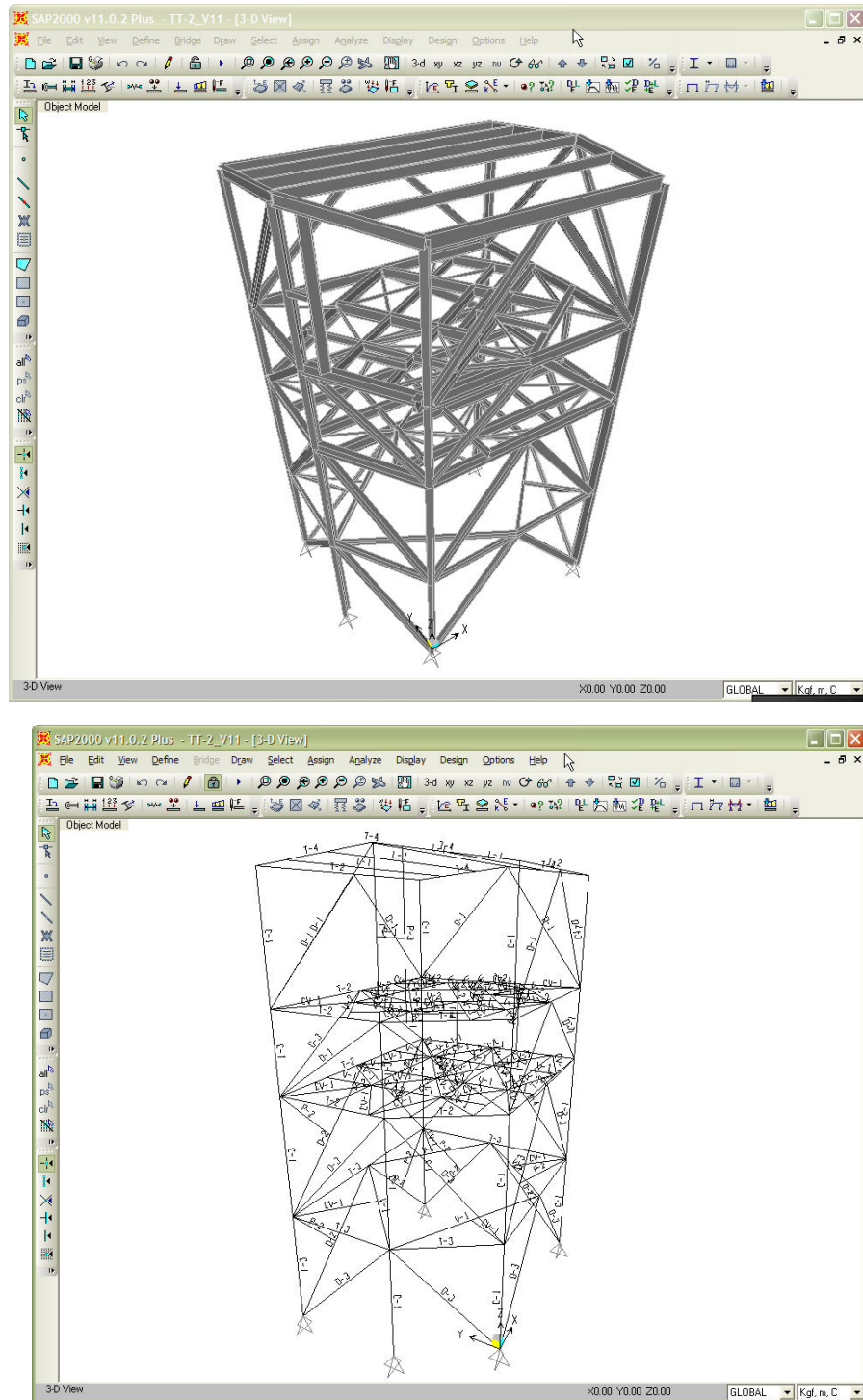
Tabla 32. Ejemplo de desplazamientos de nodos pertenecientes a la torre TT-1

| TABLA DE RESUMEN DE RELACION DE INTERACCION DISEÑO |            |            |              |          |           |        |          |             |
|--|------------|------------|--------------|----------|-----------|--------|----------|-------------|
| Frame  | DesignSect | DesignType | Status       | Ratio    | RatioType | Combo  | Location | WarnMsg     |
| Text   | Text       | Text       | Text         | Unitless | Text      | Text   | cm       | Text        |
| 274  | C-1        | Column     | No Messages  | 0.577043 | PMM       | DSTL7  | 0        | No Messages |
| 275  | C-1        | Column     | No Messages  | 0.303138 | PMM       | DSTL4  | 0        | No Messages |
| 277  | V-5        | Beam       | No Messages  | 0.544422 | PMM       | DSTL8  | 157.44   | No Messages |
| 284  | V-4        | Beam       | No Messages  | 0.177386 | PMM       | DSTL8  | 153.192  | No Messages |
| 286  | V-4        | Beam       | No Messages  | 0.235646 | PMM       | DSTL8  | 0        | No Messages |
| 288  | V-4        | Beam       | No Messages  | 0.182579 | PMM       | DSTL8  | 0        | No Messages |
| 289  | V-4        | Beam       | No Messages  | 0.154947 | PMM       | DSTL11 | 0        | No Messages |
| 290  | V-4        | Beam       | No Messages  | 0.060071 | PMM       | DSTL11 | 157.323  | No Messages |
| 291  | CV-1       | Beam       | No Messages  | 0.124885 | PMM       | DSTL8  | 0        | No Messages |
| 292  | CV-1       | Beam       | No Messages  | 0.128939 | PMM       | DSTL8  | 158.217  | No Messages |
| 293  | CV-1       | Beam       | No Messages  | 0.295254 | PMM       | DSTL8  | 98.905   | No Messages |
| 294  | CV-1       | Beam       | No Messages  | 0.321333 | PMM       | DSTL11 | 132.736  | No Messages |
| 295  | V-4        | Beam       | No Messages  | 0.101235 | PMM       | DSTL8  | 0        | No Messages |
| 296  | CV-1       | Beam       | No Messages  | 0.235868 | PMM       | DSTL8  | 164.924  | No Messages |
| 299  | V-2        | Beam       | No Messages  | 0.144527 | PMM       | DSTL8  | 0        | No Messages |
| 307  | V-1        | Beam       | No Messages  | 0.091009 | PMM       | DSTL8  | 0        | No Messages |
| 309  | V-3        | Beam       | No Messages  | 0.326    | PMM       | DSTL8  | 0        | No Messages |
| 310  | V-2        | Beam       | No Messages  | 0.150051 | PMM       | DSTL8  | 83.171   | No Messages |
| 312  | CV-1       | Beam       | No Messages  | 0.102022 | PMM       | DSTL7  | 48.123   | No Messages |
| 313  | CV-1       | Beam       | No Messages  | 0.479778 | PMM       | DSTL11 | 0        | No Messages |
| 314  | CV-1       | Beam       | No Messages  | 0.456215 | PMM       | DSTL11 | 152.413  | No Messages |
| 315  | CV-1       | Beam       | No Messages  | 0.610003 | PMM       | DSTL11 | 164.267  | No Messages |
| 316  | CV-1       | Beam       | No Messages  | 0.568531 | PMM       | DSTL8  | 0        | No Messages |
| 317  | CV-1       | Beam       | No Messages  | 0.58592  | PMM       | DSTL7  | 0        | No Messages |
| 318  | CV-1       | Beam       | No Messages  | 0.144012 | PMM       | DSTL8  | 137.903  | No Messages |
| 319  | CV-1       | Beam       | No Messages  | 0.530391 | PMM       | DSTL8  | 0        | No Messages |
| 320  | CV-1       | Beam       | No Messages  | 0.361223 | PMM       | DSTL11 | 0        | No Messages |
| 321  | CV-1       | Beam       | No Messages  | 0.354368 | PMM       | DSTL8  | 169.771  | No Messages |
| 322  | CV-1       | Beam       | No Messages  | 0.305003 | PMM       | DSTL10 | 142.536  | No Messages |
| 323  | CV-1       | Beam       | No Messages  | 0.214545 | PMM       | DSTL8  | 144.564  | No Messages |
| 324  | CV-1       | Beam       | No Messages  | 0.352324 | PMM       | DSTL10 | 142.205  | No Messages |
| 325  | CV-1       | Beam       | No Messages  | 0.248582 | PMM       | DSTL10 | 0        | No Messages |
| 326  | CV-1       | Beam       | No Messages  | 0.129461 | PMM       | DSTL7  | 131.396  | No Messages |
| 327  | CV-1       | Beam       | No Messages  | 0.233619 | PMM       | DSTL11 | 90.705   | No Messages |
| 328  | CV-1       | Beam       | No Messages  | 0.172445 | PMM       | DSTL11 | 0        | No Messages |
| 329  | CV-1       | Beam       | No Messages  | 0.256812 | PMM       | DSTL11 | 0        | No Messages |
| 330  | CV-1       | Beam       | No Messages  | 0.341031 | PMM       | DSTL11 | 0        | No Messages |
| 331  | CV-1       | Beam       | No Messages  | 0.431856 | PMM       | DSTL8  | 87.53    | No Messages |
| 333  | C-1        | Column     | No Messages  | 0.818329 | PMM       | DSTL8  | 300      | No Messages |
| 334  | C-1        | Column     | No Messages  | 0.27862  | PMM       | DSTL8  | 0        | No Messages |
| 336  | C-2        | Column     | Overstressed | 1.232576 | PMM       | DSTL8  | 0        | No Messages |
| 337  | C-2        | Column     | No Messages  | 0.434168 | PMM       | DSTL8  | 0        | No Messages |
| 339  | C-1        | Column     | No Messages  | 0.871888 | PMM       | DSTL8  | 300      | No Messages |
| 340  | C-1        | Column     | No Messages  | 0.431915 | PMM       | DSTL8  | 0        | No Messages |

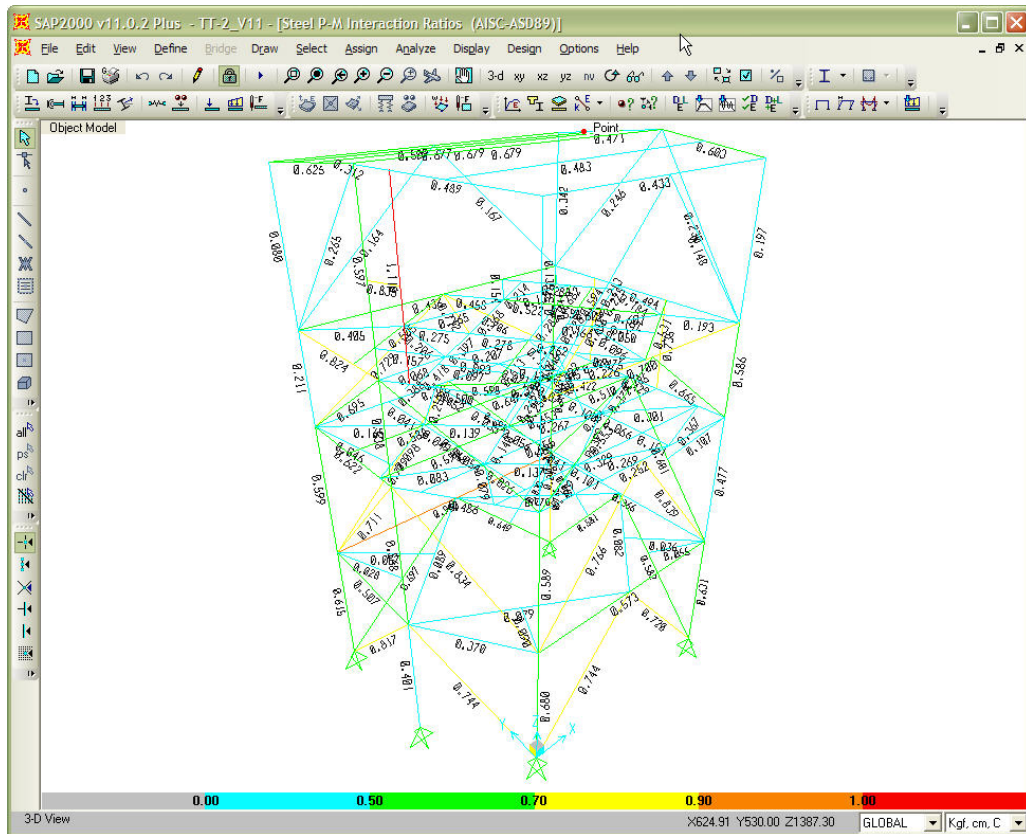
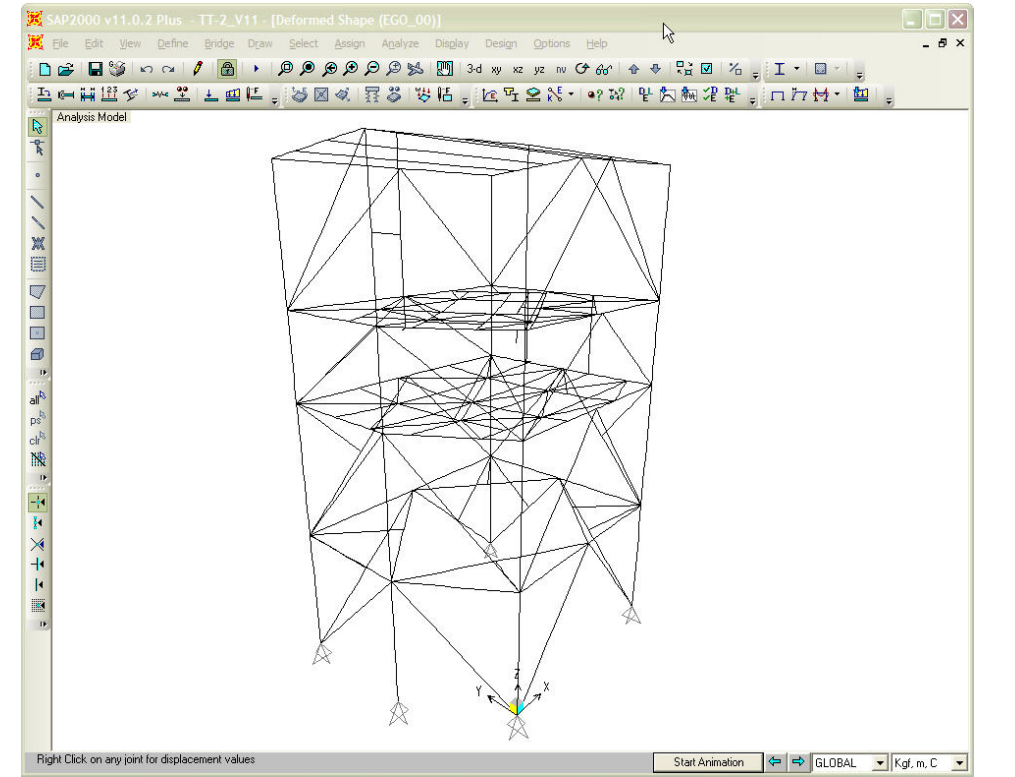
**Tabla 33. Relaciones de Interacción de diseño de elementos estructurales para TT-1.**

## V.2.2 TORRE TT-2.

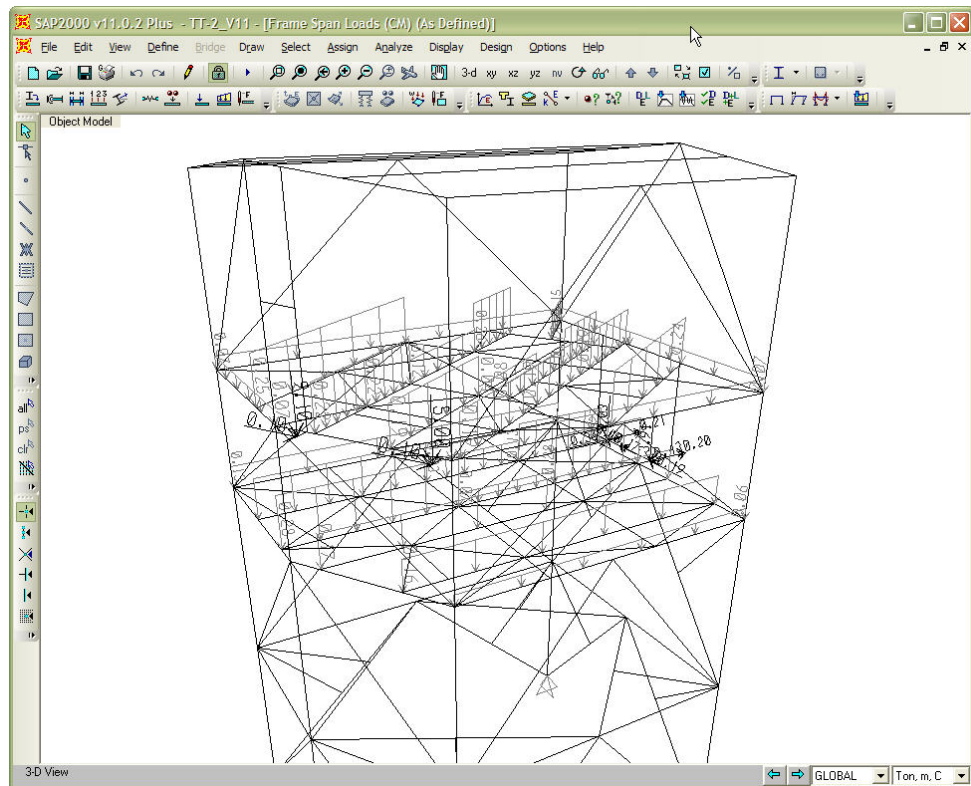
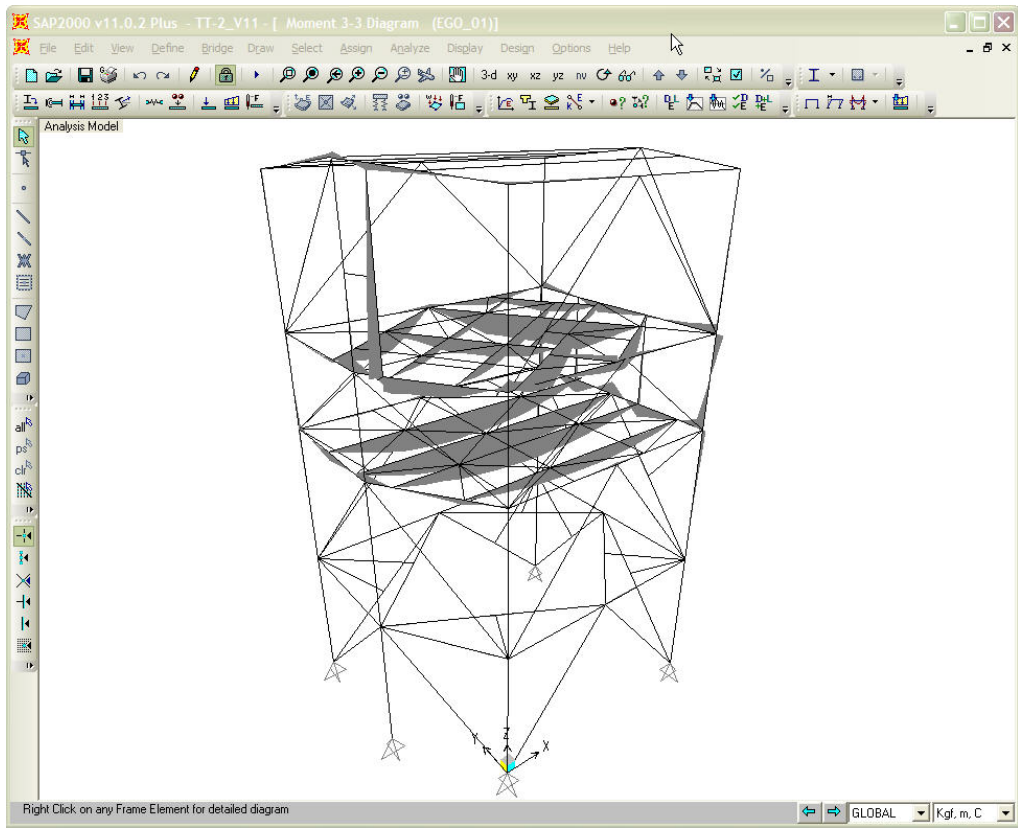
Aquí se muestran 5 figuras básicas extraídas del modelo estructural realizado como son:



**Fig. 57 Vista general en 3D del modelo (arriba)  
Asignación de marcas a perfiles para TT-2 (abajo)**



**Fig. 58 Deformada de la estructura por cargas verticales (arriba)  
Relaciones de interacción máximas de elementos estructurales para torre TT-2 (abajo)**



**Fig. 59 Ejemplo de diagrama de momentos por cargas verticales (arriba)  
Ejemplo de asignación de cargas en la estructura para torre TT-2 (abajo)**

A continuación se muestran tablas de resumen de resultados extraídas del modelo elaborado como son:

| TABLA DE REACCIONES BASE POR TIPO DE CARGA |            |             |          |          |         |           |         |       |       |       |
|--|------------|-------------|----------|----------|---------|-----------|---------|-------|-------|-------|
| Joint                                      | OutputCase | CaseType    | StepType | StepNum  | F1      | F2        | F3      | M1    | M2    | M3    |
| Text                                       | Text       | Text        | Text     | Unitless | Ton     | Ton       | Ton     | Ton-m | Ton-m | Ton-m |
| 5  | DEAD       | LinStatic   |          |          | -0.512  | 1.1939    | 15.474  | 0     | 0     | 0     |
| 5  | MODAL      | LinModal    | Mode     | 1        | -0.0087 | 0.0005562 | -0.0431 | 0     | 0     | 0     |
| 5  | MODAL      | LinModal    | Mode     | 2        | 0.1047  | 7.4726    | 46.999  | 0     | 0     | 0     |
| 5  | MODAL      | LinModal    | Mode     | 3        | -0.0901 | 2.1157    | 2.9794  | 0     | 0     | 0     |
| 5  | MODAL      | LinModal    | Mode     | 4        | 0.0374  | -0.4411   | -2.5962 | 0     | 0     | 0     |
| 5  | MODAL      | LinModal    | Mode     | 5        | -0.021  | 0.2442    | 1.1276  | 0     | 0     | 0     |
| 5  | MODAL      | LinModal    | Mode     | 6        | 17.8848 | -5.5549   | 18.3427 | 0     | 0     | 0     |
| 5  | MODAL      | LinModal    | Mode     | 7        | 1.9861  | -2.137    | -7.0043 | 0     | 0     | 0     |
| 5  | MODAL      | LinModal    | Mode     | 8        | 0.235   | 0.239     | 11.4958 | 0     | 0     | 0     |
| 5  | MODAL      | LinModal    | Mode     | 9        | -0.6682 | 0.8217    | -0.5459 | 0     | 0     | 0     |
| 5  | MODAL      | LinModal    | Mode     | 10       | 7.3045  | -3.3942   | 5.3486  | 0     | 0     | 0     |
| 5  | MODAL      | LinModal    | Mode     | 11       | 25.3741 | -17.5474  | -16.428 | 0     | 0     | 0     |
| 5  | MODAL      | LinModal    | Mode     | 12       | -16.986 | 11.3881   | -1.0751 | 0     | 0     | 0     |
| 5  | CV         | LinStatic   |          |          | -0.3775 | 0.8168    | 11.0129 | 0     | 0     | 0     |
| 5  | VIENTO     | LinStatic   |          |          | 0.3932  | -0.8297   | -4.5176 | 0     | 0     | 0     |
| 5  | OPERA      | LinStatic   |          |          | -0.0939 | 0.1744    | 3.1643  | 0     | 0     | 0     |
| 5  | SX         | LinRespSpec | Max      |          | 9.6404  | 3.3574    | 16.0339 | 0     | 0     | 0     |
| 5  | SY         | LinRespSpec | Max      |          | 2.7858  | 6.5415    | 38.1202 | 0     | 0     | 0     |
| 5  | SZ         | LinRespSpec | Max      |          | 6.4269  | 2.2382    | 10.6893 | 0     | 0     | 0     |
| 5  | CV_RED     | LinStatic   |          |          | -0.3353 | 0.7479    | 9.8344  | 0     | 0     | 0     |
| 96   | DEAD       | LinStatic   |          |          | -0.1334 | 0.1495    | 10.3545 | 0     | 0     | 0     |
| 96   | MODAL      | LinModal    | Mode     | 1        | -0.0127 | 0.0045    | 1.2084  | 0     | 0     | 0     |
| 96   | MODAL      | LinModal    | Mode     | 2        | 4.8358  | 9.8349    | 11.2405 | 0     | 0     | 0     |
| 96   | MODAL      | LinModal    | Mode     | 3        | 1.2766  | 2.8054    | 2.6888  | 0     | 0     | 0     |
| 96   | MODAL      | LinModal    | Mode     | 4        | -0.2226 | 0.0809    | -2.4625 | 0     | 0     | 0     |
| 96   | MODAL      | LinModal    | Mode     | 5        | 0.1309  | 0.0447    | 0.825   | 0     | 0     | 0     |
| 96   | MODAL      | LinModal    | Mode     | 6        | 14.4389 | -4.526    | -54.521 | 0     | 0     | 0     |
| 96   | MODAL      | LinModal    | Mode     | 7        | 0.6393  | -3.0398   | -9.6167 | 0     | 0     | 0     |
| 96   | MODAL      | LinModal    | Mode     | 8        | 0.3156  | -0.5137   | 9.2397  | 0     | 0     | 0     |
| 96   | MODAL      | LinModal    | Mode     | 9        | -0.1273 | 0.2533    | 2.3571  | 0     | 0     | 0     |
| 96   | MODAL      | LinModal    | Mode     | 10       | 5.2309  | -3.5275   | -18.338 | 0     | 0     | 0     |
| 96   | MODAL      | LinModal    | Mode     | 11       | 14.1009 | 10.3895   | -25.705 | 0     | 0     | 0     |
| 96   | MODAL      | LinModal    | Mode     | 12       | -9.6461 | -6.9005   | 3.014   | 0     | 0     | 0     |
| 96   | CV         | LinStatic   |          |          | 0.0814  | 0.0632    | 10.5975 | 0     | 0     | 0     |
| 96   | VIENTO     | LinStatic   |          |          | -0.1275 | -0.6104   | -2.8467 | 0     | 0     | 0     |
| 96   | OPERA      | LinStatic   |          |          | -0.0044 | 0.0306    | 2.7972  | 0     | 0     | 0     |
| 96   | SX         | LinRespSpec | Max      |          | 8.0005  | 3.1878    | 28.7457 | 0     | 0     | 0     |
| 96   | SY         | LinRespSpec | Max      |          | 4.2527  | 8.4057    | 12.9063 | 0     | 0     | 0     |
| 96   | SZ         | LinRespSpec | Max      |          | 5.3336  | 2.1252    | 19.1638 | 0     | 0     | 0     |
| 96   | CV_RED     | LinStatic   |          |          | 0.0837  | 0.0527    | 10.3842 | 0     | 0     | 0     |
| 100  | DEAD       | LinStatic   |          |          | 0.0703  | -0.2313   | 11.184  | 0     | 0     | 0     |
| 100  | MODAL      | LinModal    | Mode     | 1        | -0.0137 | -0.0121   | 1.2336  | 0     | 0     | 0     |

**Tabla 34. Descargas de columnas a cimentación de la torre TT-2 por tipo de carga.**

| TABLA DE DESPLAZAMIENTOS MAXIMOS |            |             |           |           |            |           |           |              |
|----------------------------------|------------|-------------|-----------|-----------|------------|-----------|-----------|--------------|
| Joint                            | OutputCase | CaseType    | U1        | U2        | U3         | R1        | R2        | R3           |
| Text                             | Text       | Text        | mm        | mm        | mm         | Radians   | Radians   | Radians      |
| 1                                | EGO_00     | Combination | -0.453242 | 0.209877  | -1.509817  | -0.000295 | -0.000197 | 0.000572     |
| 2                                | EGO_00     | Combination | -0.09493  | -0.283827 | -1.489687  | -0.000539 | -0.000503 | 0.000023     |
| 3                                | EGO_00     | Combination | -0.09184  | -0.121816 | -1.212556  | -0.000201 | -0.000262 | -0.000014    |
| 4                                | EGO_00     | Combination | -0.039515 | -0.024862 | -0.637741  | 0.00002   | -0.000065 | 0.000143     |
| 5                                | EGO_00     | Combination | 0         | 0         | 0          | 2.906E-07 | 0.000015  | 0.000132     |
| 6                                | EGO_00     | Combination | -0.001247 | -0.331221 | -0.567366  | 0.000116  | 0.000185  | -0.000242    |
| 7                                | EGO_00     | Combination | -0.046286 | 0.32299   | -0.645137  | -0.000132 | 0.00012   | 0.000194     |
| 8                                | EGO_00     | Combination | -0.341989 | -0.105115 | -0.370784  | 0.000084  | -0.000035 | 0.000017     |
| 9                                | EGO_00     | Combination | -0.180332 | 0.016412  | -0.42488   | -0.000046 | -0.000115 | -0.000089    |
| 10                               | EGO_00     | Combination | -0.076936 | -0.437057 | -0.041299  | -0.000109 | 0.000041  | 0.000033     |
| 11                               | EGO_00     | Combination | -0.02611  | 0.363116  | -0.028848  | -0.000098 | -0.000045 | -0.000055    |
| 12                               | EGO_00     | Combination | 0.302363  | 0.003588  | -0.035959  | -0.000015 | 0.000036  | 0.00003      |
| 13                               | EGO_00     | Combination | -0.110167 | -0.288477 | -0.900734  | -0.000137 | -0.000173 | 0.000013     |
| 14                               | EGO_00     | Combination | -0.05155  | -0.341464 | -1.10978   | 0.000291  | -0.001003 | 0.000182     |
| 15                               | EGO_00     | Combination | -0.10469  | -0.30323  | -1.152194  | 0.000636  | 0.000791  | 0.000029     |
| 16                               | EGO_00     | Combination | -0.072473 | -0.318187 | -0.766852  | 0.000161  | 0.000495  | -0.000051    |
| 17                               | EGO_00     | Combination | -0.087946 | -0.294744 | -5.284351  | -0.001854 | -0.002783 | -0.000016    |
| 18                               | EGO_00     | Combination | -0.058485 | -0.283368 | -2.108682  | 0.004473  | 0.000217  | 0.000003193  |
| 19                               | EGO_00     | Combination | -0.067091 | -0.276857 | -2.301466  | -0.001512 | 0.004069  | 0.000019     |
| 20                               | EGO_00     | Combination | -0.063836 | -0.302225 | -3.73133   | 0.002552  | -0.001713 | -0.000018    |
| 21                               | EGO_00     | Combination | -0.08892  | -0.284267 | -2.471892  | -0.003122 | 0.003937  | -0.000024    |
| 22                               | EGO_00     | Combination | -0.079192 | -0.292331 | -9.909761  | 0.001242  | -0.001221 | 0.000007325  |
| 23                               | EGO_00     | Combination | -0.069309 | -0.268948 | -5.974508  | 0.002109  | 0.001635  | -0.00002     |
| 24                               | EGO_00     | Combination | -0.256349 | 0.215755  | -1.196865  | 0.000292  | 0.000488  | -0.000668    |
| 25                               | EGO_00     | Combination | -0.049882 | -0.306026 | -1.294344  | -0.000079 | 0.003393  | 0.000009477  |
| 26                               | EGO_00     | Combination | -0.070443 | -0.288653 | -7.857009  | 0.003192  | -0.000297 | -0.000012    |
| 27                               | EGO_00     | Combination | -0.074125 | -0.311198 | -2.640518  | -0.000812 | -0.003513 | -0.000011    |
| 28                               | EGO_00     | Combination | -0.1113   | -0.269352 | -1.564332  | -0.006395 | -0.000463 | -0.000005944 |
| 29                               | EGO_00     | Combination | -0.055709 | -0.295155 | -4.671663  | 0.001487  | -0.002885 | -0.000035    |
| 30                               | EGO_00     | Combination | -0.153843 | 0.011432  | -2.445438  | 0.000139  | 0.02011   | -0.000039    |
| 31                               | EGO_00     | Combination | -0.145802 | 0.021107  | -12.55138  | 0.003384  | -0.003126 | 0.000008759  |
| 32                               | EGO_00     | Combination | -0.024232 | 0.016606  | -0.759903  | -0.000198 | 0.000099  | -0.00001     |
| 33                               | EGO_00     | Combination | -0.079275 | -0.272986 | -10.033266 | 0.001292  | 0.00146   | -0.000007582 |
| 34                               | EGO_00     | Combination | -0.08682  | -0.274621 | -11.99164  | -0.000635 | 0.001179  | -0.000024    |
| 35                               | EGO_00     | Combination | -0.088635 | -0.276929 | -11.752128 | 0.000429  | 0.000527  | 0.000005653  |
| 36                               | EGO_00     | Combination | -0.069857 | -0.284842 | -9.330715  | -0.000037 | -0.00289  | -0.000003866 |
| 37                               | EGO_00     | Combination | -0.055197 | -0.296991 | -2.929912  | 0.001739  | -0.000198 | -0.000034    |
| 38                               | EGO_00     | Combination | -0.095262 | -0.278249 | -1.47794   | -0.001531 | -0.00034  | 0.000025     |
| 39                               | EGO_00     | Combination | -0.032714 | -0.327736 | -3.3094    | 0.000504  | -0.001764 | -0.000188    |
| 40                               | EGO_00     | Combination | -0.081755 | -0.271935 | -11.972722 | 0.000484  | -0.00028  | 0.000004939  |
| 41                               | EGO_00     | Combination | -0.060489 | -0.298669 | -4.885041  | 0.001702  | -0.002914 | 0.000025     |
| 42                               | EGO_00     | Combination | -0.097524 | -0.267167 | -7.842741  | -0.005972 | 0.001064  | 0.000008008  |
| 43                               | EGO_00     | Combination | -0.085721 | -0.261033 | -7.792189  | -0.000306 | 0.003184  | -0.000005748 |
| 44                               | EGO_00     | Combination | -0.078256 | -0.276367 | -11.296217 | 0.000311  | -0.000762 | -0.000013    |

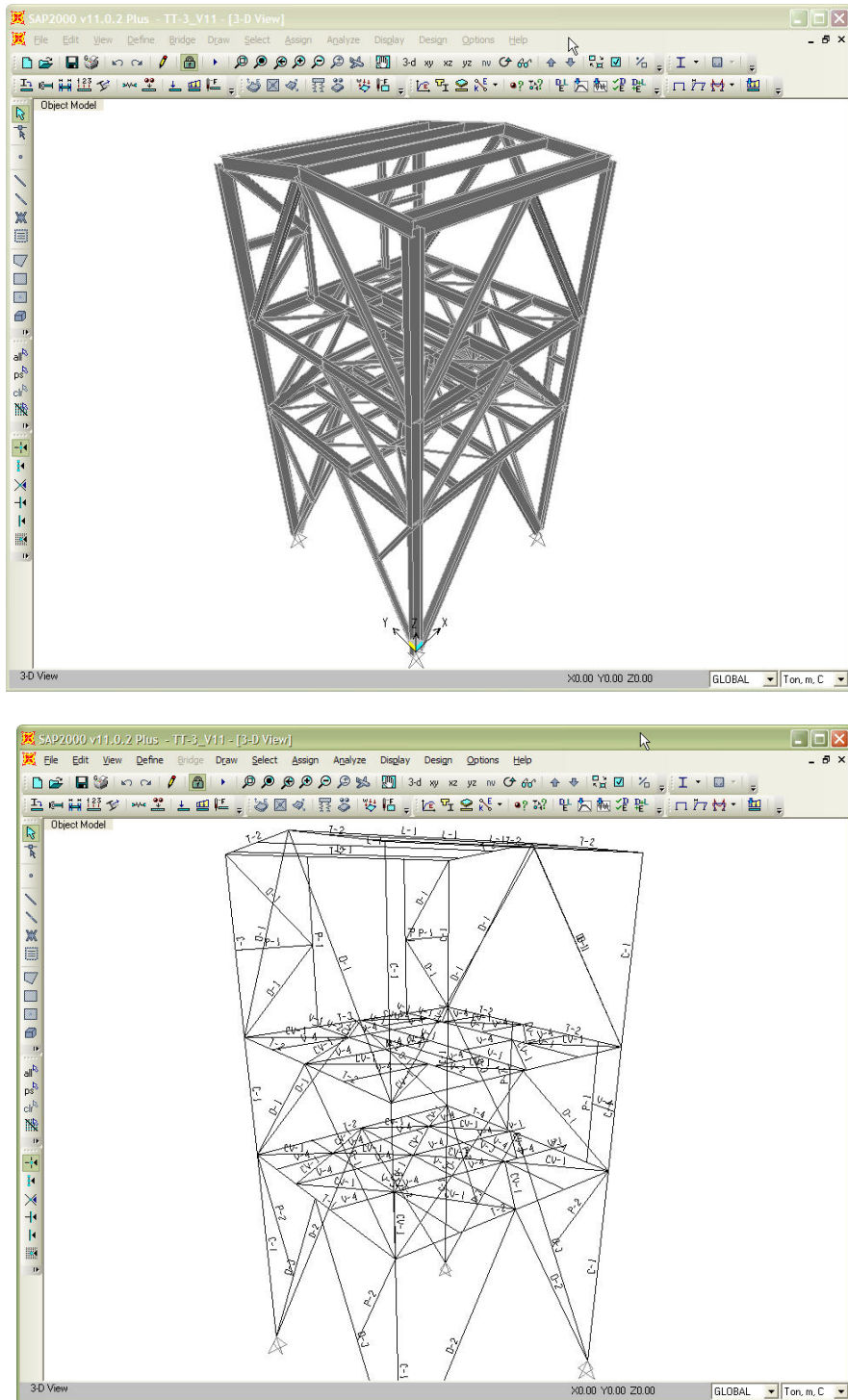
Tabla 35. Ejemplo de desplazamientos de nodos pertenecientes a la torre TT-2

| TABLA DE RESUMEN DE RELACION DE INTERACCION DISEÑO |            |            |              |          |             |        |          |             |
|--|------------|------------|--------------|----------|-------------|--------|----------|-------------|
| Frame  | DesignSect | DesignType | Status       | Ratio    | RatioType   | Combo  | Location | WarnMsg     |
| Text   | Text       | Text       | Text         | Unitless | Text        | Text   | cm       | Text        |
| 1  | C-1        | Column     | No Messages  | 0.376319 | PMM         | EGO_10 | 358.2    | No Messages |
| 25   | C-1        | Column     | No Messages  | 0.495054 | PMM         | EGO_10 | 0        | No Messages |
| 50   | C-1        | Column     | No Messages  | 0.589348 | PMM         | EGO_10 | 0        | No Messages |
| 53   | C-1        | Column     | No Messages  | 0.680188 | PMM         | EGO_10 | 0        | No Messages |
| 65   | T-3        | Beam       | No Messages  | 0.365629 | PMM         | EGO_10 | 315      | No Messages |
| 70   | T-3        | Beam       | No Messages  | 0.369861 | PMM         | EGO_10 | 324.238  | No Messages |
| 71   | T-3        | Beam       | Overstressed | 0.959505 | PMM         | EGO_10 | 400      | No Messages |
| 72   | T-3        | Beam       | No Messages  | 0.507072 | PMM         | EGO_28 | 0        | No Messages |
| 73   | T-3        | Beam       | No Messages  | 0.573393 | PMM         | EGO_10 | 312.456  | No Messages |
| 74   | V-1        | Beam       | No Messages  | 0.088979 | PMM         | EGO_10 | 268.105  | No Messages |
| 75   | V-1        | Beam       | No Messages  | 0.078711 | PMM         | EGO_10 | 279.363  | No Messages |
| 76   | V-1        | Beam       | No Messages  | 0.082402 | PMM         | EGO_10 | 221.841  | No Messages |
| 77   | V-1        | Beam       | No Messages  | 0.069951 | PMM         | EGO_10 | 254.571  | No Messages |
| 78   | T-2        | Beam       | No Messages  | 0.493877 | PMM         | EGO_10 | 630      | No Messages |
| 79   | T-1        | Beam       | No Messages  | 0.499772 | PMM         | EGO_10 | 324.238  | No Messages |
| 80   | T-2        | Beam       | No Messages  | 0.522711 | Major Shear | EGO_01 | 400      | No Messages |
| 81   | T-2        | Beam       | No Messages  | 0.824208 | PMM         | EGO_10 | 0        | No Messages |
| 82   | T-2        | Beam       | No Messages  | 0.700301 | PMM         | EGO_10 | 624.911  | No Messages |
| 87   | V-2        | Beam       | No Messages  | 0.504964 | PMM         | EGO_01 | 229.912  | No Messages |
| 88   | CV-1       | Beam       | No Messages  | 0.265183 | PMM         | EGO_10 | 147.762  | No Messages |
| 89   | V-2        | Beam       | No Messages  | 0.530675 | PMM         | EGO_01 | 112.894  | No Messages |
| 90   | V-2        | Beam       | No Messages  | 0.287858 | PMM         | EGO_10 | 154.538  | No Messages |
| 93   | CV-1       | Beam       | No Messages  | 0.389742 | PMM         | EGO_28 | 90.706   | No Messages |
| 94   | CV-1       | Beam       | No Messages  | 0.067612 | PMM         | EGO_10 | 81.501   | No Messages |
| 95   | V-1        | Beam       | No Messages  | 0.166108 | PMM         | EGO_10 | 55.003   | No Messages |
| 96   | V-1        | Beam       | No Messages  | 0.097276 | PMM         | EGO_28 | 139.701  | No Messages |
| 98   | CV-1       | Beam       | No Messages  | 0.404758 | PMM         | EGO_10 | 93.831   | No Messages |
| 115  | CV-1       | Beam       | No Messages  | 0.1649   | PMM         | EGO_10 | 133.93   | No Messages |
| 116  | CV-1       | Beam       | No Messages  | 0.251013 | PMM         | EGO_10 | 90.686   | No Messages |
| 117  | CV-1       | Beam       | No Messages  | 0.5979   | PMM         | EGO_10 | 140.821  | No Messages |
| 118  | CV-1       | Beam       | No Messages  | 0.245813 | PMM         | EGO_28 | 138.402  | No Messages |
| 123  | C-1        | Column     | No Messages  | 0.196768 | PMM         | EGO_28 | 358.2    | No Messages |
| 124  | C-1        | Column     | No Messages  | 0.585672 | PMM         | EGO_10 | 248.3    | No Messages |
| 125  | C-1        | Column     | No Messages  | 0.477336 | PMM         | EGO_10 | 0        | No Messages |
| 126  | C-1        | Column     | No Messages  | 0.631184 | PMM         | EGO_10 | 0        | No Messages |
| 127  | C-1        | Column     | No Messages  | 0.342435 | PMM         | EGO_28 | 358.2    | No Messages |
| 128  | C-1        | Column     | No Messages  | 0.644297 | PMM         | EGO_10 | 0        | No Messages |
| 129  | C-1        | Column     | No Messages  | 0.640124 | PMM         | EGO_10 | 0        | No Messages |
| 130  | C-1        | Column     | No Messages  | 0.704518 | PMM         | EGO_10 | 0        | No Messages |
| 131  | C-1        | Column     | No Messages  | 0.080445 | PMM         | EGO_16 | 0        | No Messages |
| 132  | C-1        | Column     | No Messages  | 0.210544 | PMM         | EGO_10 | 0        | No Messages |
| 133  | C-1        | Column     | No Messages  | 0.598821 | PMM         | EGO_10 | 0        | No Messages |
| 134  | C-1        | Column     | No Messages  | 0.615437 | PMM         | EGO_10 | 0        | No Messages |
| 135  | C-1        | Column     | No Messages  | 0.597192 | PMM         | EGO_10 | 392.312  | No Messages |

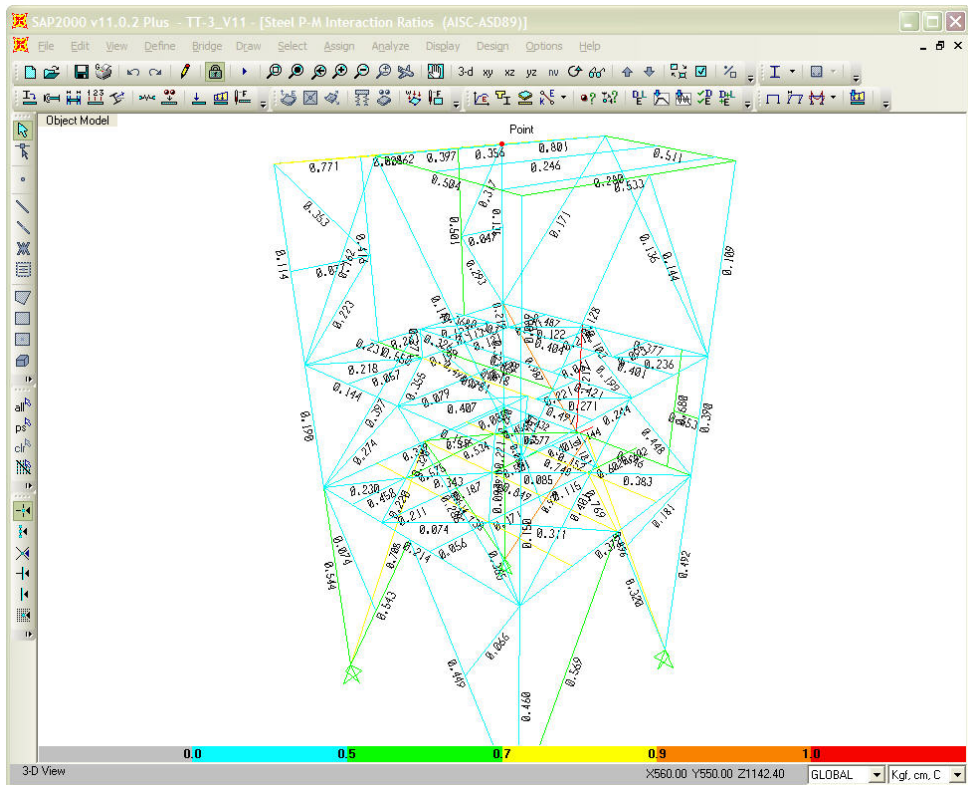
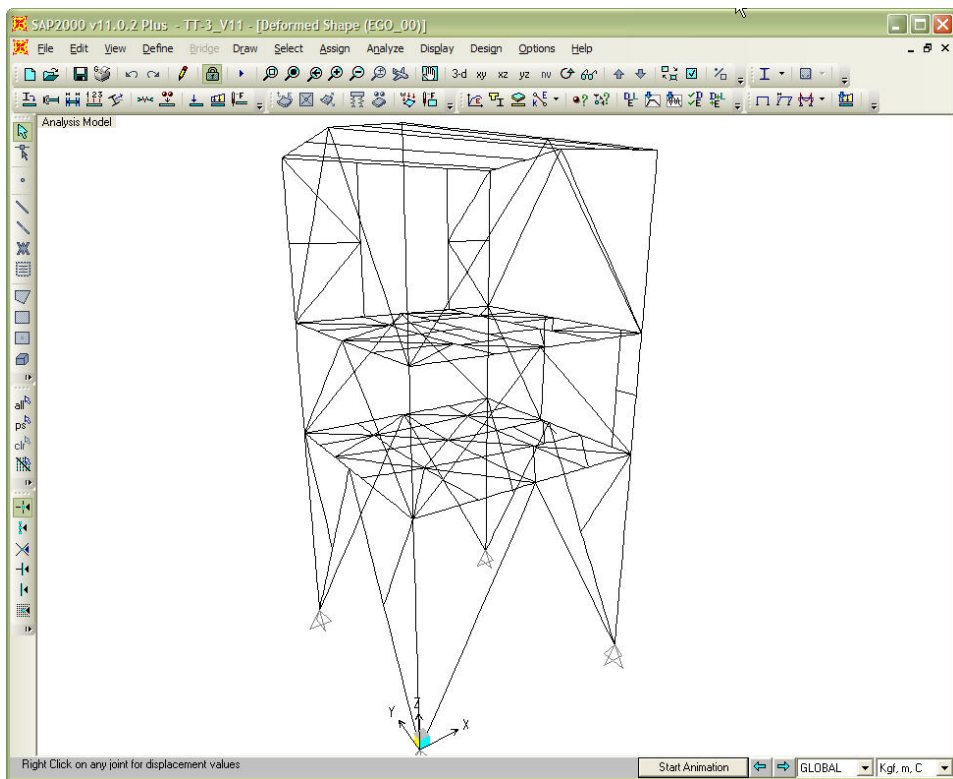
**Tabla 36. Relaciones de Interacción de diseño de elementos estructurales para TT-2.**

### V.2.3 TORRE TT-3.

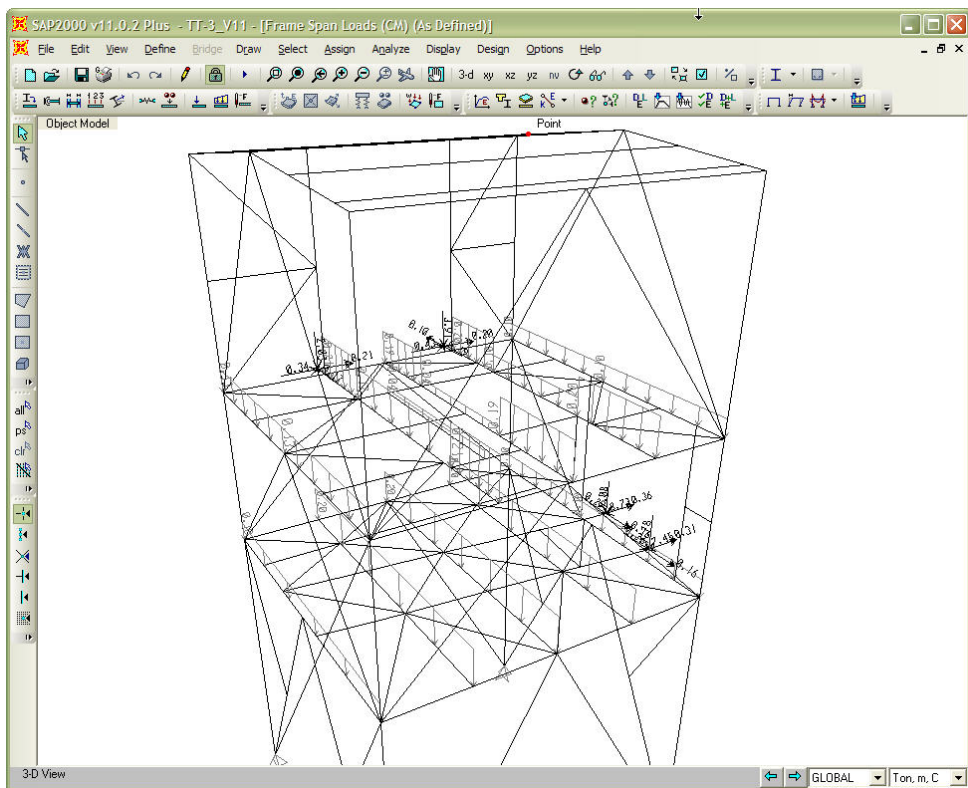
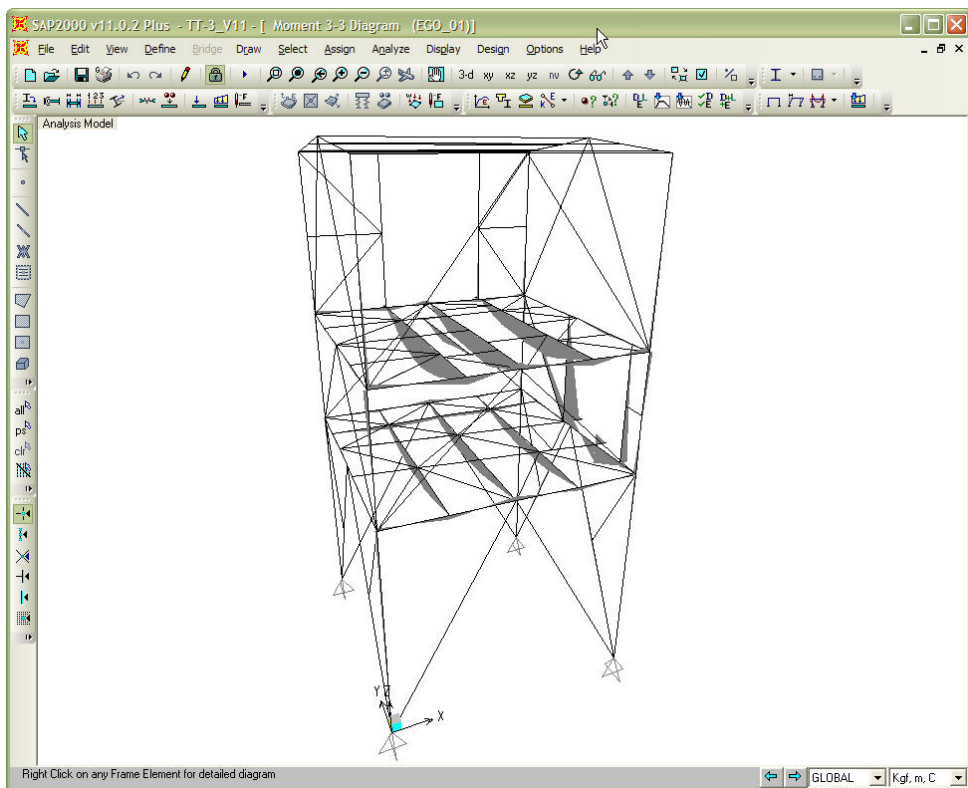
Aquí se muestran 5 figuras básicas extraídas del modelo estructural realizado como son:



**Fig. 60 Vista general en 3D del modelo (arriba)  
Asignación de marcas a perfiles para TT-3 (abajo)**



**Fig. 61 Deformada de la estructura por cargas verticales (arriba)  
Relaciones de interacción máximas de elementos estructurales para torre TT-3 (abajo)**



**Fig. 62 Ejemplo de diagrama de momentos por cargas verticales (arriba)  
Ejemplo de asignación de cargas en la estructura para torre TT-3 (abajo)**

A continuación se muestran tablas de resumen de resultados extraídas del modelo elaborado como son:

| TABLA DE REACCIONES BASE POR TIPO DE CARGA |            |             |          |          |           |          |          |       |       |       |
|--|------------|-------------|----------|----------|-----------|----------|----------|-------|-------|-------|
| Joint                                      | OutputCase | CaseType    | StepType | StepNum  | F1        | F2       | F3       | M1    | M2    | M3    |
| Text                                       | Text       | Text        | Text     | Unitless | Ton       | Ton      | Ton      | Ton-m | Ton-m | Ton-m |
| 60   | DEAD       | LinStatic   |          |          | 4.8499    | -0.2297  | 11.4968  | 0     | 0     | 0     |
| 60   | MODAL      | LinModal    | Mode     | 1        | -0.0032   | -0.0033  | 0.0143   | 0     | 0     | 0     |
| 60   | MODAL      | LinModal    | Mode     | 2        | 0.0098    | 0.0281   | 0.1977   | 0     | 0     | 0     |
| 60   | MODAL      | LinModal    | Mode     | 3        | 3.4545    | 0.3773   | 12.7292  | 0     | 0     | 0     |
| 60   | MODAL      | LinModal    | Mode     | 4        | -3.4512   | -13.5905 | -46.3131 | 0     | 0     | 0     |
| 60   | MODAL      | LinModal    | Mode     | 5        | 2.666     | 0.442    | 8.2761   | 0     | 0     | 0     |
| 60   | MODAL      | LinModal    | Mode     | 6        | 0.2213    | 0.4557   | 10.5087  | 0     | 0     | 0     |
| 60   | MODAL      | LinModal    | Mode     | 7        | -1.6269   | -3.4357  | -10.4252 | 0     | 0     | 0     |
| 60   | MODAL      | LinModal    | Mode     | 8        | 24.5928   | 2.5195   | 65.6401  | 0     | 0     | 0     |
| 60   | MODAL      | LinModal    | Mode     | 9        | -6.5845   | 0.7594   | -11.3098 | 0     | 0     | 0     |
| 60   | MODAL      | LinModal    | Mode     | 10       | -2.3394   | -0.0954  | -8.296   | 0     | 0     | 0     |
| 60   | MODAL      | LinModal    | Mode     | 11       | 11.5285   | -6.1623  | -4.0203  | 0     | 0     | 0     |
| 60   | MODAL      | LinModal    | Mode     | 12       | -0.777    | 0.5809   | 6.8246   | 0     | 0     | 0     |
| 60   | CV         | LinStatic   |          |          | 1.1943    | 0.2774   | 6.8738   | 0     | 0     | 0     |
| 60   | VIENTO     | LinStatic   |          |          | -0.1076   | -0.684   | -2.8054  | 0     | 0     | 0     |
| 60   | OPERA      | LinStatic   |          |          | 0.87      | -0.0046  | 3.8015   | 0     | 0     | 0     |
| 60   | SX         | LinRespSpec | Max      |          | 6.0846    | 0.5267   | 15.8916  | 0     | 0     | 0     |
| 60   | SY         | LinRespSpec | Max      |          | 1.5272    | 5.7235   | 19.6375  | 0     | 0     | 0     |
| 60   | SZ         | LinRespSpec | Max      |          | 4.0564    | 0.3511   | 10.5944  | 0     | 0     | 0     |
| 60   | CV_RED     | LinStatic   |          |          | 1.0534    | 0.2892   | 6.6528   | 0     | 0     | 0     |
| 161  | DEAD       | LinStatic   |          |          | 3.8395    | 4.2742   | 7.7935   | 0     | 0     | 0     |
| 161  | MODAL      | LinModal    | Mode     | 1        | 0.0002334 | -0.3728  | -1.5066  | 0     | 0     | 0     |
| 161  | MODAL      | LinModal    | Mode     | 2        | 0.011     | 0.8588   | 1.3473   | 0     | 0     | 0     |
| 161  | MODAL      | LinModal    | Mode     | 3        | 3.4497    | -0.064   | -11.5714 | 0     | 0     | 0     |
| 161  | MODAL      | LinModal    | Mode     | 4        | -3.3738   | -22.1028 | -34.6133 | 0     | 0     | 0     |
| 161  | MODAL      | LinModal    | Mode     | 5        | -2.5578   | 0.4439   | 7.3618   | 0     | 0     | 0     |
| 161  | MODAL      | LinModal    | Mode     | 6        | 0.5193    | 0.8713   | 5.051    | 0     | 0     | 0     |
| 161  | MODAL      | LinModal    | Mode     | 7        | -1.6449   | -7.0492  | -7.8732  | 0     | 0     | 0     |
| 161  | MODAL      | LinModal    | Mode     | 8        | 24.7915   | -2.0577  | -62.4925 | 0     | 0     | 0     |
| 161  | MODAL      | LinModal    | Mode     | 9        | -5.7183   | -0.1929  | 9.6817   | 0     | 0     | 0     |
| 161  | MODAL      | LinModal    | Mode     | 10       | -2.3672   | -3.7047  | -19.8219 | 0     | 0     | 0     |
| 161  | MODAL      | LinModal    | Mode     | 11       | 11.6997   | 8.9287   | -16.1136 | 0     | 0     | 0     |
| 161  | MODAL      | LinModal    | Mode     | 12       | -0.9234   | -0.2641  | 6.0275   | 0     | 0     | 0     |
| 161  | CV         | LinStatic   |          |          | -0.4761   | 0.8865   | 6.3984   | 0     | 0     | 0     |
| 161  | VIENTO     | LinStatic   |          |          | -0.0923   | -0.2176  | -0.9569  | 0     | 0     | 0     |
| 161  | OPERA      | LinStatic   |          |          | 0.5291    | 0.6811   | 3.3443   | 0     | 0     | 0     |
| 161  | SX         | LinRespSpec | Max      |          | 6.0839    | 0.4886   | 15.1404  | 0     | 0     | 0     |
| 161  | SY         | LinRespSpec | Max      |          | 1.4901    | 9.3416   | 14.4988  | 0     | 0     | 0     |
| 161  | SZ         | LinRespSpec | Max      |          | 4.0559    | 0.3258   | 10.0936  | 0     | 0     | 0     |
| 161  | CV_RED     | LinStatic   |          |          | -0.6169   | 0.7685   | 6.3215   | 0     | 0     | 0     |
| 163  | DEAD       | LinStatic   |          |          | 2.8558    | -3.1589  | 10.1912  | 0     | 0     | 0     |

**Tabla 37. Descargas de columnas a cimentación de la torre TT-3 por tipo de carga.**

| TABLA DE DESPLAZAMIENTOS MAXIMOS |            |             |           |           |            |              |              |           |
|----------------------------------|------------|-------------|-----------|-----------|------------|--------------|--------------|-----------|
| Joint                            | OutputCase | CaseType    | U1        | U2        | U3         | R1           | R2           | R3        |
| Text                             | Text       | Text        | mm        | mm        | mm         | Radians      | Radians      | Radians   |
| 1                                | EGO_00     | Combination | -1.665317 | 0.073536  | -12.681667 | 0.002015     | 0.000108     | -0.000127 |
| 2                                | EGO_00     | Combination | -0.711602 | 3.338695  | -0.943656  | -0.000842    | -0.000017    | -0.0038   |
| 3                                | EGO_00     | Combination | -1.643302 | 0.106159  | -11.695558 | 0.002225     | 0.001886     | -0.000038 |
| 4                                | EGO_00     | Combination | -0.71296  | -0.34084  | -0.843785  | -0.00012     | 0.000032     | -0.000533 |
| 5                                | EGO_00     | Combination | -1.698309 | 0.057776  | -11.022906 | -0.002903    | 0.001462     | -0.000076 |
| 6                                | EGO_00     | Combination | -0.610811 | 2.778136  | -0.807763  | -0.000924    | 0.000023     | 0.001766  |
| 7                                | EGO_00     | Combination | -1.580229 | 0.179093  | -6.586258  | 0.001875     | 0.006513     | -0.000022 |
| 8                                | EGO_00     | Combination | -0.609163 | 0.192803  | -0.583205  | -0.000116    | 0.000037     | 0.00131   |
| 9                                | EGO_00     | Combination | -1.646598 | 0.14535   | -9.397262  | 0.285906     | 2.77717      | -0.000076 |
| 10                               | EGO_00     | Combination | 0.224972  | -0.175246 | -1.003823  | -0.000135    | 0.000039     | -0.002453 |
| 11                               | EGO_00     | Combination | -1.18365  | -0.175192 | -0.51609   | 0.00019      | 0.000063     | -0.002451 |
| 12                               | EGO_00     | Combination | -1.258645 | -0.275926 | -0.597617  | -0.000064    | -0.000001102 | -0.000806 |
| 13                               | EGO_00     | Combination | -1.325621 | -0.203984 | -0.470716  | 0.000143     | -0.000101    | 0.000622  |
| 16                               | EGO_00     | Combination | -1.324781 | -0.261521 | -0.887815  | 0.00021      | -0.004001    | -0.000591 |
| 17                               | EGO_00     | Combination | -2.108685 | -0.51599  | -82.436856 | 0.083376     | 0.155407     | -0.00072  |
| 18                               | EGO_00     | Combination | -1.287217 | 0.257634  | -0.498106  | -0.000055    | 0.004242     | -0.000279 |
| 20                               | EGO_00     | Combination | -2.03986  | -0.258574 | -153.13298 | 0.043824     | 0.49921      | -0.000155 |
| 21                               | EGO_00     | Combination | -0.573998 | 4.073004  | -0.808579  | 0.00002      | 0.000112     | 0.00235   |
| 22                               | EGO_00     | Combination | -0.726673 | 0.085342  | -0.896871  | -0.002289    | 0.000054     | -0.000152 |
| 23                               | EGO_00     | Combination | -0.612622 | 3.926854  | -0.941477  | 0.000017     | -0.000027    | -0.003001 |
| 24                               | EGO_00     | Combination | -0.694219 | -0.266176 | -1.063423  | -0.003616    | -0.00000652  | -0.000252 |
| 27                               | EGO_00     | Combination | -1.286762 | 0.170627  | -5.779227  | 0.00462      | 0.002635     | -0.000228 |
| 28                               | EGO_00     | Combination | -1.302125 | -0.020047 | -5.912952  | 0.004639     | -0.002502    | -0.000276 |
| 29                               | EGO_00     | Combination | -0.662822 | 0.08603   | -1.756353  | -0.002732    | 0.000054     | -0.000225 |
| 30                               | EGO_00     | Combination | -0.59569  | -0.265754 | -2.230856  | -0.003673    | 0.013403     | -0.000344 |
| 33                               | EGO_00     | Combination | -1.019543 | 0.372002  | -0.379027  | -0.00004     | -0.000008171 | -0.000023 |
| 35                               | EGO_00     | Combination | -1.648743 | 0.126415  | -9.936586  | -0.002079    | 0.001375     | 0.000014  |
| 36                               | EGO_00     | Combination | -0.766484 | -0.383506 | -1.046132  | 0.000107     | -0.001882    | 0.000434  |
| 37                               | EGO_00     | Combination | -0.951883 | -0.374255 | -1.324926  | -0.000222    | -0.001642    | 0.000378  |
| 38                               | EGO_00     | Combination | -0.954455 | -0.252865 | -3.452992  | -0.001339    | -0.001629    | -0.000142 |
| 39                               | EGO_00     | Combination | -0.806462 | 0.236712  | -0.793122  | -0.000032    | 0.00277      | -0.000076 |
| 40                               | EGO_00     | Combination | -1.004971 | 0.239564  | -0.727488  | -0.000029    | 0.002818     | -0.000101 |
| 41                               | EGO_00     | Combination | -1.004869 | 0.082883  | -5.66463   | -0.002528    | 0.002794     | -0.000061 |
| 42                               | EGO_00     | Combination | -1.293988 | 0.07522   | -7.474011  | 0.006191     | 0.00004      | -0.000263 |
| 43                               | EGO_00     | Combination | -0.88705  | -0.046094 | -3.545066  | 0.000002106  | -0.001887    | -0.000035 |
| 44                               | EGO_00     | Combination | -0.906076 | -0.138376 | -0.191318  | -0.000183    | -0.000237    | -0.000157 |
| 45                               | EGO_00     | Combination | -0.922984 | 0.356259  | -0.197393  | 0.000093     | -0.000301    | 0.000038  |
| 57                               | EGO_00     | Combination | -1.147312 | 0.240774  | -0.37177   | -0.000326    | 0.000199     | -0.000084 |
| 59                               | EGO_00     | Combination | -1.306985 | 0.129744  | -0.316752  | 0.000033     | 0.000062     | 0.000103  |
| 60                               | EGO_00     | Combination | 0         | 0         | 0          | -0.00015     | -0.000408    | -0.000276 |
| 61                               | EGO_00     | Combination | -0.85942  | -0.270765 | -0.59839   | 0.000288     | -0.000027    | -0.000395 |
| 63                               | EGO_00     | Combination | -1.210589 | -0.196485 | -0.464611  | -0.000903    | -0.000136    | 0.00072   |
| 65                               | EGO_00     | Combination | -1.021389 | 0.279392  | -0.413868  | 0.000085     | 0.000068     | -0.000203 |
| 67                               | EGO_00     | Combination | -0.915374 | 0.076551  | -0.175985  | -0.000009043 | 0.000041     | -0.000165 |

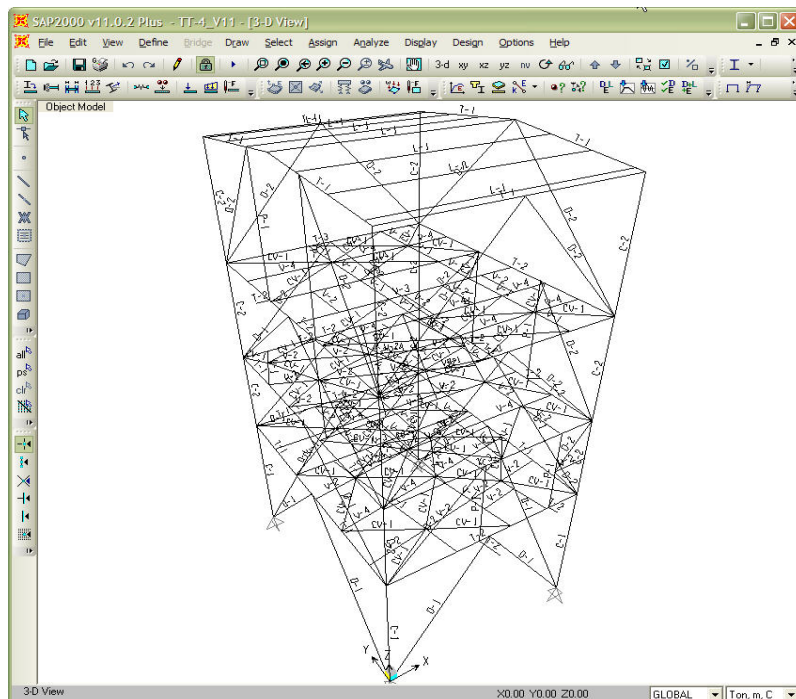
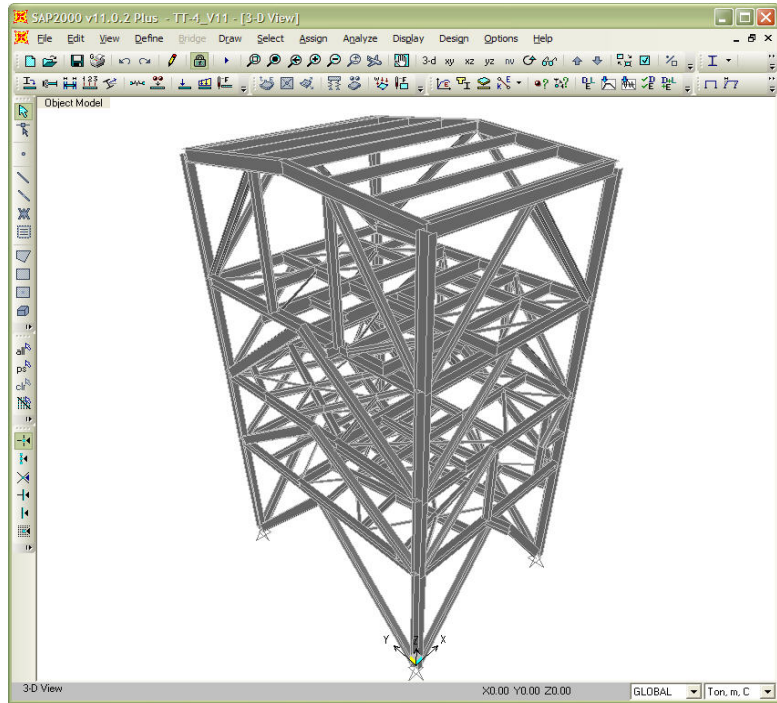
**Tabla 38. Ejemplo de desplazamientos de nodos pertenecientes a la torre TT-3**

| TABLA DE RESUMEN DE RELACION DE INTERACCION DISEÑO |            |            |             |          |             |        |          |             |
|--|------------|------------|-------------|----------|-------------|--------|----------|-------------|
| Frame  | DesignSect | DesignType | Status      | Ratio    | RatioType   | Combo  | Location | WarnMsg     |
| Text   | Text       | Text       | Text        | Unitless | Text        | Text   | cm       | Text        |
| 40   | C-1        | Column     | No Messages | 0.088684 | PMM         | EGO_17 | 358.2    | No Messages |
| 41   | C-1        | Column     | No Messages | 0.150475 | PMM         | EGO_10 | 0        | No Messages |
| 42   | C-1        | Column     | No Messages | 0.459967 | PMM         | EGO_10 | 0        | No Messages |
| 44   | T-1        | Beam       | No Messages | 0.214212 | PMM         | EGO_10 | 275      | No Messages |
| 45   | T-2        | Beam       | No Messages | 0.37153  | PMM         | EGO_10 | 0        | No Messages |
| 46   | T-2        | Beam       | No Messages | 0.339289 | PMM         | EGO_10 | 280      | No Messages |
| 52   | V-3        | Beam       | No Messages | 0.748469 | PMM         | EGO_01 | 376.584  | No Messages |
| 91   | V-4        | Beam       | No Messages | 0.152222 | PMM         | EGO_10 | 140      | No Messages |
| 100  | V-3        | Beam       | No Messages | 0.737839 | PMM         | EGO_01 | 300.688  | No Messages |
| 105  | T-1        | Beam       | No Messages | 0.286989 | Major Shear | EGO_01 | 280      | No Messages |
| 106  | T-3        | Beam       | No Messages | 0.293782 | Major Shear | EGO_01 | 384      | No Messages |
| 109  | V-4        | Beam       | No Messages | 0.121091 | PMM         | EGO_10 | 140      | No Messages |
| 110  | V-4        | Beam       | No Messages | 0.060705 | PMM         | EGO_10 | 0        | No Messages |
| 136  | V-4        | Beam       | No Messages | 0.199396 | PMM         | EGO_28 | 52.5     | No Messages |
| 145  | V-4        | Beam       | No Messages | 0.221352 | PMM         | EGO_10 | 0        | No Messages |
| 192  | V-4        | Beam       | No Messages | 0.618222 | PMM         | EGO_01 | 138      | No Messages |
| 193  | V-4        | Beam       | No Messages | 0.218672 | PMM         | EGO_01 | 0        | No Messages |
| 195  | V-4        | Beam       | No Messages | 0.113111 | PMM         | EGO_10 | 140      | No Messages |
| 196  | C-1        | Column     | No Messages | 0.108509 | PMM         | EGO_01 | 358.2    | No Messages |
| 197  | C-1        | Column     | No Messages | 0.390195 | PMM         | EGO_28 | 273.3    | No Messages |
| 198  | C-1        | Column     | No Messages | 0.49182  | PMM         | EGO_01 | 0        | No Messages |
| 199  | C-1        | Column     | No Messages | 0.135389 | PMM         | EGO_01 | 358.2    | No Messages |
| 200  | C-1        | Column     | No Messages | 0.323268 | PMM         | EGO_28 | 0        | No Messages |
| 201  | C-1        | Column     | No Messages | 0.604326 | PMM         | EGO_10 | 0        | No Messages |
| 202  | C-1        | Column     | No Messages | 0.113613 | PMM         | EGO_17 | 0        | No Messages |
| 203  | C-1        | Column     | No Messages | 0.1905   | PMM         | EGO_10 | 0        | No Messages |
| 204  | C-1        | Column     | No Messages | 0.543948 | PMM         | EGO_10 | 0        | No Messages |
| 205  | T-2        | Brace      | No Messages | 0.800819 | PMM         | EGO_10 | 0        | No Messages |
| 206  | T-2        | Brace      | No Messages | 0.510915 | PMM         | EGO_10 | 276.372  | No Messages |
| 207  | T-2        | Brace      | No Messages | 0.770636 | PMM         | EGO_10 | 0        | No Messages |
| 208  | T-2        | Brace      | No Messages | 0.503958 | PMM         | EGO_10 | 276.372  | No Messages |
| 209  | T-2        | Beam       | No Messages | 0.604359 | PMM         | EGO_10 | 560      | No Messages |
| 210  | T-2        | Beam       | No Messages | 0.532515 | PMM         | EGO_10 | 0        | No Messages |
| 211  | L-1        | Beam       | No Messages | 0.355869 | PMM         | EGO_17 | 280      | No Messages |
| 212  | L-1        | Beam       | No Messages | 0.861638 | PMM         | EGO_17 | 280      | No Messages |
| 213  | L-1        | Beam       | No Messages | 0.397295 | PMM         | EGO_17 | 280      | No Messages |
| 214  | L-1        | Beam       | No Messages | 0.245593 | PMM         | EGO_10 | 560      | No Messages |
| 215  | L-1        | Beam       | No Messages | 0.279808 | PMM         | EGO_10 | 560      | No Messages |
| 216  | D-1        | Brace      | No Messages | 0.162468 | PMM         | EGO_10 | 473.698  | No Messages |
| 217  | D-1        | Brace      | No Messages | 0.141066 | PMM         | EGO_10 | 473.698  | No Messages |
| 218  | D-1        | Brace      | No Messages | 0.274028 | PMM         | EGO_28 | 193.854  | No Messages |
| 219  | D-1        | Brace      | No Messages | 0.285897 | PMM         | EGO_28 | 193.854  | No Messages |
| 220  | D-3        | Brace      | No Messages | 0.542755 | PMM         | EGO_28 | 580.21   | No Messages |
| 221  | D-3        | Brace      | No Messages | 0.44921  | PMM         | EGO_28 | 580.21   | No Messages |
| 222  | D-1        | Brace      | No Messages | 0.400679 | PMM         | EGO_10 | 195.635  | No Messages |

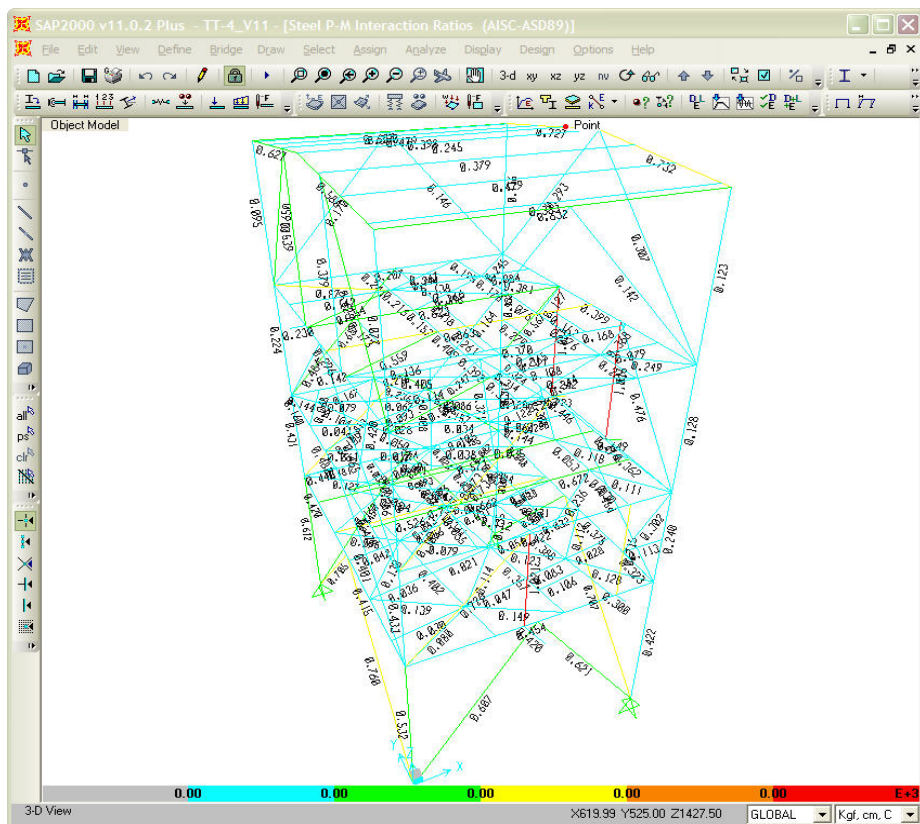
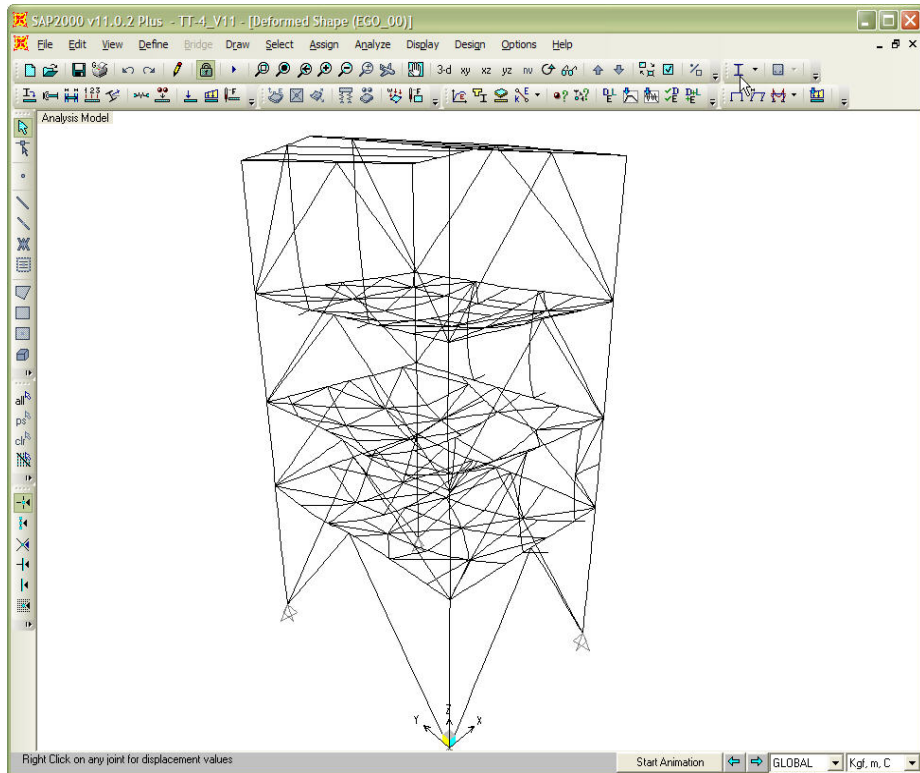
**Tabla 39. Relaciones de Interacción de diseño de elementos estructurales para TT-3.**

#### V.2.4 TORRE TT-4.

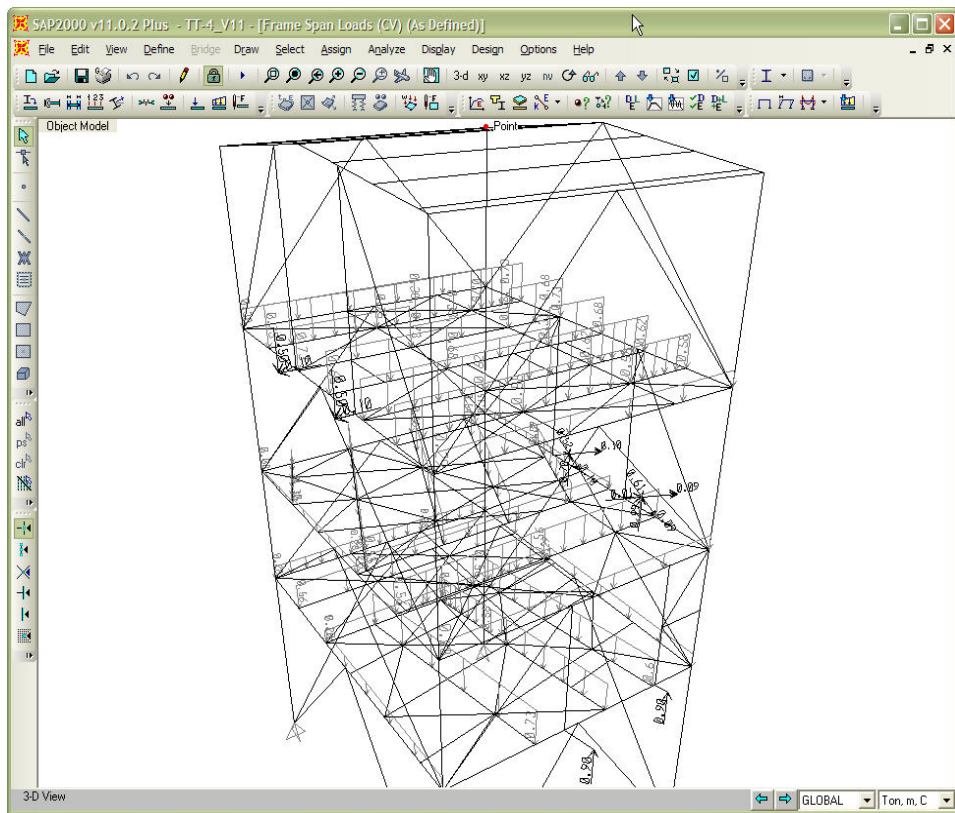
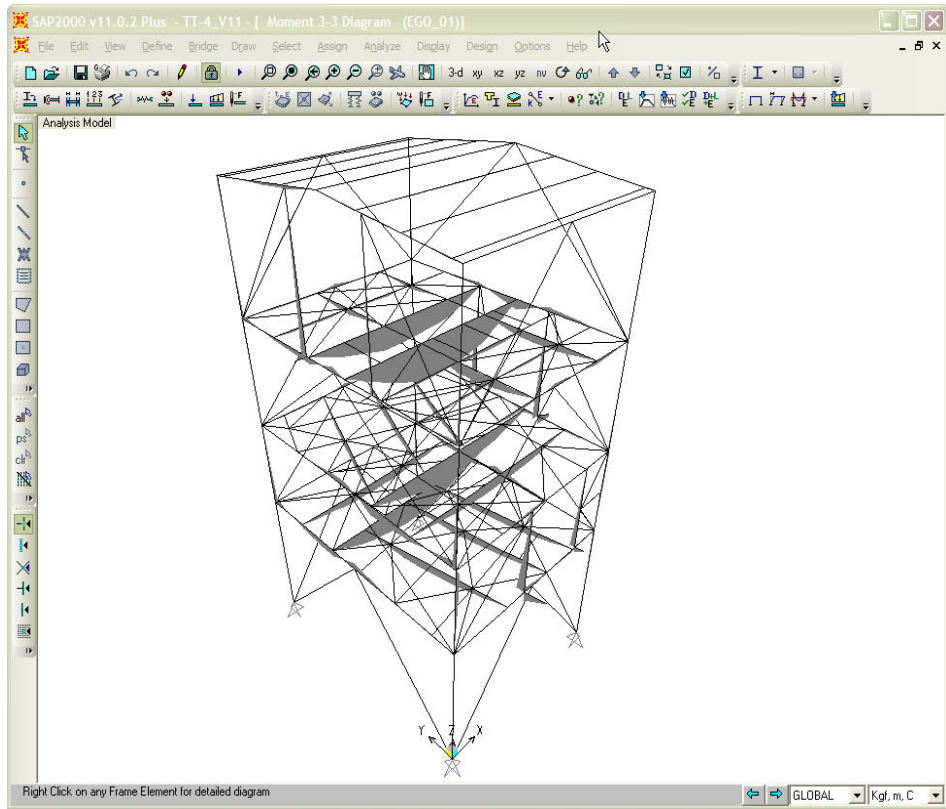
Aquí se muestran 5 figuras básicas extraídas del modelo estructural realizado como son:



**Fig. 63 Vista general en 3D del modelo (arriba)  
Asignación de marcas a perfiles para TT-4 (abajo)**



**Fig. 64 Deformada de la estructura por cargas verticales (arriba)  
Relaciones de interacción máximas de elementos estructurales para torre TT-4 (abajo)**



**Fig. 65 Ejemplo de diagrama de momentos por cargas verticales (arriba)  
Ejemplo de asignación de cargas en la estructura para torre TT-4 (abajo)**

A continuación se muestran tablas de resumen de resultados extraídas del modelo elaborado como son:

| TABLA DE REACCIONES BASE POR TIPO DE CARGA |            |             |          |          |          |          |          |       |       |       |
|--|------------|-------------|----------|----------|----------|----------|----------|-------|-------|-------|
| Joint                                      | OutputCase | CaseType    | StepType | StepNum  | F1       | F2       | F3       | M1    | M2    | M3    |
| Text                                       | Text       | Text        | Text     | Unitless | Ton      | Ton      | Ton      | Ton-m | Ton-m | Ton-m |
| 6  | DEAD       | LinStatic   |          |          | 1.6075   | 1.5417   | 17.1078  | 0     | 0     | 0     |
| 6  | MODAL      | LinModal    | Mode     | 1        | 2.8362   | -0.1881  | 13.4859  | 0     | 0     | 0     |
| 6  | MODAL      | LinModal    | Mode     | 2        | -12.5027 | 0.5915   | -43.3414 | 0     | 0     | 0     |
| 6  | MODAL      | LinModal    | Mode     | 3        | 0.0729   | 20.692   | 46.7827  | 0     | 0     | 0     |
| 6  | MODAL      | LinModal    | Mode     | 4        | 0.9825   | 4.4933   | 11.8111  | 0     | 0     | 0     |
| 6  | MODAL      | LinModal    | Mode     | 5        | -0.101   | -1.821   | -17.0785 | 0     | 0     | 0     |
| 6  | MODAL      | LinModal    | Mode     | 6        | 0.3302   | 4.7802   | 17.0439  | 0     | 0     | 0     |
| 6  | MODAL      | LinModal    | Mode     | 7        | -1.198   | -1.4202  | -1.7839  | 0     | 0     | 0     |
| 6  | MODAL      | LinModal    | Mode     | 8        | 0.1778   | 1.8172   | 7.3554   | 0     | 0     | 0     |
| 6  | MODAL      | LinModal    | Mode     | 9        | -0.3872  | 5.0243   | 0.3192   | 0     | 0     | 0     |
| 6  | MODAL      | LinModal    | Mode     | 10       | 0.4323   | -0.4223  | -7.5175  | 0     | 0     | 0     |
| 6  | MODAL      | LinModal    | Mode     | 11       | -0.0837  | -1.5074  | -1.111   | 0     | 0     | 0     |
| 6  | MODAL      | LinModal    | Mode     | 12       | -6.9638  | 24.4345  | 19.7295  | 0     | 0     | 0     |
| 6  | CV         | LinStatic   |          |          | 1.3466   | 2.2102   | 16.3403  | 0     | 0     | 0     |
| 6  | VIENTO     | LinStatic   |          |          | 1.3907   | -1.4572  | -1.8586  | 0     | 0     | 0     |
| 6  | OPERA      | LinStatic   |          |          | 0.1714   | 0.2548   | 3.9708   | 0     | 0     | 0     |
| 6  | SX         | LinRespSpec | Max      |          | 6.554    | 0.862    | 22.5823  | 0     | 0     | 0     |
| 6  | SY         | LinRespSpec | Max      |          | 0.3676   | 9.415    | 23.0161  | 0     | 0     | 0     |
| 6  | SZ         | LinRespSpec | Max      |          | 4.3693   | 0.5747   | 15.0548  | 0     | 0     | 0     |
| 6  | CV_RED     | LinStatic   |          |          | 1.3687   | 2.167    | 16.0547  | 0     | 0     | 0     |
| 129  | DEAD       | LinStatic   |          |          | 2.6515   | 3.358    | -2.7391  | 0     | 0     | 0     |
| 129  | MODAL      | LinModal    | Mode     | 1        | 4.7909   | 0.2805   | -12.494  | 0     | 0     | 0     |
| 129  | MODAL      | LinModal    | Mode     | 2        | -20.4922 | -2.3351  | 39.3494  | 0     | 0     | 0     |
| 129  | MODAL      | LinModal    | Mode     | 3        | -2.2054  | 20.421   | 44.1657  | 0     | 0     | 0     |
| 129  | MODAL      | LinModal    | Mode     | 4        | -1.4856  | 4.2342   | 14.7481  | 0     | 0     | 0     |
| 129  | MODAL      | LinModal    | Mode     | 5        | 0.9884   | -1.8373  | -19.9001 | 0     | 0     | 0     |
| 129  | MODAL      | LinModal    | Mode     | 6        | -0.9543  | 4.5336   | 16.5184  | 0     | 0     | 0     |
| 129  | MODAL      | LinModal    | Mode     | 7        | 1.3364   | -1.1951  | -4.4204  | 0     | 0     | 0     |
| 129  | MODAL      | LinModal    | Mode     | 8        | -0.1229  | 1.8773   | 5.4278   | 0     | 0     | 0     |
| 129  | MODAL      | LinModal    | Mode     | 9        | -0.4667  | 3.1177   | 3.0986   | 0     | 0     | 0     |
| 129  | MODAL      | LinModal    | Mode     | 10       | 0.9699   | -0.5824  | -0.0376  | 0     | 0     | 0     |
| 129  | MODAL      | LinModal    | Mode     | 11       | 0.2835   | -0.0044  | -5.3279  | 0     | 0     | 0     |
| 129  | MODAL      | LinModal    | Mode     | 12       | -18.2907 | -16.3466 | -0.0063  | 0     | 0     | 0     |
| 129  | CV         | LinStatic   |          |          | -0.818   | 2.3027   | 13.2655  | 0     | 0     | 0     |
| 129  | VIENTO     | LinStatic   |          |          | 1.0052   | 0.4499   | -3.2457  | 0     | 0     | 0     |
| 129  | OPERA      | LinStatic   |          |          | 0.4088   | 0.595    | 1.4077   | 0     | 0     | 0     |
| 129  | SX         | LinRespSpec | Max      |          | 10.796   | 1.0845   | 21.7204  | 0     | 0     | 0     |
| 129  | SY         | LinRespSpec | Max      |          | 0.9611   | 9.2851   | 20.872   | 0     | 0     | 0     |
| 129  | SZ         | LinRespSpec | Max      |          | 7.1973   | 0.723    | 14.4802  | 0     | 0     | 0     |
| 129  | CV_RED     | LinStatic   |          |          | -1.012   | 2.1405   | 13.9926  | 0     | 0     | 0     |
| 131  | DEAD       | LinStatic   |          |          | 0.5244   | 1.0321   | -1.6682  | 0     | 0     | 0     |
| 131  | MODAL      | LinModal    | Mode     | 1        | 3.8972   | 0.3557   | -15.3038 | 0     | 0     | 0     |

**Tabla 40. Descargas de columnas a cimentación de la torre TT-4 por tipo de carga**

| TABLA DE DESPLAZAMIENTOS MAXIMOS |            |             |           |           |            |              |              |              |
|----------------------------------|------------|-------------|-----------|-----------|------------|--------------|--------------|--------------|
| Joint                            | OutputCase | CaseType    | U1        | U2        | U3         | R1           | R2           | R3           |
| Text                             | Text       | Text        | mm        | mm        | mm         | Radians      | Radians      | Radians      |
| 1                                | EGO_00     | Combination | -0.376419 | -0.384515 | -11.065901 | -0.00093     | -0.001571    | -0.000033    |
| 2                                | EGO_00     | Combination | -2.350913 | -0.329349 | -1.150003  | 0.000049     | -0.000152    | 0.000929     |
| 3                                | EGO_00     | Combination | -1.867565 | -0.019354 | -1.142089  | -0.000016    | 0.000137     | 0.000013     |
| 4                                | EGO_00     | Combination | -1.307015 | -0.149398 | -0.990359  | -0.000632    | -0.000339    | -0.000127    |
| 5                                | EGO_00     | Combination | -0.442245 | -0.274777 | -0.651446  | 0.000183     | -0.000096    | 0.000019     |
| 6                                | EGO_00     | Combination | 0         | 0         | 0          | 0.000007602  | -0.000118    | -0.000131    |
| 7                                | EGO_00     | Combination | -0.237782 | 0.131368  | -0.737823  | 0.000551     | -0.000117    | -0.000051    |
| 8                                | EGO_00     | Combination | -0.118812 | -0.424285 | -0.302313  | 0.000584     | -0.000027    | -0.000129    |
| 9                                | EGO_00     | Combination | -0.317564 | -0.020243 | -2.329404  | -0.001275    | 0.004985     | -0.000109    |
| 10                               | EGO_00     | Combination | -0.325119 | -0.386797 | -2.007985  | -0.001077    | -0.004908    | -0.000033    |
| 11                               | EGO_00     | Combination | -0.394876 | -0.077148 | -0.157636  | -0.000918    | -0.000003958 | -0.000035    |
| 12                               | EGO_00     | Combination | -0.333723 | -0.383945 | -1.695073  | -0.001305    | -0.003902    | -0.000038    |
| 13                               | EGO_00     | Combination | -0.442745 | -0.451844 | -0.338835  | -0.004954    | -0.000107    | -0.000167    |
| 14                               | EGO_00     | Combination | -0.324337 | -0.345699 | -10.601643 | 0.001346     | -0.002695    | -0.000071    |
| 16                               | EGO_00     | Combination | -0.420099 | -0.204628 | -0.377981  | -0.005043    | -0.000295    | 0.000064     |
| 17                               | EGO_00     | Combination | -0.320083 | -0.173498 | -8.242251  | 0.00128      | 0.003947     | -0.00004     |
| 18                               | EGO_00     | Combination | -0.322083 | -0.271625 | -12.2356   | 0.000324     | 0.000278     | -0.00009     |
| 19                               | EGO_00     | Combination | -0.422201 | -0.278864 | -0.254762  | -0.005177    | 0.000165     | -0.000116    |
| 20                               | EGO_00     | Combination | -0.37673  | -0.185672 | -10.119948 | 0.000651     | 0.003194     | -0.000055    |
| 21                               | EGO_00     | Combination | -0.341316 | -0.354507 | -11.118045 | 0.001092     | -0.002278    | -0.000026    |
| 22                               | EGO_00     | Combination | -0.43943  | -0.232906 | -0.46854   | 0.000286     | -0.000184    | -0.000012    |
| 23                               | EGO_00     | Combination | -0.397201 | -0.457541 | 0.068252   | 0.000145     | -0.000466    | -0.000017    |
| 24                               | EGO_00     | Combination | -0.442807 | -0.210636 | -5.86192   | -0.004294    | 0.000523     | -0.000014    |
| 25                               | EGO_00     | Combination | -0.404966 | -0.412244 | -7.69917   | -0.003404    | -0.001001    | -0.00002     |
| 26                               | EGO_00     | Combination | -0.458826 | -0.528325 | -0.172114  | 0.000089     | -0.00018     | -0.000082    |
| 27                               | EGO_00     | Combination | -0.412828 | -0.157411 | 0.025922   | 0.000238     | -0.000044    | -0.000013    |
| 28                               | EGO_00     | Combination | -0.390727 | -0.286278 | -11.380821 | -0.001952    | 0.000161     | -0.000035    |
| 29                               | EGO_00     | Combination | -0.376422 | -0.402449 | 0.097966   | -0.00038     | -0.000364    | -0.000015    |
| 30                               | EGO_00     | Combination | -0.265176 | 0.055508  | -2.57881   | 0.00079      | 0.006397     | -0.000012    |
| 31                               | EGO_00     | Combination | -0.257093 | -0.405556 | -2.138607  | 0.000806     | -0.006539    | -0.00006     |
| 33                               | EGO_00     | Combination | -0.406061 | -0.197755 | -10.063574 | -0.001873    | 0.001822     | -0.000024    |
| 35                               | EGO_00     | Combination | -0.401176 | -0.421726 | -5.705118  | -0.004132    | -0.000765    | -0.000008113 |
| 36                               | EGO_00     | Combination | -0.423796 | -0.28373  | -4.844385  | -0.004703    | 0.000069     | 0.000011     |
| 37                               | EGO_00     | Combination | -1.150327 | -0.096566 | -3.265963  | -0.001148    | 0.006003     | -0.000103    |
| 38                               | EGO_00     | Combination | -1.14814  | -0.65775  | -0.623363  | -0.000095    | -0.006842    | 0.000089     |
| 39                               | EGO_00     | Combination | -1.006646 | -0.043879 | -3.481851  | 0.001152     | 0.003904     | -0.000021    |
| 40                               | EGO_00     | Combination | -1.005367 | -0.646748 | -0.685713  | 0.000009929  | -0.004647    | 0.000057     |
| 41                               | EGO_00     | Combination | -1.006538 | -0.042676 | -4.222073  | -0.001193    | 0.003878     | -0.000027    |
| 42                               | EGO_00     | Combination | -0.54151  | -0.207037 | -1.121025  | 0.003985     | -0.000145    | -0.000131    |
| 43                               | EGO_00     | Combination | -0.524902 | -0.386885 | -1.125398  | 0.005255     | 0.000096     | -0.000088    |
| 44                               | EGO_00     | Combination | -1.007995 | -0.191083 | -9.87724   | -0.000935    | 0.001932     | -0.000048    |
| 45                               | EGO_00     | Combination | -0.635171 | 0.03245   | -1.05962   | -0.000048    | 0.000323     | -0.000084    |
| 46                               | EGO_00     | Combination | -0.835536 | -0.554184 | -1.978461  | -0.000005354 | -0.005429    | -0.000242    |
| 47                               | EGO_00     | Combination | -0.72005  | 0.06414   | -0.735771  | -0.000094    | 0.000545     | -0.000081    |

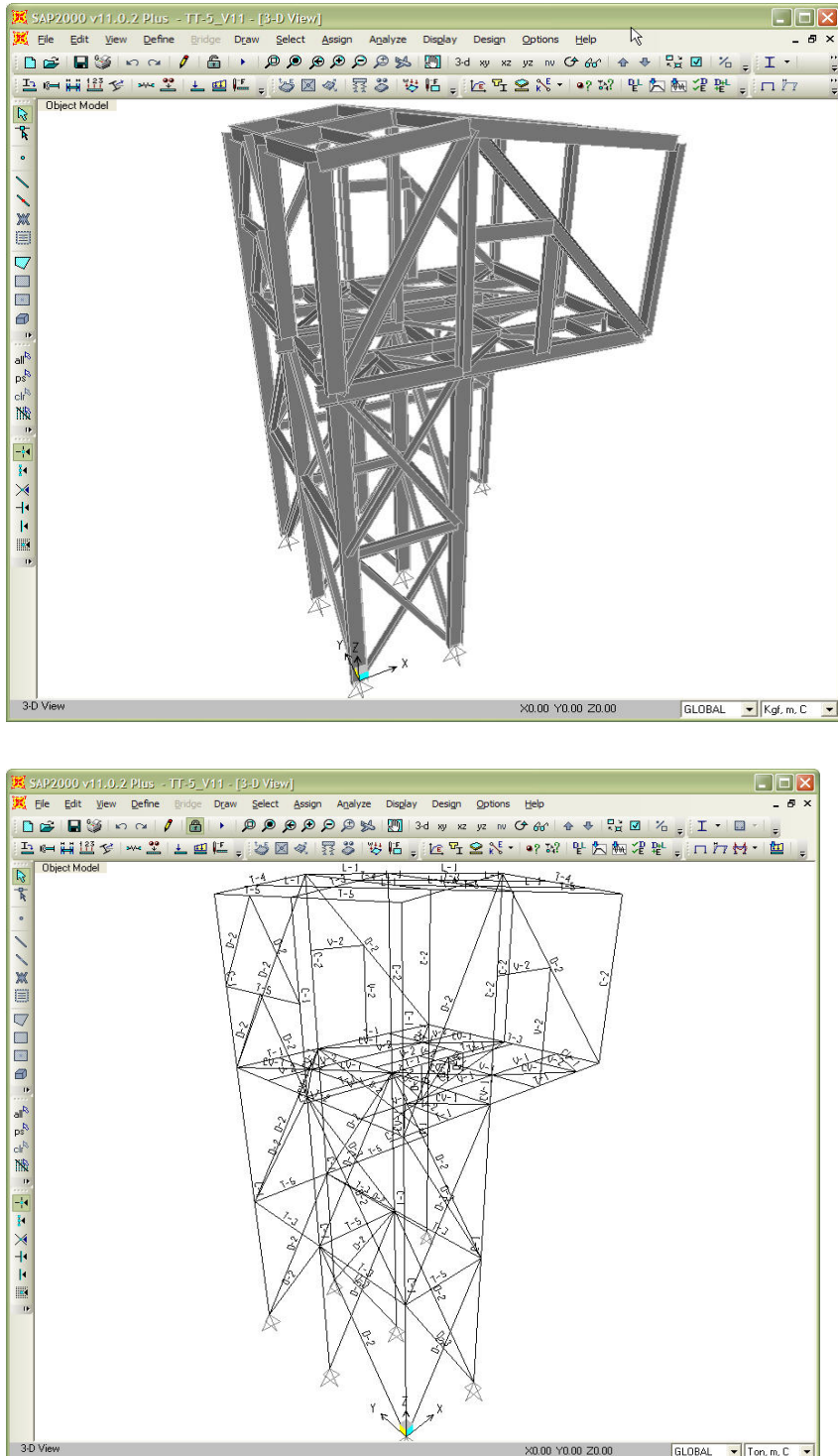
**Tabla 41. Ejemplo de desplazamientos de nodos pertenecientes a la torre TT-4.**

| TABLA DE RESUMEN DE RELACION DE INTERACCION DISEÑO |            |            |             |          |           |        |          |             |  |
|--|------------|------------|-------------|----------|-----------|--------|----------|-------------|--|
| Frame  | DesignSect | DesignType | Status      | Ratio    | RatioType | Combo  | Location | WarnMsg     |  |
| Text   | Text       | Text       | Text        | Unitless | Text      | Text   | cm       | Text        |  |
| 1  | C-2        | Column     | No Messages | 0.077483 | PMM       | EGO_01 | 346.8    | No Messages |  |
| 2  | C-2        | Column     | No Messages | 0.255526 | PMM       | EGO_10 | 323.2    | No Messages |  |
| 3  | C-2        | Column     | No Messages | 0.432688 | PMM       | EGO_10 | 0        | No Messages |  |
| 4  | C-1        | Column     | No Messages | 0.531529 | PMM       | EGO_10 | 0        | No Messages |  |
| 7  | V-3        | Beam       | No Messages | 0.734967 | PMM       | EGO_01 | 294.813  | No Messages |  |
| 15   | CV-1       | Beam       | No Messages | 0.096205 | PMM       | EGO_10 | 86.117   | No Messages |  |
| 16   | CV-1       | Beam       | No Messages | 0.043207 | PMM       | EGO_10 | 93.092   | No Messages |  |
| 17   | CV-1       | Beam       | No Messages | 0.049174 | PMM       | EGO_16 | 48.499   | No Messages |  |
| 19   | CV-1       | Beam       | No Messages | 0.07983  | PMM       | EGO_10 | 87.102   | No Messages |  |
| 20   | CV-1       | Beam       | No Messages | 0.148748 | PMM       | EGO_10 | 88.62    | No Messages |  |
| 21   | CV-1       | Beam       | No Messages | 0.128327 | PMM       | EGO_10 | 85.368   | No Messages |  |
| 22   | CV-1       | Beam       | No Messages | 0.139001 | PMM       | EGO_10 | 87.253   | No Messages |  |
| 23   | CV-1       | Beam       | No Messages | 0.114036 | PMM       | EGO_10 | 88.62    | No Messages |  |
| 24   | CV-1       | Beam       | No Messages | 0.123091 | PMM       | EGO_16 | 94.327   | No Messages |  |
| 25   | CV-1       | Beam       | No Messages | 0.111631 | PMM       | EGO_10 | 87.48    | No Messages |  |
| 26   | CV-1       | Beam       | No Messages | 0.07932  | PMM       | EGO_10 | 90.88    | No Messages |  |
| 27   | CV-1       | Beam       | No Messages | 0.130177 | PMM       | EGO_10 | 89.547   | No Messages |  |
| 28   | CV-1       | Beam       | No Messages | 0.13454  | PMM       | EGO_16 | 97.628   | No Messages |  |
| 29   | CV-1       | Beam       | No Messages | 0.13123  | PMM       | EGO_28 | 89.768   | No Messages |  |
| 30   | T-2        | Beam       | No Messages | 0.454389 | PMM       | EGO_17 | 276.385  | No Messages |  |
| 32   | V-4        | Beam       | No Messages | 0.693463 | PMM       | EGO_01 | 289.333  | No Messages |  |
| 34   | V-2        | Beam       | No Messages | 0.105679 | PMM       | EGO_16 | 125      | No Messages |  |
| 38   | V-3        | Beam       | No Messages | 0.570773 | PMM       | EGO_01 | 347.362  | No Messages |  |
| 54   | V-1        | Beam       | No Messages | 0.067997 | PMM       | EGO_10 | 125      | No Messages |  |
| 70   | V-1        | Beam       | No Messages | 0.3082   | PMM       | EGO_10 | 0        | No Messages |  |
| 71   | CV-1       | Beam       | No Messages | 0.314388 | PMM       | EGO_10 | 148.808  | No Messages |  |
| 72   | CV-1       | Beam       | No Messages | 0.247364 | PMM       | EGO_10 | 147.705  | No Messages |  |
| 73   | CV-1       | Beam       | No Messages | 0.236484 | PMM       | EGO_10 | 82.434   | No Messages |  |
| 74   | CV-1       | Beam       | No Messages | 0.16736  | PMM       | EGO_10 | 94.847   | No Messages |  |
| 75   | CV-1       | Beam       | No Messages | 0.104354 | PMM       | EGO_10 | 92.752   | No Messages |  |
| 79   | CV-1       | Beam       | No Messages | 0.092516 | PMM       | EGO_10 | 80.894   | No Messages |  |
| 80   | CV-1       | Beam       | No Messages | 0.156553 | PMM       | EGO_10 | 95.938   | No Messages |  |
| 81   | CV-1       | Beam       | No Messages | 0.121547 | PMM       | EGO_10 | 97.628   | No Messages |  |
| 82   | CV-1       | Beam       | No Messages | 0.10947  | PMM       | EGO_10 | 75.705   | No Messages |  |
| 84   | CV-1       | Beam       | No Messages | 0.050017 | PMM       | EGO_10 | 80.907   | No Messages |  |
| 85   | CV-1       | Beam       | No Messages | 0.144174 | PMM       | EGO_10 | 89.31    | No Messages |  |
| 89   | CV-1       | Beam       | No Messages | 0.117523 | PMM       | EGO_28 | 93.097   | No Messages |  |
| 90   | CV-1       | Beam       | No Messages | 0.144494 | PMM       | EGO_10 | 41.885   | No Messages |  |
| 92   | CV-1       | Beam       | No Messages | 0.104681 | PMM       | EGO_10 | 95.956   | No Messages |  |
| 93   | CV-1       | Beam       | No Messages | 0.066463 | PMM       | EGO_28 | 90.18    | No Messages |  |
| 95   | T-2        | Beam       | No Messages | 0.215088 | PMM       | EGO_10 | 620      | No Messages |  |
| 96   | T-3        | Beam       | No Messages | 0.421796 | PMM       | EGO_10 | 276.385  | No Messages |  |
| 99   | V-2        | Beam       | No Messages | 0.053194 | PMM       | EGO_10 | 150      | No Messages |  |

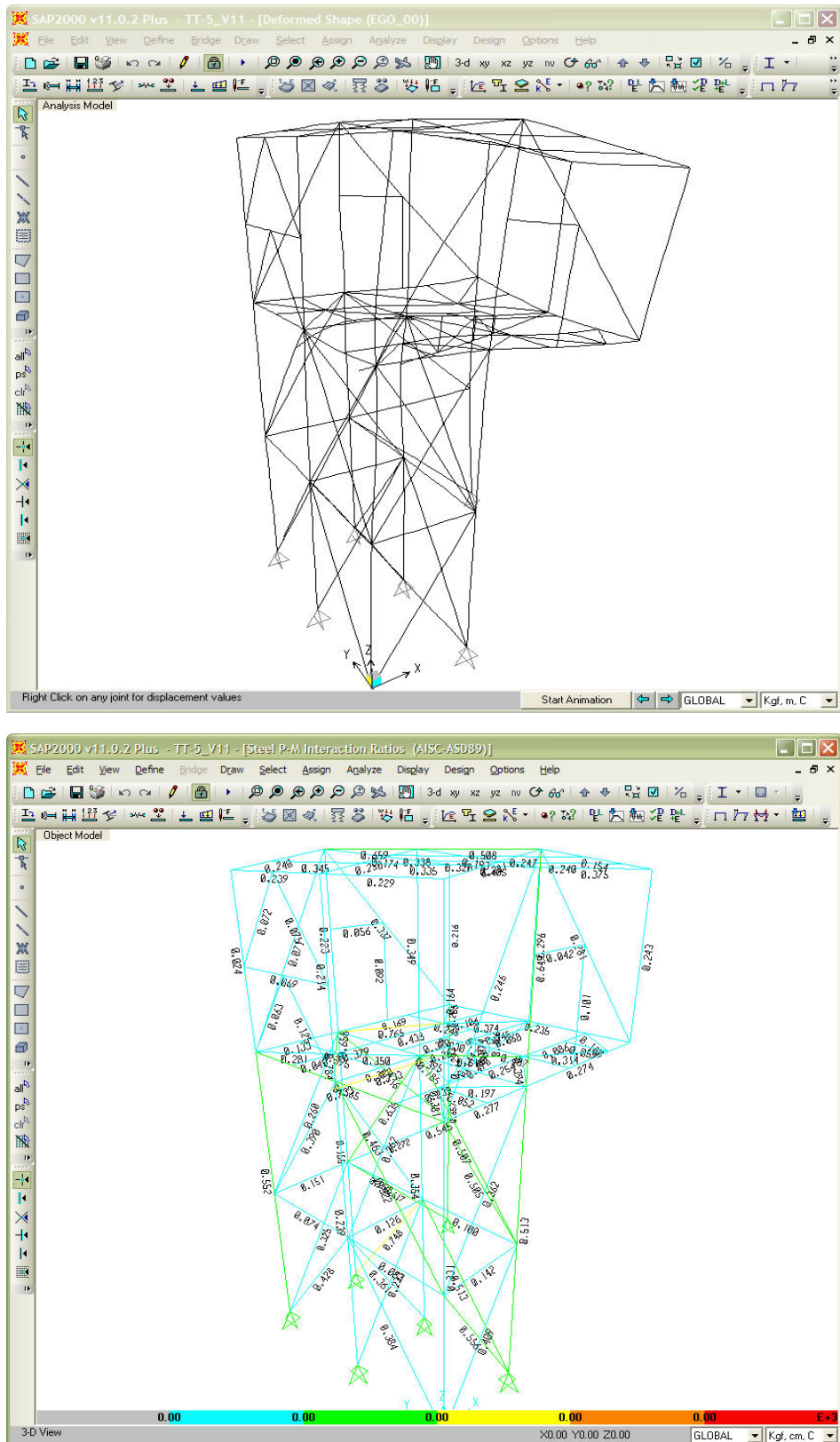
**Tabla 42. Relaciones de Interacción de diseño de elementos estructurales para TT-4.**

## V.2.5 TORRE TT-5.

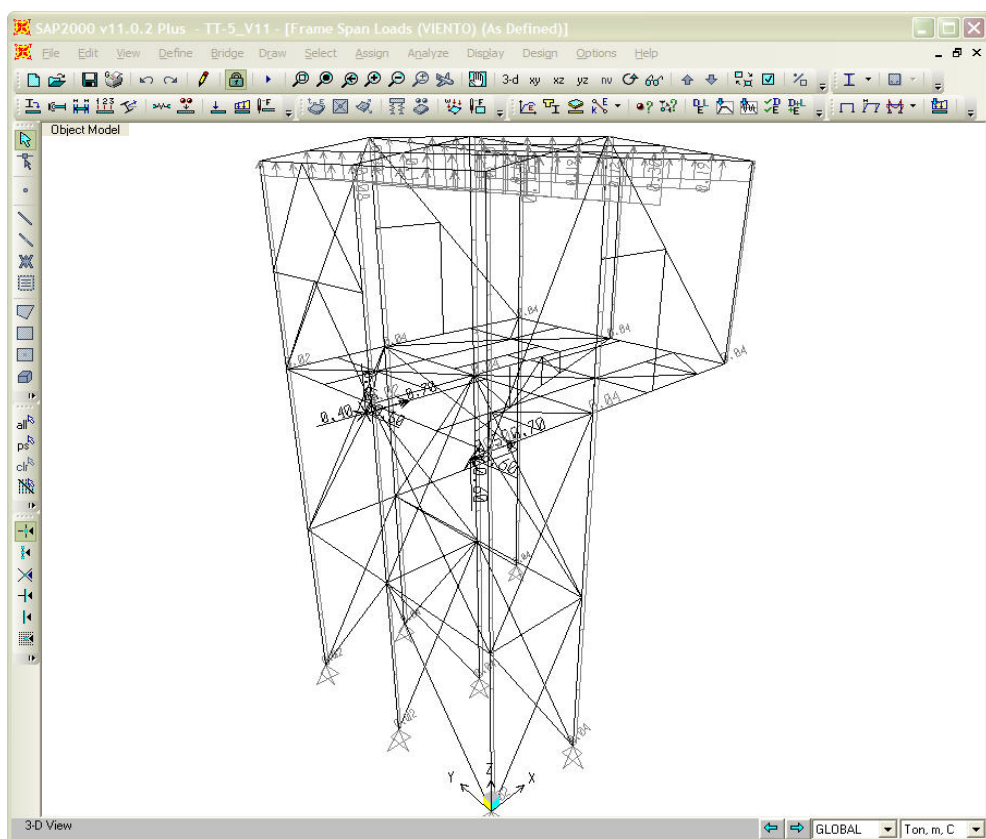
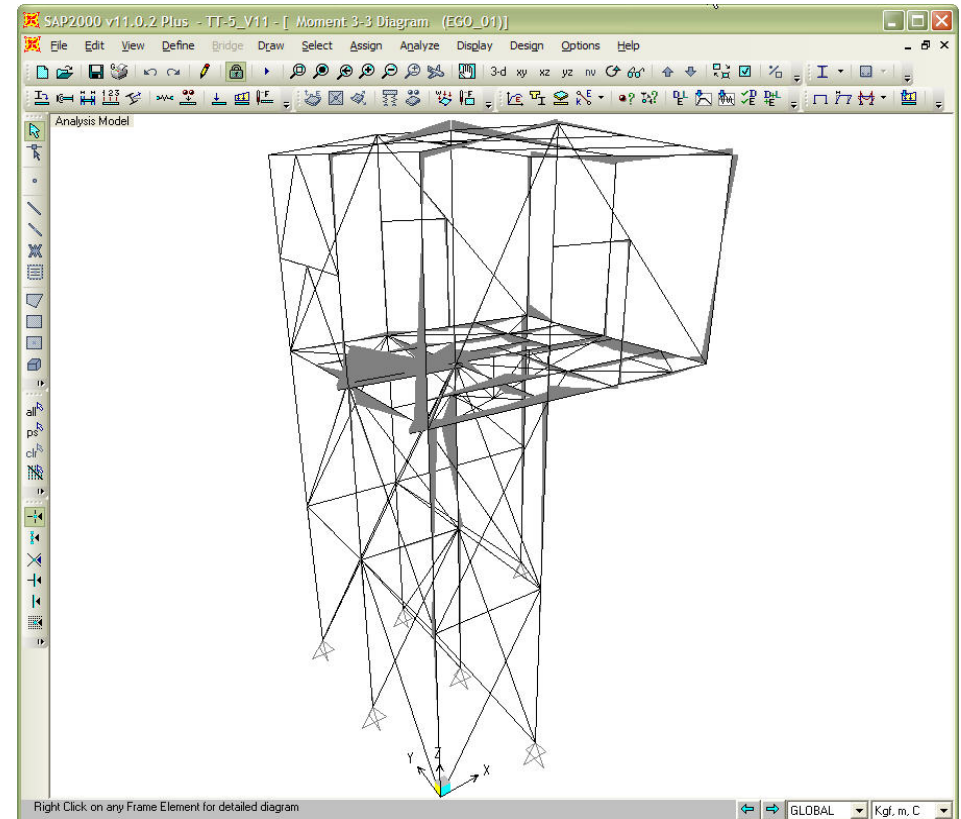
Aquí se muestran 5 figuras básicas extraídas del modelo estructural realizado como son:



**Fig. 66 Vista general en 3D del modelo (arriba)  
Asignación de marcas a perfiles para TT-5 (abajo)**



**Fig. 67 Deformada de la estructura por cargas verticales (arriba)  
Relaciones de interacción máximas de elementos estructurales para torre TT-5 (abajo)**



**Fig. 68 Ejemplo de diagrama de momentos por cargas verticales (arriba)  
Ejemplo de asignación de cargas en la estructura para torre TT-5 (abajo)**

A continuación se muestran tablas de resumen de resultados extraídas del modelo elaborado como son:

| TABLA DE REACCIONES BASE POR TIPO DE CARGA |            |             |          |          |          |          |          |        |       |       |
|--|------------|-------------|----------|----------|----------|----------|----------|--------|-------|-------|
| Joint                                      | OutputCase | CaseType    | StepType | StepNum  | F1       | F2       | F3       | M1     | M2    | M3    |
| Text                                       | Text       | Text        | Text     | Unitless | Ton      | Ton      | Ton      | Ton-m  | Ton-m | Ton-m |
| 83   | DEAD       | LinStatic   |          |          | 0.0195   | 0.6327   | 3.0783   | 0      | 0     | 0     |
| 83   | MODAL      | LinModal    | Mode     | 1        | -11.989  | 0.666    | -73.7035 | 0      | 0     | 0     |
| 83   | MODAL      | LinModal    | Mode     | 2        | -3.313   | -9.5326  | -13.9553 | 0      | 0     | 0     |
| 83   | MODAL      | LinModal    | Mode     | 3        | -1.2397  | 30.525   | 58.5723  | 0      | 0     | 0     |
| 83   | MODAL      | LinModal    | Mode     | 4        | 4.9618   | -14.053  | -24.624  | 0      | 0     | 0     |
| 83   | MODAL      | LinModal    | Mode     | 5        | 9.6599   | -0.4482  | 6.2732   | 0      | 0     | 0     |
| 83   | MODAL      | LinModal    | Mode     | 6        | 14.6786  | 9.1483   | 56.6405  | 0      | 0     | 0     |
| 83   | MODAL      | LinModal    | Mode     | 7        | -0.0061  | -0.8638  | -4.9226  | 0      | 0     | 0     |
| 83   | MODAL      | LinModal    | Mode     | 8        | 7.6748   | 2.175    | 18.1439  | 0      | 0     | 0     |
| 83   | MODAL      | LinModal    | Mode     | 9        | 12.1269  | -4.003   | 59.5271  | 0      | 0     | 0     |
| 83   | MODAL      | LinModal    | Mode     | 10       | 3.8643   | -7.8702  | -2.7936  | 0      | 0     | 0     |
| 83   | MODAL      | LinModal    | Mode     | 11       | -4.3166  | -5.3867  | -59.9991 | 0      | 0     | 0     |
| 83   | MODAL      | LinModal    | Mode     | 12       | -0.2903  | -0.7884  | 5.8555   | 0      | 0     | 0     |
| 83   | CV         | LinStatic   |          |          | 0.2432   | 0.3509   | 0.2999   | 0      | 0     | 0     |
| 83   | VIENTO     | LinStatic   |          |          | 0.3104   | -0.47    | 2.1393   | 0      | 0     | 0     |
| 83   | OPERA      | LinStatic   |          |          | 0.0071   | 0.18     | -0.4328  | 0      | 0     | 0     |
| 83   | SX         | LinRespSpec | Max      |          | 2.757    | 1.5539   | 16.967   | 0      | 0     | 0     |
| 83   | SY         | LinRespSpec | Max      |          | 1.6605   | 2.7537   | 10.813   | 0      | 0     | 0     |
| 83   | SZ         | LinRespSpec | Max      |          | 1.838    | 1.0359   | 11.3114  | 0      | 0     | 0     |
| 83   | CV_RED     | LinStatic   |          |          | 0.2991   | 0.3056   | -0.0064  | 0      | 0     | 0     |
| 159  | DEAD       | LinStatic   |          |          | 0.0702   | -0.0811  | 1.6735   | 0      | 0     | 0     |
| 159  | MODAL      | LinModal    | Mode     | 1        | 3.2037   | 9.4108   | -10.2136 | 0      | 0     | 0     |
| 159  | MODAL      | LinModal    | Mode     | 2        | 13.3686  | -17.4203 | 88.7399  | 0      | 0     | 0     |
| 159  | MODAL      | LinModal    | Mode     | 3        | 17.4528  | 21.6067  | 4.5166   | 0      | 0     | 0     |
| 159  | MODAL      | LinModal    | Mode     | 4        | 5.1123   | -19.2251 | 59.9313  | 0      | 0     | 0     |
| 159  | MODAL      | LinModal    | Mode     | 5        | -1.5872  | -2.6902  | 7.8833   | 0      | 0     | 0     |
| 159  | MODAL      | LinModal    | Mode     | 6        | 14.8912  | 0.7867   | 37.5992  | 0      | 0     | 0     |
| 159  | MODAL      | LinModal    | Mode     | 7        | -1.172   | -0.8003  | -0.5319  | 0      | 0     | 0     |
| 159  | MODAL      | LinModal    | Mode     | 8        | 2.1291   | 1.855    | 6.3592   | 0      | 0     | 0     |
| 159  | MODAL      | LinModal    | Mode     | 9        | -4.4789  | 0.6863   | -42.2733 | 0      | 0     | 0     |
| 159  | MODAL      | LinModal    | Mode     | 10       | -0.5065  | 12.8893  | -30.3189 | 0      | 0     | 0     |
| 159  | MODAL      | LinModal    | Mode     | 11       | 3.5529   | 6.3512   | -19.6181 | 0      | 0     | 0     |
| 159  | MODAL      | LinModal    | Mode     | 12       | 4.2151   | -1.6388  | 17.6319  | 0      | 0     | 0     |
| 159  | CV         | LinStatic   |          |          | 0.1802   | 0.3144   | 0.2661   | 0      | 0     | 0     |
| 159  | VIENTO     | LinStatic   |          |          | 0.2443   | -0.952   | 2.5685   | 0      | 0     | 0     |
| 159  | OPERA      | LinStatic   |          |          | -0.0323  | 0.2931   | -0.8898  | 0      | 0     | 0     |
| 159  | SX         | LinRespSpec | Max      |          | 1.9068   | 3.011    | 10.215   | 0      | 0     | 0     |
| 159  | SY         | LinRespSpec | Max      |          | 2.2184   | 3.5025   | 13.9251  | 0      | 0     | 0     |
| 159  | SZ         | LinRespSpec | Max      |          | 1.2712   | 2.0073   | 6.81     | 0      | 0     | 0     |
| 159  | CV_RED     | LinStatic   |          |          | 0.1898   | 0.3312   | 0.2262   | 0      | 0     | 0     |
| 161  | DEAD       | LinStatic   |          |          |          | -1.4518  | 0.4065   | 9.2211 | 0     | 0     |
| 161  | MODAL      | LinModal    | Mode     | 1        | -10.4139 | -8.8201  | 51.0997  | 0      | 0     | 0     |

**Tabla 43. Descargas de columnas a cimentación de la torre TT-5 por tipo de carga**

**TABLA DE DESPLAZAMIENTOS**

| <b>Joint</b> | <b>OutputCase</b> | <b>CaseType</b> | <b>U1</b> | <b>U2</b> | <b>U3</b> | <b>R1</b>    | <b>R2</b>  | <b>R3</b> |
|--------------|-------------------|-----------------|-----------|-----------|-----------|--------------|------------|-----------|
| Text         | Text              | Text            | mm        | mm        | mm        | Radians      | Radians    | Radians   |
| 1            | EGO_00            | Combination     | 0.58467   | 0.090607  | -0.639897 | 0.000076     | 0.000501   | 0.000219  |
| 2            | EGO_00            | Combination     | 1.19221   | 0.090033  | -0.685548 | 0.000106     | 0.00047    | 0.000141  |
| 4            | EGO_00            | Combination     | 1.403657  | -0.2868   | -0.27288  | 0.043119     | -0.000208  | 0.000141  |
| 5            | EGO_00            | Combination     | 1.037463  | -0.361443 | -1.453951 | 0.022088     | -0.002699  | 0.000394  |
| 83           | EGO_00            | Combination     | 0         | 0         | 0         | -0.000003599 | 0.000098   | 0.000038  |
| 84           | EGO_00            | Combination     | 1.39948   | -0.243275 | -0.115148 | -0.000272    | -0.0000044 | 0.000166  |
| 86           | EGO_00            | Combination     | 3.069468  | -0.421891 | -0.111075 | -0.000025    | 0.00054    | 0.000346  |
| 87           | EGO_00            | Combination     | 0.318549  | -0.256283 | -0.080815 | 0.000025     | 0.00007    | 0.000195  |
| 88           | EGO_00            | Combination     | 0.328522  | 0.795714  | -0.253801 | 0.00072      | -0.000274  | 0.000188  |
| 89           | EGO_00            | Combination     | 1.332549  | 0.783793  | -2.901376 | 0.000058     | 0.000452   | 0.000161  |
| 90           | EGO_00            | Combination     | 0.314598  | 0.094748  | -0.171877 | 0.000364     | 0.000113   | 0.00019   |
| 92           | EGO_00            | Combination     | 1.37784   | 0.09248   | -0.597447 | -0.000072    | 0.000474   | 0.000175  |
| 95           | EGO_00            | Combination     | 0.321596  | 0.497428  | -0.591769 | 0.0011       | -0.000018  | 0.000198  |
| 97           | EGO_00            | Combination     | 0.897767  | 0.498263  | -1.884229 | -0.000151    | 0.000597   | 0.000196  |
| 99           | EGO_00            | Combination     | 0.316618  | -0.079882 | -0.154867 | 0.00025      | 0.000037   | 0.000161  |
| 101          | EGO_00            | Combination     | 0.881898  | -0.077904 | -0.220148 | -0.000192    | 0.000044   | 0.000079  |
| 103          | EGO_00            | Combination     | 1.198402  | -0.068321 | -0.513791 | -0.000236    | 0.000057   | 0.000173  |
| 105          | EGO_00            | Combination     | 1.388643  | -0.068818 | -0.256724 | -0.000241    | 0.000229   | 0.000157  |
| 107          | EGO_00            | Combination     | 0.882437  | 0.791874  | -2.553775 | 0.000518     | 0.000356   | 0.000226  |
| 109          | EGO_00            | Combination     | 0.875703  | -0.241905 | -0.199692 | 0.000355     | 0.000107   | 0.000398  |
| 111          | EGO_00            | Combination     | 0.899916  | 0.3567    | -1.317893 | 0.000331     | 0.000703   | 0.000165  |
| 113          | EGO_00            | Combination     | 1.361577  | 0.357063  | -1.577968 | -0.000155    | 0.0007     | 0.000186  |
| 115          | EGO_00            | Combination     | 1.176926  | 0.785961  | -2.936319 | 0.000053     | 0.00029    | 0.00016   |
| 141          | EGO_00            | Combination     | 1.200938  | -0.242535 | -0.492424 | -0.000236    | 0.000027   | 0.000119  |
| 142          | EGO_00            | Combination     | 0.943905  | 0.790811  | -2.681215 | 0.000417     | 0.000467   | 0.000215  |
| 143          | EGO_00            | Combination     | 0.945007  | 0.356793  | -1.417397 | 0.000323     | 0.00061    | 0.00017   |
| 144          | EGO_00            | Combination     | 1.000003  | 0.086863  | -0.351297 | 0.000079     | 0.000887   | 0.000326  |
| 145          | EGO_00            | Combination     | 1.029632  | -0.241919 | -0.509083 | 0.000393     | -0.002421  | 0.00042   |
| 146          | EGO_00            | Combination     | 0.582069  | 0.793882  | -1.491865 | 0.000952     | -0.000448  | 0.000213  |
| 147          | EGO_00            | Combination     | 0.584268  | -0.249408 | -0.088716 | 0.000008276  | 0.000361   | 0.000173  |
| 148          | EGO_00            | Combination     | 0.585818  | -0.079914 | -0.395026 | 0.000034     | 0.000209   | 0.000185  |
| 149          | EGO_00            | Combination     | 0.888249  | 0.086011  | -0.349792 | -0.000043    | 0.000483   | 0.000288  |
| 150          | EGO_00            | Combination     | 0.582067  | 0.497285  | -1.809609 | 0.00056      | 0.000104   | 0.000213  |
| 151          | EGO_00            | Combination     | 1.182494  | 0.357241  | -1.703343 | 0.000041     | 0.000774   | 0.000188  |
| 152          | EGO_00            | Combination     | 1.345944  | 0.624518  | -2.491098 | -0.000149    | 0.000524   | 0.00018   |
| 153          | EGO_00            | Combination     | 1.179013  | 0.624708  | -2.64941  | -0.000145    | 0.000443   | 0.00018   |
| 154          | EGO_00            | Combination     | 0.765686  | 0.497964  | -1.985236 | -0.000006089 | 0.000366   | 0.000237  |
| 155          | EGO_00            | Combination     | 0.762457  | 0.087881  | -0.497359 | -0.000183    | 0.000988   | 0.000211  |
| 156          | EGO_00            | Combination     | 0.899475  | 0.348357  | -1.281036 | -0.000579    | 0.000707   | 0.000169  |
| 157          | EGO_00            | Combination     | 0.76483   | 0.348162  | -1.606605 | -0.000589    | 0.00059    | 0.000216  |
| 158          | EGO_00            | Combination     | 0.456485  | -0.718398 | -0.2772   | 0.000688     | -0.000056  | 0.000119  |
| 159          | EGO_00            | Combination     | 0         | 0         | 0         | 0.000075     | 0.000035   | 0.0001    |
| 160          | EGO_00            | Combination     | 0.449956  | -0.421781 | -0.085199 | 0.000049     | 0.000022   | 0.00027   |
| 161          | EGO_00            | Combination     | 0         | 0         | 0         | -0.000114    | 0.000152   | 0.000089  |
| 162          | EGO_00            | Combination     | 3.212401  | -0.354428 | -0.852837 | 0.000193     | 0.00045    | -0.000019 |

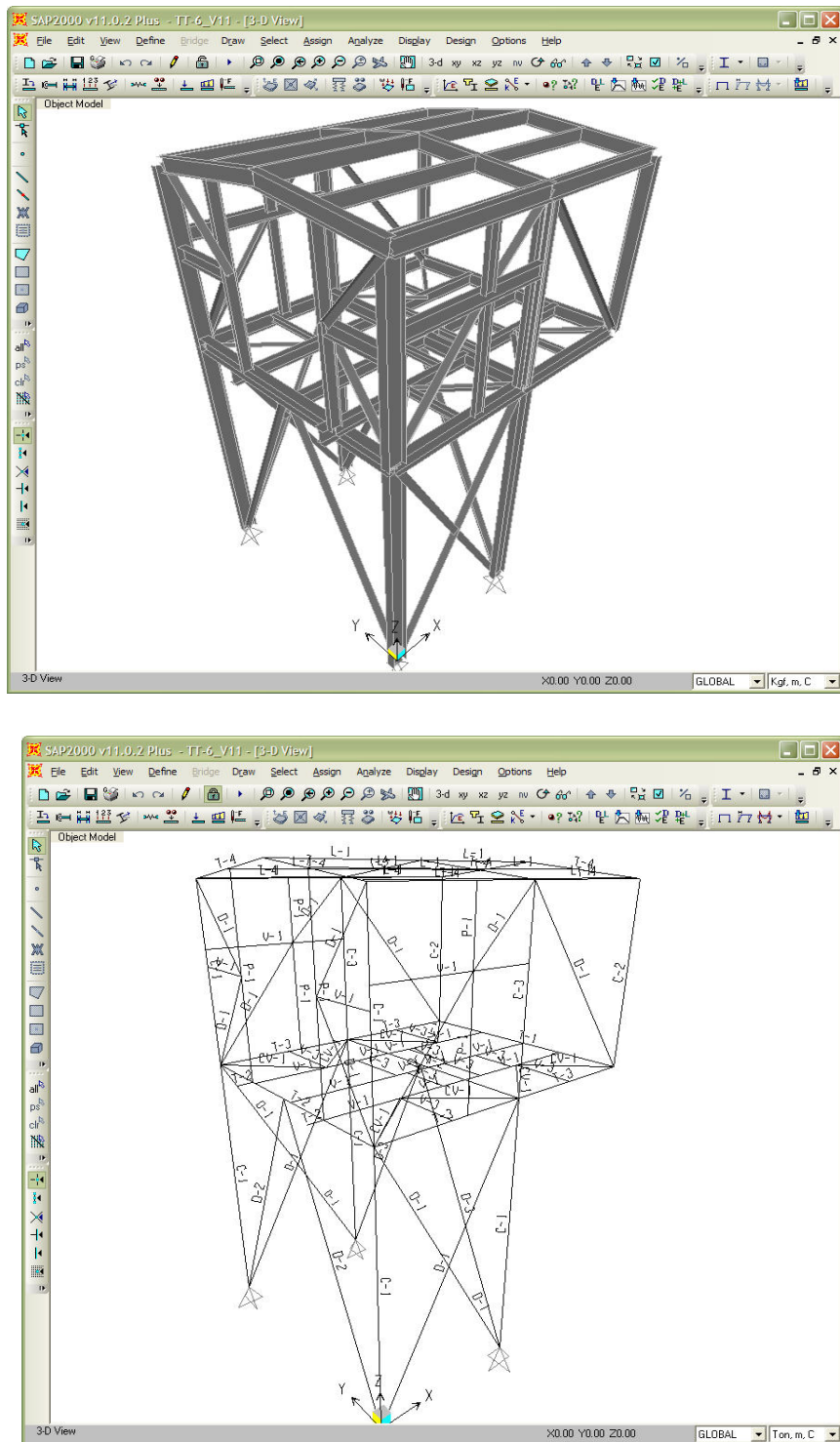
**Tabla 44. Ejemplo de desplazamientos de nodos pertenecientes a la torre TT-5**

| TABLA DE RESUMEN DE RELACION DE INTERACCION DISEÑO |            |            |             |          |             |        |          |             |  |
|--|------------|------------|-------------|----------|-------------|--------|----------|-------------|--|
| Frame  | DesignSect | DesignType | Status      | Ratio    | RatioType   | Combo  | Location | WarnMsg     |  |
| Text   | Text       | Text       | Text        | Unitless | Text        | Text   | cm       | Text        |  |
| 8  | C-1        | Column     | No Messages | 0.331367 | PMM         | EGO_10 | 358.9    | No Messages |  |
| 9  | C-1        | Column     | No Messages | 0.16396  | PMM         | EGO_01 | 0        | No Messages |  |
| 12   | T-2        | Beam       | No Messages | 0.639367 | Major Shear | EGO_01 | 260      | No Messages |  |
| 18   | T-3        | Beam       | No Messages | 0.234566 |             | EGO_10 | 0        | No Messages |  |
| 40   | V-1        | Beam       | No Messages | 0.248062 | PMM         | EGO_10 | 125      | No Messages |  |
| 43   | V-2        | Beam       | No Messages | 0.095122 | PMM         | EGO_10 | 125      | No Messages |  |
| 46   | V-2        | Beam       | No Messages | 0.051892 | PMM         | EGO_10 | 0        | No Messages |  |
| 48   | V-1        | Beam       | No Messages | 0.187326 | PMM         | EGO_10 | 0        | No Messages |  |
| 50   | V-1        | Beam       | No Messages | 0.067851 | PMM         | EGO_10 | 0        | No Messages |  |
| 51   | V-1        | Beam       | No Messages | 0.73349  | PMM         | EGO_01 | 210      | No Messages |  |
| 55   | CV-1       | Beam       | No Messages | 0.281405 | PMM         | EGO_10 | 0        | No Messages |  |
| 56   | CV-1       | Beam       | No Messages | 0.783915 | PMM         | EGO_10 | 171.026  | No Messages |  |
| 57   | CV-1       | Beam       | No Messages | 0.380862 | PMM         | EGO_10 | 0        | No Messages |  |
| 59   | CV-1       | Beam       | No Messages | 0.197134 | PMM         | EGO_10 | 0        | No Messages |  |
| 60   | CV-1       | Beam       | No Messages | 0.658088 | PMM         | EGO_10 | 0        | No Messages |  |
| 61   | CV-1       | Beam       | No Messages | 0.349828 | PMM         | EGO_10 | 171.026  | No Messages |  |
| 69   | CV-1       | Beam       | No Messages | 0.76543  | PMM         | EGO_10 | 0        | No Messages |  |
| 76   | CV-1       | Beam       | No Messages | 0.285363 | PMM         | EGO_10 | 195.256  | No Messages |  |
| 98   | CV-1       | Beam       | No Messages | 0.373556 | PMM         | EGO_10 | 201.804  | No Messages |  |
| 103  | CV-1       | Beam       | No Messages | 0.615383 | PMM         | EGO_10 | 0        | No Messages |  |
| 104  | CV-1       | Beam       | No Messages | 0.393555 | PMM         | EGO_10 | 172.964  | No Messages |  |
| 105  | CV-1       | Beam       | No Messages | 0.314252 | PMM         | EGO_10 | 0        | No Messages |  |
| 107  | CV-1       | Beam       | No Messages | 0.180235 | PMM         | EGO_10 | 140.201  | No Messages |  |
| 108  | V-2        | Beam       | No Messages | 0.058742 | PMM         | EGO_10 | 0        | No Messages |  |
| 109  | V-2        | Beam       | No Messages | 0.320146 | PMM         | EGO_10 | 89.5     | No Messages |  |
| 118  | V-2        | Beam       | No Messages | 0.230347 | PMM         | EGO_10 | 0        | No Messages |  |
| 120  | C-2        | Column     | No Messages | 0.216394 | PMM         | EGO_10 | 0        | No Messages |  |
| 122  | C-1        | Column     | No Messages | 0.551567 | PMM         | EGO_10 | 358.9    | No Messages |  |
| 123  | C-1        | Column     | No Messages | 0.02419  | PMM         | EGO_10 | 0        | No Messages |  |
| 124  | C-1        | Column     | No Messages | 0.512804 | PMM         | EGO_10 | 358.9    | No Messages |  |
| 132  | C-2        | Column     | No Messages | 0.648837 | PMM         | EGO_10 | 0        | No Messages |  |
| 133  | C-2        | Column     | No Messages | 0.243478 | PMM         | EGO_10 | 0        | No Messages |  |
| 134  | T-4        | Brace      | No Messages | 0.28076  | PMM         | EGO_10 | 0        | No Messages |  |
| 135  | T-4        | Brace      | No Messages | 0.154396 | PMM         | EGO_10 | 371.845  | No Messages |  |
| 138  | D-2        | Brace      | No Messages | 0.280934 | PMM         | EGO_10 | 321.94   | No Messages |  |
| 192  | D-2        | Brace      | No Messages | 0.245929 | PMM         | EGO_10 | 447.618  | No Messages |  |
| 193  | C-2        | Column     | No Messages | 0.348603 | PMM         | EGO_10 | 0        | No Messages |  |
| 195  | C-2        | Column     | No Messages | 0.296032 | PMM         | EGO_10 | 0        | No Messages |  |
| 207  | T-3        | Brace      | No Messages | 0.249677 | PMM         | EGO_10 | 0        | No Messages |  |
| 208  | T-3        | Brace      | No Messages | 0.19348  | PMM         | EGO_10 | 125.623  | No Messages |  |
| 209  | C-1        | Column     | No Messages | 0.214348 | PMM         | EGO_10 | 0        | No Messages |  |
| 210  | T-5        | Beam       | No Messages | 0.141576 | PMM         | EGO_10 | 0        | No Messages |  |
| 211  | D-3        | Brace      | No Messages | 0.504718 | PMM         | EGO_10 | 408.167  | No Messages |  |

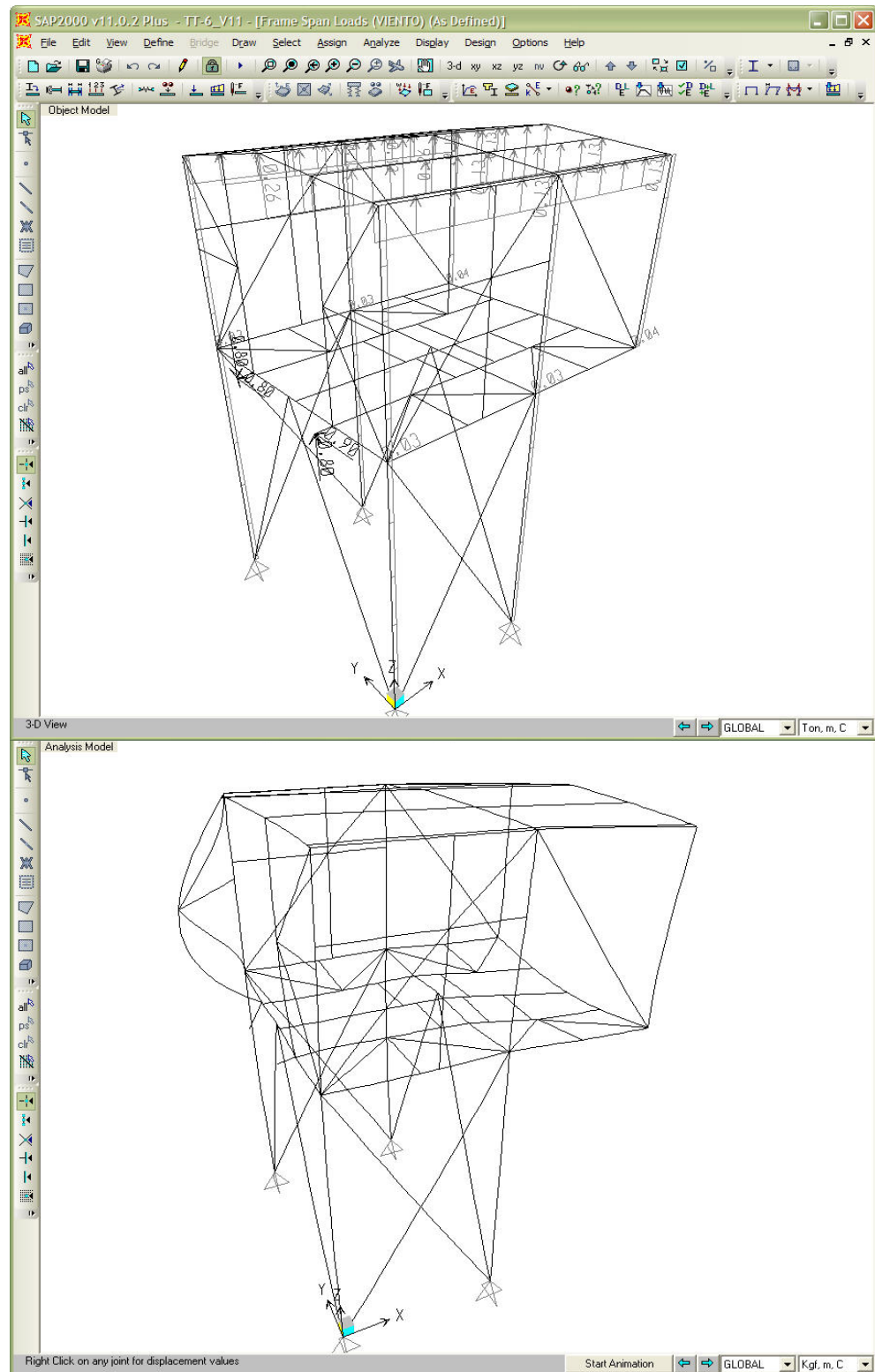
**Tabla 45. Relaciones de Interacción de diseño de elementos estructurales para TT-5.**

## V.2.6 TORRE TT-6.

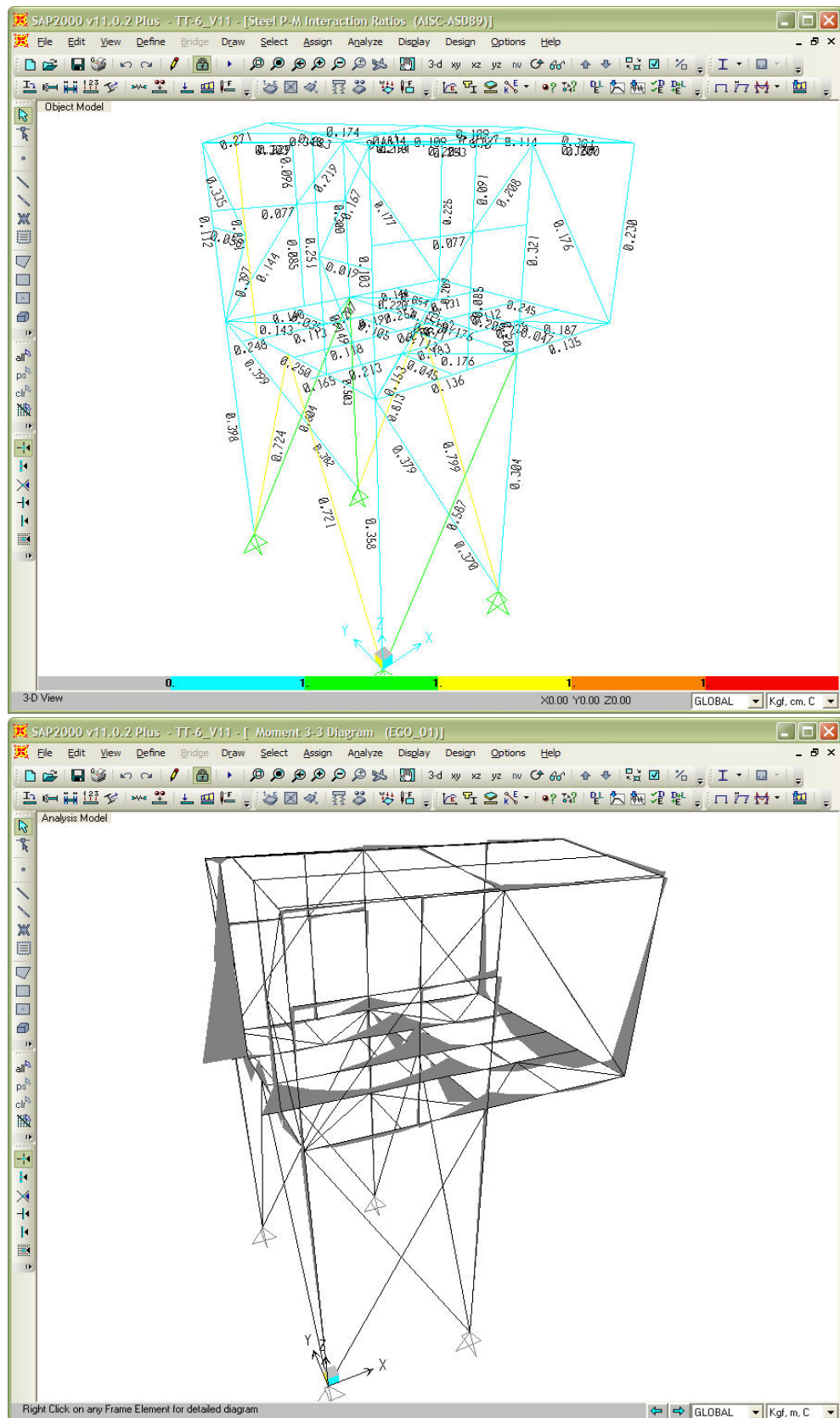
Aquí se muestran 5 figuras básicas extraídas del modelo estructural realizado como son:



**Fig. 69 Vista general en 3D del modelo (arriba)  
Asignación de marcas a perfiles para TT-6 (abajo)**



**Fig. 70 Deformada de la estructura por cargas verticales (arriba)  
Relaciones de interacción máximas de elementos estructurales para torre TT-6 (abajo)**



**Fig. 71 Ejemplo de diagrama de momentos por cargas verticales (arriba)  
Ejemplo de asignación de cargas en la estructura para torre TT-6 (abajo)**

A continuación se muestran tablas de resumen de resultados extraídas del modelo elaborado como son:

| TABLA DE REACCIONES BASE POR TIPO DE CARGA |            |             |          |          |          |          |          |       |       |       |
|--|------------|-------------|----------|----------|----------|----------|----------|-------|-------|-------|
| Joint                                      | OutputCase | CaseType    | StepType | StepNum  | F1       | F2       | F3       | M1    | M2    | M3    |
| Text                                       | Text       | Text        | Text     | Unitless | Ton      | Ton      | Ton      | Ton-m | Ton-m | Ton-m |
| 4  | DEAD       | LinStatic   |          |          | 0.5305   | 0.7218   | 5.5201   | 0     | 0     | 0     |
| 4  | MODAL      | LinModal    | Mode     | 1        | 8.5482   | 4.2439   | 40.291   | 0     | 0     | 0     |
| 4  | MODAL      | LinModal    | Mode     | 2        | 14.8424  | 2.0911   | 67.7756  | 0     | 0     | 0     |
| 4  | MODAL      | LinModal    | Mode     | 3        | 12.9325  | -23.5523 | 0.1613   | 0     | 0     | 0     |
| 4  | MODAL      | LinModal    | Mode     | 4        | -3.2741  | -15.3006 | -51.6954 | 0     | 0     | 0     |
| 4  | MODAL      | LinModal    | Mode     | 5        | 9.1539   | -3.7963  | 9.3319   | 0     | 0     | 0     |
| 4  | MODAL      | LinModal    | Mode     | 6        | 0.1819   | -2.0342  | -1.3024  | 0     | 0     | 0     |
| 4  | MODAL      | LinModal    | Mode     | 7        | -5.9089  | -7.8515  | -54.3935 | 0     | 0     | 0     |
| 4  | MODAL      | LinModal    | Mode     | 8        | -13.7067 | -2.5613  | -69.688  | 0     | 0     | 0     |
| 4  | MODAL      | LinModal    | Mode     | 9        | 1.5202   | -1.358   | -12.5053 | 0     | 0     | 0     |
| 4  | MODAL      | LinModal    | Mode     | 10       | -6.6078  | -8.7827  | -37.4401 | 0     | 0     | 0     |
| 4  | MODAL      | LinModal    | Mode     | 11       | -18.5437 | 0.2935   | -15.3166 | 0     | 0     | 0     |
| 4  | MODAL      | LinModal    | Mode     | 12       | -3.3125  | 15.0738  | 83.1043  | 0     | 0     | 0     |
| 4  | CV         | LinStatic   |          |          | 0.3252   | 0.1993   | 1.2414   | 0     | 0     | 0     |
| 4  | VIENTO     | LinStatic   |          |          | 0.2792   | -0.6107  | -0.2616  | 0     | 0     | 0     |
| 4  | OPERA      | LinStatic   |          |          | 0.1032   | 0.0314   | 0.1065   | 0     | 0     | 0     |
| 4  | SX         | LinRespSpec | Max      |          | 2.9746   | 0.4443   | 13.3943  | 0     | 0     | 0     |
| 4  | SY         | LinRespSpec | Max      |          | 1.3977   | 2.1104   | 6.6201   | 0     | 0     | 0     |
| 4  | SZ         | LinRespSpec | Max      |          | 1.9831   | 0.2962   | 8.9295   | 0     | 0     | 0     |
| 4  | CV_RED     | LinStatic   |          |          | 0.3095   | 0.157    | 0.9033   | 0     | 0     | 0     |
| 36   | DEAD       | LinStatic   |          |          | -0.4747  | 0.3889   | 4.4751   | 0     | 0     | 0     |
| 36   | MODAL      | LinModal    | Mode     | 1        | 7.1161   | 20.203   | 22.6818  | 0     | 0     | 0     |
| 36   | MODAL      | LinModal    | Mode     | 2        | 15.4779  | -2.7702  | -74.1284 | 0     | 0     | 0     |
| 36   | MODAL      | LinModal    | Mode     | 3        | 14.1576  | -0.2948  | -62.7899 | 0     | 0     | 0     |
| 36   | MODAL      | LinModal    | Mode     | 4        | -5.6271  | -16.5161 | 0.4181   | 0     | 0     | 0     |
| 36   | MODAL      | LinModal    | Mode     | 5        | 8.5016   | -4.3254  | -24.2864 | 0     | 0     | 0     |
| 36   | MODAL      | LinModal    | Mode     | 6        | -0.3775  | -2.6893  | -0.2501  | 0     | 0     | 0     |
| 36   | MODAL      | LinModal    | Mode     | 7        | -6.1616  | -2.6833  | 26.7527  | 0     | 0     | 0     |
| 36   | MODAL      | LinModal    | Mode     | 8        | -13.5037 | 7.6362   | 81.099   | 0     | 0     | 0     |
| 36   | MODAL      | LinModal    | Mode     | 9        | 0.4444   | -0.2925  | 15.7587  | 0     | 0     | 0     |
| 36   | MODAL      | LinModal    | Mode     | 10       | -5.7     | 8.2489   | 32.1572  | 0     | 0     | 0     |
| 36   | MODAL      | LinModal    | Mode     | 11       | -11.4965 | -7.247   | -44.6173 | 0     | 0     | 0     |
| 36   | MODAL      | LinModal    | Mode     | 12       | -11.698  | 0.6913   | 16.6271  | 0     | 0     | 0     |
| 36   | CV         | LinStatic   |          |          | -0.3172  | 0.8899   | 5.7672   | 0     | 0     | 0     |
| 36   | VIENTO     | LinStatic   |          |          | 0.6613   | -0.1997  | -4.2548  | 0     | 0     | 0     |
| 36   | OPERA      | LinStatic   |          |          | -0.1068  | 0.4032   | 2.3226   | 0     | 0     | 0     |
| 36   | SX         | LinRespSpec | Max      |          | 3.072    | 0.3107   | 13.8342  | 0     | 0     | 0     |
| 36   | SY         | LinRespSpec | Max      |          | 1.247    | 3.508    | 6.5461   | 0     | 0     | 0     |
| 36   | SZ         | LinRespSpec | Max      |          | 2.048    | 0.2072   | 9.2228   | 0     | 0     | 0     |

**Tabla 46. Descargas de columnas a cimentación de la torre TT-6 por tipo de carga**

| TABLA DE DESPLAZAMIENTOS MAXIMOS |            |             |           |           |           |             |             |              |
|----------------------------------|------------|-------------|-----------|-----------|-----------|-------------|-------------|--------------|
| Joint                            | OutputCase | CaseType    | U1        | U2        | U3        | R1          | R2          | R3           |
| Text                             | Text       | Text        | mm        | mm        | mm        | Radians     | Radians     | Radians      |
| 1                                | EGO_00     | Combination | 0.094999  | 0.027034  | -0.491861 | -0.00002    | 0.00017     | 0.00000944   |
| 2                                | EGO_00     | Combination | 0.095873  | 0.026201  | -0.388176 | 0.000124    | 0.000261    | -0.00000025  |
| 3                                | EGO_00     | Combination | 0.120434  | -0.023205 | -0.142913 | -0.000168   | 0.000127    | 0.000032     |
| 4                                | EGO_00     | Combination | 0         | 0         | 0         | 0.000086    | -0.000029   | -0.000031    |
| 5                                | EGO_00     | Combination | 0.568594  | -0.183783 | -0.205465 | 0.000006605 | 0.00009     | 0.000265     |
| 6                                | EGO_00     | Combination | 0.072518  | 0.022712  | -0.188628 | 0.00032     | 0.000078    | -0.000056    |
| 7                                | EGO_00     | Combination | 0.042304  | 0.070195  | -0.766635 | 0.000455    | 0.000085    | 0.00002      |
| 8                                | EGO_00     | Combination | 0.081127  | 0.058492  | -0.964687 | -0.000447   | 0.000173    | 0.000009913  |
| 9                                | EGO_00     | Combination | 0.070847  | 0.028111  | -0.241431 | 0.000186    | 0.000097    | 0.000012     |
| 10                               | EGO_00     | Combination | 0.112711  | 0.025683  | -0.274216 | -0.000231   | 0.00013     | 0.000019     |
| 11                               | EGO_00     | Combination | 0.056588  | 0.037677  | -0.584095 | 0.00032     | 0.000213    | 0.000016     |
| 12                               | EGO_00     | Combination | 0.092794  | 0.037383  | -1.094998 | 0.000205    | 0.000436    | 0.000013     |
| 13                               | EGO_00     | Combination | 0.090949  | 0.055121  | -1.352279 | -0.000207   | 0.000432    | 0.000018     |
| 14                               | EGO_00     | Combination | 0.096933  | 0.05483   | -0.669614 | -0.000339   | 0.000272    | 0.000009147  |
| 15                               | EGO_00     | Combination | 0.092548  | 0.066722  | -1.578829 | 0.000426    | 0.000288    | 0.000023     |
| 16                               | EGO_00     | Combination | 0.103926  | 0.009429  | -0.561365 | -0.000072   | 0.00005     | 0.00000103   |
| 17                               | EGO_00     | Combination | 0.095989  | 0.063807  | -1.872106 | -0.00000789 | 0.000513    | -0.000003457 |
| 18                               | EGO_00     | Combination | 0.096381  | -0.001843 | -0.265275 | -0.000035   | 0.00011     | -0.000003102 |
| 19                               | EGO_00     | Combination | 0.09412   | 0.032294  | -0.694589 | 0.000068    | 0.000397    | 0.000005692  |
| 20                               | EGO_00     | Combination | 0.095859  | 0.032626  | -0.629151 | 0.000098    | 0.000479    | 0.00002      |
| 21                               | EGO_00     | Combination | 0.072089  | 0.020805  | -0.298805 | 0.000131    | 0.000004066 | 0.000014     |
| 22                               | EGO_00     | Combination | 0.097677  | 0.021425  | -0.613444 | -0.00004    | -0.000062   | 0.000006107  |
| 23                               | EGO_00     | Combination | 0.092493  | 0.026009  | -0.575794 | -0.000015   | 0.000378    | 0.000004988  |
| 24                               | EGO_00     | Combination | 0.117043  | 0.006282  | -0.291322 | -0.000037   | 0.000029    | 0.000013     |
| 25                               | EGO_00     | Combination | 0.0936    | 0.006262  | -0.3569   | -0.000027   | 0.0001      | 0.000021     |
| 26                               | EGO_00     | Combination | 0.096394  | 0.022516  | -0.533765 | -0.000031   | -0.000083   | 0.000001241  |
| 27                               | EGO_00     | Combination | 0.095999  | 0.022365  | -0.343289 | 0.000083    | 0.000014    | 0.000007192  |
| 28                               | EGO_00     | Combination | 0.090807  | 0.061461  | -1.659988 | -0.000392   | 0.00011     | -0.000008359 |
| 29                               | EGO_00     | Combination | 0.094259  | -0.010923 | -0.350895 | -0.00003    | -0.000372   | -0.000004576 |
| 30                               | EGO_00     | Combination | 0.095954  | 0.023793  | -0.342154 | 0.000096    | 0.000056    | 0.000005094  |
| 31                               | EGO_00     | Combination | 0.092902  | 0.02356   | -0.462168 | -0.000019   | 0.000182    | 0.000007524  |
| 32                               | EGO_00     | Combination | 0.095856  | 0.052366  | -1.044402 | 0.000063    | 0.000571    | 0.000019     |
| 33                               | EGO_00     | Combination | 0.091088  | 0.052707  | -1.298356 | -0.000192   | 0.000463    | 0.00002      |
| 34                               | EGO_00     | Combination | 0.095855  | 0.030002  | -0.553894 | 0.000105    | 0.000436    | 0.000014     |
| 35                               | EGO_00     | Combination | 0.092073  | 0.030223  | -0.793016 | -0.00007    | 0.000523    | 0.000016     |
| 36                               | EGO_00     | Combination | 0         | 0         | 0         | 0.000112    | -0.000032   | -0.000037    |
| 37                               | EGO_00     | Combination | 0.568982  | -0.096716 | -0.355203 | -0.000031   | 0.000109    | 0.000167     |
| 38                               | EGO_00     | Combination | 0         | 0         | 0         | -0.000158   | -0.000017   | -0.000018    |
| 39                               | EGO_00     | Combination | 0.366574  | -0.24544  | -0.25548  | 0.000145    | 0.000071    | -0.000549    |
| 40                               | EGO_00     | Combination | 0         | 0         | 0         | -0.000107   | -0.000027   | 0.000009273  |
| 41                               | EGO_00     | Combination | 0.360029  | -0.052422 | -0.311523 | 0.000081    | 0.000063    | -0.0002      |
| 42                               | EGO_00     | Combination | 0.097567  | 0.000185  | -0.259806 | -0.000111   | 0.000046    | -0.000006389 |
| 43                               | EGO_00     | Combination | -0.941193 | -0.211589 | -0.319206 | -0.000105   | -0.003663   | 0.000227     |
| 44                               | EGO_00     | Combination | 0.57003   | -0.013048 | -0.972184 | 0.00014     | 0.000237    | 0.000251     |

**Tabla 47. Ejemplo de desplazamientos de nodos pertenecientes a la torre TT-6.**

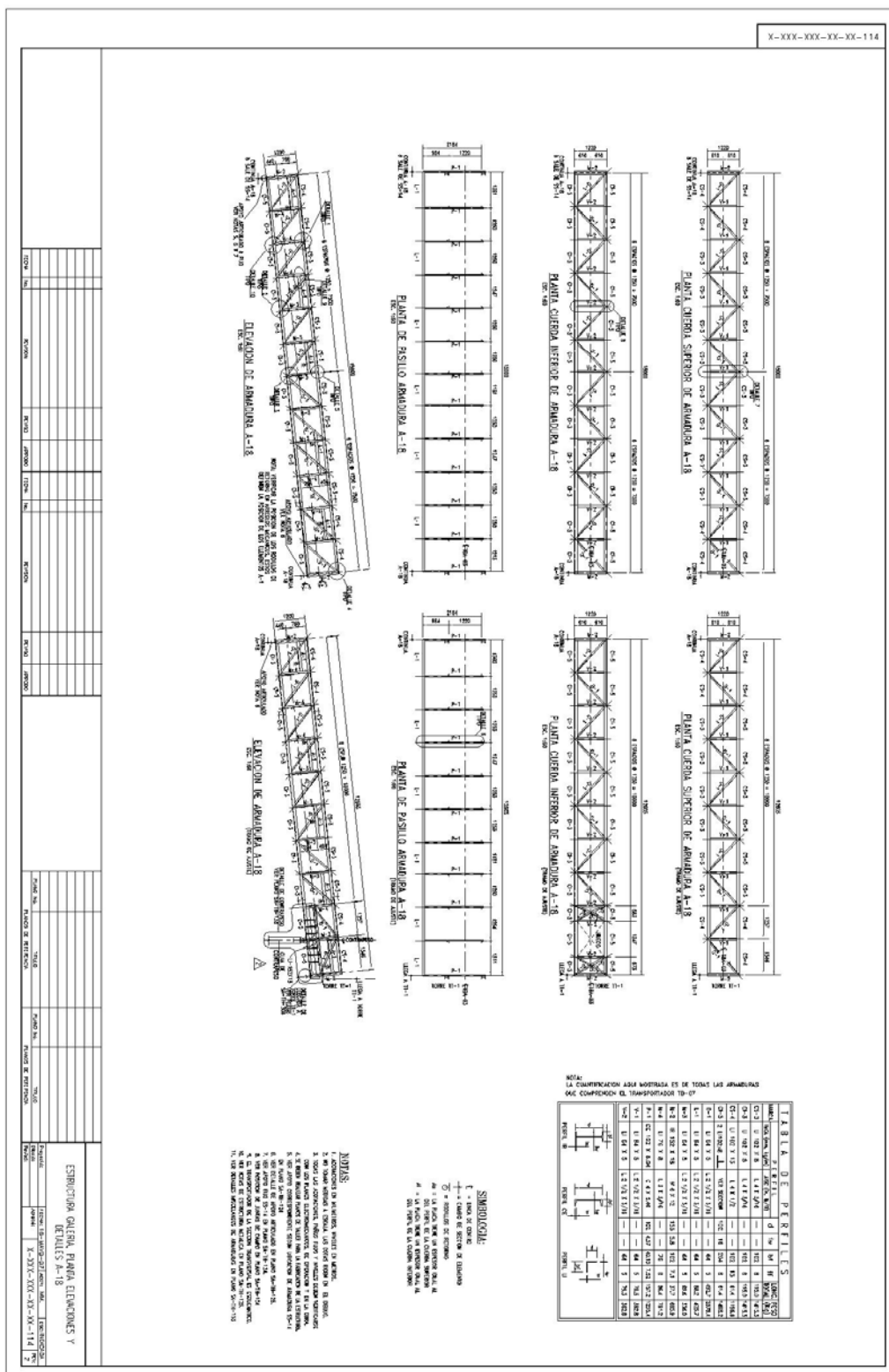
**TABLA DE RESUMEN DE RELACION DE INTERACCION DISEÑO**

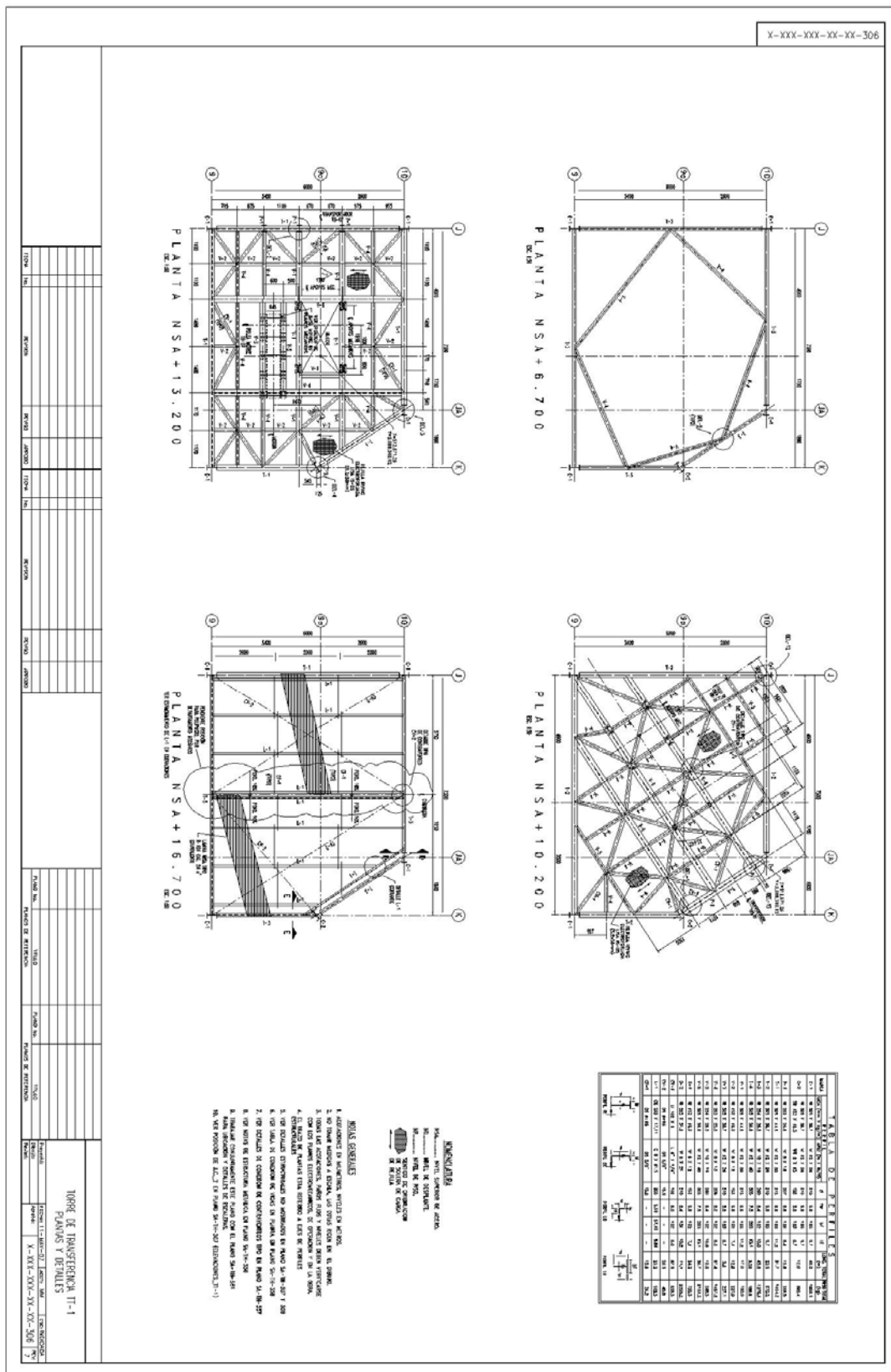
| <b>Frame</b> | <b>DesignSect</b> | <b>DesignType</b> | <b>Status</b> | <b>Ratio</b> | <b>RatioType</b> | <b>Combo</b> | <b>Location</b> | <b>WarnMsg</b> |
|--------------|-------------------|-------------------|---------------|--------------|------------------|--------------|-----------------|----------------|
| Text         | Text              | Text              | Text          | Unitless     | Text             | Text         | cm              | Text           |
| 1            | C-1               | Column            | No Messages   | 0.358156     | PMM              | EGO_10       | 0               | No Messages    |
| 2            | C-1               | Column            | No Messages   | 0.102847     | PMM              | EGO_01       | 0               | No Messages    |
| 16           | T-2               | Beam              | No Messages   | 0.249743     | PMM              | EGO_10       | 138             | No Messages    |
| 25           | T-1               | Beam              | No Messages   | 0.245083     | PMM              | EGO_10       | 272.5           | No Messages    |
| 28           | V-3               | Beam              | No Messages   | 0.053731     | PMM              | EGO_28       | 147.5           | No Messages    |
| 29           | V-3               | Beam              | No Messages   | 0.047178     | PMM              | EGO_10       | 0               | No Messages    |
| 32           | V-3               | Beam              | No Messages   | 0.151236     | PMM              | EGO_28       | 125             | No Messages    |
| 33           | V-3               | Beam              | No Messages   | 0.034989     | PMM              | EGO_10       | 147.5           | No Messages    |
| 35           | CV-1              | Beam              | No Messages   | 0.15257      | PMM              | EGO_10       | 98.271          | No Messages    |
| 36           | V-3               | Beam              | No Messages   | 0.104911     | PMM              | EGO_28       | 0               | No Messages    |
| 38           | CV-1              | Beam              | No Messages   | 0.176448     | PMM              | EGO_10       | 98.271          | No Messages    |
| 39           | CV-1              | Beam              | No Messages   | 0.202573     | PMM              | EGO_10       | 94.511          | No Messages    |
| 41           | CV-1              | Beam              | No Messages   | 0.187169     | PMM              | EGO_10       | 94.511          | No Messages    |
| 42           | CV-1              | Beam              | No Messages   | 0.142848     | PMM              | EGO_10       | 84.149          | No Messages    |
| 44           | CV-1              | Beam              | No Messages   | 0.207447     | PMM              | EGO_10       | 84.149          | No Messages    |
| 45           | CV-1              | Beam              | No Messages   | 0.220187     | PMM              | EGO_10       | 81.345          | No Messages    |
| 47           | CV-1              | Beam              | No Messages   | 0.20928      | PMM              | EGO_10       | 81.345          | No Messages    |
| 49           | V-3               | Beam              | No Messages   | 0.113179     | PMM              | EGO_10       | 0               | No Messages    |
| 52           | V-3               | Beam              | No Messages   | 0.20871      | PMM              | EGO_10       | 100.5           | No Messages    |
| 53           | V-3               | Beam              | No Messages   | 0.175982     | PMM              | EGO_10       | 100.5           | No Messages    |
| 54           | C-1               | Column            | No Messages   | 0.3039       | PMM              | EGO_10       | 0               | No Messages    |
| 58           | C-3               | Column            | No Messages   | 0.320739     | PMM              | EGO_28       | 0               | No Messages    |
| 62           | C-1               | Column            | No Messages   | 0.398179     | PMM              | EGO_10       | 0               | No Messages    |
| 63           | C-1               | Column            | No Messages   | 0.111751     | PMM              | EGO_01       | 0               | No Messages    |
| 64           | C-1               | Column            | No Messages   | 0.503261     | PMM              | EGO_10       | 0               | No Messages    |
| 65           | C-3               | Column            | No Messages   | 0.299672     | PMM              | EGO_28       | 0               | No Messages    |
| 66           | D-2               | Brace             | No Messages   | 0.72132      | PMM              | EGO_28       | 305.54          | No Messages    |
| 67           | D-2               | Brace             | No Messages   | 0.724152     | PMM              | EGO_28       | 305.54          | No Messages    |
| 68           | T-4               | Brace             | No Messages   | 0.271473     | PMM              | EGO_10       | 10.072          | No Messages    |
| 70           | T-4               | Brace             | No Messages   | 0.283013     | PMM              | EGO_10       | 241.722         | No Messages    |
| 71           | C-2               | Column            | No Messages   | 0.23011      | PMM              | EGO_28       | 0               | No Messages    |
| 72           | C-2               | Column            | No Messages   | 0.225228     | PMM              | EGO_28       | 0               | No Messages    |
| 73           | T-4               | Brace             | No Messages   | 0.460854     | PMM              | EGO_10       | 0               | No Messages    |
| 74           | T-4               | Brace             | No Messages   | 0.416213     | PMM              | EGO_10       | 251.794         | No Messages    |
| 75           | T-4               | Brace             | No Messages   | 0.327282     | PMM              | EGO_10       | 10.072          | No Messages    |
| 77           | T-4               | Brace             | No Messages   | 0.301085     | PMM              | EGO_10       | 241.722         | No Messages    |
| 78           | T-4               | Beam              | No Messages   | 0.302605     | PMM              | EGO_10       | 0               | No Messages    |
| 79           | T-4               | Beam              | No Messages   | 0.218488     | PMM              | EGO_10       | 0               | No Messages    |
| 80           | T-4               | Beam              | No Messages   | 0.253122     | PMM              | EGO_10       | 0               | No Messages    |
| 81           | T-4               | Beam              | No Messages   | 0.200043     | PMM              | EGO_10       | 0               | No Messages    |
| 86           | D-1               | Brace             | No Messages   | 0.176294     | PMM              | EGO_10       | 0               | No Messages    |
| 87           | D-1               | Brace             | No Messages   | 0.176681     | PMM              | EGO_10       | 0               | No Messages    |
| 88           | V-1               | Beam              | No Messages   | 0.076775     | PMM              | EGO_10       | 180             | No Messages    |
| 90           | D-1               | Brace             | No Messages   | 0.208013     | PMM              | EGO_10       | 0               | No Messages    |

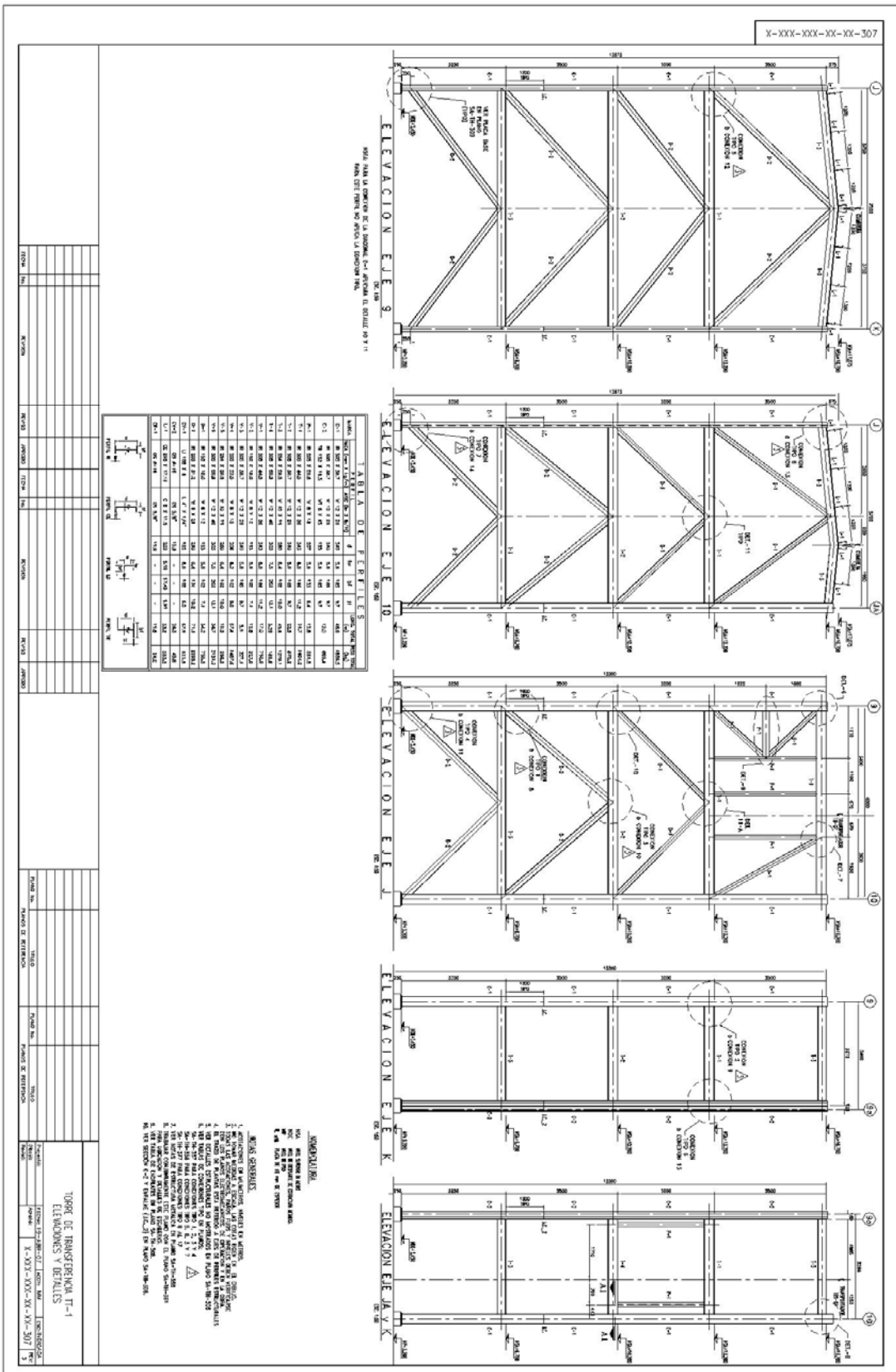
**Tabla 48. Relaciones de Interacción de diseño de elementos estructurales para TT-6.**

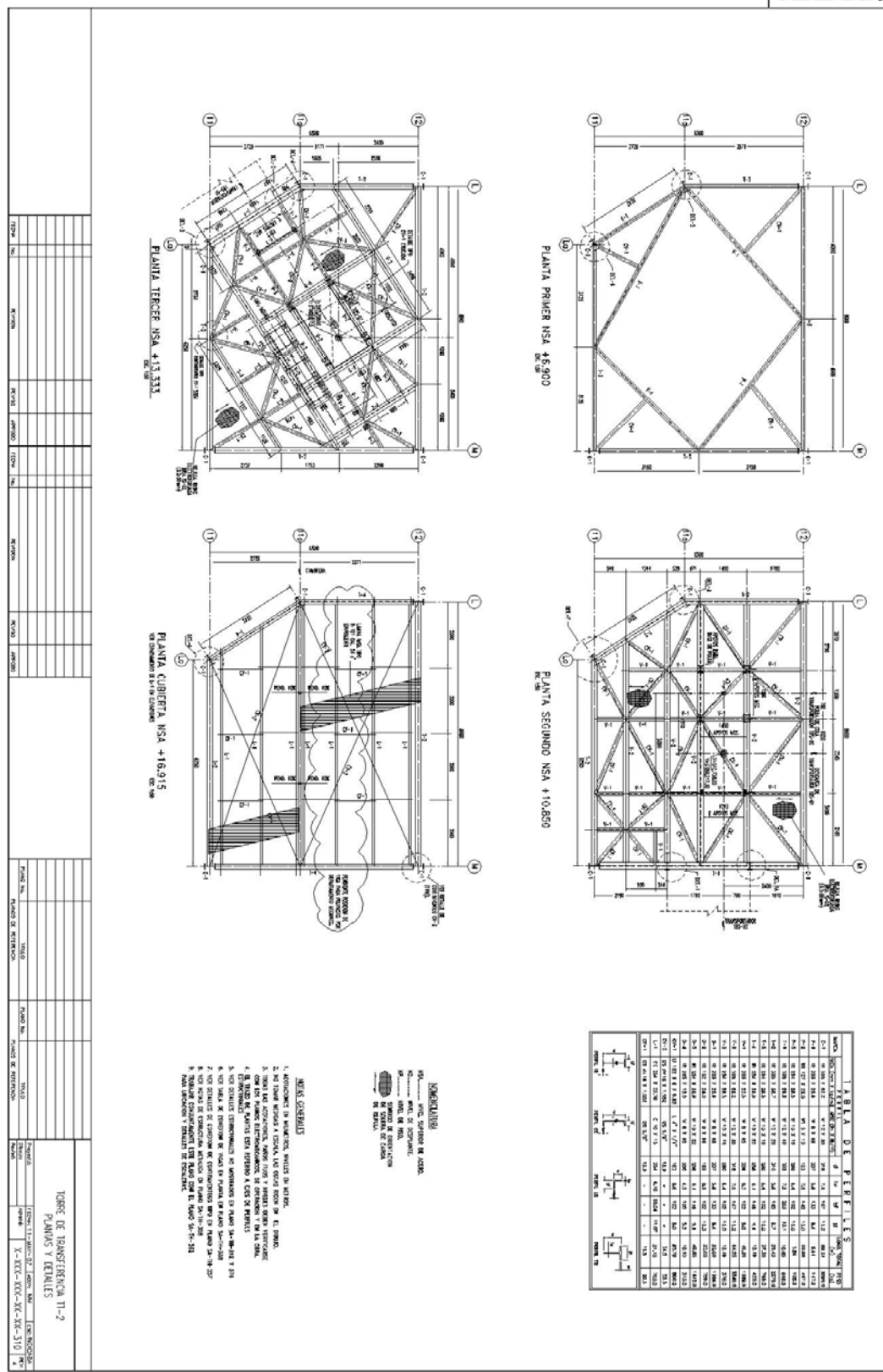
## **VI. PLANOS ESTRUCTURALES.**

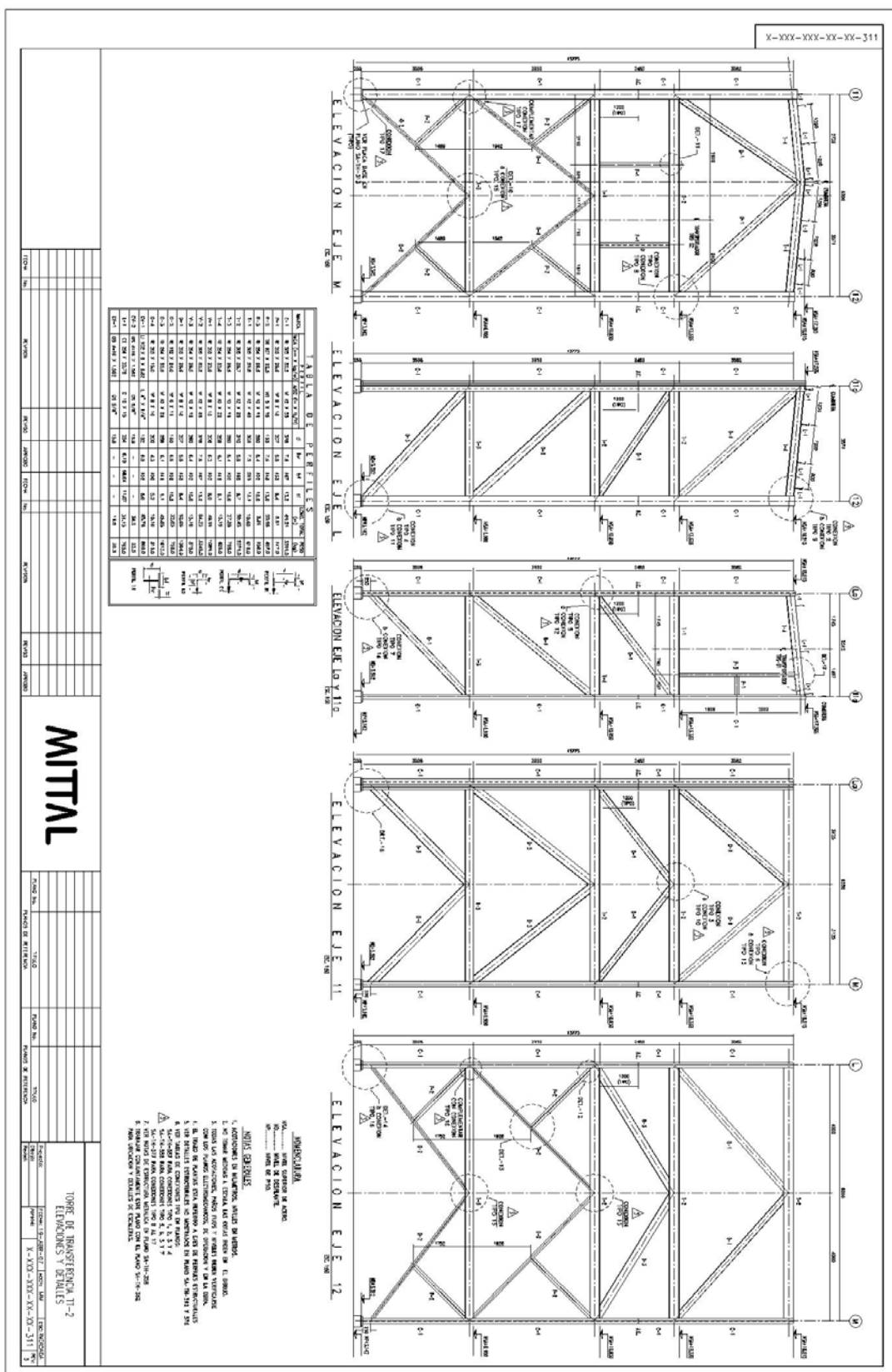
A continuación se muestran los planos estructurales que se generaron a partir del análisis y diseño de las estructuras aquí mostradas.

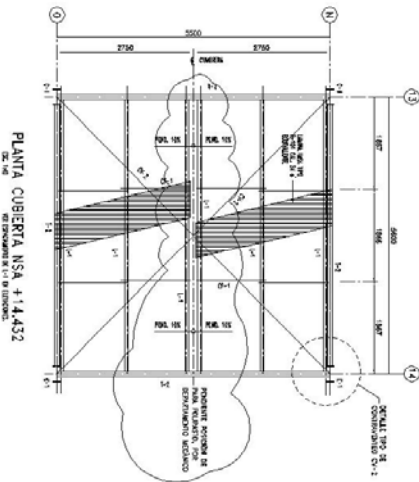






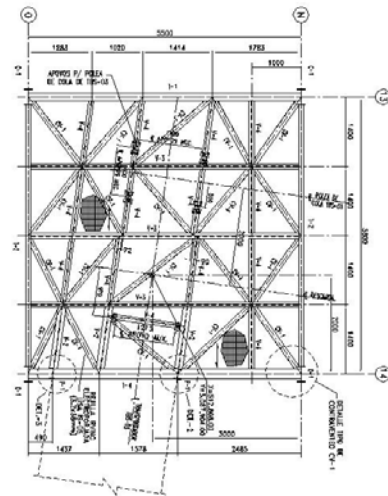




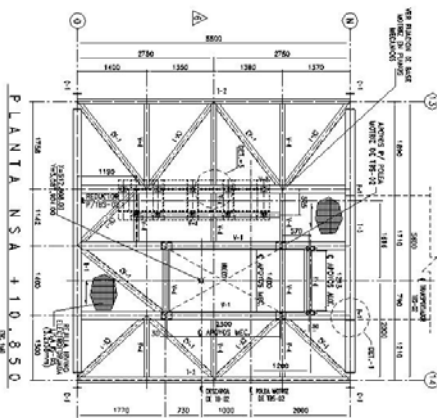


PLANTA CUBIERTA NSA +14.432  
DE 140  
VIA EXCELENTE DE LUNZBURG.

TABLE II  
Effect of Temperature on the Properties of Poly(1,3-butadiene)



P L A N | A N S A + 3 . 1 /

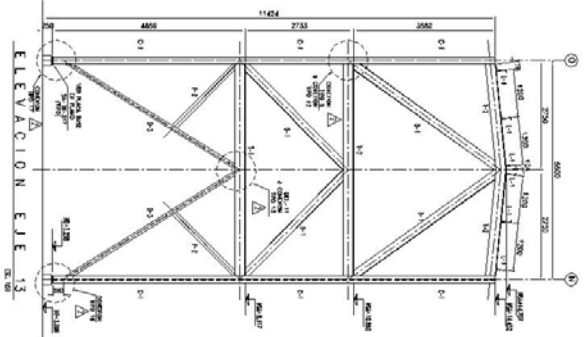


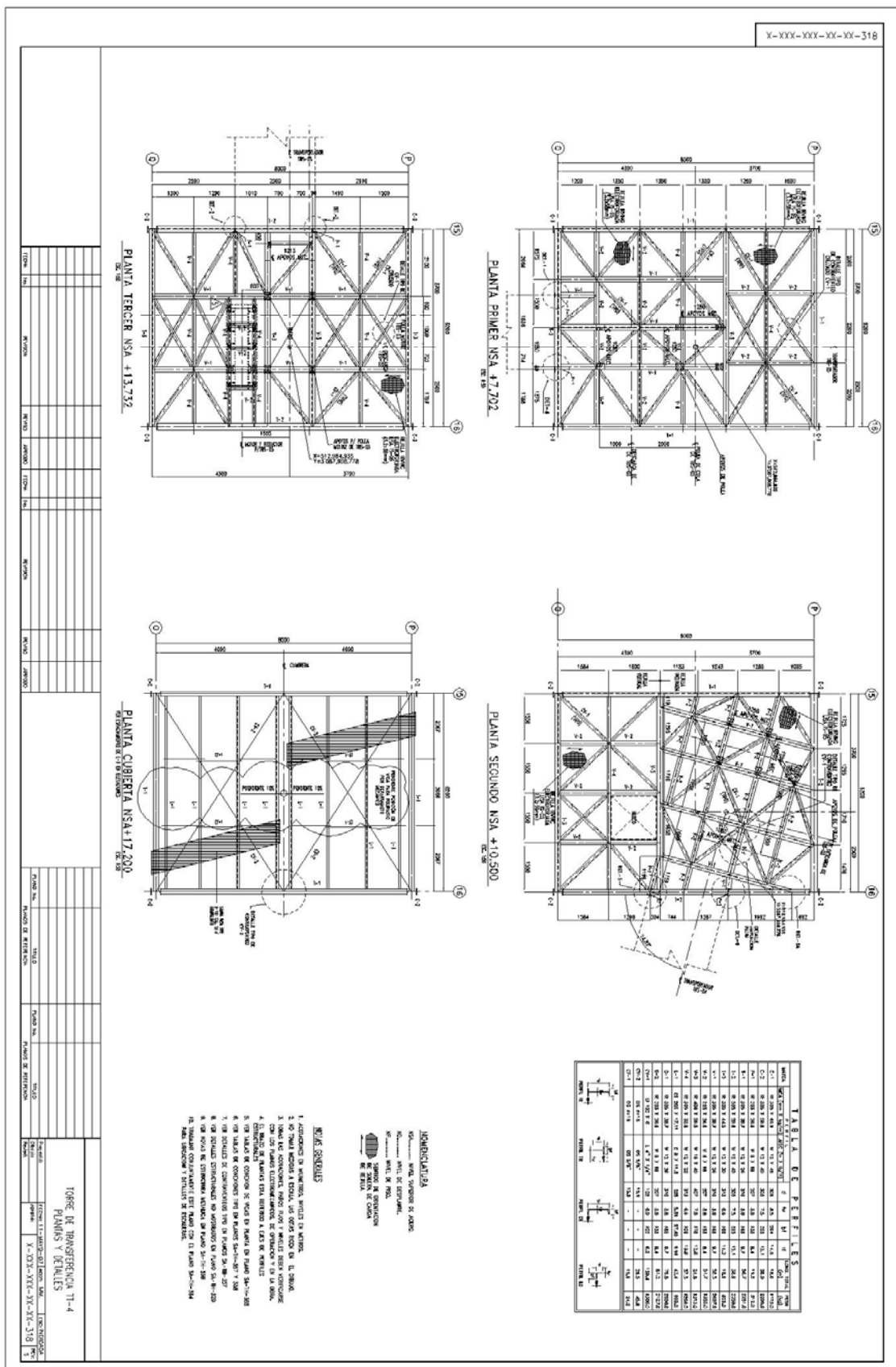
PLAINTA + 30.03.06

TORRE DE TRANSFERENCIA TT  
PLANTAS Y RETALIOS

**SOCIEDAD DE  
ESTUDIOS SOCIALES**

X-XXX-XXX-XX-XX-315





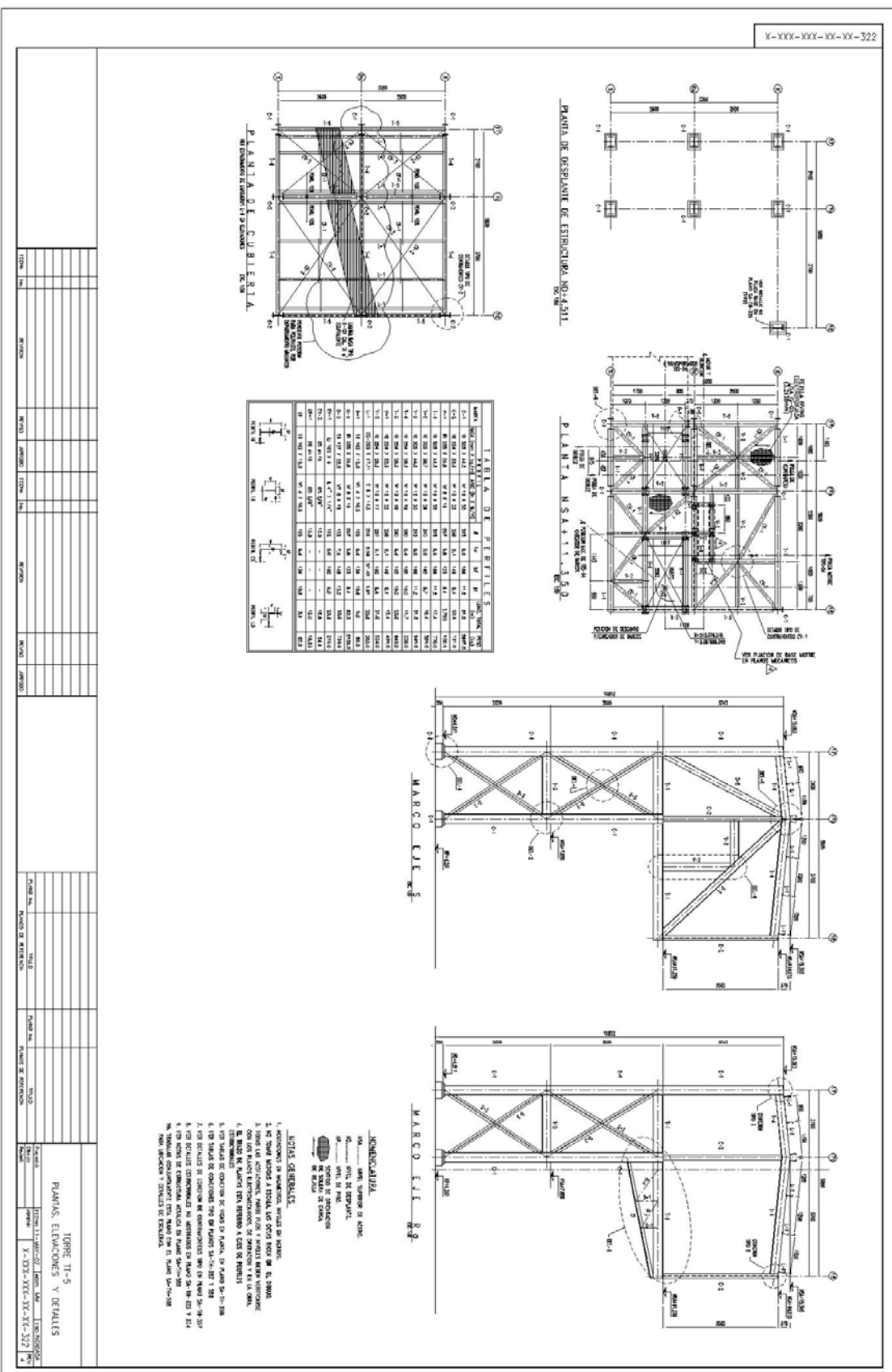
TORRE DE TRANSFERENCIA IT-4  
ELEVACIONES Y DETALLES

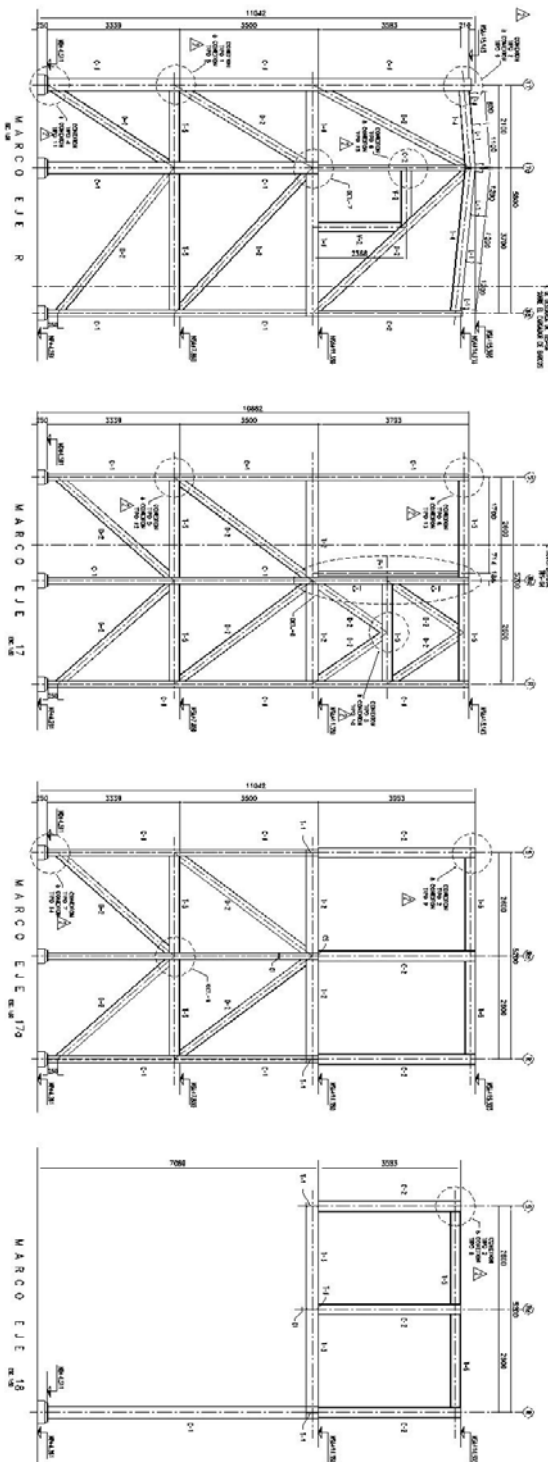
NOTIFICATION

The figure consists of four separate technical drawings, each representing a different longitudinal section (Eje) of a bridge. The sections are arranged vertically from top to bottom.

- ELEVACION EJE 0:** This drawing shows the leftmost section of the bridge. It features a truss girder system with a total width of 14'0" (168"). The girder is supported by two piers and a central pier. The drawing includes a detailed view of the girder's cross-section and its connection to the piers.
- ELEVACION EJE 15:** This drawing shows the second section from the left. It has a total width of 14'0" (168") and includes a detailed view of a girder joint.
- ELEVACION EJE 30:** This drawing shows the third section from the left. It has a total width of 14'0" (168") and includes a detailed view of a girder joint.
- ELEVACION EJE 45:** This drawing shows the rightmost section of the bridge. It has a total width of 14'0" (168") and includes a detailed view of a girder joint.

Each drawing includes various dimensions, load specifications, and structural details such as girder thicknesses, bolt sizes, and connection types. The drawings are highly detailed, showing the internal truss structure and the way it is supported by the bridge piers.





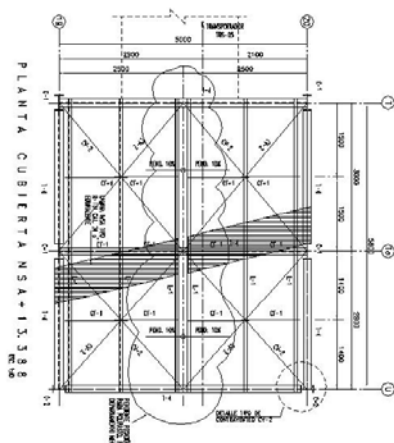
| C (VOL%) | P-3000 |      | P-3000 |      | P-3000 |      |
|----------|--------|------|--------|------|--------|------|
|          | Wt%    | Vol% | Wt%    | Vol% | Wt%    | Vol% |
| 100      | 100    | 100  | 100    | 100  | 100    | 100  |
| 95       | 95     | 95   | 95     | 95   | 95     | 95   |
| 90       | 90     | 90   | 90     | 90   | 90     | 90   |
| 85       | 85     | 85   | 85     | 85   | 85     | 85   |
| 80       | 80     | 80   | 80     | 80   | 80     | 80   |
| 75       | 75     | 75   | 75     | 75   | 75     | 75   |
| 70       | 70     | 70   | 70     | 70   | 70     | 70   |
| 65       | 65     | 65   | 65     | 65   | 65     | 65   |
| 60       | 60     | 60   | 60     | 60   | 60     | 60   |
| 55       | 55     | 55   | 55     | 55   | 55     | 55   |
| 50       | 50     | 50   | 50     | 50   | 50     | 50   |
| 45       | 45     | 45   | 45     | 45   | 45     | 45   |
| 40       | 40     | 40   | 40     | 40   | 40     | 40   |
| 35       | 35     | 35   | 35     | 35   | 35     | 35   |
| 30       | 30     | 30   | 30     | 30   | 30     | 30   |
| 25       | 25     | 25   | 25     | 25   | 25     | 25   |
| 20       | 20     | 20   | 20     | 20   | 20     | 20   |
| 15       | 15     | 15   | 15     | 15   | 15     | 15   |
| 10       | 10     | 10   | 10     | 10   | 10     | 10   |
| 5        | 5      | 5    | 5      | 5    | 5      | 5    |
| 0        | 0      | 0    | 0      | 0    | 0      | 0    |

**BUDS (BIRDS)**  
BUDS (BIRDS) es una revista de aves, de la que se publican artículos sobre la ornitología, tanto en su aspecto teórico como práctico, así como las novedades en el campo de la caza y la pesca. BUDS (BIRDS) es una revista trimestral, dirigida a los aficionados a la naturaleza, con sus artículos de divulgación, de carácter científico y de divulgación, así como sus novedades en el campo de la caza y la pesca. BUDS (BIRDS) es una revista trimestral, dirigida a los aficionados a la naturaleza, con sus artículos de divulgación, de carácter científico y de divulgación, así como sus novedades en el campo de la caza y la pesca.

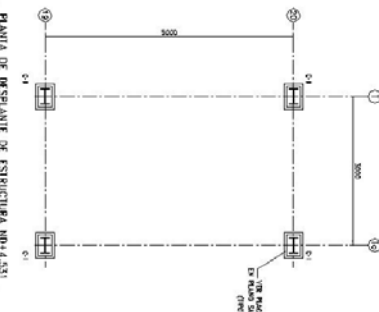
**ESTADOS UNIDOS**

TORRE DE TRANSFERENCIA II -  
ELEVACIONES Y DETALLES

**TABLE OF TRANSFERRED ELEMENTS DETAILS**

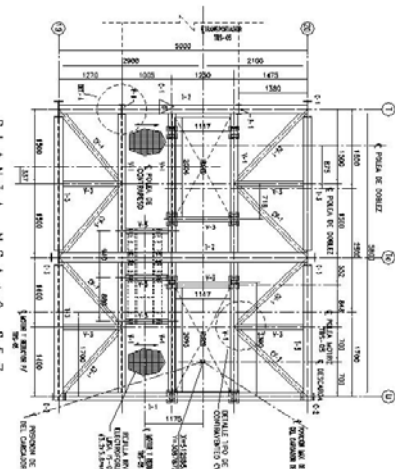


PLANTACIÓN CUBIERTA NSA + | 3.388



---

DC 14



F L A N N S A T Y . 6 3 /

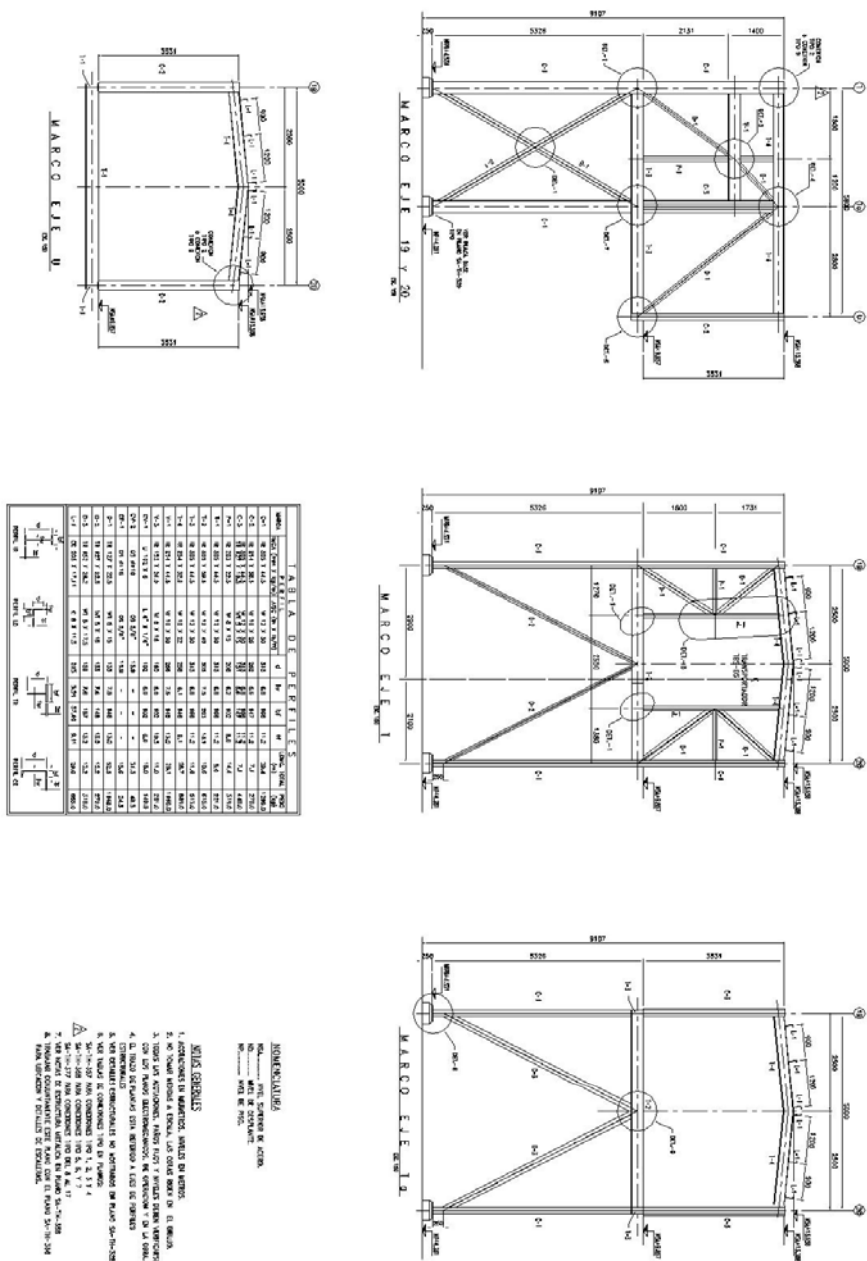
1. ASESORAJES EN INVER

DE SOLA DE CADA  
DE JULIA

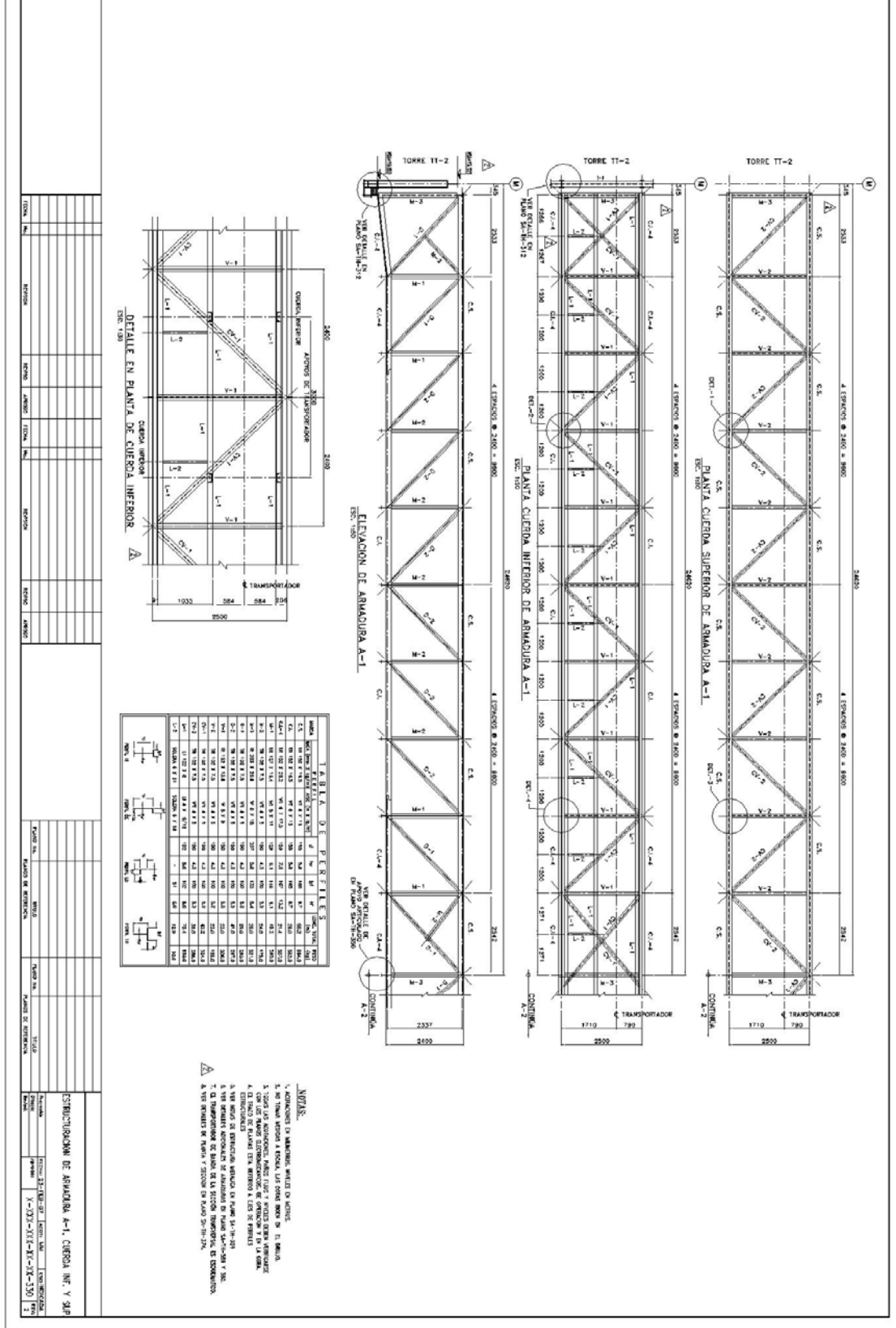
BRITISH HERB-PLATE LIBRARY  
THE HERB-PLATE LIBRARY IS A REGISTERED TRADE MARK  
OF THE HERB-PLATE COMPANY LTD, 1990.  
© 1990 THE HERB-PLATE COMPANY LTD.  
PRINTED IN U.K. BY THE HERB-PLATE COMPANY LTD.  
ALL RIGHTS RESERVED.  
NO PART OF THIS PUBLICATION MAY BE REPRODUCED  
IN WHOLE OR IN PART, WITHOUT THE WRITTEN  
CONSENT OF THE HERB-PLATE COMPANY LTD.

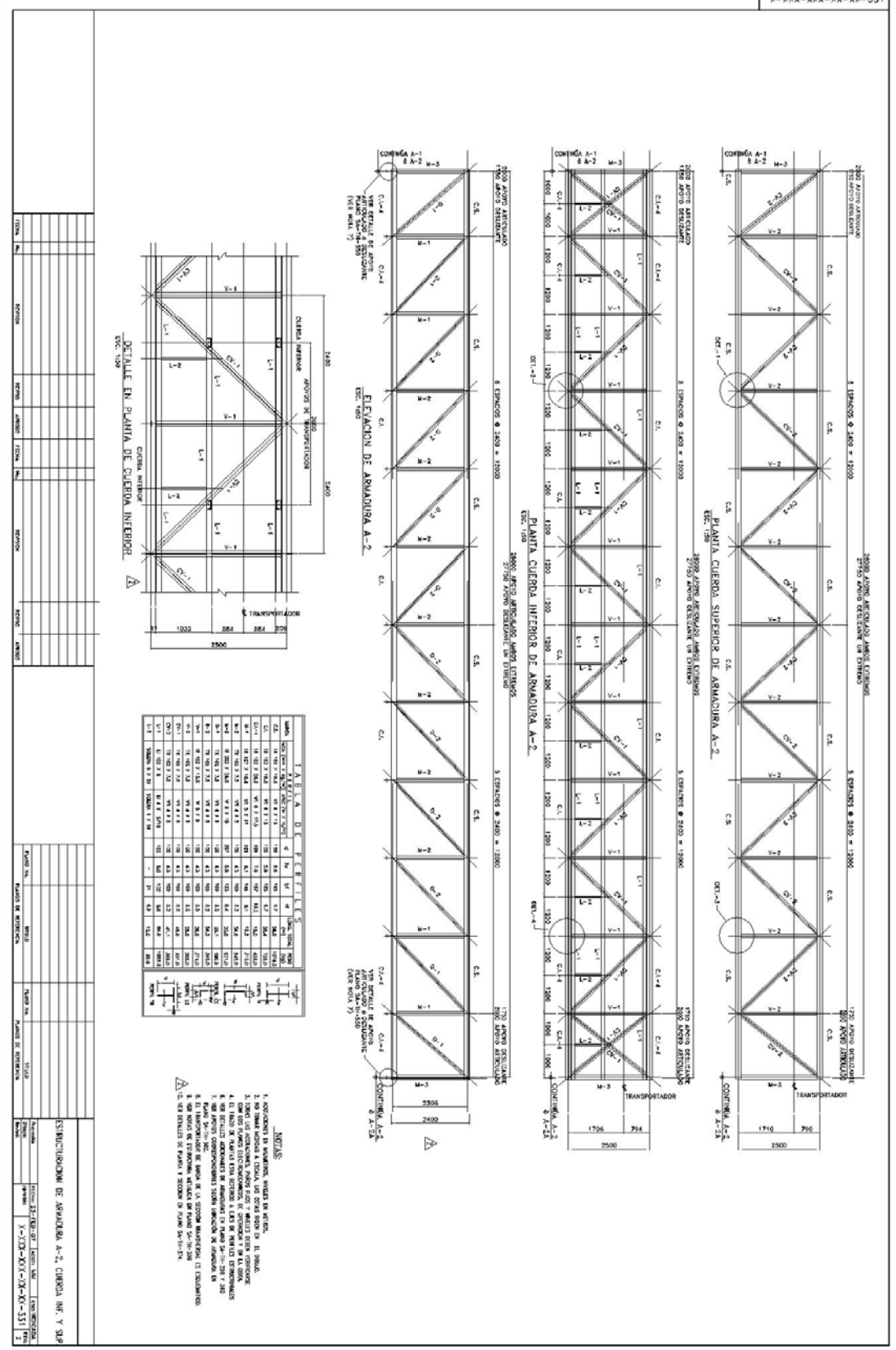
**TORRE DE TRANSFERENCIA TI-6**  
**PLANTAS Y DETALLES**

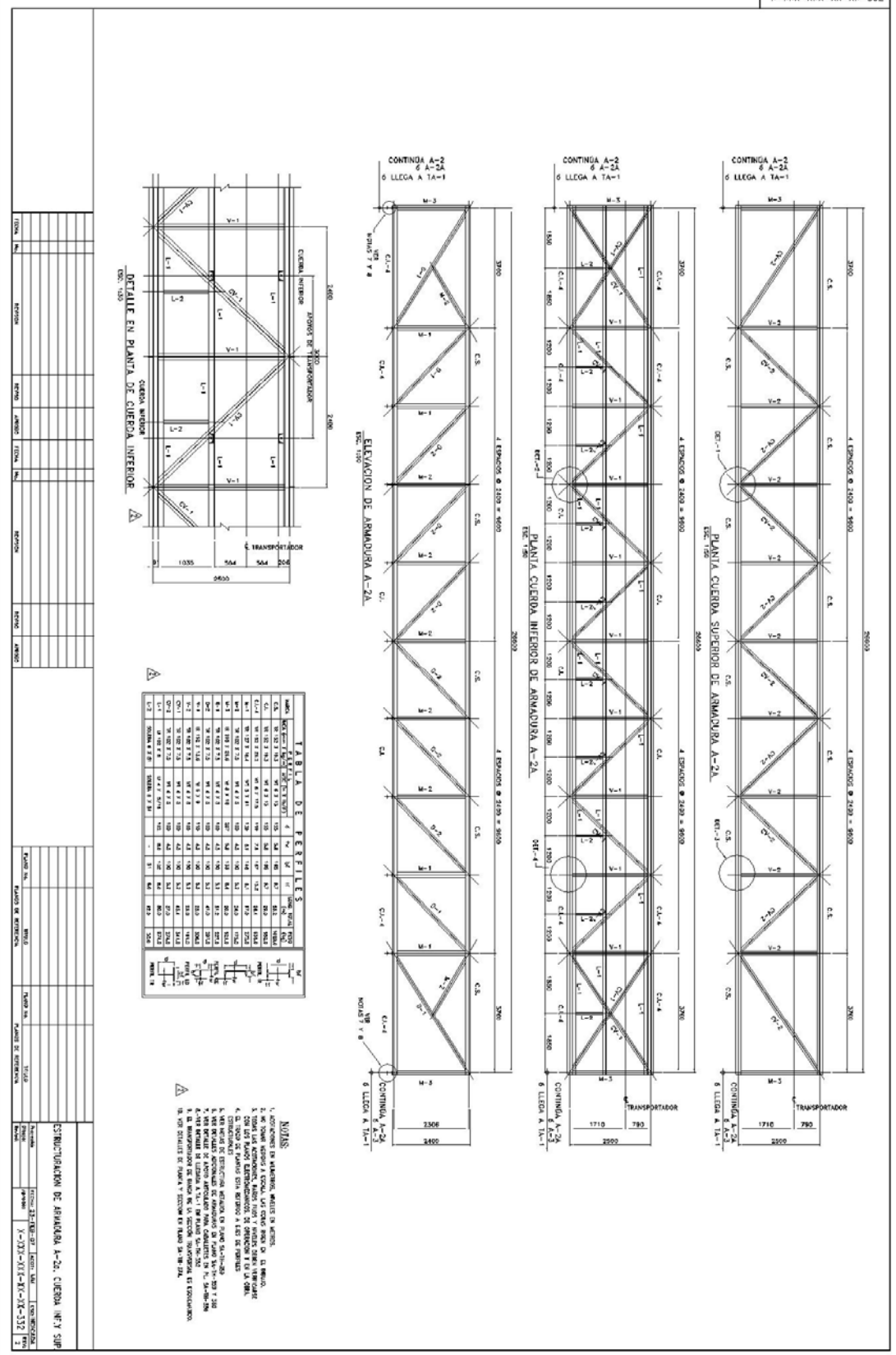
X-XXX-XXX-XX-XX-326

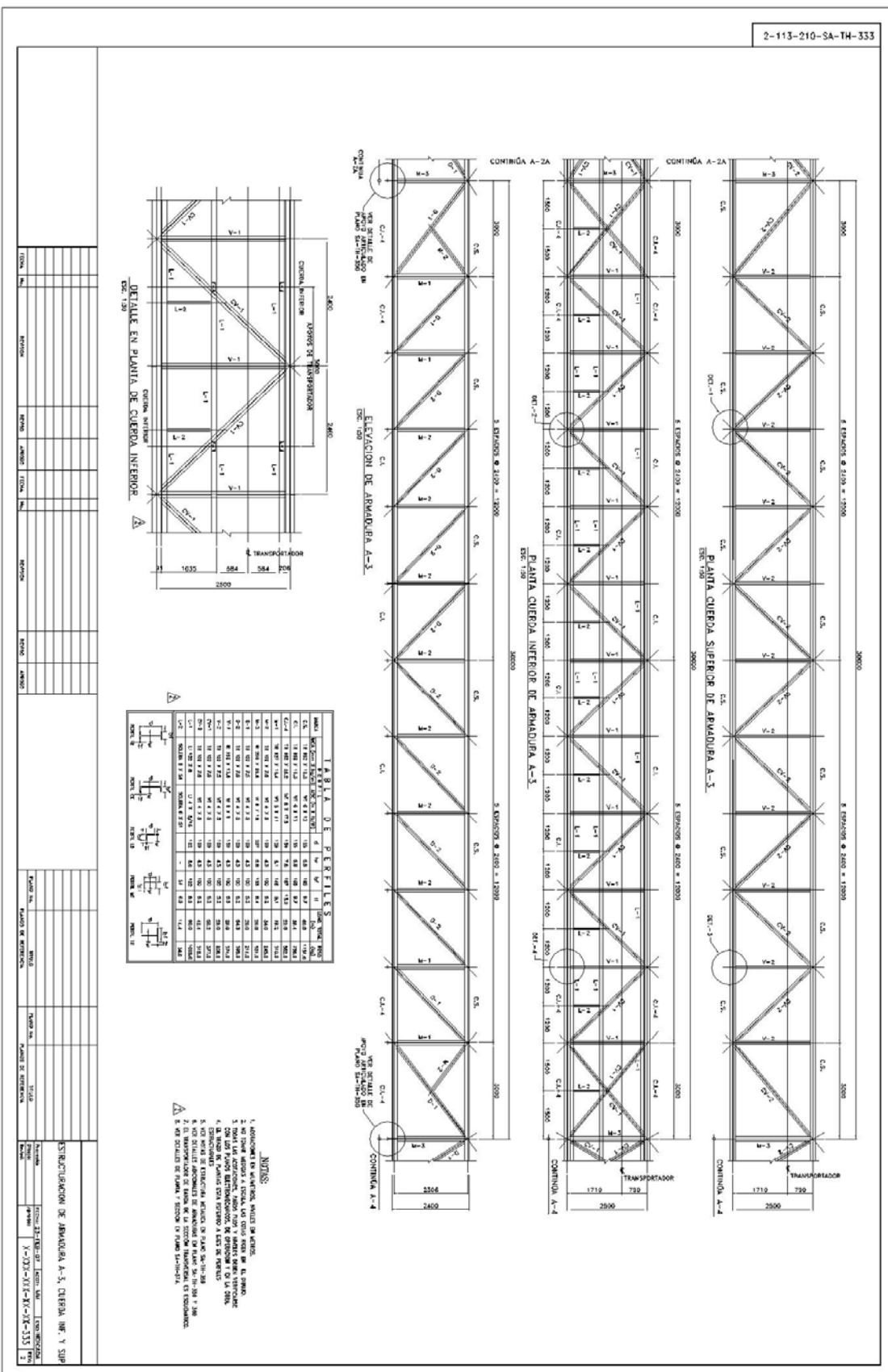


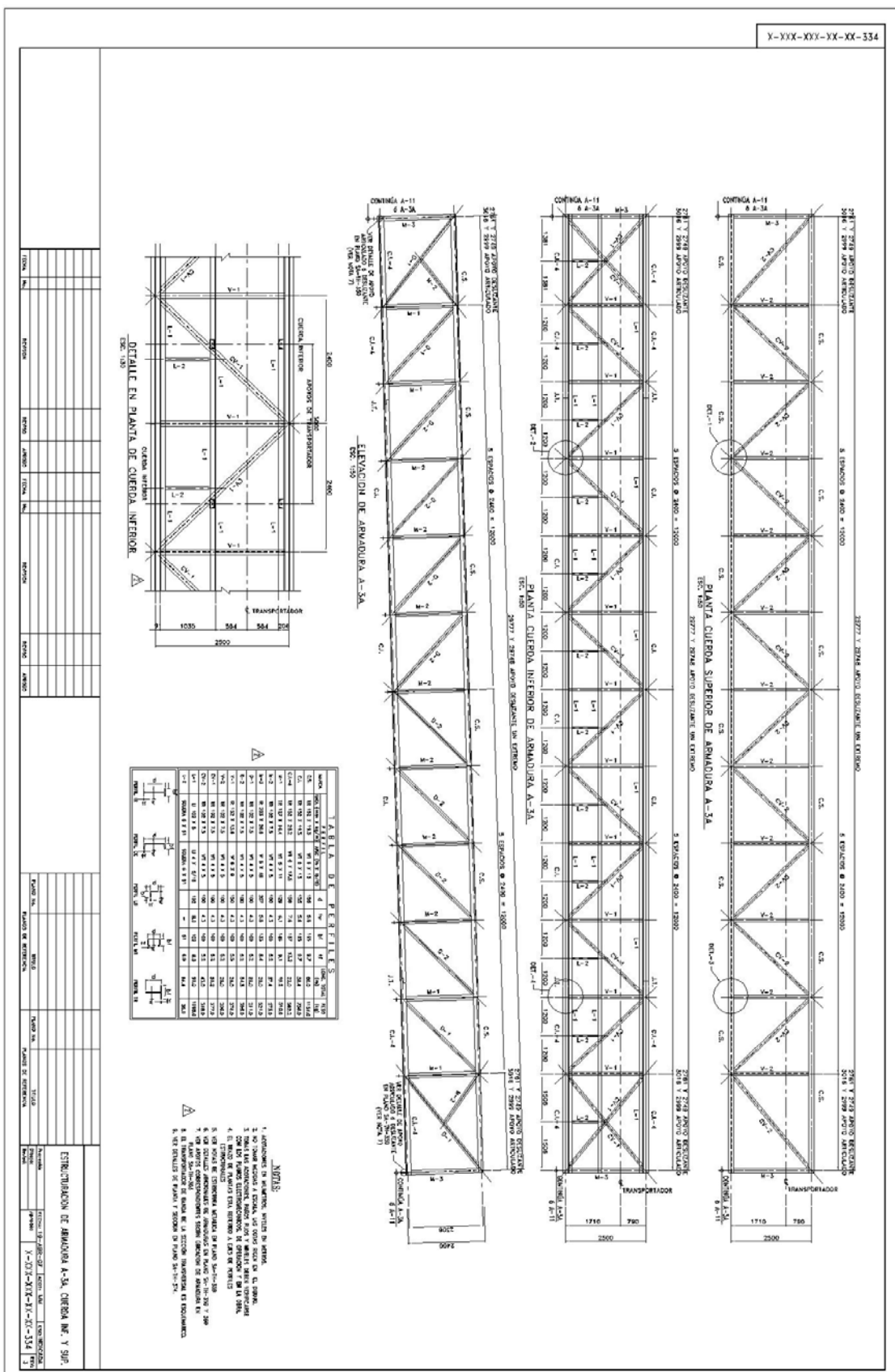
TORRE DE TRANSFERENCIA II-  
ELEVACIONES Y DETALLES

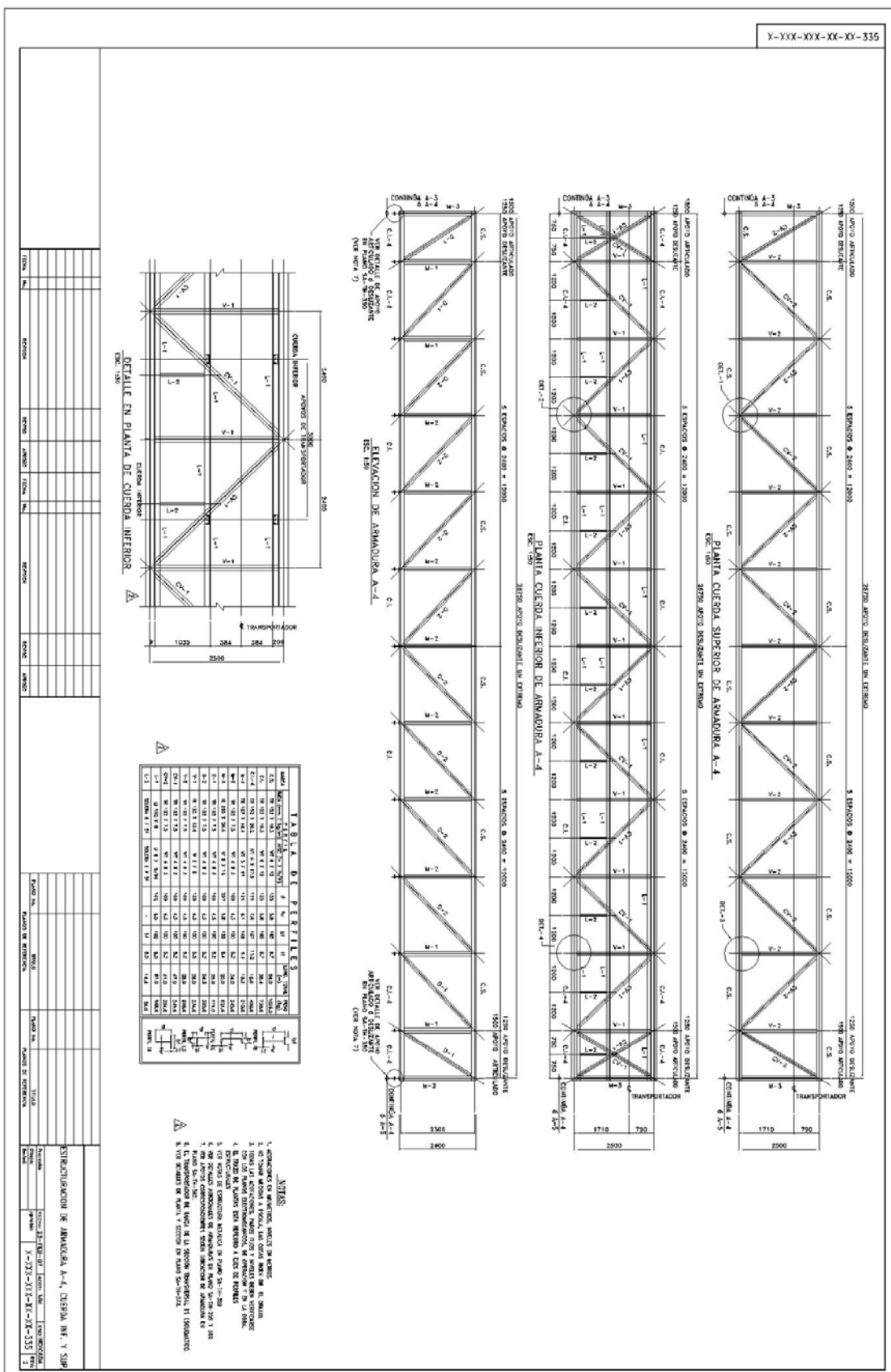


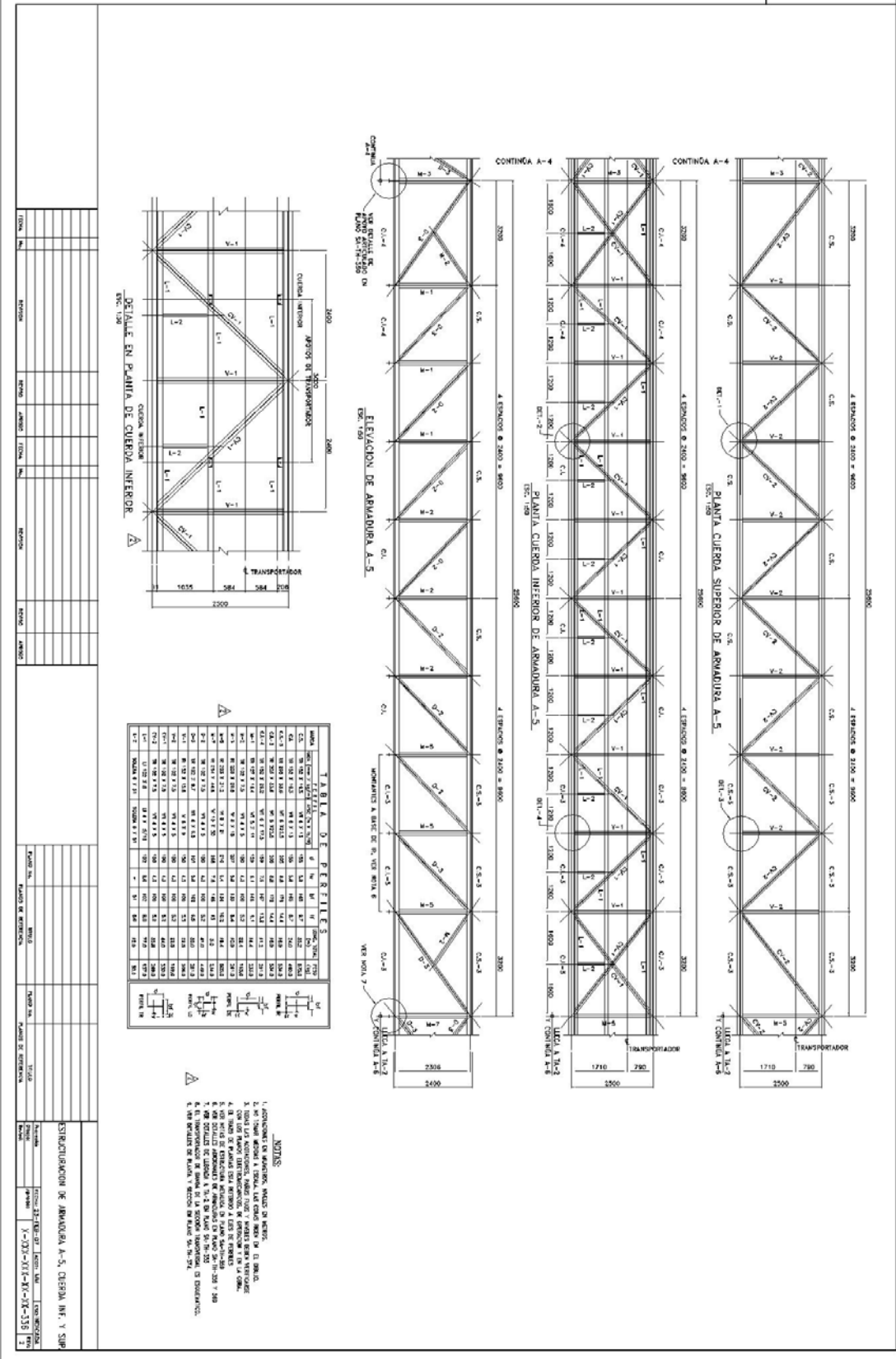


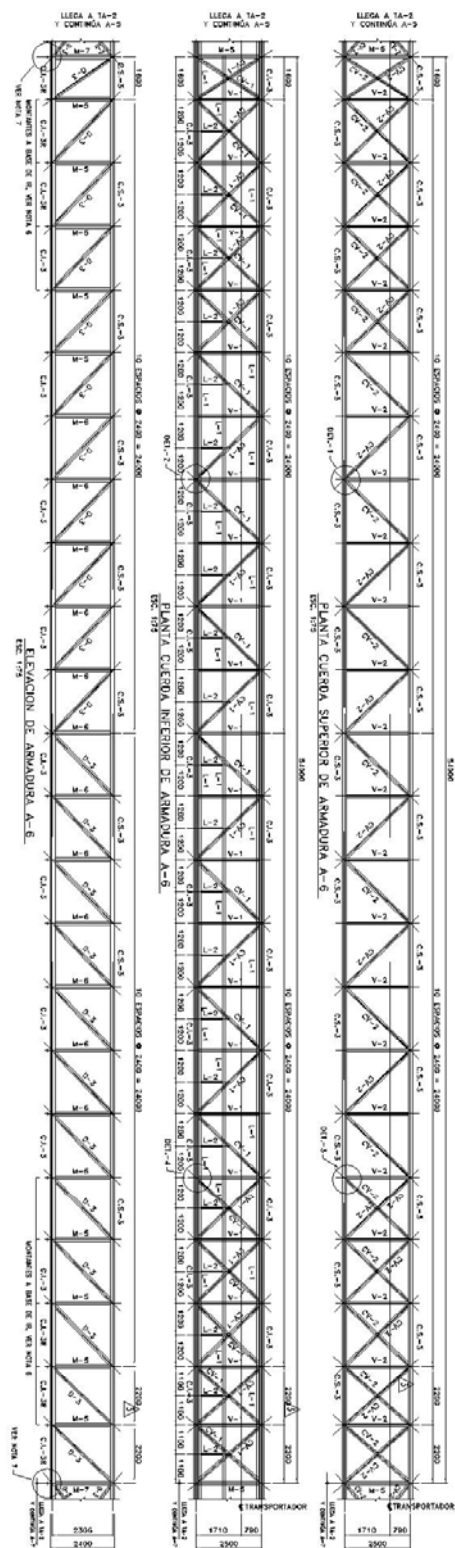












卷之三

4. UN PLAN DE DESARROLLO ECONOMICO EN COORDINACION CON EL PLANO NACIONAL DE DESARROLLO ECONOMICO Y SOCIAL.

5. UN PLAN DE DESARROLLO ECONOMICO EN COORDINACION CON EL PLANO NACIONAL DE DESARROLLO ECONOMICO Y SOCIAL.

6. UN PLAN DE DESARROLLO ECONOMICO EN COORDINACION CON EL PLANO NACIONAL DE DESARROLLO ECONOMICO Y SOCIAL.

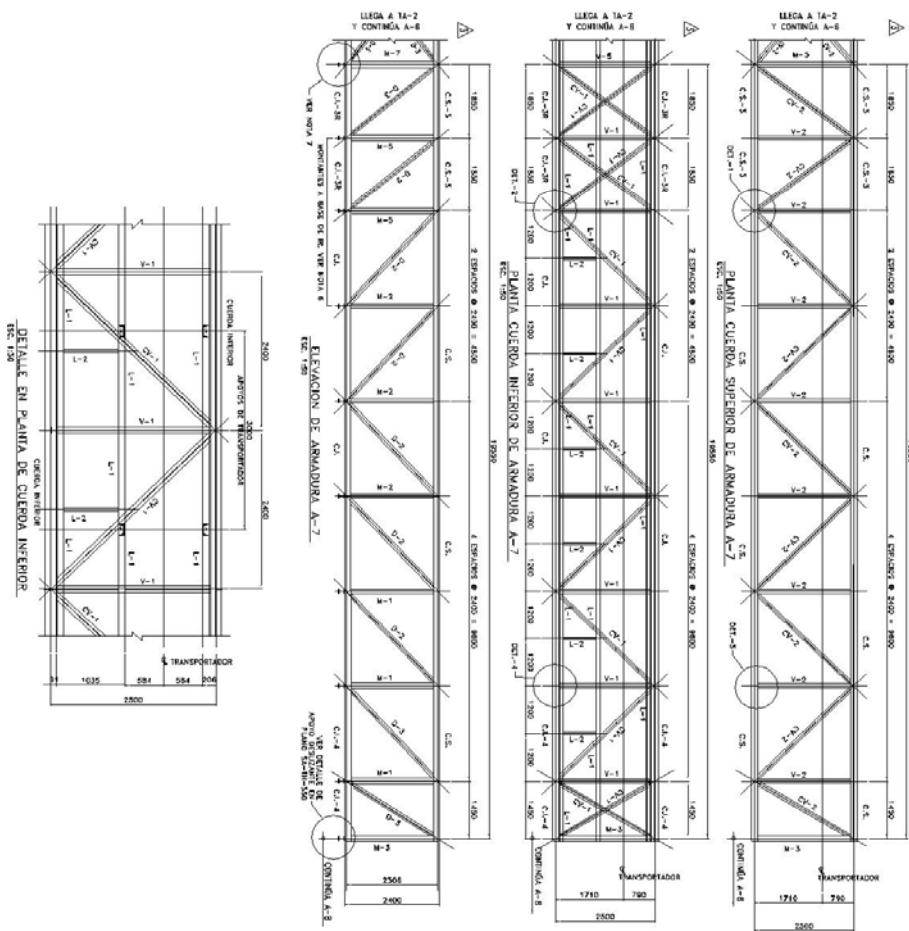
7. UN PLAN DE DESARROLLO ECONOMICO EN COORDINACION CON EL PLANO NACIONAL DE DESARROLLO ECONOMICO Y SOCIAL.

8. UN PLAN DE DESARROLLO ECONOMICO EN COORDINACION CON EL PLANO NACIONAL DE DESARROLLO ECONOMICO Y SOCIAL.

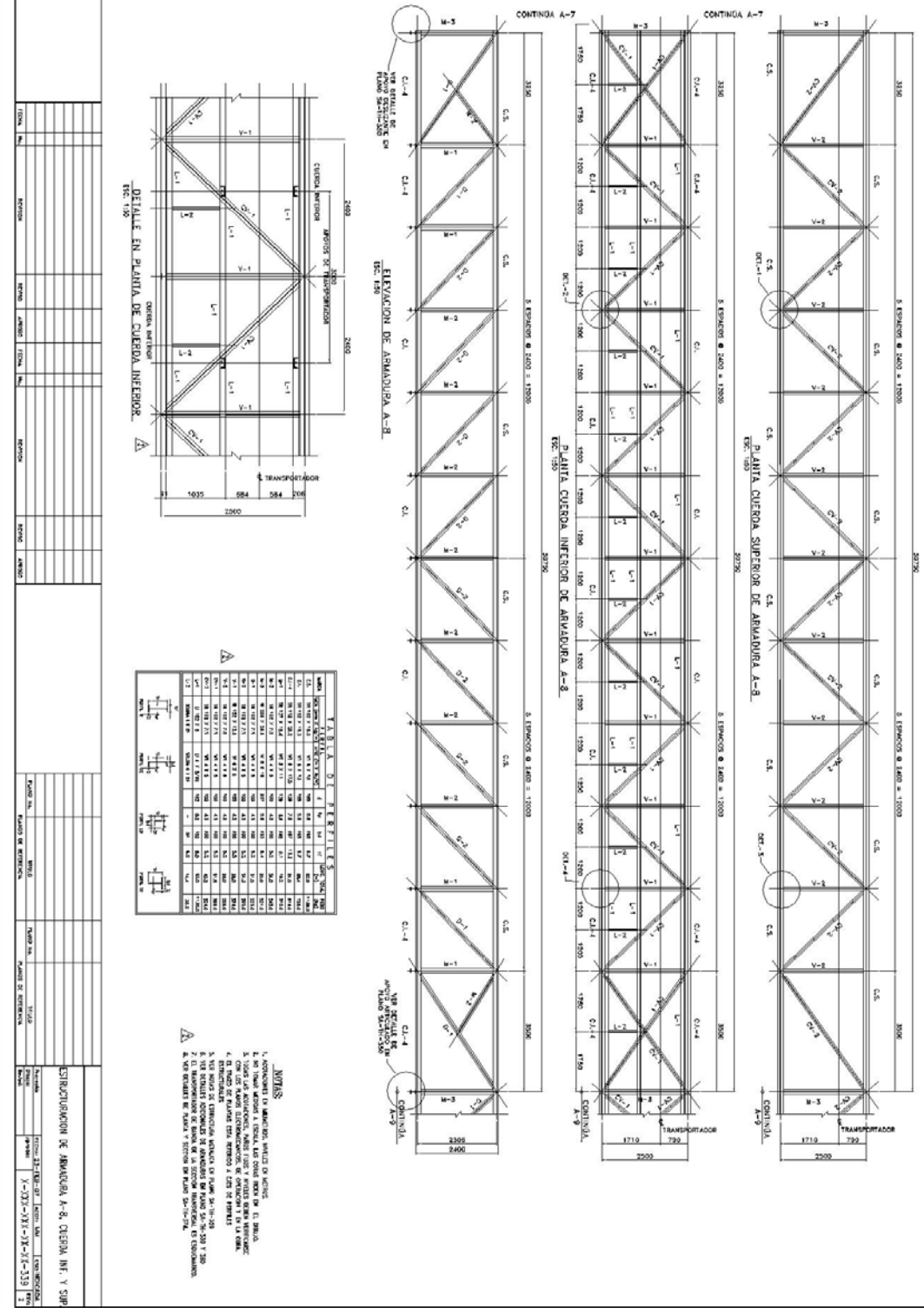
9. UN PLAN DE DESARROLLO ECONOMICO EN COORDINACION CON EL PLANO NACIONAL DE DESARROLLO ECONOMICO Y SOCIAL.

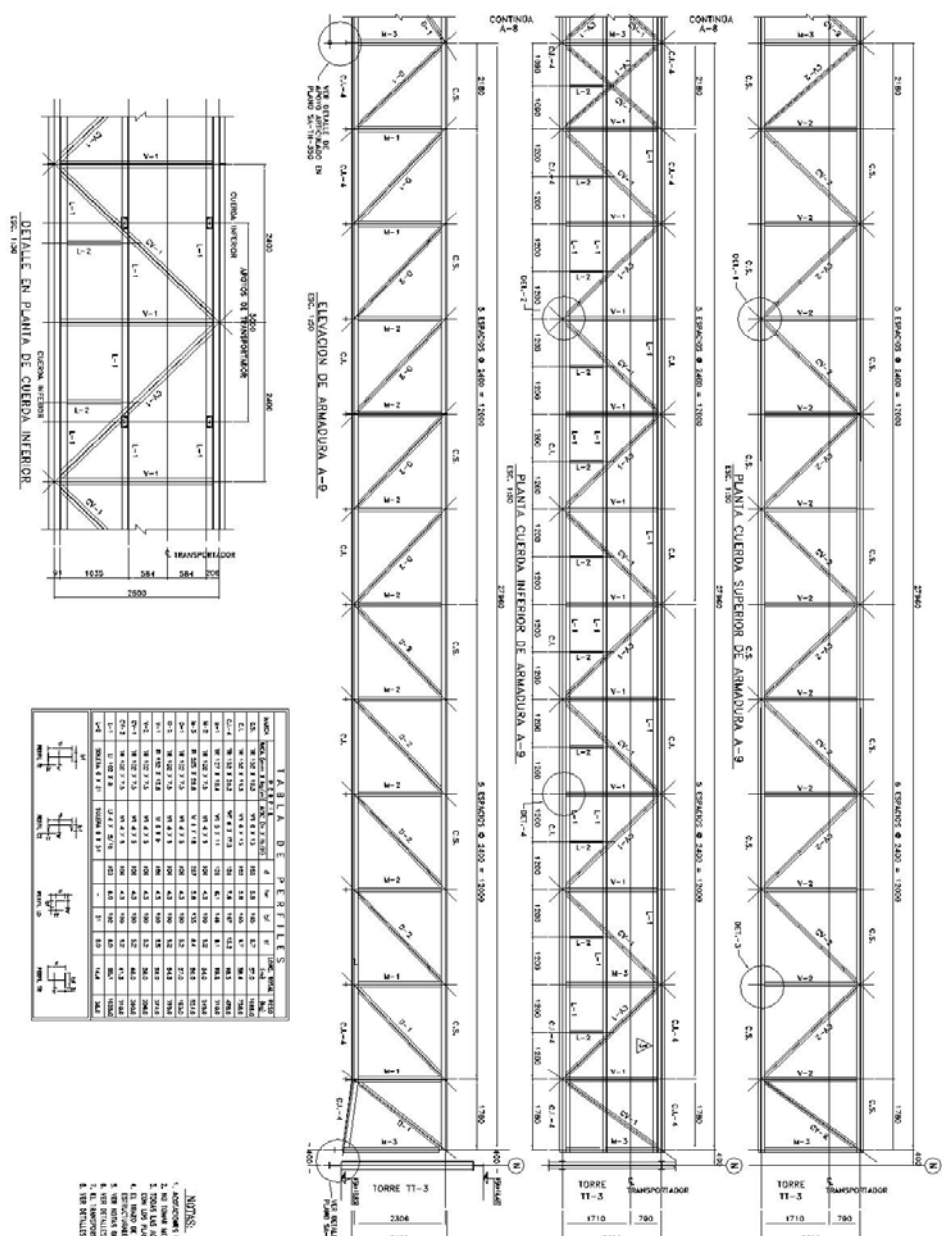
10. UN PLAN DE DESARROLLO ECONOMICO EN COORDINACION CON EL PLANO NACIONAL DE DESARROLLO ECONOMICO Y SOCIAL.

**ESTRUCTURACION DE ARANJUEZ, A.-S. CLEPIDA, INF. Y SUP.**



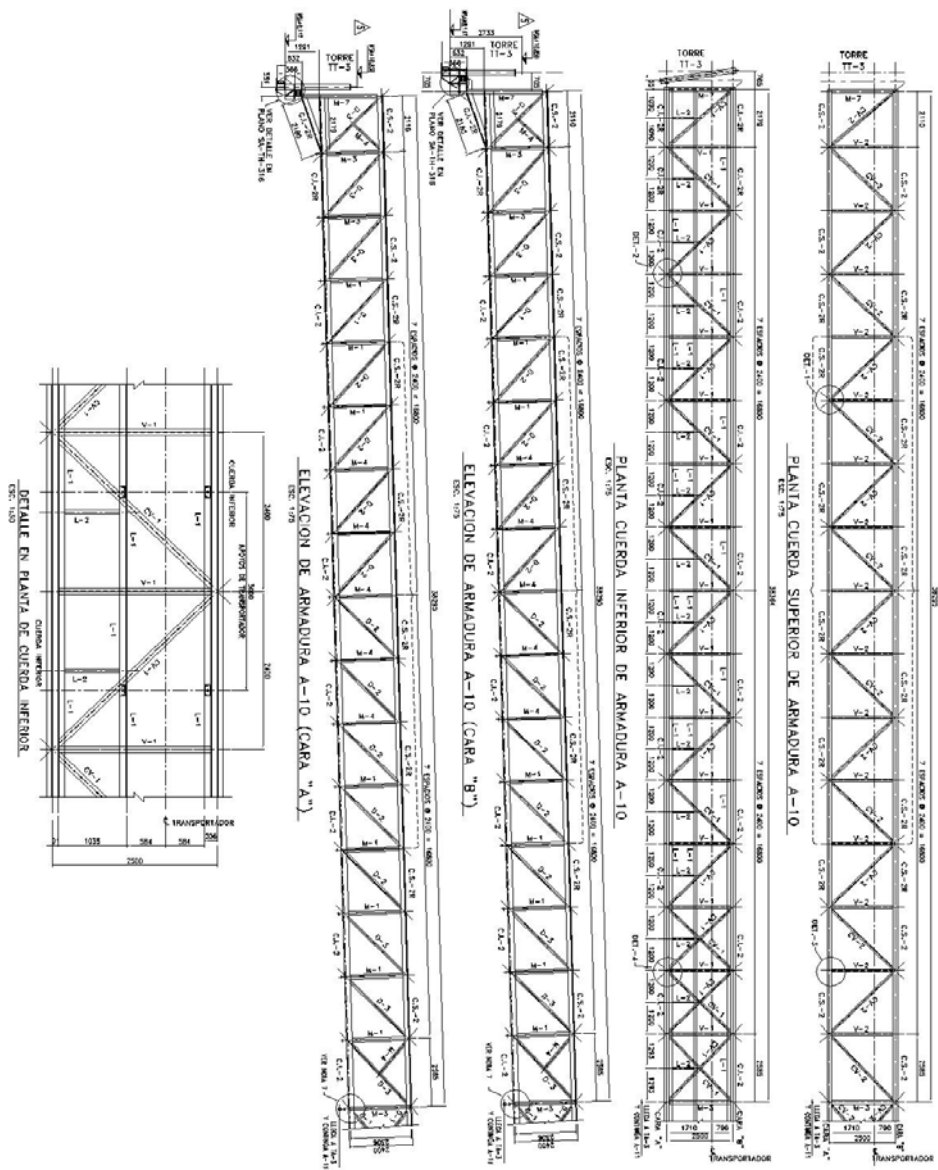
DETALLE EN PLANA DE CUERVA INFERIOR





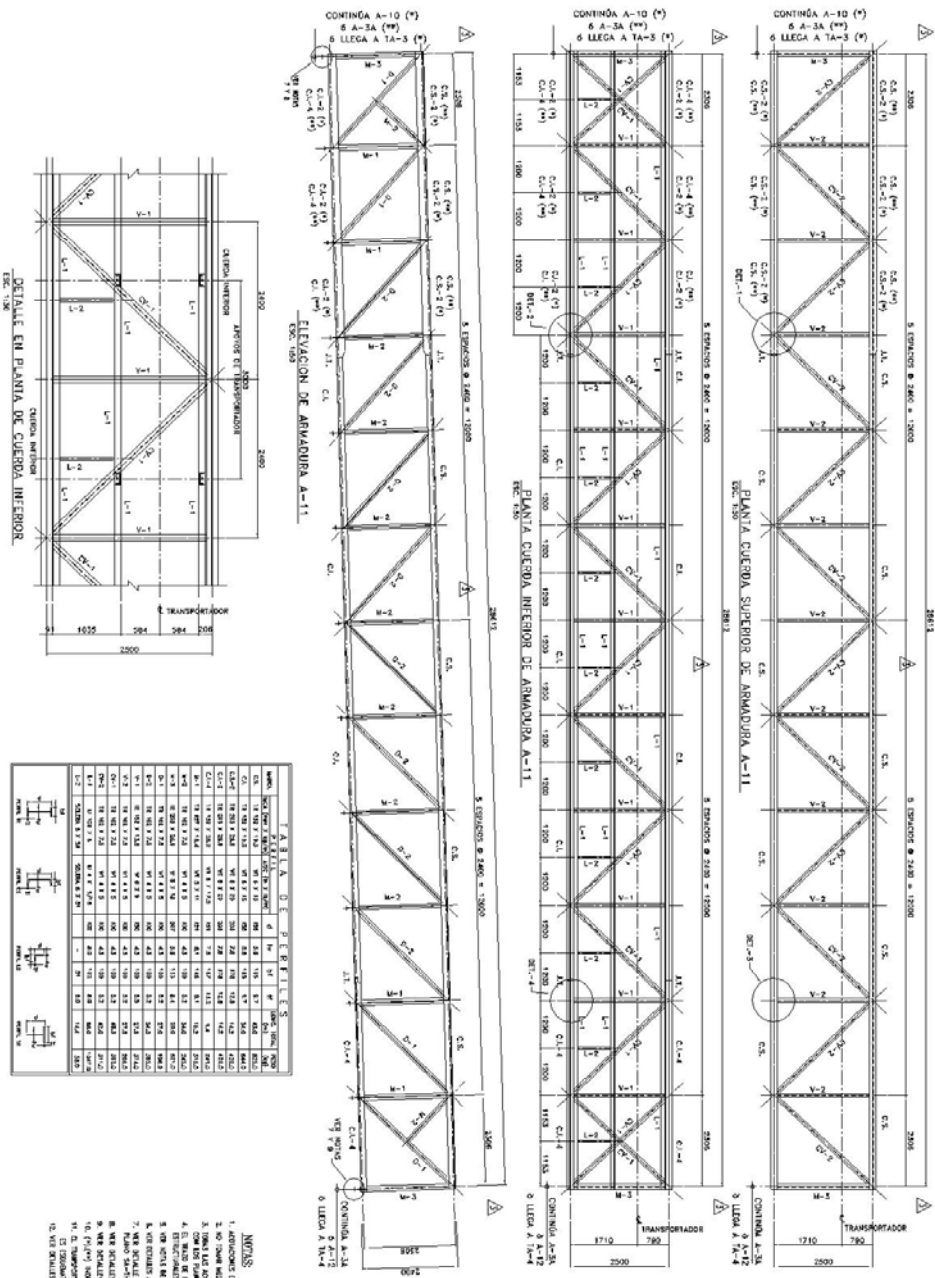
692 1-130

**ESTRUCTURACION DE ARMADURA A-9, CIEBIA INF. Y SUPER**



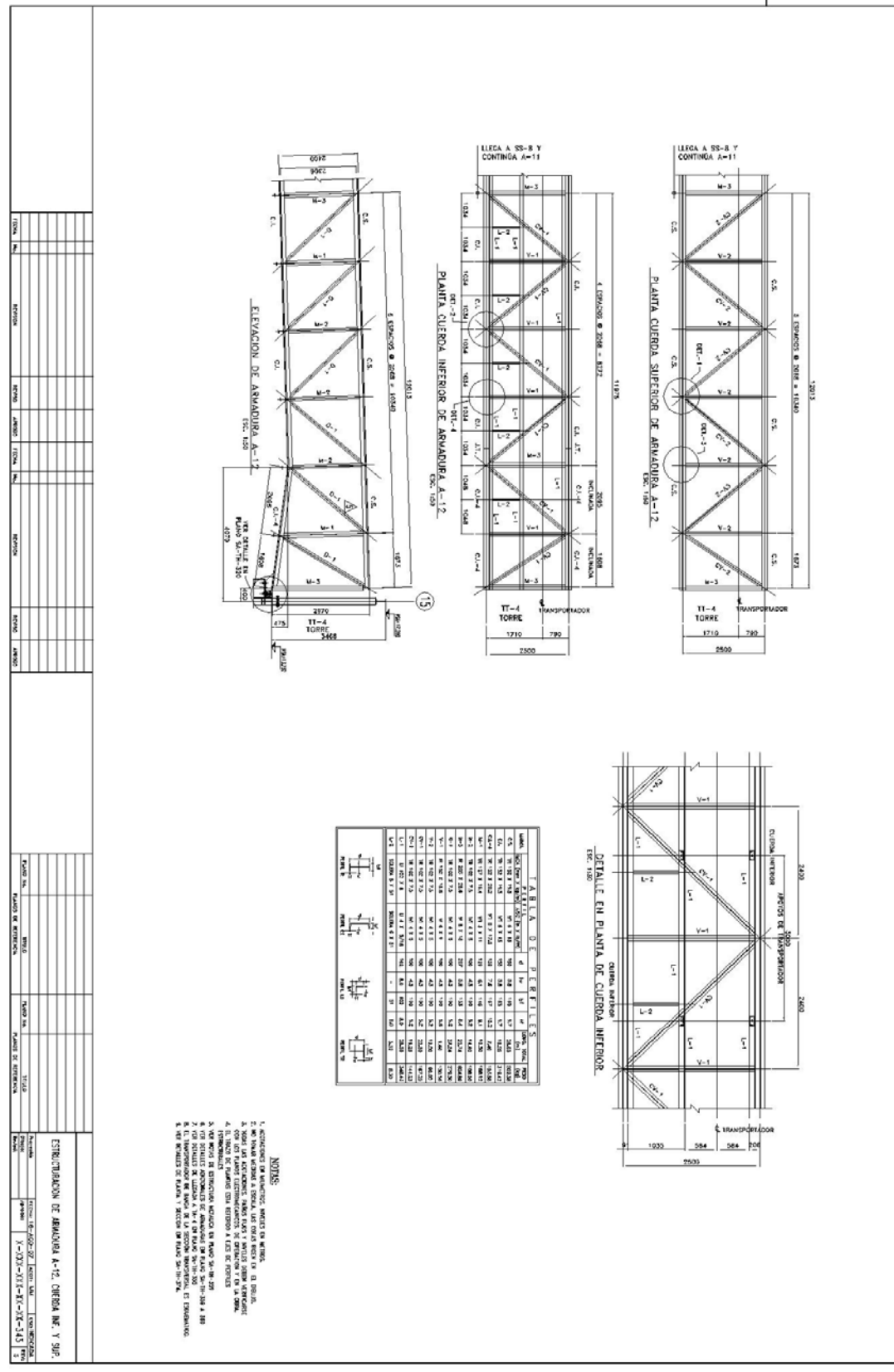
| TABLA DE PERFILES (TUBO) |            |
|--------------------------|------------|
| nom.                     | peso       |
| A-10                     | 1.160 kg/m |
| C-10                     | 0.860 kg/m |
| C-12                     | 0.970 kg/m |
| C-14                     | 1.020 kg/m |
| C-16                     | 1.160 kg/m |
| C-18                     | 1.300 kg/m |
| C-20                     | 1.440 kg/m |
| C-22                     | 1.600 kg/m |
| C-24                     | 1.760 kg/m |
| C-26                     | 1.920 kg/m |
| C-28                     | 2.080 kg/m |
| C-30                     | 2.240 kg/m |
| C-32                     | 2.400 kg/m |
| C-34                     | 2.560 kg/m |
| C-36                     | 2.720 kg/m |
| C-38                     | 2.880 kg/m |
| C-40                     | 3.040 kg/m |
| C-42                     | 3.200 kg/m |
| C-44                     | 3.360 kg/m |
| C-46                     | 3.520 kg/m |
| C-48                     | 3.680 kg/m |
| C-50                     | 3.840 kg/m |
| C-52                     | 4.000 kg/m |
| C-54                     | 4.160 kg/m |
| C-56                     | 4.320 kg/m |
| C-58                     | 4.480 kg/m |
| C-60                     | 4.640 kg/m |
| C-62                     | 4.800 kg/m |
| C-64                     | 4.960 kg/m |
| C-66                     | 5.120 kg/m |
| C-68                     | 5.280 kg/m |
| C-70                     | 5.440 kg/m |
| C-72                     | 5.600 kg/m |
| C-74                     | 5.760 kg/m |
| C-76                     | 5.920 kg/m |
| C-78                     | 6.080 kg/m |
| C-80                     | 6.240 kg/m |
| C-82                     | 6.400 kg/m |
| C-84                     | 6.560 kg/m |
| C-86                     | 6.720 kg/m |
| C-88                     | 6.880 kg/m |
| C-90                     | 7.040 kg/m |
| C-92                     | 7.200 kg/m |
| C-94                     | 7.360 kg/m |
| C-96                     | 7.520 kg/m |
| C-98                     | 7.680 kg/m |
| C-100                    | 7.840 kg/m |
| C-102                    | 8.000 kg/m |
| C-104                    | 8.160 kg/m |
| C-106                    | 8.320 kg/m |
| C-108                    | 8.480 kg/m |
| C-110                    | 8.640 kg/m |
| C-112                    | 8.800 kg/m |
| C-114                    | 8.960 kg/m |
| C-116                    | 9.120 kg/m |
| C-118                    | 9.280 kg/m |
| C-120                    | 9.440 kg/m |
| C-122                    | 9.600 kg/m |
| C-124                    | 9.760 kg/m |
| C-126                    | 9.920 kg/m |
| C-128                    | 1.000 kg/m |
| C-130                    | 1.016 kg/m |
| C-132                    | 1.032 kg/m |
| C-134                    | 1.048 kg/m |
| C-136                    | 1.064 kg/m |
| C-138                    | 1.080 kg/m |
| C-140                    | 1.096 kg/m |
| C-142                    | 1.112 kg/m |
| C-144                    | 1.128 kg/m |
| C-146                    | 1.144 kg/m |
| C-148                    | 1.160 kg/m |
| C-150                    | 1.176 kg/m |
| C-152                    | 1.192 kg/m |
| C-154                    | 1.208 kg/m |
| C-156                    | 1.224 kg/m |
| C-158                    | 1.240 kg/m |
| C-160                    | 1.256 kg/m |
| C-162                    | 1.272 kg/m |
| C-164                    | 1.288 kg/m |
| C-166                    | 1.304 kg/m |
| C-168                    | 1.320 kg/m |
| C-170                    | 1.336 kg/m |
| C-172                    | 1.352 kg/m |
| C-174                    | 1.368 kg/m |
| C-176                    | 1.384 kg/m |
| C-178                    | 1.400 kg/m |
| C-180                    | 1.416 kg/m |
| C-182                    | 1.432 kg/m |
| C-184                    | 1.448 kg/m |
| C-186                    | 1.464 kg/m |
| C-188                    | 1.480 kg/m |
| C-190                    | 1.496 kg/m |
| C-192                    | 1.512 kg/m |
| C-194                    | 1.528 kg/m |
| C-196                    | 1.544 kg/m |
| C-198                    | 1.560 kg/m |
| C-200                    | 1.576 kg/m |
| C-202                    | 1.592 kg/m |
| C-204                    | 1.608 kg/m |
| C-206                    | 1.624 kg/m |
| C-208                    | 1.640 kg/m |
| C-210                    | 1.656 kg/m |
| C-212                    | 1.672 kg/m |
| C-214                    | 1.688 kg/m |
| C-216                    | 1.704 kg/m |
| C-218                    | 1.720 kg/m |
| C-220                    | 1.736 kg/m |
| C-222                    | 1.752 kg/m |
| C-224                    | 1.768 kg/m |
| C-226                    | 1.784 kg/m |
| C-228                    | 1.800 kg/m |
| C-230                    | 1.816 kg/m |
| C-232                    | 1.832 kg/m |
| C-234                    | 1.848 kg/m |
| C-236                    | 1.864 kg/m |
| C-238                    | 1.880 kg/m |
| C-240                    | 1.896 kg/m |
| C-242                    | 1.912 kg/m |
| C-244                    | 1.928 kg/m |
| C-246                    | 1.944 kg/m |
| C-248                    | 1.960 kg/m |
| C-250                    | 1.976 kg/m |
| C-252                    | 1.992 kg/m |
| C-254                    | 2.008 kg/m |
| C-256                    | 2.024 kg/m |
| C-258                    | 2.040 kg/m |
| C-260                    | 2.056 kg/m |
| C-262                    | 2.072 kg/m |
| C-264                    | 2.088 kg/m |
| C-266                    | 2.104 kg/m |
| C-268                    | 2.120 kg/m |
| C-270                    | 2.136 kg/m |
| C-272                    | 2.152 kg/m |
| C-274                    | 2.168 kg/m |
| C-276                    | 2.184 kg/m |
| C-278                    | 2.200 kg/m |
| C-280                    | 2.216 kg/m |
| C-282                    | 2.232 kg/m |
| C-284                    | 2.248 kg/m |
| C-286                    | 2.264 kg/m |
| C-288                    | 2.280 kg/m |
| C-290                    | 2.296 kg/m |
| C-292                    | 2.312 kg/m |
| C-294                    | 2.328 kg/m |
| C-296                    | 2.344 kg/m |
| C-298                    | 2.360 kg/m |
| C-300                    | 2.376 kg/m |
| C-302                    | 2.392 kg/m |
| C-304                    | 2.408 kg/m |
| C-306                    | 2.424 kg/m |
| C-308                    | 2.440 kg/m |
| C-310                    | 2.456 kg/m |
| C-312                    | 2.472 kg/m |
| C-314                    | 2.488 kg/m |
| C-316                    | 2.504 kg/m |
| C-318                    | 2.520 kg/m |
| C-320                    | 2.536 kg/m |
| C-322                    | 2.552 kg/m |
| C-324                    | 2.568 kg/m |
| C-326                    | 2.584 kg/m |
| C-328                    | 2.600 kg/m |
| C-330                    | 2.616 kg/m |
| C-332                    | 2.632 kg/m |
| C-334                    | 2.648 kg/m |
| C-336                    | 2.664 kg/m |
| C-338                    | 2.680 kg/m |
| C-340                    | 2.696 kg/m |
| C-342                    | 2.712 kg/m |
| C-344                    | 2.728 kg/m |
| C-346                    | 2.744 kg/m |
| C-348                    | 2.760 kg/m |
| C-350                    | 2.776 kg/m |
| C-352                    | 2.792 kg/m |
| C-354                    | 2.808 kg/m |
| C-356                    | 2.824 kg/m |
| C-358                    | 2.840 kg/m |
| C-360                    | 2.856 kg/m |
| C-362                    | 2.872 kg/m |
| C-364                    | 2.888 kg/m |
| C-366                    | 2.904 kg/m |
| C-368                    | 2.920 kg/m |
| C-370                    | 2.936 kg/m |
| C-372                    | 2.952 kg/m |
| C-374                    | 2.968 kg/m |
| C-376                    | 2.984 kg/m |
| C-378                    | 3.000 kg/m |
| C-380                    | 3.016 kg/m |
| C-382                    | 3.032 kg/m |
| C-384                    | 3.048 kg/m |
| C-386                    | 3.064 kg/m |
| C-388                    | 3.080 kg/m |
| C-390                    | 3.096 kg/m |
| C-392                    | 3.112 kg/m |
| C-394                    | 3.128 kg/m |
| C-396                    | 3.144 kg/m |
| C-398                    | 3.160 kg/m |
| C-400                    | 3.176 kg/m |
| C-402                    | 3.192 kg/m |
| C-404                    | 3.208 kg/m |
| C-406                    | 3.224 kg/m |
| C-408                    | 3.240 kg/m |
| C-410                    | 3.256 kg/m |
| C-412                    | 3.272 kg/m |
| C-414                    | 3.288 kg/m |
| C-416                    | 3.304 kg/m |
| C-418                    | 3.320 kg/m |
| C-420                    | 3.336 kg/m |
| C-422                    | 3.352 kg/m |
| C-424                    | 3.368 kg/m |
| C-426                    | 3.384 kg/m |
| C-428                    | 3.400 kg/m |
| C-430                    | 3.416 kg/m |
| C-432                    | 3.432 kg/m |
| C-434                    | 3.448 kg/m |
| C-436                    | 3.464 kg/m |
| C-438                    | 3.480 kg/m |
| C-440                    | 3.496 kg/m |
| C-442                    | 3.512 kg/m |
| C-444                    | 3.528 kg/m |
| C-446                    | 3.544 kg/m |
| C-448                    | 3.560 kg/m |
| C-450                    | 3.576 kg/m |
| C-452                    | 3.592 kg/m |
| C-454                    | 3.608 kg/m |
| C-456                    | 3.624 kg/m |
| C-458                    | 3.640 kg/m |
| C-460                    | 3.656 kg/m |
| C-462                    | 3.672 kg/m |
| C-464                    | 3.688 kg/m |
| C-466                    | 3.704 kg/m |
| C-468                    | 3.720 kg/m |
| C-470                    | 3.736 kg/m |
| C-472                    | 3.752 kg/m |
| C-474                    | 3.768 kg/m |
| C-476                    | 3.784 kg/m |
| C-478                    | 3.800 kg/m |
| C-480                    | 3.816 kg/m |
| C-482                    | 3.832 kg/m |
| C-484                    | 3.848 kg/m |
| C-486                    | 3.864 kg/m |
| C-488                    | 3.880 kg/m |
| C-490                    | 3.896 kg/m |
| C-492                    | 3.912 kg/m |
| C-494                    | 3.928 kg/m |
| C-496                    | 3.944 kg/m |
| C-498                    | 3.960 kg/m |
| C-500                    | 3.976 kg/m |
| C-502                    | 3.992 kg/m |
| C-504                    | 4.008 kg/m |
| C-506                    | 4.024 kg/m |
| C-508                    | 4.040 kg/m |
| C-510                    | 4.056 kg/m |
| C-512                    | 4.072 kg/m |
| C-514                    | 4.088 kg/m |
| C-516                    | 4.104 kg/m |
| C-518                    | 4.120 kg/m |
| C-520                    | 4.136 kg/m |
| C-522                    | 4.152 kg/m |
| C-524                    | 4.168 kg/m |
| C-526                    | 4.184 kg/m |
| C-528                    | 4.200 kg/m |
| C-530                    | 4.216 kg/m |
| C-532                    | 4.232 kg/m |
| C-534                    | 4.248 kg/m |
| C-536                    | 4.264 kg/m |
| C-538                    | 4.280 kg/m |
| C-540                    | 4.296 kg/m |
| C-542                    | 4.312 kg/m |
| C-544                    | 4.328 kg/m |
| C-546                    | 4.344 kg/m |
| C-548                    | 4.360 kg/m |
| C-550                    | 4.376 kg/m |
| C-552                    | 4.392 kg/m |
| C-554                    | 4.408 kg/m |
| C-556                    | 4.424 kg/m |
| C-558                    | 4.440 kg/m |
| C-560                    | 4.456 kg/m |
| C-562                    | 4.472 kg/m |
| C-564                    | 4.488 kg/m |
| C-566                    | 4.504 kg/m |
| C-568                    | 4.520 kg/m |
| C-570                    | 4.536 kg/m |
| C-572                    | 4.552 kg/m |
| C-574                    | 4.568 kg/m |
| C-576                    | 4.584 kg/m |
| C-578                    | 4.600 kg/m |
| C-580                    | 4.616 kg/m |
| C-582                    | 4.632 kg/m |
| C-584                    | 4.648 kg/m |
| C-586                    | 4.664 kg/m |
| C-588                    | 4.680 kg/m |
| C-590                    | 4.696 kg/m |
| C-592                    | 4.712 kg/m |
| C-594                    | 4.728 kg/m |
| C-596                    | 4.744 kg/m |
| C-598                    | 4.760 kg/m |
| C-600                    | 4.776 kg/m |
| C-602                    | 4.792 kg/m |
| C-604                    | 4.808 kg/m |
| C-606                    | 4.824 kg/m |
| C-608                    | 4.840 kg/m |
| C-610                    | 4.856 kg/m |
| C-612                    | 4.872 kg/m |
| C-614                    | 4.888 kg/m |
| C-616                    | 4.904 kg/m |
| C-618                    | 4.920 kg/m |
| C-620                    | 4.936 kg/m |
| C-622                    | 4.952 kg/m |
| C-624                    | 4.968 kg/m |
| C-626                    | 4.984 kg/m |
| C-628                    | 5.000 kg/m |

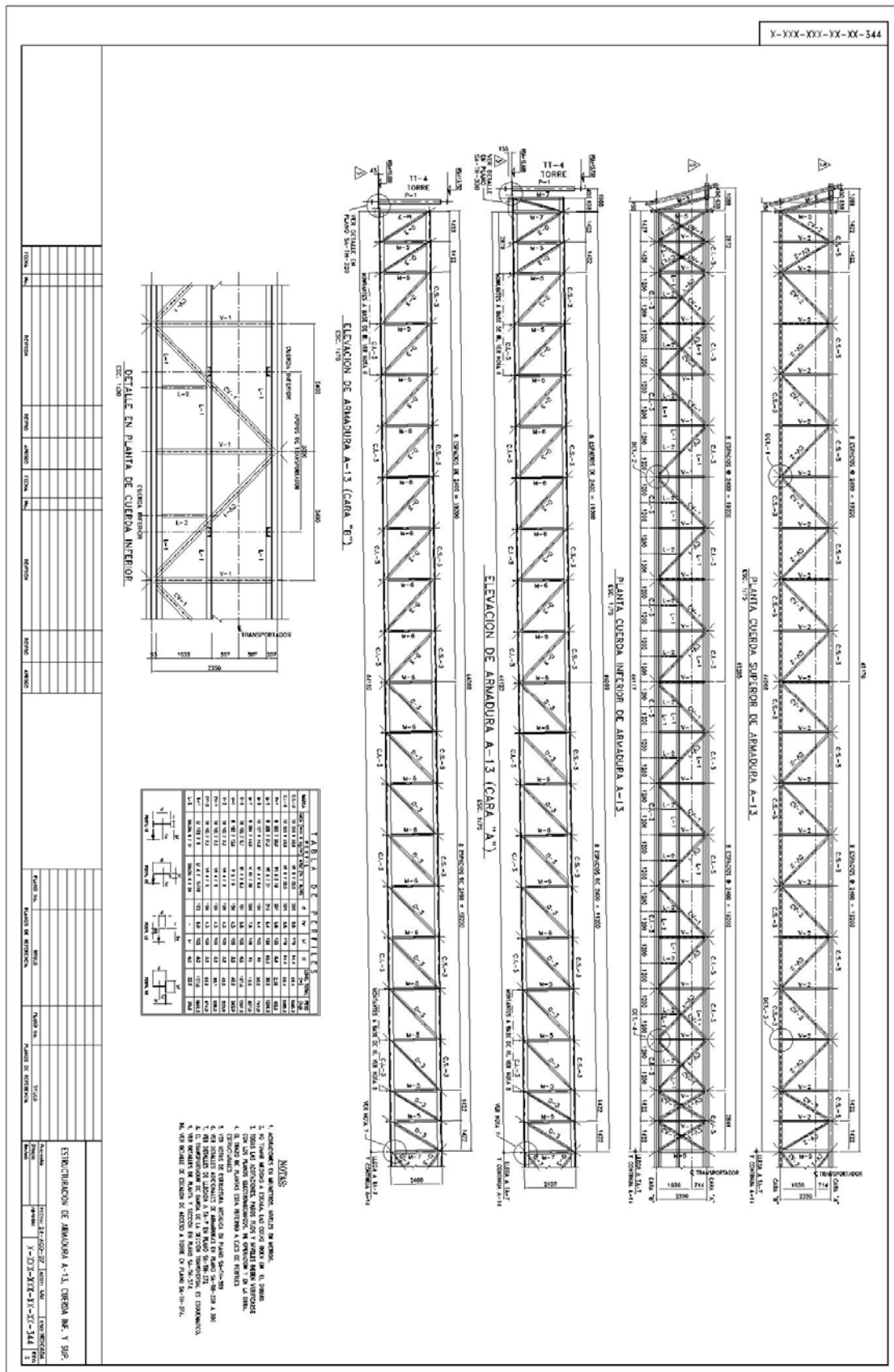
| NOTAS  |  |
|--|--|
| 1. ESTACIONES DE ARMADURA: ALTAJE DE PISO DE 0.200 M.  |  |
| 2. TORNOS DE ACCIONES: ALTAJE DE PISO, RODILLO, VELA, CARGA DE PESO, CARGA DE VIENTO, CARGA DE LLUVIA Y CARGA DE NEVADA.     |  |
| 3. LOS TORNOS DE ACCIONES: RODILLO, VELA, RODILLO, VELA, CARGA DE PESO, CARGA DE VIENTO, CARGA DE LLUVIA Y CARGA DE NEVADA.  |  |
| 4. ESTACIONES DE ARMADURA: ALTAJE DE PISO, RODILLO, VELA, CARGA DE PESO, CARGA DE VIENTO, CARGA DE LLUVIA Y CARGA DE NEVADA. |  |
| 5. VER NOTA DE COMENTARIO EN PÁGINA 54-100-100-100-100.  |  |
| 6. VER NOTA DE COMENTARIO EN PÁGINA 54-100-100-100-100.  |  |
| 7. VER NOTA DE COMENTARIO EN PÁGINA 54-100-100-100-100.  |  |
| 8. VER NOTA DE COMENTARIO EN PÁGINA 54-100-100-100-100.  |  |
| 9. VER NOTA DE COMENTARIO EN PÁGINA 54-100-100-100-100.  |  |
| 10. VER NOTA DE COMENTARIO EN PÁGINA 54-100-100-100-100.   |  |
| 11. VER NOTA DE COMENTARIO EN PÁGINA 54-100-100-100-100.   |  |
| 12. VER NOTA DE COMENTARIO EN PÁGINA 54-100-100-100-100.   |  |
| 13. VER NOTA DE COMENTARIO EN PÁGINA 54-100-100-100-100.   |  |
| 14. VER NOTA DE COMENTARIO EN PÁGINA 54-100-100-100-100.   |  |
| 15. VER NOTA DE COMENTARIO EN PÁGINA 54-100-100-100-100.   |  |
| 16. VER NOTA DE COMENTARIO EN PÁGINA 54-100-100-100-100.   |  |
| 17. VER NOTA DE COMENTARIO EN PÁGINA 54-100-100-100-100.   |  |
| 18. VER NOTA DE COMENTARIO EN PÁGINA 54-100-100-100-100.   |  |
| 19. VER NOTA DE COMENTARIO EN PÁGINA 54-100-100-100-100.   |  |
| 20. VER NOTA DE COMENTARIO EN PÁGINA 54-100-100-100-100.   |  |
| 21. VER NOTA DE COMENTARIO EN PÁGINA 54-100-100-100-100.   |  |
| 22. VER NOTA DE COMENTARIO EN PÁGINA 54-100-100-100-100.   |  |
| 23. VER NOTA DE COMENTARIO EN PÁGINA 54-100-100-100-100.   |  |
| 24. VER NOTA DE COMENTARIO EN PÁGINA 54-100-100-100-100.   |  |
| 25. VER NOTA DE COMENTARIO EN PÁGINA 54-100-100-100-100.   |  |
| 26. VER NOTA DE COMENTARIO EN PÁGINA 54-100-100-100-100.   |  |
| 27. VER NOTA DE COMENTARIO EN PÁGINA 54-100-100-100-100.   |  |
| 28. VER NOTA DE COMENTARIO EN PÁGINA 54-100-100-100-100.   |  |
| 29. VER NOTA DE COMENTARIO EN PÁGINA 54-100-100-100-100.   |  |
| 30. VER NOTA DE COMENTARIO EN PÁGINA 54-100-100-100-100.   |  |
| 31. VER NOTA DE COMENTARIO EN PÁGINA 54-100-100-100-100.   |  |
| 32. VER NOTA DE COMENTARIO EN PÁGINA 54-100-100-100-100.   |  |
| 33. VER NOTA DE COMENTARIO EN PÁGINA 54-100-100-100-100.   |  |
| 34. VER NOTA DE COMENTARIO EN PÁGINA 54-100-100-100-100.   |  |
| 35. VER NOTA DE COMENTARIO EN PÁGINA 54-100-100-100-100.   |  |
| 36. VER NOTA DE COMENTARIO EN PÁGINA 54-100-100-100-100.   |  |
| 37. VER NOTA DE COMENTARIO EN PÁGINA 54-100-100-100-100.   |  |
| 38. VER NOTA DE COMENTARIO EN PÁGINA 54-100-100-100-100.   |  |
| 39. VER NOTA DE COMENTARIO EN PÁGINA 54-100-100-100-100.   |  |
| 40. VER NOTA DE COMENTARIO EN PÁGINA 54-100-100-100-100.   |  |
| 41. VER NOTA DE COMENTARIO EN PÁGINA 54-100-100-100-100.   |  |
| 42. VER NOTA DE COMENTARIO EN PÁGINA 54-100-100-100-100.   |  |
| 43. VER NOTA DE COMENTARIO EN PÁGINA 54-100-100-100-100.   |  |
| 44. VER NOTA DE COMENTARIO EN PÁGINA 54-100-100-100-100.   |  |
| 45. VER NOTA DE COMENTARIO EN PÁGINA 54-100-100-100-100.   |  |
| 46. VER NOTA DE COMENTARIO EN PÁGINA 54-100-100-100-100.   |  |
| 47. VER NOTA DE COMENTARIO EN PÁGINA 54-100-100-100-100.   |  |
| 48. VER NOTA DE COMENTARIO EN PÁGINA 54-100-100-100-100.   |  |
| 49. VER NOTA DE COMENTARIO EN PÁGINA 54-100-100-100-100.   |  |
| 50. VER NOTA DE COMENTARIO EN PÁGINA 54-100-100-100-100.   |  |
| 51. VER NOTA DE COMENTARIO EN PÁGINA 54-100-100-100-100.   |  |
| 52. VER NOTA DE COMENTARIO EN PÁGINA 54-100-100-100-100.   |  |
| 53. VER NOTA DE COMENTARIO EN PÁGINA 54-100-100-100-100.   |  |
| 54. VER NOTA DE COMENTARIO EN PÁGINA 54-100-100-100-100.   |  |
| 55. VER NOTA DE COMENTARIO EN PÁGINA 54-100-100-100-100.   |  |
| 56. VER NOTA DE COMENTARIO EN PÁGINA 54-100-100-100-100.   |  |
| 57. VER NOTA DE COMENTARIO EN PÁGINA 54-100-100-100-100.   |  |
| 58. VER NOTA DE COMENTARIO EN PÁGINA 54-100-100-100-100.   |  |
| 59. VER NOTA DE COMENTARIO EN PÁGINA 54-100-100-100-100.   |  |
| 60. VER NOTA DE COMENTARIO EN PÁ   |  |

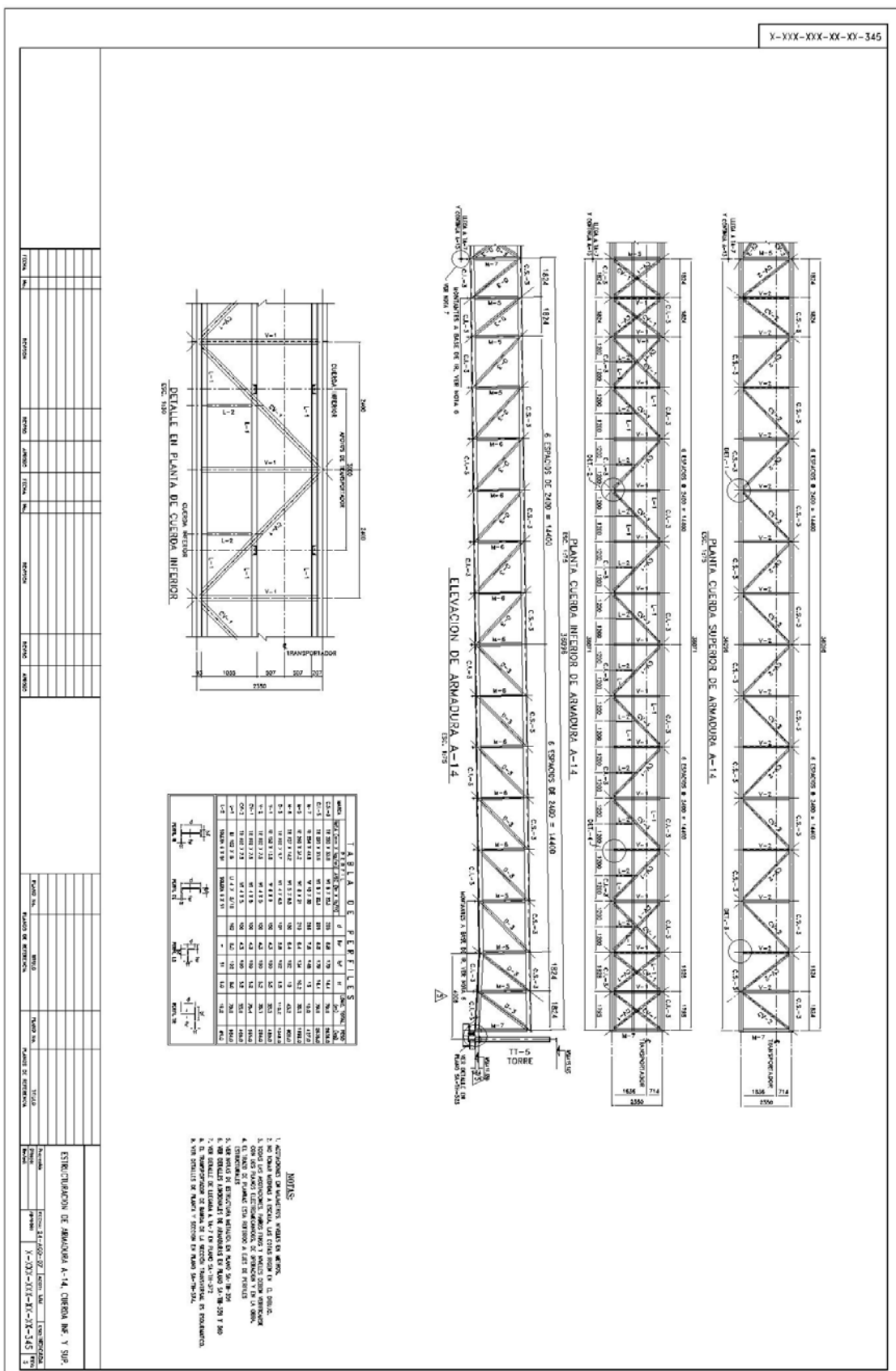


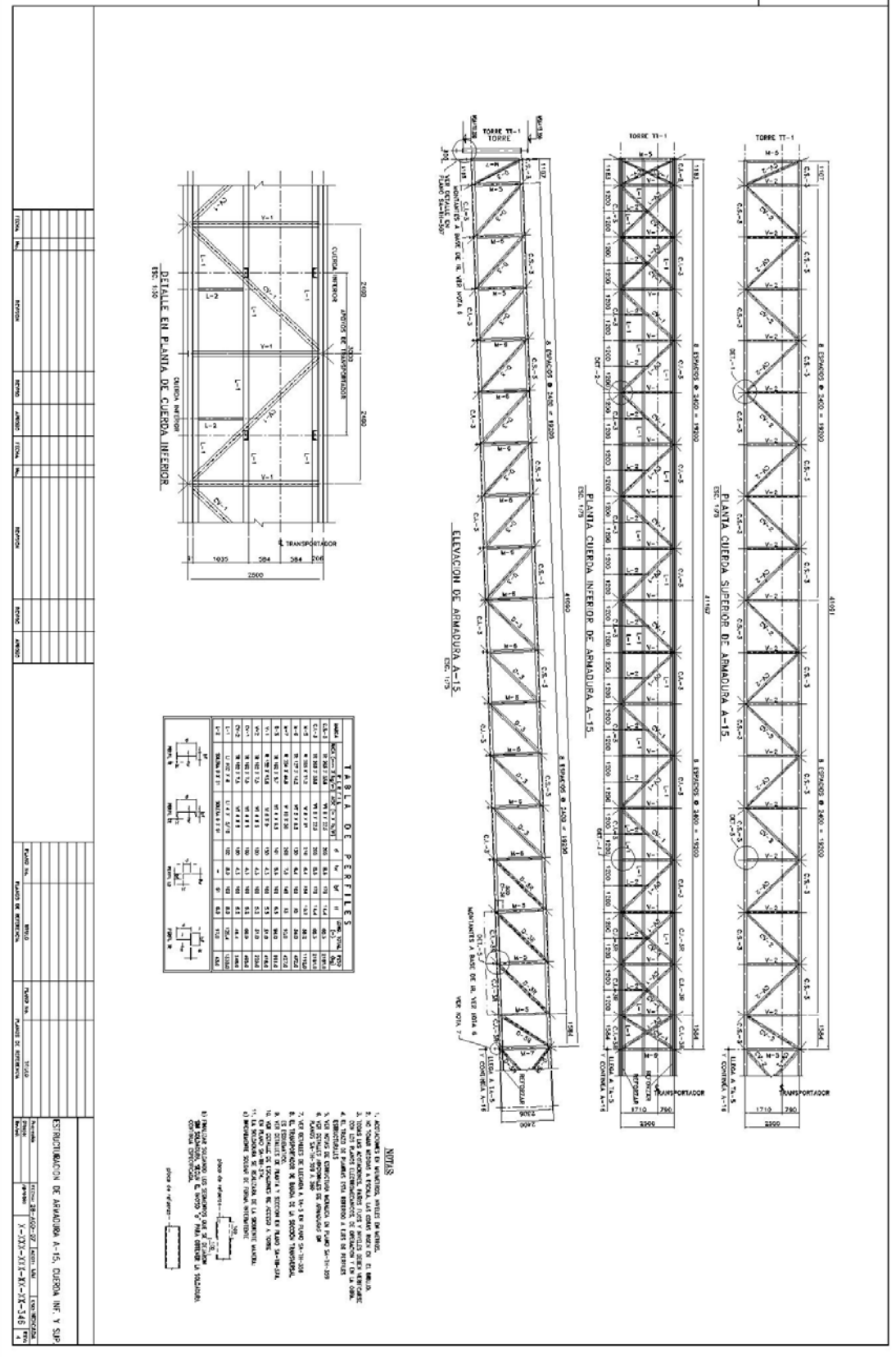
ESTATE PLANNING FOR RETIREMENT A-11 CHERYL MEYER

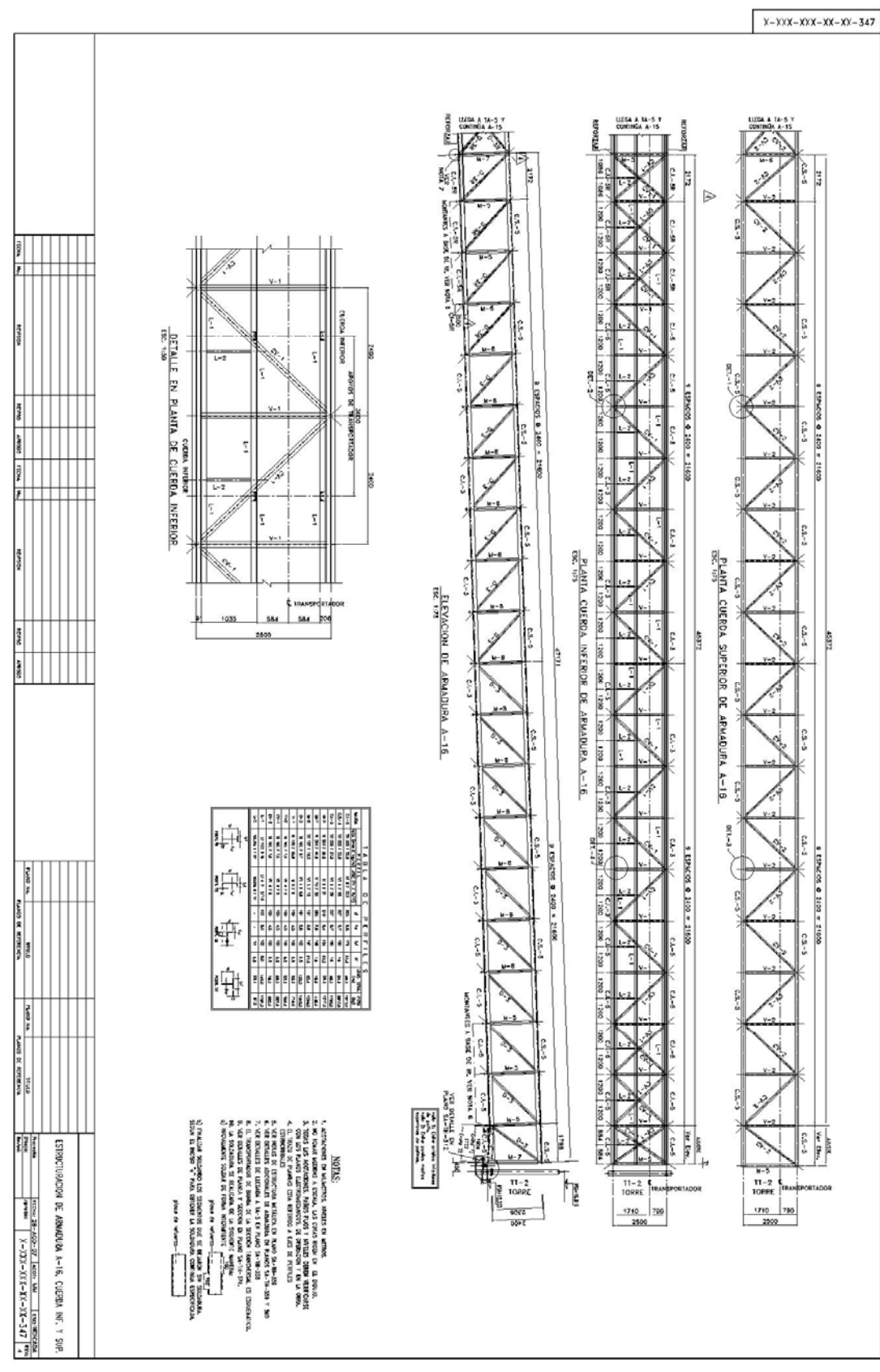
ESTRUCTURACION DE ANEXO JURADO A-11, CINECA, NE, Y SUP.

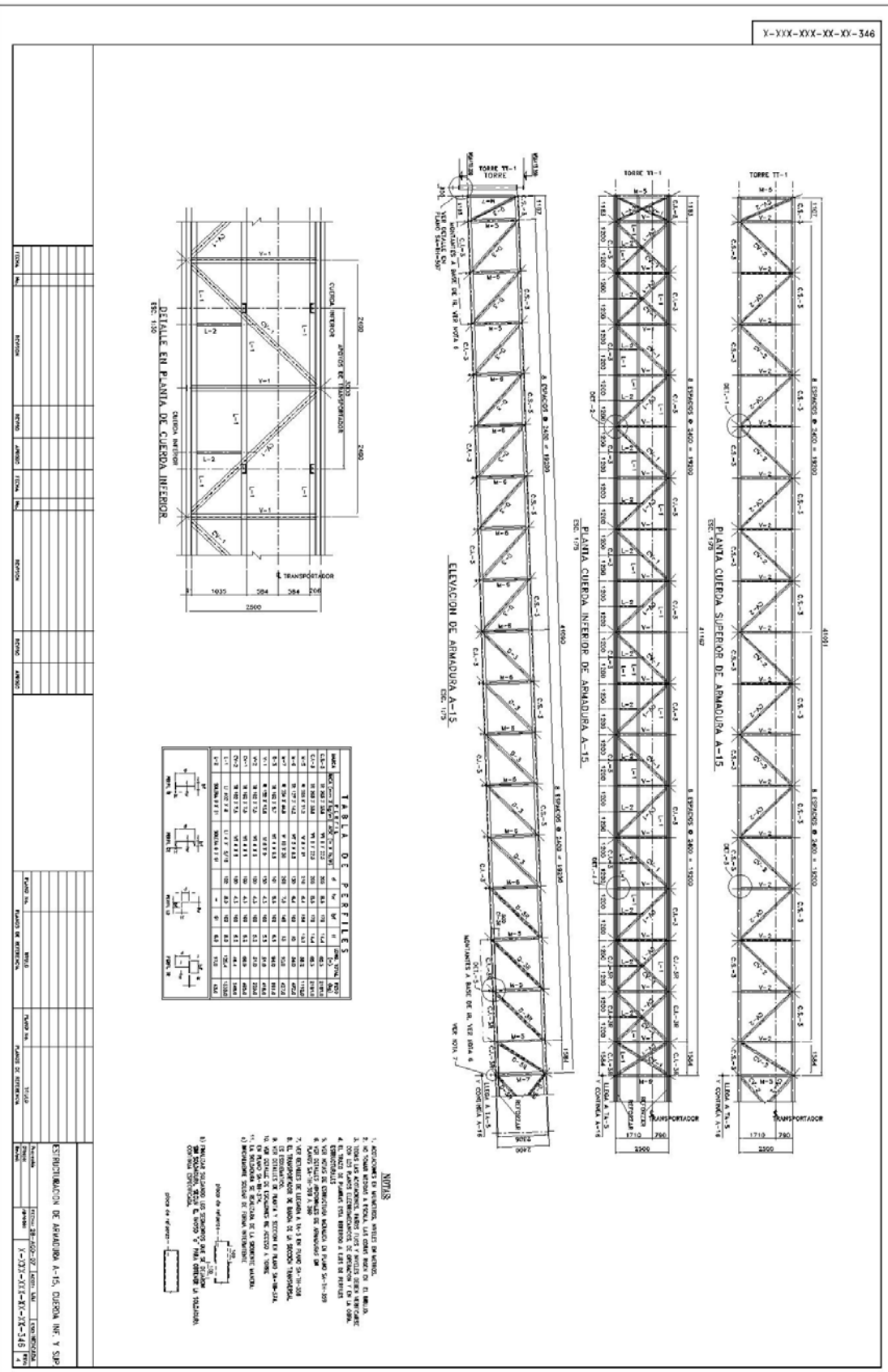


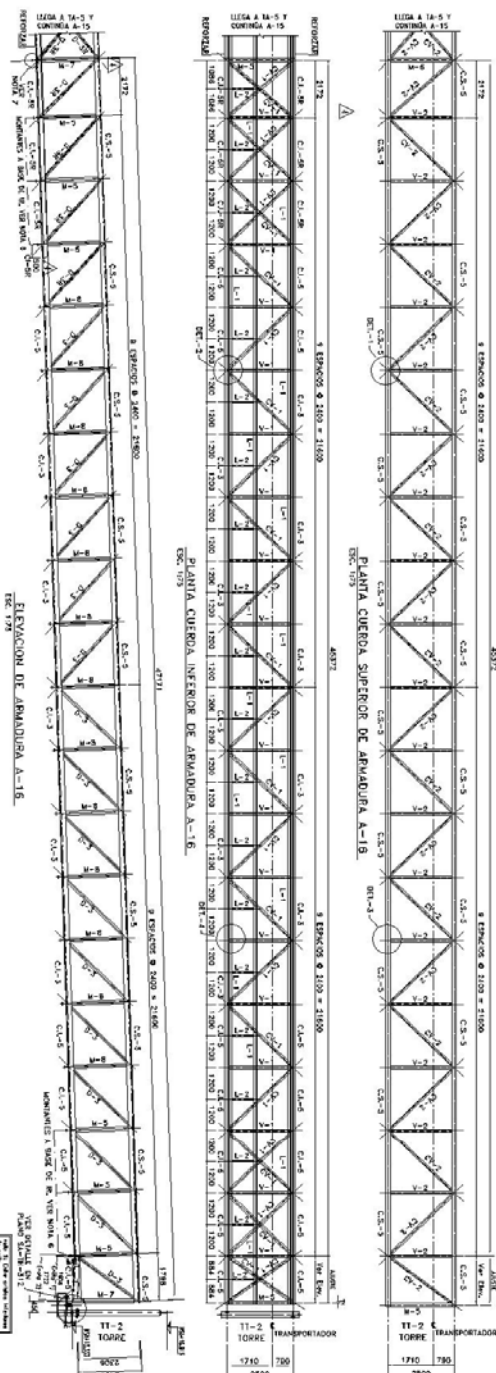












**PLANTA CUERVA SUPERIOR DE ARMAUDUA R-15**  
EST. 1973

396. 1175

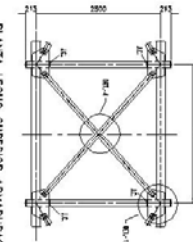
ELEVACION DE ARMADURA A-16  
E.S.C. 173

EST. 1:50  
BALLE EN PLATA DE GUERRA INFERIOR

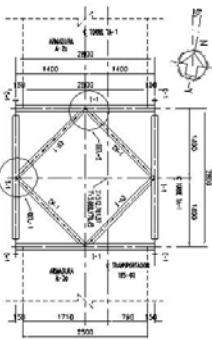
RECEIPT OF A BUREAU OF CYBERSECURITY, INC., SUPPLY CO., INC.



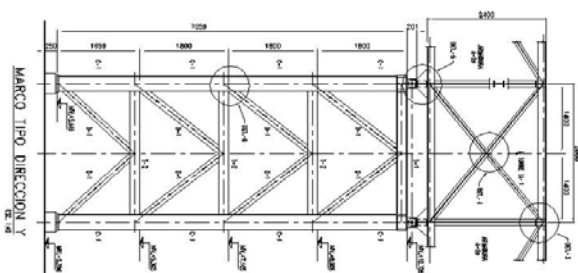
PLANTA LECHO SUPERIOR ARMADURAS  
SOBRE TORRE AUXILIAR



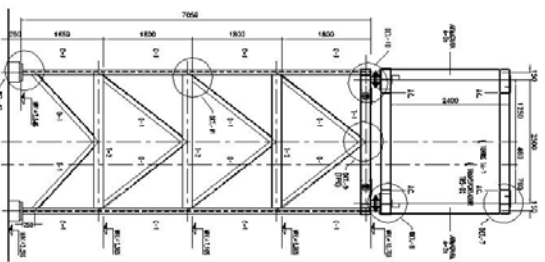
PLANTA TORRE TA-1 NIV.+10.705



MARCO TIPO DIRECCION



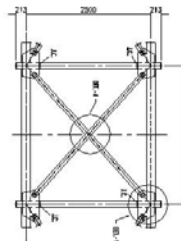
MARCO TIPO DIRECCION  
REC 100



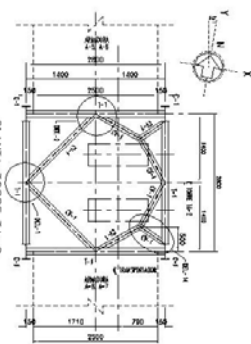
NOTAS GLOBALES

TORRE TA<sup>-1</sup>

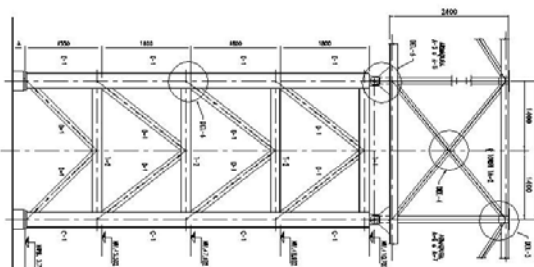
PLANTA LECHO SUPERIOR ARMADURAS



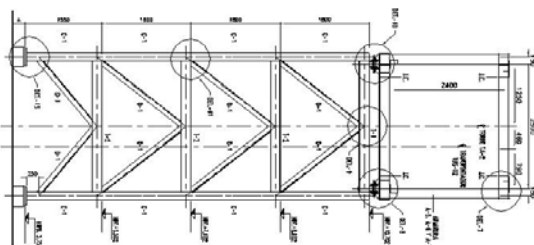
PLANTA TORRE TA-2  
NIV. + 10.702



MARCO TIPO DIRECCION  
(18 DE 27 DE MARZO)  
IMP - MOL. MEXICO D.F. MEXICO



MARCO TIPO DIRECCION X  
I VER. 0.2 DE JULY-11 EJE 10



| MATERIAL | Wt% C <sub>60</sub> | PERCENT |      | Wt% C <sub>60</sub> |
|----------|---------------------|---------|------|---------------------|
|          |                     | g       | kg   |                     |
| C-1      | 50.00               | 5.00    | 5.00 | 8.8                 |
| C-2      | 50.00               | 5.00    | 5.00 | 11.2                |
| C-3      | 50.00               | 5.00    | 5.00 | 12.0                |
| C-4      | 50.00               | 5.00    | 5.00 | 12.8                |
| C-5      | 50.00               | 5.00    | 5.00 | 13.6                |
| C-6      | 50.00               | 5.00    | 5.00 | 14.4                |
| C-7      | 50.00               | 5.00    | 5.00 | 15.2                |
| C-8      | 50.00               | 5.00    | 5.00 | 16.0                |
| C-9      | 50.00               | 5.00    | 5.00 | 16.8                |
| C-10     | 50.00               | 5.00    | 5.00 | 17.6                |
| C-11     | 50.00               | 5.00    | 5.00 | 18.4                |
| C-12     | 50.00               | 5.00    | 5.00 | 19.2                |
| C-13     | 50.00               | 5.00    | 5.00 | 20.0                |
| C-14     | 50.00               | 5.00    | 5.00 | 20.8                |
| C-15     | 50.00               | 5.00    | 5.00 | 21.6                |
| C-16     | 50.00               | 5.00    | 5.00 | 22.4                |
| C-17     | 50.00               | 5.00    | 5.00 | 23.2                |
| C-18     | 50.00               | 5.00    | 5.00 | 24.0                |
| C-19     | 50.00               | 5.00    | 5.00 | 24.8                |
| C-20     | 50.00               | 5.00    | 5.00 | 25.6                |
| C-21     | 50.00               | 5.00    | 5.00 | 26.4                |
| C-22     | 50.00               | 5.00    | 5.00 | 27.2                |
| C-23     | 50.00               | 5.00    | 5.00 | 28.0                |
| C-24     | 50.00               | 5.00    | 5.00 | 28.8                |
| C-25     | 50.00               | 5.00    | 5.00 | 29.6                |
| C-26     | 50.00               | 5.00    | 5.00 | 30.4                |
| C-27     | 50.00               | 5.00    | 5.00 | 31.2                |
| C-28     | 50.00               | 5.00    | 5.00 | 32.0                |
| C-29     | 50.00               | 5.00    | 5.00 | 32.8                |
| C-30     | 50.00               | 5.00    | 5.00 | 33.6                |
| C-31     | 50.00               | 5.00    | 5.00 | 34.4                |
| C-32     | 50.00               | 5.00    | 5.00 | 35.2                |
| C-33     | 50.00               | 5.00    | 5.00 | 36.0                |
| C-34     | 50.00               | 5.00    | 5.00 | 36.8                |
| C-35     | 50.00               | 5.00    | 5.00 | 37.6                |
| C-36     | 50.00               | 5.00    | 5.00 | 38.4                |
| C-37     | 50.00               | 5.00    | 5.00 | 39.2                |
| C-38     | 50.00               | 5.00    | 5.00 | 40.0                |
| C-39     | 50.00               | 5.00    | 5.00 | 40.8                |
| C-40     | 50.00               | 5.00    | 5.00 | 41.6                |
| C-41     | 50.00               | 5.00    | 5.00 | 42.4                |
| C-42     | 50.00               | 5.00    | 5.00 | 43.2                |
| C-43     | 50.00               | 5.00    | 5.00 | 44.0                |
| C-44     | 50.00               | 5.00    | 5.00 | 44.8                |
| C-45     | 50.00               | 5.00    | 5.00 | 45.6                |
| C-46     | 50.00               | 5.00    | 5.00 | 46.4                |
| C-47     | 50.00               | 5.00    | 5.00 | 47.2                |
| C-48     | 50.00               | 5.00    | 5.00 | 48.0                |
| C-49     | 50.00               | 5.00    | 5.00 | 48.8                |
| C-50     | 50.00               | 5.00    | 5.00 | 49.6                |
| C-51     | 50.00               | 5.00    | 5.00 | 50.4                |
| C-52     | 50.00               | 5.00    | 5.00 | 51.2                |
| C-53     | 50.00               | 5.00    | 5.00 | 52.0                |
| C-54     | 50.00               | 5.00    | 5.00 | 52.8                |
| C-55     | 50.00               | 5.00    | 5.00 | 53.6                |
| C-56     | 50.00               | 5.00    | 5.00 | 54.4                |
| C-57     | 50.00               | 5.00    | 5.00 | 55.2                |
| C-58     | 50.00               | 5.00    | 5.00 | 56.0                |
| C-59     | 50.00               | 5.00    | 5.00 | 56.8                |
| C-60     | 50.00               | 5.00    | 5.00 | 57.6                |
| C-61     | 50.00               | 5.00    | 5.00 | 58.4                |
| C-62     | 50.00               | 5.00    | 5.00 | 59.2                |
| C-63     | 50.00               | 5.00    | 5.00 | 60.0                |
| C-64     | 50.00               | 5.00    | 5.00 | 60.8                |
| C-65     | 50.00               | 5.00    | 5.00 | 61.6                |
| C-66     | 50.00               | 5.00    | 5.00 | 62.4                |
| C-67     | 50.00               | 5.00    | 5.00 | 63.2                |
| C-68     | 50.00               | 5.00    | 5.00 | 64.0                |
| C-69     | 50.00               | 5.00    | 5.00 | 64.8                |
| C-70     | 50.00               | 5.00    | 5.00 | 65.6                |
| C-71     | 50.00               | 5.00    | 5.00 | 66.4                |
| C-72     | 50.00               | 5.00    | 5.00 | 67.2                |
| C-73     | 50.00               | 5.00    | 5.00 | 68.0                |
| C-74     | 50.00               | 5.00    | 5.00 | 68.8                |
| C-75     | 50.00               | 5.00    | 5.00 | 69.6                |
| C-76     | 50.00               | 5.00    | 5.00 | 70.4                |
| C-77     | 50.00               | 5.00    | 5.00 | 71.2                |
| C-78     | 50.00               | 5.00    | 5.00 | 72.0                |
| C-79     | 50.00               | 5.00    | 5.00 | 72.8                |
| C-80     | 50.00               | 5.00    | 5.00 | 73.6                |
| C-81     | 50.00               | 5.00    | 5.00 | 74.4                |
| C-82     | 50.00               | 5.00    | 5.00 | 75.2                |
| C-83     | 50.00               | 5.00    | 5.00 | 76.0                |
| C-84     | 50.00               | 5.00    | 5.00 | 76.8                |
| C-85     | 50.00               | 5.00    | 5.00 | 77.6                |
| C-86     | 50.00               | 5.00    | 5.00 | 78.4                |
| C-87     | 50.00               | 5.00    | 5.00 | 79.2                |
| C-88     | 50.00               | 5.00    | 5.00 | 80.0                |
| C-89     | 50.00               | 5.00    | 5.00 | 80.8                |
| C-90     | 50.00               | 5.00    | 5.00 | 81.6                |
| C-91     | 50.00               | 5.00    | 5.00 | 82.4                |
| C-92     | 50.00               | 5.00    | 5.00 | 83.2                |
| C-93     | 50.00               | 5.00    | 5.00 | 84.0                |
| C-94     | 50.00               | 5.00    | 5.00 | 84.8                |
| C-95     | 50.00               | 5.00    | 5.00 | 85.6                |
| C-96     | 50.00               | 5.00    | 5.00 | 86.4                |
| C-97     | 50.00               | 5.00    | 5.00 | 87.2                |
| C-98     | 50.00               | 5.00    | 5.00 | 88.0                |
| C-99     | 50.00               | 5.00    | 5.00 | 88.8                |
| C-100    | 50.00               | 5.00    | 5.00 | 89.6                |
| C-101    | 50.00               | 5.00    | 5.00 | 90.4                |
| C-102    | 50.00               | 5.00    | 5.00 | 91.2                |
| C-103    | 50.00               | 5.00    | 5.00 | 92.0                |
| C-104    | 50.00               | 5.00    | 5.00 | 92.8                |
| C-105    | 50.00               | 5.00    | 5.00 | 93.6                |
| C-106    | 50.00               | 5.00    | 5.00 | 94.4                |
| C-107    | 50.00               | 5.00    | 5.00 | 95.2                |
| C-108    | 50.00               | 5.00    | 5.00 | 96.0                |
| C-109    | 50.00               | 5.00    | 5.00 | 96.8                |
| C-110    | 50.00               | 5.00    | 5.00 | 97.6                |
| C-111    | 50.00               | 5.00    | 5.00 | 98.4                |
| C-112    | 50.00               | 5.00    | 5.00 | 99.2                |
| C-113    | 50.00               | 5.00    | 5.00 | 100.0               |

NOTAS GENERALES

1. NO SOY UN ALUMNO, PERO SI MEJOR.
2. NO SOY UN ESTUDIANTE, SOY UN ALUMNO.
3. TODOS LOS ALUMNOS, PABLOS, TUDOS Y NIÑAS SABEN MUCHO DE MÍ, PERO SOY UN ALUMNO.
4. EL TÍTULO DE ALUMNO DICE, RETIRADO A LAS DE PESTES.

**SUBSIDIARIES**  
1. S. & H. FURNITURE CO., INCORPORATED ON NOVEMBER 24, 1924  
2. M.C.P. FURNITURE CO., INCORPORATED ON NOVEMBER 24, 1924  
3. V.O.C. FURNITURE CO., INCORPORATED ON DECEMBER 24, 1924  
4. V.O.C. FURNITURE CO. OF AMERICA, INC. ON DECEMBER 24, 1924  
5. V.O.C. FURNITURE CO. OF AMERICA, LTD. ON DECEMBER 24, 1924  
6. V.O.C. PLAZA, INC. ON PLAZA, INC.

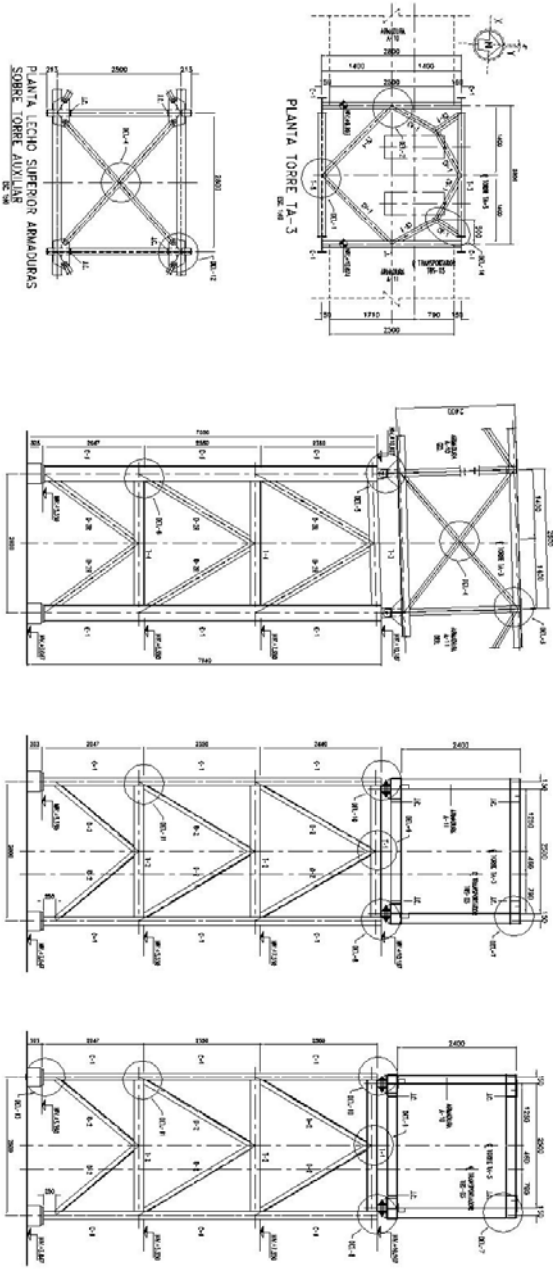
TORRE TA-2  
IA. MARCOS Y DETALLES

**NOTAS FINANCIAS**

MARCO TIPO DIRECCIÓN X  
(2016)

MARC

MARCO 2 IZQ. DIRECCIÓN Y  
EE. UU.





## VII. ANEXO DE FOTOGRAFÍAS.

A continuación se muestran fotografías del avance en la fabricación y montaje de la estructura que conforma el área de salida del sistema de almacenamiento y carga de barcos de mineral de hierro.



**Montaje de transportador TB-07 en su trayectoria hacia la torre de transferencia TT-1.**



**Perspectiva de transportador TB-07**



**Inicio de montaje de torre de transferencia TT-1.**



**Inicio de montaje de torre de transferencia TT-2.**



**Elevación de caballote (*izquierda*) y torre auxiliar (*derecha*) sobre la trayectoria del transportador TBS-02.**



**Montaje de torre de transferencia TT-3.**



**Montaje de torre de transferencia TT-4.**



**Montaje de transportador TBS-03.**



**Vista general de transportadores TB-07 y TBS-01 y torres TT-D, TT-1 y TT-2.**



**Vista general de transportador TBS-01 llegando a TT-1 y salida de TBS-02.**



Vista general de transportador TBS-02 llegando a TT-3 y salida de TBS-03.



Vista general de salida de transportador TBS-04 de torre TT-4



**Vista general de salida de transportador TBS-05 de torre TT-4 hacia TT-6.**



**Vista general de transportadores TBS-04 y TBS-05 y torres TT-5 y TT-6.**

## **VIII. Referencias Bibliográficas.**

Instituto de investigaciones eléctricas, “Manual de diseño de obras civiles, Diseño por viento”, Comisión Federal de Electricidad, México (1993).

Instituto de investigaciones eléctricas, “Manual de diseño de obras civiles, Diseño por sismo”, Comisión Federal de Electricidad, México (1993).

Instituto Mexicano de la construcción en Acero A.C., “Manual de construcción en acero – DEP Volumen 1 y 2, 3ra. Edición”, Editorial Limusa, México (2001).

Omer W. Blodgett, “Design of weld structures”, The James F. Lincoln Arc Welding Foundation, U.S.A. (1966)